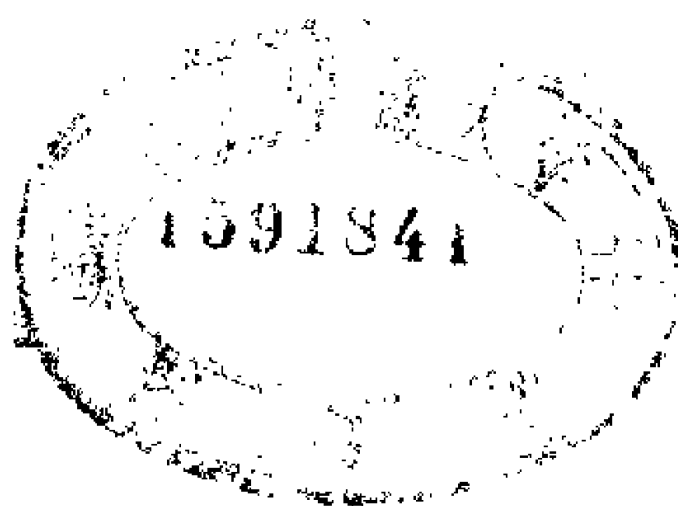


# 图论概要

杨炳儒 编著

5.111107/27



天津科学技术出版社

# 前 言

图论是组合数学与离散数学的重要一支，是富有趣味和应用极为广泛的一门学科，是研究自然科学、工程技术、经济管理和社会问题的一个重要的数学工具。

本书以图表等形式汇集了包括一些较新研究成果的图论的基本理论。力图体现：理论结构清晰，内容融汇完备，概念定理对照，例题解法典型，算法应用俱全等特点。

读者可以此书为线索，尽快地了解图论基本理论的框架，然后参考有关书籍对照学习并做相应的习题，即可掌握本门学科的基础知识、基本技能和基本技巧，进而追逐文献深入探究。

本书可供高等院校有关专业师生，有关图论的教学、科研人员参考、查阅。

南京邮电学院的余世樑副教授仔细地校阅了本书的原稿，并对其中的内容提出许多有益的建议。安徽大学的张良震教授、北京工业学院的王遇科教授、辽宁大学的洪声贵教授和复旦大学的李为镒副教授对于本书也给予很大的帮助，在此一并致谢！

杨炳儒

1985.1

# 目 录

总体结构图.....	(1)
一、图的基本概念	
(一) 结构.....	(2)
(二) 概念.....	(3)
(三) 定理.....	(9)
(四) 题解.....	(12)
二、图的一般性质	
(一) 结构.....	(20)
(二) 概念.....	(21)
(三) 定理.....	(27)
(四) 题解.....	(43)
三、图的代数表示	
(一) 结构.....	(66)
(二) 概念.....	(67)
(三) 定理.....	(72)
(四) 题解.....	(75)
四、特殊图	
(一) 结构.....	(85)
(二) 概念.....	(86)
(三) 定理.....	(93)
(四) 题解.....	(103)
五、有向图	
(一) 结构.....	(120)
(二) 概念.....	(121)
(三) 定理.....	(123)

(四) 题解.....	(127)
-------------	-------

## 六、超图

(一) 结构.....	(132)
(二) 概念.....	(132)
(三) 定理.....	(136)
(四) 题解.....	(142)

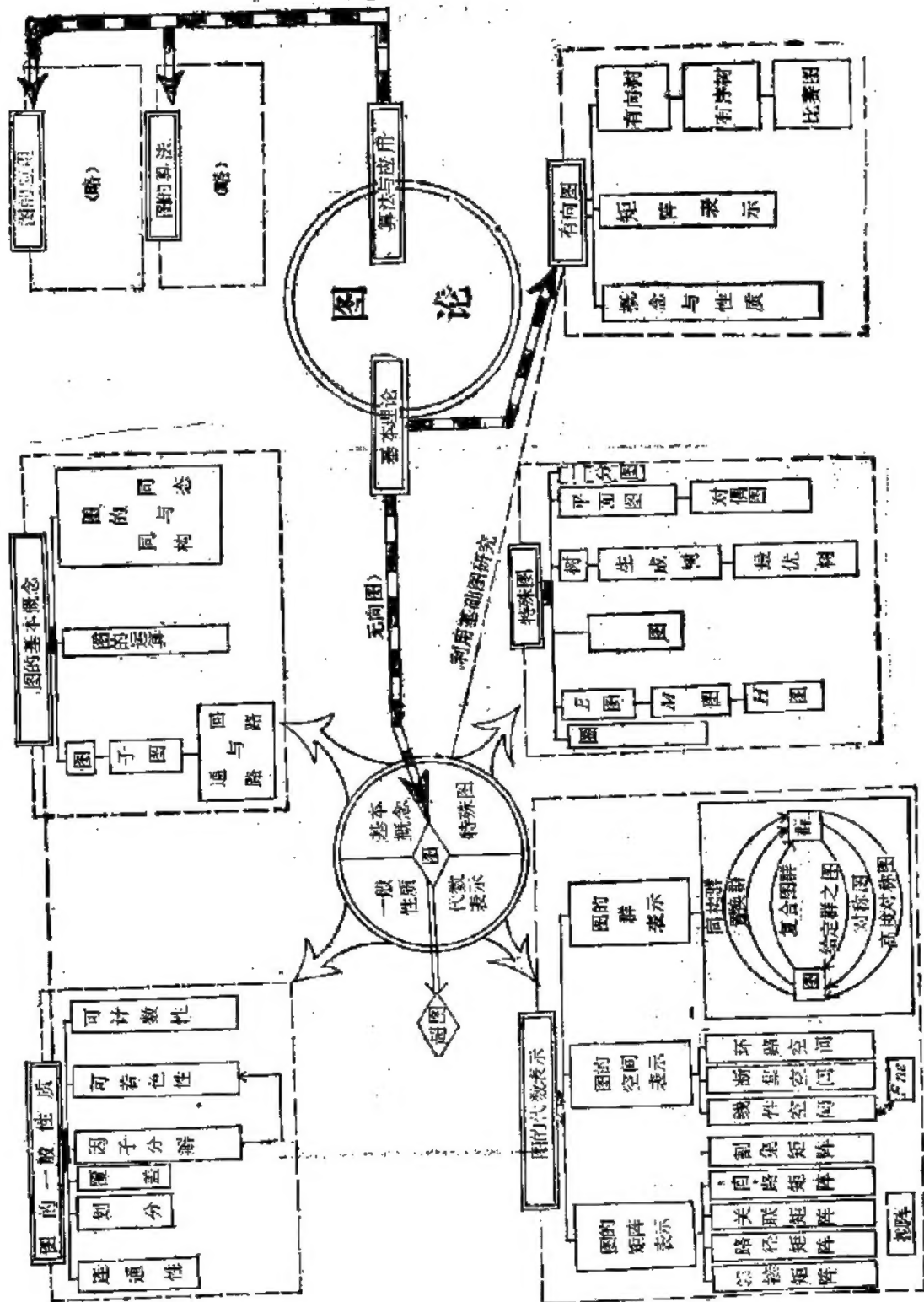
## 七、图的算法..... (146)

## 八、图的应用..... (184)

## 中英文词索引..... (219)

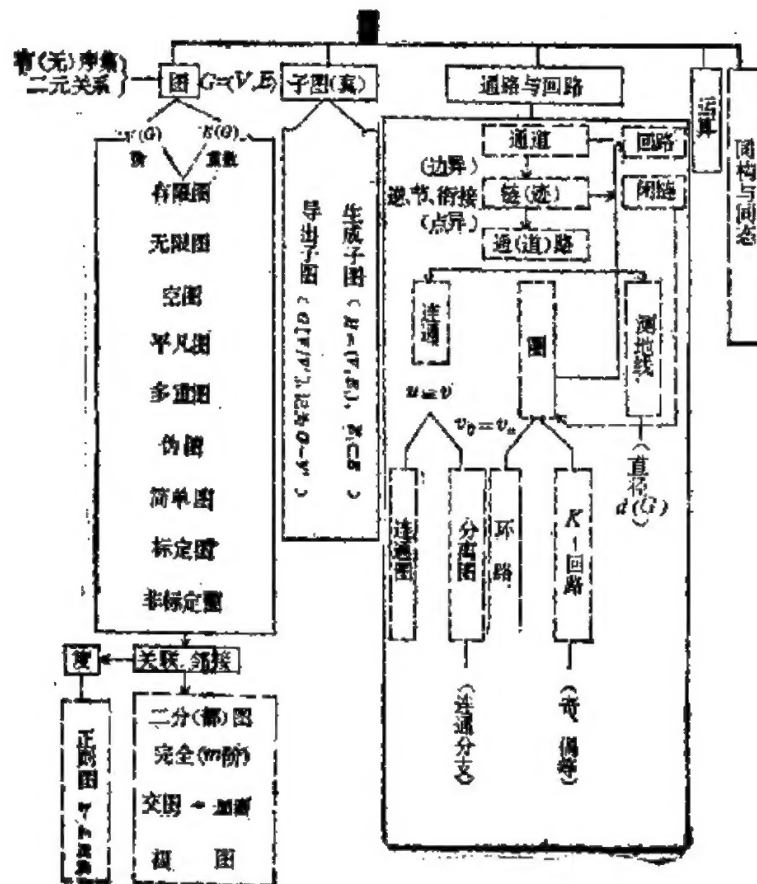
## 主要参考书目..... (241)

# 《总体结构图》



# 一、图的基本概念

## (一) 结 构



## (二) 概 念

### 1. 图

(1) 图：一个图  $G$  定义为一个偶对  $(V, E)$ ，记作  $G = (V, E)$ ，其中 1)  $V$  是一个非空集合，它的元素称为顶点；2)  $E$  是无序积  $V \times V$  的一个子集，其元素称为边（线）。集合  $V \times V$  中的元素可在  $E$  中出现不止一次。（分别用  $V(G)$  和  $E(G)$  表示图  $G$  的顶点集和边集，分别用  $n_v$ （或  $P, v$ ）和  $n_e$ （或  $q, e$ ）表示顶点数和边数）。

若  $U$  是有序积  $V \times V$  的一个子集（其元素称为弧），则  $D = (V, U)$  称为有向图。

(2) 有（无）限图：

若  $V(G)$  和  $E(G)$  都是有限集合，则  $G$  称为有限图，否则称为无限图。

空图：没有任何边的图称为空图（记作  $\phi$ ）。

平凡图：只有一个顶点的图称为平凡图。

(3) 阶：图中顶点的个数叫做图的阶。

重数：连接两个相同顶点的边的条数叫做边的重数。

多重边（平行边）：重数大于 1 的边称为多重边（平行边）。

环：指图中一顶点与它自己联结的边。

(4) 简单图：无环且无重数大于 1 的边的图称为简单图（图 1.1(a)）。

多重图：无环且有重数大于 1 的边的图称为多重图（图 1.1(b)）。

伪图：含有环与多重边的图称为伪图（图 1.2）。

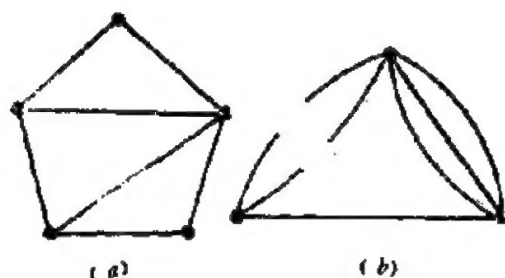


图 1.1

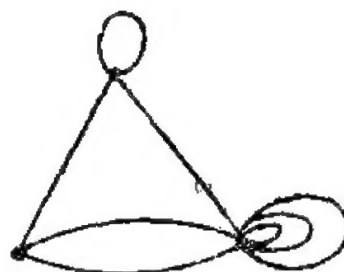


图 1.2

(5) 非标定图：所有的图的集合，按照同构关系（见后 5）划分成等价类，每一个这样的等价类称为一个非标定图；所有的图的集合，对于图的同构关系构成一个商集。

标定图：如前面 (1) 中定义的图。

(6) 关联：一条边的端点称为与这条边关联；反之，一条边称为与它的端点关联。

邻接：与同一条边关联的两个端点称为邻接；若二边有一公共的顶点，则称此二边邻接。

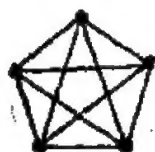


图 1.3

孤立点：若  $V$  中某顶点和  $E$  中任何边都不关联，则该顶点称为孤立点。

(7) 完全图：每一对不同的顶点均有一条边相连的简单图称为完全图。 $n$  阶完全图记作  $K_n$ （图 1.3）。

二分(部)图: 若图的顶点能分成二个集合  $V_1$  和  $V_2$ , 使得同一集合中的任何两个顶点都不邻接, 则称此图为二分(部)图或双图, 记作  $G = (V_1, V_2, E)$ 。这样一个把顶点分成二个集合  $V_1$  和  $V_2$  的分划  $(V_1, V_2)$  称为图的一个二分划。

完全二分图: 是一个具有二分划  $(V_1, V_2)$  的简单二分图, 其中  $V_1$  的每个顶点与  $V_2$  的每个顶点都相连, 若  $|V_1| = m, |V_2| = n$ , 则此图记作  $K_{m,n}$  (图1.4)。

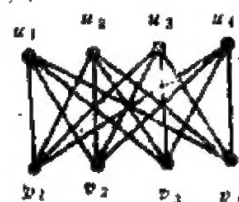


图 1.4

(8) 度(次数): 设  $v \in V(G)$ ,  $G$  中与顶点  $v$  关联的边的条数称为  $v$  (在  $G$  中) 的度或次数, 记作  $d_G(v)$ , 简记作  $d(v)$ 。(按  $f$

$(v)$  之奇、偶分别称  $v$  为奇、偶顶点); 并记  $\Delta(G) = \max\{d(v) | v \in V(G)\}$ ,  $\delta(G) = \min\{d(v) | v \in V(G)\}$ 。

(9) 正则图: 若一个图的每一个顶点都具有相同的度, 则称这个图是正则的, 每个顶点的度均为  $K$  的正则图称为  $K$ -正则图 (图1.5)。

(10) 交图: 令  $S$  是一个集,  $F = \{S_1, S_2, \dots, S_p\}$  是  $S$  的不同的非空子集的一个非空族, 这些子集的并是  $S$ ,  $F$  的交图, 记作  $\Omega(F)$ , 定义为  $V(\Omega(F)) = F$ , 当  $v \neq j$  且  $S_i \cap S_j \neq \emptyset$  时  $S_i$  与  $S_j$  邻接。若存在  $S$  的子集的一个族  $F$ , 对于这个族,  $G \cong \Omega(F)$ , 就称图  $G$  是  $S$  上的一个交图。(“ $\cong$ ” 见后(20))

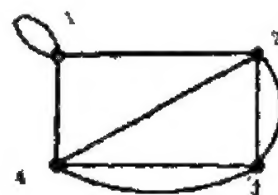


图 1.5

团: 一个图的一个团是一个最大的完全子图 (参见 (12))。

团图: 一个给定的图  $G$  的团图是  $G$  的团的族的交图 (每个团视为它的点的集 (图 1.6))。

(11) 极图: 有禁用子图的图称为极图。

## 2. 子图

(12) 子图: 图  $H$  是  $G$  的子图, 写作  $H \subseteq G$ , 若  $V(H) \subseteq V(G)$ ,  $E(H) \subseteq E(G)$ , 且  $H$  中边的重数不能超过  $G$  中对应边的重数。

真子图: 设  $H \subseteq G$ , 若下列条件至少有一个成立: (1°)  $V(H) \subset V(G)$ ; (2°)  $E(H) \subset E(G)$ ; (3°)  $H$  中至少有一条边的重数小于  $G$  中对应边的重数, 则称  $H$  是  $G$  的真子图。

(13) 生成子图: 设图  $G = (V, E)$ 。一个满足  $H = (V, E_1)$ ,  $E_1 \subseteq E$  的真子图, 叫做  $G$  的生成子图 (图1.7)。

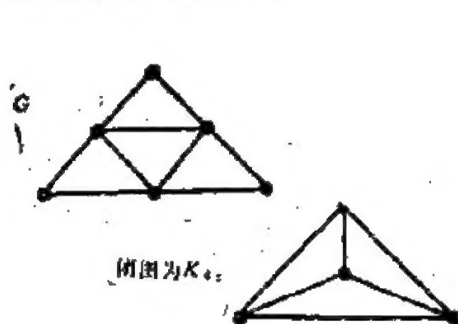


图 1.6

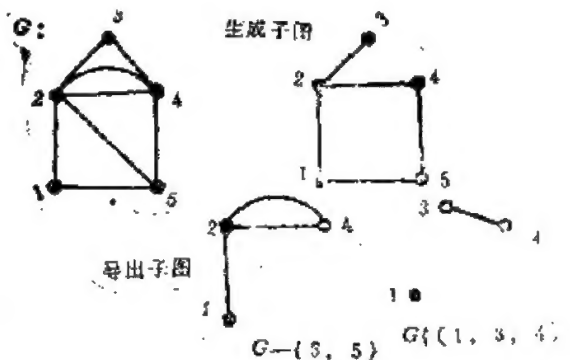


图 1.7

(14) 导出子图: 设  $V'$  是图  $G = (V, E)$  的顶点集合  $V$  的一个非空子集, 以  $V'$  作为顶点



集,以两端点均在 $V'$ 中的边的全体为边集的子图,称为由 $V'$ 导出的 $G$ 的子图,记作 $G[V']$ ,称 $G[V']$ 是 $G$ 的导出子图(图1.7).

导出子图 $G[V/V']$ (记为 $G-V'$ ):是从 $G$ 中去掉 $V'$ 中的顶点以及与其相关联的边所得到的子图.

### 3. 通路与回路

(15) 通道: 一个图 $G$ 的一条通道是顶点与边的一个交替序列 $v_0, e_1, v_1, \dots, v_{n-1}, e_n, v$ , 它以顶点为起、终止,每条边关联于直接在其前后的两个顶点. $v_0 = v$ 时称为闭的,否则它就称为开的.

迹(链): 上述序列中所有的边都不相同时称为一条迹(链). (长度为正的、起终点重合的链称为闭链)(图1.8).

通路(道路): 所有的顶点都不相同的链称为通路(道路)(图1.8).

(16) 连通: 设 $u, v$ 为图 $G$ 的两个顶点,若在 $G$ 中存在一条 $(u, v)$ 通路,则称顶点 $u$ 和 $v$ 是连通的. (示为 $u \equiv v$ ; 此关系为一等价关系).

连通图: 若对图中每一对不同的顶点 $u, v$ 都有一条 $(u, v)$ 通路,则称 $G$ 为连通图(联接图); 否则称为非连通图(非联接图)或分离图(图1.9).

连通分支: 按等价关系 $u \equiv v$ 便确定顶点集 $V$ 的一个分类,把 $V$ 分成非空子集 $V_1, V_2, \dots, V_r$ , 使得当且仅当两个顶点 $u$ 和 $v$ 属于同一子集 $V_i$ 时,它们才是连通的. 子图 $G[V_1], G[V_2], \dots, G[V_r]$ 称为 $G$ 的连通分支或简称分支.

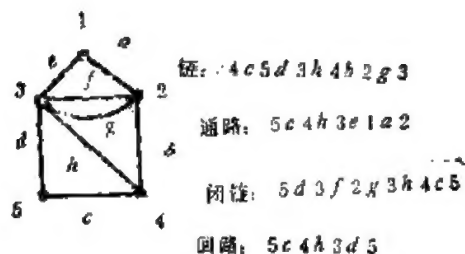


图 1.8

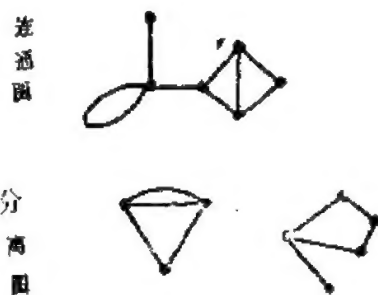


图 1.9

(17) 回路: 起点与终点重合的路叫做回路(图1.8).

圈: 起点与终点重合的通路叫做圈(有的亦称回路)。

环路: 回路与回路的边不重并称为环路; 长为 $K$ 的回路称为 $K$ -回路。按 $K$ 是奇数还是偶数,称 $K$ -回路是奇回路或是偶回路; 3-回路称为三角形。

(18) 长度: 通道 $v_0, v_1, \dots, v_n$ 中边的数目 $n$ 称为它的长度。

围长: 一个图 $G$ 中最短的圈的长度称为 $G$ 的围长,记作 $g(G)$ 。

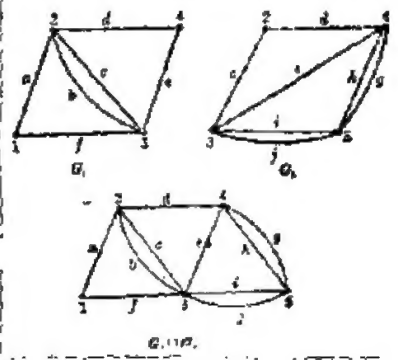
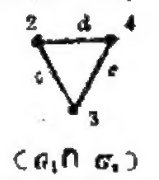
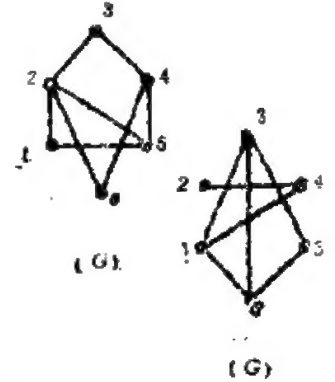
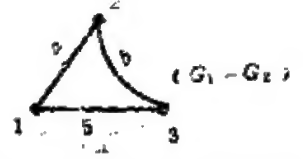
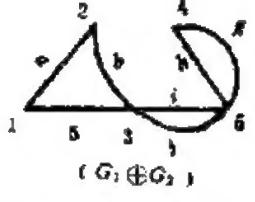
周长:  $G$ 中任何一个最长的圈的长度称为 $G$ 的周长,记作 $C(G)$ 。

距离: 对于 $G$ 中的两个顶点 $u$ 与 $v$ ,当存在联结 $u$ 和 $v$ 的道路时,这种道路中最短的道路的长度称为 $u$ 与 $v$ 之间的距离,记作 $d(u, v)$ 。若不存在联结 $u$ 和 $v$ 的道路,则 $d(u, v) = \infty$ 。

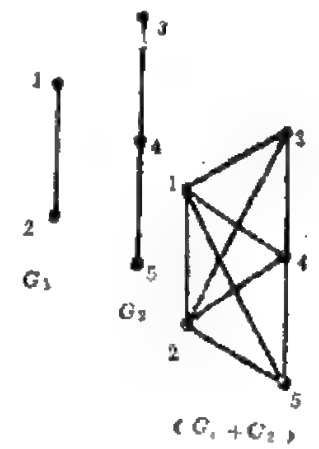
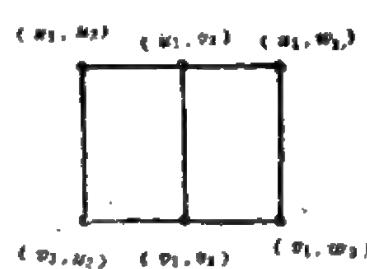
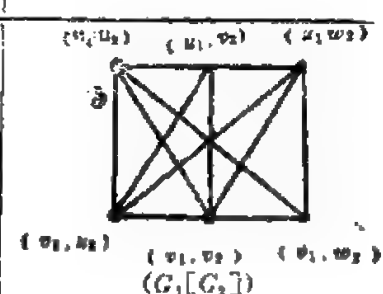
(19) 测地线：一条最短的  $u-v$  道路称为一条测地线。

直径：一个连通图  $G$  中任何一条最长的测地线的长度叫做  $G$  的直径  $d(G)$ 。

#### 4. 运算

名称	表示	定义	图例
(1) 并	$G_1 \cup G_2$	由 $G_1$ 和 $G_2$ 中的所有边组成的图。	
(2) 交	$G_1 \cap G_2$	由 $G_1$ 和 $G_2$ 的公共边组成的图	
(3) 补	$\bar{G}(G')$	设图 $G=(V, E)$ ，集合 $E_1=\{(u, v)   u \neq v, u, v \in V\}$ ，则图 $H=(V, E_1-E)$ 称为 $G$ 之补图	
(4) 差	$G_1 - G_2$	由 $G_1$ 中去除 $G_2$ 中的边组成的图。	
(5) 环和	$G_1 \oplus G_2$	在 $G_1$ 与 $G_2$ 的并中去除 $G_1$ 与 $G_2$ 的交所得之图。	

续表

名称	表示	定义	图例
(5) 联	$G_1 + G_2$	由 $G_1 \cup G_2$ 和所有的联结 $V_1$ 和 $V_2$ 的边所组成的图。(完全多部图: $K = K_{r_1} + K_{r_2} + \dots + K_{r_s}$ .)	 <p style="text-align: center;"><math>(G_1 + G_2)</math></p>
(7) 数乘	$nG$	由 $n$ 个与 $G$ 同构的图构成的图。	略
(8) 积	$G_1 \times G_2$	考虑 $V = V_1 \times V_2$ 中的任意两点 $u = (u_1, u_2)$ 和 $v = (v_1, v_2)$ , 当 $[u_1 = v_1 \text{ 及 } u_2 \text{ adj } v_2]$ 或 $[u_1 = v_2 \text{ 及 } u_2 \text{ adj } v_1]$ 时 $u$ 和 $v$ 在 $G = G_1 \times G_2$ 中邻接。	 <p style="text-align: center;"><math>(G_1 \times G_2)</math></p>
	$G_1 \cdot G_2$	将 $G_2$ 的任意一点与 $G_1$ 的任意一点等同起来只产生唯一的图(直至同构)。	略
(9) 合成	$G_1[G_2]$	以 $V = V_1 \times V_2$ 为其点集, 而 $u = (u_1, u_2)$ 和 $v = (v_1, v_2)$ 当 $[u_1 \text{ adj } v_1]$ 或 $[u_1 = v_1 \text{ 及 } u_2 \text{ adj } v_2]$ 时邻接。	 <p style="text-align: center;"><math>(G_1[G_2])</math></p>

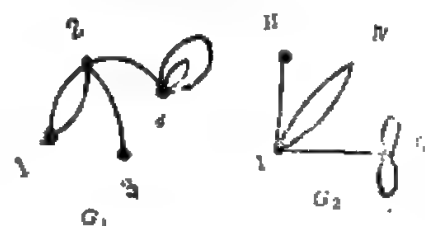
名称	表示	定义	图例
(10) 幂	$G^k$	它有 $V(G^k) = V(G)$ 且当 $u, v$ 在 $G$ 中 $d(u, v) \leq k$ 时, $u$ 和 $v$ 在 $G^k$ 中邻接。(类似地可定义 $G^2, G^3, \dots$ )	略

## 5. 同构与同态

(20) 同构: 设有两个图  $G_1 = (V_1, E_1)$  和  $G_2 = (V_2, E_2)$ , 它们的顶点集间有一一对应的关系, 使得边之间有如下的关系: 设  $u_1 \leftrightarrow u_2, v_1 \leftrightarrow v_2$ ,  $u_1, v_1 \in V_1, u_2, v_2 \in V_2$ , 若  $(u_1, v_1) \in E_1$ , 则  $(u_2, v_2) \in E_2$ , 而且  $(u_1, v_1)$  的重数与  $(u_2, v_2)$  的重数相同, 这种对应叫做同构, 记作  $G_1 \cong G_2$  (图1.10)。

(21) 运算1: 把图的割点 (见后面二(=)-(1)) 分裂为两个顶点, 使图成为两个不连通的子图。

运算2: 把图中两个顶点分裂开, 如把顶点  $x$  分裂为  $x_1$  和  $x_2$ , 把顶点  $y$  分裂为  $y_1$  和  $y_2$ , 于是图  $G$  分为两个子图  $g_1$  和  $g_2$ , 设  $x_1, y_1$  在  $g_1$  中,  $x_2, y_2$  在  $g_2$  中; 这时若把  $x_1$  和  $y_1, x_2$  和  $y_2$  结合在一起, 即  $g_1$  和  $g_2$  两图又重新这样连接起来, 将获得一个新图。



$G_1 \cong G_2$

图 1.10

(22) 1-同构: 两个图  $G_1$  和  $G_2$ , 若应用运算1方法进行运算, 能使之成为同构图, 则称它们互为1-同构 (图1.11)。

2-同构: 两个图  $G_1$  和  $G_2$ , 若应用运算1或运算2方法进行运算 (也可同时进行), 能使之成为同构图, 则称它们互为2-同构 (图1.12)。

(23) 零度: 设  $G$  为有  $n$  条边,  $n_0$  个顶点的连通图, 称  $n, -n_0 + 1$  为图  $G$  的零度 (或环秩), 记作  $N(G)$ , (分离图为  $n, -n_0 + p$ )。

秩: 一个具有  $n_0$  个顶点的连通图  $G$ , 定义  $n_0 - 1$  为图  $G$  的秩 (分离图为  $n_0 - p$ )。

(24) 初等同态: 是将两个不邻接的顶点等同起来。

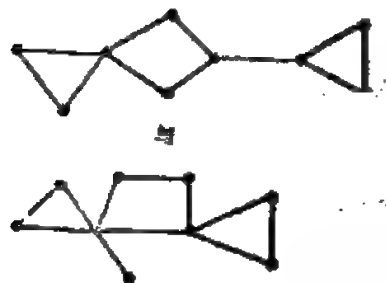


图 1.11

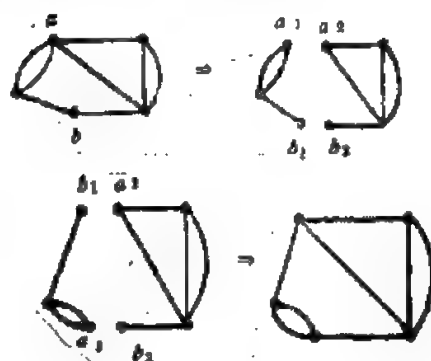


图 1.12

同态:  $G$  的一个同态是一系列初等同态, 若  $G'$  是由  $G$  经过一个同态  $\phi$  得到的图, 我们可

将  $\phi$  看作是从  $V$  到  $V'$  上的一个函数, 使得若  $u$  和  $v$  在  $G$  中是邻接的, 则  $\phi_u$  和  $\phi_v$  在  $G'$  中邻接。此时, 称  $\phi$  是  $G$  到  $G'$  上的一个同态,  $G'$  是  $G$  的一个同态象, 且记  $G' = \phi G$ 。(注意, 每一个同构是一个同态)。(图 1.13)

$n$  阶完全的同态:  $G$  的一个同态若有  $\phi G = K_n$ , 则称是  $n$  阶完全的。

(25) 着色、 $n$ -着色、完全着色、消色数  $\psi(G)$ 、色数  $\chi(G)$  等均见后面的二(二)-(V)。

道路  $P_4$  的 4 个同态象:

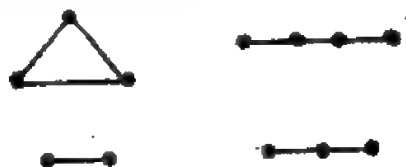


图 1.13

### (三) 定理

#### 1. 图

(1) (关于极图) 所有有  $p$  个点而没有三角形的图中最多有  $[p^2/4]$  条边 即  $ex(p, K_3) = [p^2/4]$ 。

另  $ix(p, C_4) = 1 + (p-1)(p-2)/2$ ,

$ix(p, K_2 - x) = [p^2/4]$ ,

$ix(p, K_{1,1} + x) = [p^2/4]$ ,

$$ix(p, K_n) = \frac{(n-2)(p^2-r^2)}{2(n-1)} + \binom{r}{2},$$

(其中,  $n \leq p$ ,  $p \equiv r \pmod{n-1}$ ) 且  $0 \leq r < n-1$ ,

(2) 每个无限图含有  $\mathcal{N}$  个互相邻接的点或  $\mathcal{N}$  个互不相邻接的点。

(3) 一个图  $G$  有  $q$  条边  $\implies \sum_{v \in V} d(v) = 2q$ 。

(4) 任何图  $G \implies$  有偶数个奇数点。

(5) 图  $G$  是一个双图  $\iff$  它的所有圈的长度是偶数。

(6) 每一个图都是一个交图。

(7)  $G(p, q)$  是连通的, 且  $p \geq 3 \implies \omega(G) \leq q$ 。(其中  $\omega(G)$  称为  $G$  的交数, 它是构成一个集  $S$  所需要的最少的元素的数目, 而使得  $G$  是  $S$  上的一个交图)。

(8)  $G$  有  $p_0$  个孤立点, 且没有  $K_2$  支  $\implies \omega(G) \leq q + p_0$ 。

(9)  $G$  是一个有  $p > 3$  个顶点的连通图,  $\omega(G) = q \iff G$  中没有三角形。

(10) 任一有  $p \geq 4$  个顶点的图  $G \implies \omega(G) \leq [p^2/4]$ 。

(11) 一个图  $G$  是一个团图  $\iff$  它含有完全子图的一个族  $F$ , 它们的并是  $G$ , 且若  $F$  的某个子族  $F'$  中每一对完全子图的交非空, 则  $F'$  的所有元素的交就非空。

#### 2. 子图

(12) 图  $G$  中所有不同的子图的个数是  $2^n$  个 (包括图  $G$  和空图)。

### 3. 通路和回路

(13) 图 $P$ 是一通路 $\iff P$ 中有两个顶点的度为1, 而其余顶点的度均为2.

(14)  $G$ 是不连通的 $\implies \bar{G}$ 连通.

(15) 任一闭链必为回路和回路的边不重并.

(16) 闭链为一回路 $\iff$ 它是最小闭链(即其中并不真包含其它闭链).

(17)  $G$ 是二分图 $\iff G$ 中无奇回路.

### 4. 运算

### 5. 同构与同态

(18) 同构关系是一个等价关系.

(19) 图 $G_1$ 与图 $G_2$ 同构 $\iff$ 存在一置换矩阵 $P$ , 使 $D_1 = P D_2 P$  ( $D_1$ 、 $D_2$ 分别为 $G_1$ 、 $G_2$ 之邻接矩阵;  $G_1$ 与 $G_2$ 无平行边). (邻接矩阵见后面的三(二)-(1)).

(20) (Ulam猜想) 令 $G$ 有 $P$ 个点 $v_i$ ,  $H$ 有 $P$ 个点 $u_i$ ,  $P \geq 3$ . 对每个 $i$ , 子图 $G_i = G - v_i$ 与 $H_i = H - u_i$ 同构 $\implies$ 图 $G$ 与 $H$ 同构(该猜想已在树的情形及比赛图的情形下, 部分地解决了).

(21) 对任一图 $G$ 和 $G$ 的任一初等同态 $\epsilon \implies \chi(G) \leq \chi(\epsilon G) \leq 1 + \chi(G)$ .

(22) 对 $G$ 的任何一个同态 $\phi \implies \chi(G) \leq \chi(\phi G)$ .

(23) 对任一图 $G$ 和 $G$ 的任一初等同态 $\epsilon \implies \psi(G) - 2 \leq \psi(\epsilon G) \leq \psi(G)$ .

(24) 对任一图 $G$ 和任一在 $\chi$ 和 $\psi$ 之间的整数 $n \implies$ 存在 $G$ 的一个 $n$ 阶完全同态(从而存在一个完全着色).

(25) 图 $G_1$ 和 $G_2$ 是1-同构 $\implies G_1$ 的秩等于 $G_2$ 的秩;  $G_1$ 的零度等于 $G_2$ 的零度.

### 6. E. P. Ramsey 定理

(Ramsey数) 已给 $n$ -集 $S$  ( $|S| = n$ ), 及正整数 $t, q_1, q_2, \dots, q_t, r$ , 满足条件

$$q_1, q_2, \dots, q_t \geq r \geq 1 \dots\dots\dots (*)$$

在 $S$ 中作所有 $r$ 个元素的子集合得集合 $P_r(S)$ , 将 $P_r(S)$ 作 $t$ 个子集的划分:

$$P_r(S) = A_1 \cup A_2 \cup \dots \cup A_t \dots\dots\dots (**)$$

设在原集合 $S$ 中存在 $q_i$ -子集 $S_i$  ( $|S_i| = q_i$ ), 使 $S_i$ 中所有 $r$ 个元素的子集合, 全含在 $A_i$ 内, 则称 $S$ 包含子集合 $(q_i, A_i)$ 或称存在子集合 $(q_i, A_i)$ .

设存在最小正整数 $N(q_1, q_2, \dots, q_t, r)$ 使当

$$n \geq N(q_1, q_2, \dots, q_t, r)$$

时至少存在一个子集合 $(q_i, A_i)$ , 则称此最小的正整数 $N(q_1, q_2, \dots, q_t, r)$ 为Ramsey数.

(26) (Ramsey定理) 已给 $n$ -集 $S$ 及正整数 $q_1, q_2, \dots, q_t, r$ , 满足条件 $(*) \implies$ 恒存在一个极小正整数 $N(q_1, q_2, \dots, q_t, r)$ ; 使当 $n \geq N(q_1, q_2, \dots, q_t, r)$ 时, 将 $P_r(S)$ 作划分 $(**)$ , 则在集合 $S$ 里, 将存在子集 $(q_i, A_i)$ , 其中 $i$ 是 $1, 2, \dots, t$ 中的某个数.

#### 【Ramsey 定理的应用】

(27) 在平面上任给5点, 无3点共线 $\implies$ 在此5点中, 必存在4点, 构成一个凸四边形.

(28) 在平面上, 任给 $m$ 点, 无三点共线. 由此 $m$ 点所可能构成的一切四边形, 都是凸四边形 $\implies$ 原给的 $m$ 点, 构成一个凸 $m$ 点形.

(29) 任给正整数 $m$ , 作 $n$ 阶 $(0, 1)$ -矩阵, 当 $n$ 充分大时 $\implies$ 在此矩阵中, 必含

一个  $n$  阶主子矩阵, 是以下四种形式之一:

$$\begin{bmatrix} * & & & 0 \\ & * & & \\ & & * & \\ 0 & & & * \\ * & & & 1 \\ & * & & \\ & & * & \\ 0 & & & * \end{bmatrix}$$

$$\begin{bmatrix} * & & & 0 \\ & * & & \\ & & * & \\ 1 & & & * \\ * & & & 1 \\ & * & & \\ & & * & \\ 1 & & & * \end{bmatrix}$$

(30) 设  $q_1, q_2 \geq 2 \rightarrow N(q_1, q_2, 2) \leq N(q_1 - 1, q_2, 2) + N(q_1, q_2 - 1, 2)$ .

(31)  $N(q_1 - 1, q_2, 2)$  与  $N(q_1, q_2 - 1, 2)$  都是偶数  $\Rightarrow$

$$N(q_1, q_2, 2) < N(q_1 - 1, q_2, 2) + N(q_1, q_2 - 1, 2)$$

$$(32) \quad N(q_1, q_2, 2) \leq \binom{q_1 + q_2 - 2}{q_1 - 1}$$

(33) (Erdős[1947])  $N(K, K, 2) \geq 2^{K/4}$ .

(34)  $N(3, 3, 2) = 6$ .

(35)  $N(3, 4, 2) = 9$ .

(36)  $N(3, 5, 2) = 14$ .

(37)  $N(4, 4, 2) = 18$ .

(38)  $N(3, 6, 2) = 18$ .

(39) 已知的Ramsey 数:

		$N(q_1, q_2, 2)$						
		1	2	3	4	5	6	7
1		1	1	1	1	1	1	1
2		1	2	3	4	5	6	7
3		1	3	6	9	14	18	23
4		1	4	9	13			
5		1	5	14				
6		1	6	18				
7		1	7	23				

$$N(3, 3, 3, 2) = 17,$$

$$N(3, 3, 3, 3, 2) = 65,$$

(40) 关于Ramsey 数  $N(k, l, 2)$  的确定, 最新成果有:

$k \backslash l$	3	4	5	6	7
3	6	9	14	18	23
4		13	28	41	66
5			55	94	153
6				173	322
7					626

## (四) 题 解

### 1. 图-通路和回路

(1) 找出右图(图1.14)中: ①从顶点  $A$  到顶点  $F$  的所有的通路; ②从  $A$  到  $F$  的所有的迹; ③  $A$  和  $F$  之间的距离; ④这个图的直径.

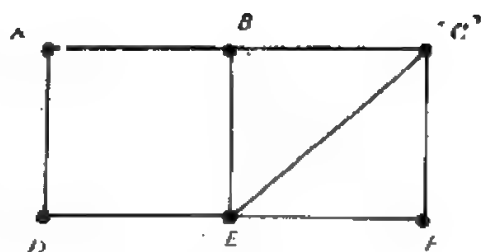


图 1.14

解: ①从  $A$  到  $F$  的路是一条通道, 它没有重复的顶点, 也没有重复的边. 有 7 条这样的通路:  $(A, B, C, F)$ ,  $(A, D, E, F)$ ,  $(A, B, C, E, F)$ ,  $(A, D, E, B, C, F)$ ,  $(A, B, E, F)$ ,  $(A, D, E, C, F)$ ,  $(A, B, E, C, F)$ .

②从  $A$  到  $F$  的一条迹是一条通道, 它的边没有重复. 有 9 条这样的迹, 它们是①中的 7 条路加上.

$(A, D, E, B, C, E, F)$  和  $(A, D, E, C, B, E, F)$ .

③从  $A$  到  $F$  的距离是 3, 因为有一条从  $A$  到  $F$  的长度为 3 的路, 即  $(A, B, C, F)$ , 而没有从  $A$  到  $F$  的更短的路.

④任何两点之间的距离不大于 3,  $A$  和  $F$  之间的距离是 3, 因此这个图的直径是 3.

(2) 下图(图1.15)中的哪些是连通的、无环的、简单图?

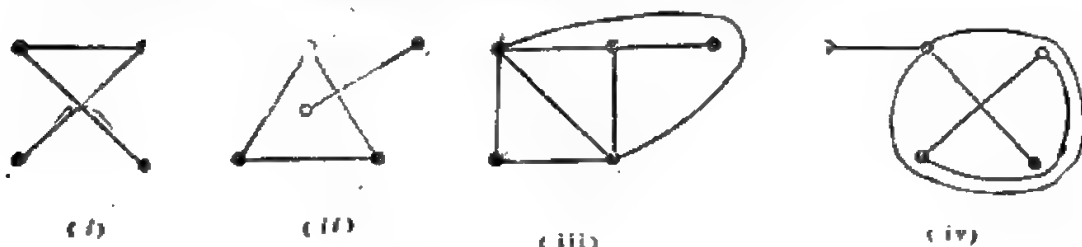


图 1.15

解: ①仅 (i) 和 (iii) 是连通的;

②仅 (iv) 有一个环, 即一条有相同端点的边;

③仅 (i) 和 (ii) 是简单图. 图 (iii) 有多重边, 图 (iv) 有多重边和一个环.

(3) 试证: 当且仅当有一条从  $u$  到  $v$  的通路时, 存在着从顶点  $u$  到顶点  $v$  的一条通道.

证: 因为每一条路是一个通道, 所以我们仅需证明, 若存在从  $u$  到  $v$  的一条通道  $W$ , 则存在从  $u$  到  $v$  的一条通路. 我们对  $W$  的长度施以归纳法证明. 假设  $W$  的长度是 1, 即  $W = (u, v)$ , 则  $W$  是从  $u$  到  $v$  的一条通路. 又设  $W$  的长度是  $n > 1$ , 即

$$W = (u = v_0, v_1, v_2, \dots, v_{n-1}, v = v_n).$$

若没有顶点被重复, 则  $W$  是从  $u$  到  $v$  的一条路. 没有一个顶点被重复, 比如  $v_i = v_j$ , 这里  $i < j$ . 则

$$W' = (v_0, v_1, \dots, v_i, v_{i+1}, \dots, v_n)$$

是长度小于  $n$  的从  $u = v_0$  到  $v = v_n$  的一条通道. 根据归纳法, 存在着从  $u$  到  $v$  的一条通路.

(4) 证明: 若  $G$  是简单的, 则其边数



$$e(G) \leq \binom{n}{2}.$$

证: 因为  $v$  个顶点构成的完全图  $K_v$  的

$$e(K_v) = \binom{v}{2},$$

另一方面, 对  $v$  个顶点的简单图  $G$  显然有

$$e(G) \leq e(K_v),$$

故  $e(G) \leq \binom{v}{2}$ .

(5) 设  $S = \{x_1, x_2, \dots, x_n\}$  是平面上的一个点集, 其中任意二点间的距离至少是 1, 证明至多有  $3n$  对点, 每对点的距离恰好是 1.

证: 定义图  $V(G) = \{x_1, x_2, \dots, x_n\}$ , 当且仅当  $x_i$  与  $x_j$  的距离为 1 时,  $x_i$  与  $x_j$  间有边. 由平面几何的知识易见  $\Delta(G) \leq 6$ . 由  $\sum_{i=1}^n d_i = 2e$  知  $2e \leq \Delta \cdot n \leq 6n$ , 故  $e \leq 3n$ , 亦即至多有  $3n$  对点, 对点, 每对间的距离恰好是 1.

(6) 试证: 若  $G$  是简单图且  $\delta \geq k$ , 则  $G$  有一条长为  $k$  的通路.

证: 用反证法. 设  $G$  中不含一条长为  $k$  的通路. 不妨设  $P = (v_1, v_2, \dots, v_{t+1})$  是  $G$  中最长的通路, 其长度  $t \leq k-1 < k$ . 此时  $v_1$  与  $P$  以外的任何顶点均不能邻接, 否则与  $P$  是最长的通路相矛盾. 但这时  $v_1$  的次数最大只能是  $t < K$  与  $\delta \geq K$  相矛盾.

(7) 试证: 在连通图  $G$  中任意两条最长的通路必有一个公共顶点.

证: 用反证法. 否则若  $G$  中有两条最长的通路  $P_1, P_2$ , 无公共顶点. 因  $G$  连通, 故  $P_1$  上任一点  $u$  与  $P_2$  上的任一点  $v$  必是连通的, 不妨设  $u$  是  $(u, v)$ -通路上最后一个在  $P_1$  上的点,  $v$  是最先一个在  $P_2$  上的点, 如下图 (图 1.16) 所示:

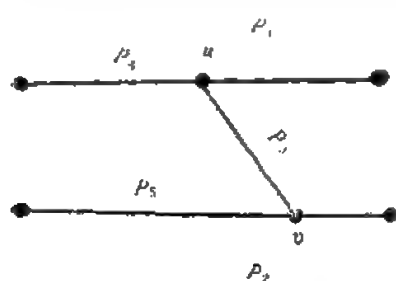


图 1.16

令  $(u, v)$ -通路为  $P_3$ , 设最长通路的长为  $l$ .

将  $P_1$  分为两段, 必有一段的长  $\geq \frac{l}{2}$ , 设为  $P_4$ . 同理  $v$  分  $P_2$  为两段, 有一段设为  $P_5$ , 其长  $\geq \frac{l}{2}$ . 于是  $|P_4 + P_5| > l$ , 此与  $P_1, P_2$  最长相矛盾 (此处 “+” 意指二通路相接).

(8) 试证: 对任何三个顶点  $u, v, w \in V(G)$  有

$$d(u, v) + d(v, w) \geq d(u, w) \text{ 成立.}$$

证: 若  $u$  与  $v$  或  $v$  与  $w$  不连通, 上述不等式显然成立. 否则令最短的  $(u, v)$ -通路为  $P_1$ , 最短的  $(v, w)$ -通路为  $P_2$ , 则  $P_1$  与  $P_2$  相接所得途径含一条道路  $P_3$  为  $(u, w)$ -通路. 由  $d(u, w)$  的定义得  $|P_3| \geq d(u, w)$ .

$$\text{但 } |P_3| = |P_1| + |P_2| = d(u, v) + d(v, w).$$

$$\text{故 } d(u, v) + d(v, w) \geq d(u, w).$$

(9) 证明: 若  $G$  的直径大于 3, 则  $G^*$  的直径小于 3.

证: 若  $u, v \in V(G)$  在  $G$  中不邻接, 则在  $G^*$  中邻接; 故在  $G^*$  中,  $d(u, v) = 1$ .

若  $u, v$  在  $G$  中邻接, 由于  $G$  的直径大于 3, 故总存在  $w \in V(G)$ ,  $w$  与  $u, v$  皆不邻接. 于是在  $G^*$  中,  $w$  与  $u, v$  邻接, 故  $d(u, v) = 2 < 3$ , 所以对任意的  $u, v \in V(G^*)$  有  $d(u, v) < 3$ .

由上得到:  $G^*$  的直径小于 3.

(10) 证明: 若  $G$  是直径为 2 的简单图, 且  $\Delta = \gamma - 2$ , 则  $\varepsilon \geq 2\gamma - 4$ .

证: 不失一般性, 设  $G$  中顶点  $u_1$  有  $d(u_1) = \gamma - 2$ , 则除一个顶点外,  $u_1$  必与其余顶点邻接; 把不邻接的顶点记作  $v_r$ , 邻接点依次记为  $v_2, v_3, \dots, v_{\gamma-1}$ , 如下图 (图 1.17) 所示:



图 1.17

$v_r$  必与  $v_2, \dots, v_{\gamma-1}$  中至少一个顶点邻接, 否则  $v_r$  成为孤立点, 与题设矛盾. 不妨设  $v_r$  与  $v_2$  邻接, 但  $v_r$  要与  $v_3$  距离不大于 2, 有两种可能: 一种是  $v_r$  与  $v_3$  邻接, 另一种是  $v_r$  通过  $v_2, v_4, \dots, v_{\gamma-1}$  中某一个与  $v_3$  邻接的点构成到  $v_3$  的长度为 2 的通路, 即要保证  $v_r$  与  $v_3$  距离不大于 2, 至少要增添一边. 类似的理由, 要保持  $v_r$  与  $u_4, \dots, u_{\gamma-2}$  中任何一顶点的距离不大于 2, 至少各要增添一边.

所以要使  $G$  的直径为 2, 至少保持由  $u_1$  发出的  $\gamma - 2$  条边及  $v_2, \dots, v_{\gamma-1}$  各增添的一条边故  $\varepsilon \geq 2(\gamma - 2) = 2\gamma - 4$ .

(11) 证明: 若  $G$  是连通的简单图, 但不是完备的, 显然必有  $\gamma \geq 3$ , 则  $G$  有三个顶点  $u, v, w$ , 使  $uv, vw \in E$ , 而  $uw \notin E$ .

证: 由于  $G$  是连通而不是完备的, 故至少有一对点  $u, p$  不邻接, 但由于  $G$  连通, 故存在  $(u, p)$ -通路. 若设  $Q$  为最短的  $(u, p)$ -通路, 当其长为 2 时, 可令  $w = p$ ,  $v$  为  $Q$  上的内部顶点,  $u, v, w$  即为所求; 否则当最短的  $(u, p)$ -通路长为  $|Q| > 2$  时,  $Q = (u, v_1, v_2, \dots, p)$ ,  $u$  与  $u_1$  必不邻接, 否则  $(u, v_1, \dots, p)$  将是比  $Q$  更短的  $(u, p)$ -通路, 与假设矛盾. 于是令  $v = v_1$ ,  $w = v_2$  即为所求.

(12) 证明:  $\delta \geq 2$  时,  $G$  有一条回路.

证: 若  $G$  是非简单图, 显然当  $\delta \geq 2$  时,  $G$  有回路. 若  $G$  是简单图, 任取一点  $v_1 \in V$ ,  $d(v_1) \geq 2$ , 至少有一点, 不妨设为  $v_2$  与  $v_1$  邻接.  $d(v_2) \geq 2$  至少有一个顶点, 不妨设为  $v_3$  与  $v_2$  邻接, 继续下去, 由于  $G$  的顶点数有限, 必有重复的顶点出现, 即  $G$  有一条回路.

(13) 证明: ①围长为 5 的  $K$ -正则图至少有  $k^2 + 1$  个顶点; ②围长为 4 的  $K$ -正则图至少有  $2k$  个顶点且 (在同构意义下) 在  $2k$  个顶点上恰好有一个这样的图.

证: ①围长为 5 的图必为简单图, 故对于任一  $u \in V$ , 由于图是  $K$ -正则的, 必恰好与  $K$  个顶点邻接. 但  $K$  个顶点彼此间不能邻接, 否则将出现一个回路; 由是这  $K$  个顶点中的每一个又要与  $K - 1$  个顶点邻接, 且这些  $K(K - 1)$  个点是互异的, 否则将出现回路. 这时图有  $1 + K + K(K - 1) = K^2 + 1$  个顶点. 故围长为 5 的  $K$ -正则图至少有  $K^2 + 1$  个顶点.

②任取一顶点  $v \in V$ , 图  $G$  的围为 4, 故必为简单图, 又是  $K$ -正则的, 故  $v$  与  $K$  个顶点  $v_1, \dots, v_K$  邻接且它们之间不再邻接, 否则将出现一回路.  $G$  是  $K$ -正规的, 故  $v_1$  应再与  $K - 1$  个顶点  $u_1, u_2, \dots, u_{K-1}$  邻接, 此时已有  $K + 1 + K - 1 = 2K$  个顶点. 所以  $V(G) \geq 2K$ .

在  $2K$  个顶点上的围长为 4 的  $K$ -正则图中,  $v$  与  $v_1, \dots, v_K$  邻接,  $v_1, \dots, v_K$  分别与  $u_1, \dots, u_{K-1}$  都邻接, 即下图 (图 1.18) 所示:

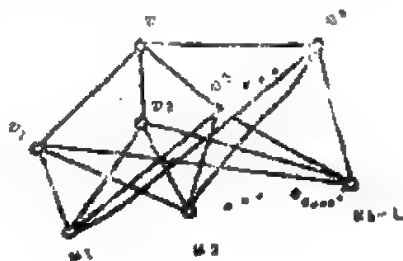


图 1.18

显然在同构意义下, 满足题设的图只有这一种.

(14) 证明: ①若  $\varepsilon \geq \gamma$ , 则  $G$  有一条回路.

②若  $\epsilon \geq \gamma + 4$ , 则  $G$  有两条边不重并的回路。

证: ①对  $\gamma$  施归纳.  $\gamma = 1$ ,  $\epsilon \geq \gamma$  显然  $G$  有一条回路. 设结论对少于  $\gamma$  个顶点的图  $G$  成立, 并设  $G$  有  $\gamma \geq 2$  个顶点, 不妨设  $G$  是连通的. 若  $G$  无回路, 设  $uv \in E$ , 因  $uv$  是  $G$  中唯一的  $(u, v)$ -通路, 故  $G - uv$  不含  $(u, v)$ -通路, 从而  $G - uv$  不连通. 由结论: 若  $e \in E$ , 则  $\omega(G) \leq \omega(G - e) \leq \omega(G) + 1$ , 可知  $\omega(G - uv) = 2$ . 设  $G - uv$  的分支为  $G_1$  和  $G_2$ ,  $\gamma(G) = \gamma(G_1) + \gamma(G_2)$ ,  $\epsilon(G_1) + \epsilon(G_2) = \epsilon(G) - 1$ . 故必有  $G_1$  或  $G_2$  有  $\gamma(G_i) \leq \epsilon(G_i)$  ( $i = 1$  或  $2$ ). 不妨设  $\epsilon(G_1) \geq \gamma(G_1)$ , 但  $\gamma(G_1) < \gamma(G)$ , 由归纳法假设  $G_1$  中有一条回路, 与  $G$  中无回路矛盾.

②若  $\epsilon \geq \gamma + 4$ , 而  $G$  无两条边不重并的回路. 选具有这性质的一个最小的图, 仍记作  $G$ .  $\epsilon(G) \geq \gamma + 4 > \gamma$ . 由①可知  $G$  中必有回路, 不难证明  $G$  必须满足下列三个条件:

i)  $G$  的围长至少是 5, 否则将有两条边不重并的回路;

ii)  $\delta(G) \geq 3$ , 否则将与  $G$  的最小性矛盾;

iii)  $\gamma(G) \leq 8$ , 因  $2\epsilon = 2(\gamma + 4) \geq \delta\gamma \geq 3\gamma$ ,

$\therefore \gamma \leq 8$ .

但分别验证,  $\gamma = 1, 2, \dots, 8$  的图,  $G$  不能同时满足上面的三个条件, 与前述矛盾. 故  $G$  有两条边不重并的回路.

## 2. 图的同构

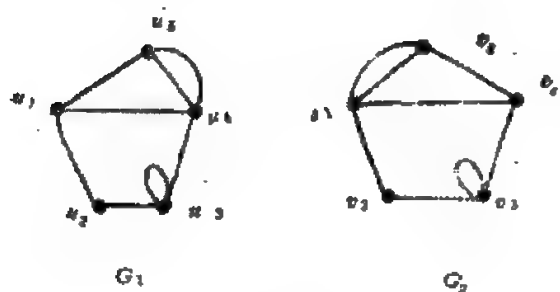


图 1.19

(15) 证明下面两个图 (图1.19) 不同构

证: 否则, 若  $G_1$  与  $G_2$  同构, 由同构的定义知同构对应保持邻接性, 于是与圈关联的结点必须与具有同样性质的点对应, 且对应点关联的边数必相同. 因此必有  $u_i \leftrightarrow v_i$ ,  $u_i$  在  $G_1$  中与  $u_1$  邻接, 故对应点只能是  $v_2$  或  $v_4$ , 但与  $u_1$  关联的边有 4 条, 而与  $v_2, v_4$  关联的边分别为 2 条与 3 条, 引出

矛盾. 故  $G_1$  与  $G_2$  不同构.

(16) 证明两个简单图  $G$  和  $H$  同构的充要条件是存在一个可逆的一一对应  $\theta: V(G) \rightarrow V(H)$ , 使得当且仅当  $\theta(u)\theta(v) \in E(H)$  时,  $uv \in E(G)$ .

证: “ $\Rightarrow$ ” 显然.

“ $\Leftarrow$ ” 首先由  $\theta$  定义  $\phi: E(G) \rightarrow E(H)$  如下:  $uv \in E(G)$  与  $\theta(u)\theta(v) \in E(H)$  对应. 由于  $G$  和  $H$  均为简单图, 故  $\phi$  是一个可逆的一一对应. 且有  $\psi_e(e) = uv$  的充要条件是  $\psi_u(\phi(e)) = \theta(u)\theta(v)$ , 因此由定义可得  $G \cong H$ .

(17) 证明在四个顶点上的非同构的简单图有 11 种.

证: 因为若  $G \cong H$ , 则  $v(G) = v(H)$ ,  $\epsilon(G) = \epsilon(H)$ . 于是分别研究  $v = 4$ ,  $\epsilon = 0, 1, 2, 3, 4, 5, 6$  的图, 不难证明在四个顶点上的非同构的简单图有 (见图1.20),

(18) ①画出  $K_n^*$  和  $K_{n,n}^*$ ;

②若  $G$  是自补的, 则  $v \equiv 0, 1 \pmod{4}$ .

证: ①  $K_n^*$  为具有  $n$  个顶点的空图, 共  $n$  个顶点;  $K_{n,n}^*$  为分别具有  $n$  个顶点和  $n$  个顶点的两个完全图结合而成的图.

②  $G$  是自补的, 即  $G \cong G^c$ ,

$\therefore \varepsilon(G) = \varepsilon(G^c)$ ,

又  $\varepsilon(G) + \varepsilon(G^c) = C$ ;

即  $v(v-1) = 4\varepsilon(G)$

$\therefore v \equiv 0, 1 \pmod{4}$ .

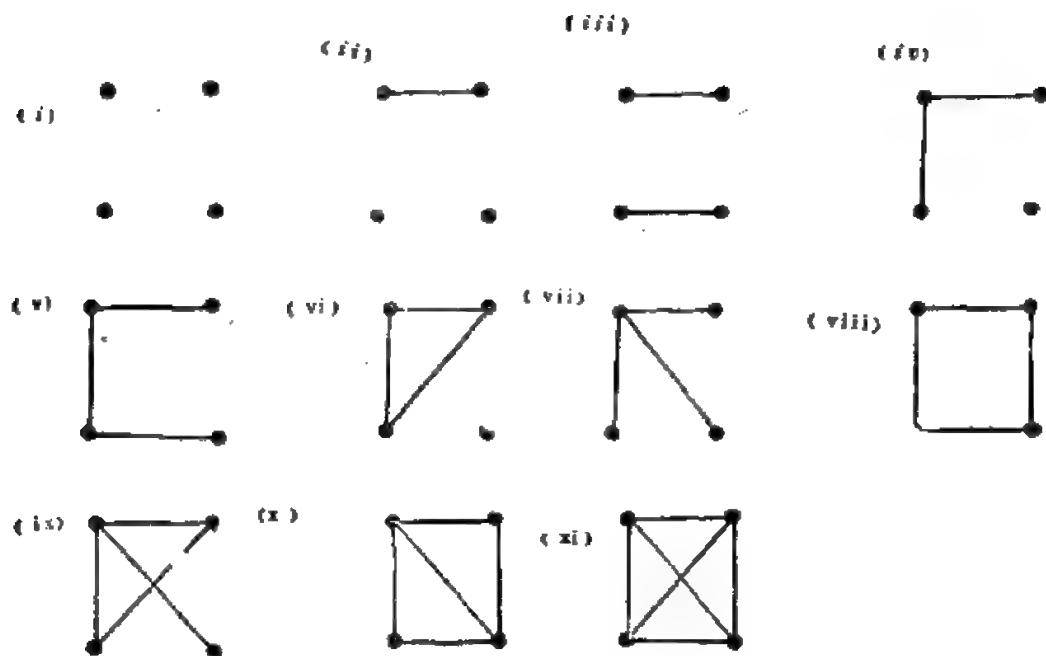


图 1.20

(19) ① 利用上面题(16)的结果证明简单图  $G$  的一个自同构可以认为是在  $V$  上的一个保持邻接性的置换. 这种置换集在通常的合成运算下, 形成一个群  $\Gamma(G)$ ;

② 找出  $\Gamma(K_n)$  和  $\Gamma(K_{n,m})$ ;

③ 找出一个非平凡的简单图使它的自同构群是自身;

④ 证明对任何简单图  $G$  成立  $\Gamma(G) = \Gamma(G^c)$ ;

⑤ 研究具有元素  $(1)(2)(3)$ ,  $(1, 2, 3)$  和  $(1, 3, 2)$  的置换群  $A$ , 证明不存在具有顶点集  $1, 2, 3$  的简单图  $G$  使  $\Gamma(G) \cong A$ ;

⑥ 找出一个简单图  $G$  使  $\Gamma(G) \cong A$ .

证: ① 由题(16)及自同构的定义和群的定义可直接证明(略).

②  $\Gamma(K_n)$  为  $n$  个数字所有的置换所组成的群, 即  $\Gamma(K_n) \cong A_n$ ,  $A_n$  为  $n$  个数字的置换组成的置换群.

$\Gamma(K_{n,m})$  为若  $Q \in \Gamma(K_{n,m})$ , 则

$$\sigma: \begin{pmatrix} 12 \cdots m & m+1 \cdots m+n \\ i_1 i_2 \cdots i_n j_{n+1} \cdots j_{m+n} \end{pmatrix} \text{ 其中 } (i_1 i_2 \cdots i_n) \text{ 是 } m \text{ 个数字 } 1, 2, \cdots, m$$

的置换,  $(j_{n+1}, \cdots, j_{m+n})$  是  $(m+1, \cdots, m+n)$  的一个置换.

③ 易证  $\Gamma(G)$  为单位元素. (见图1.21)



图 1.21

④因为图的自同构特殊邻接线及非邻接性，故由补图的定义知  $\Gamma(G) = \Gamma(G')$ 。

⑤因为具有顶点集  $\{1, 2, 3\}$  的简单图，当为空图时，其  $\Gamma(G)$  为  $A_3$ ，有 6 个元。有一条边时， $\Gamma(G)$  具有 2 个顶，有两条边时， $\Gamma(G)$  有 2 个元，有三条边时， $\Gamma(G) \cong A_3$ ，故不存在顶点集为  $\{1, 2, 3\}$  的简单图  $G$  使  $\Gamma(G) \cong A_1$ 。

$G_2$

⑥易验证  $\Gamma(G) \cong A_1$ 。（见图 1.22）



图 1.22

(20) 设  $G$  是简单图，并设  $n$  是一个整数， $Kn < \nu - 1$ 。试证若  $\nu \geq 4$  且  $G$  在  $n$  个顶点上的所有导出子图均有相同边数，则或  $G \cong K_n$ ，或  $G \cong K_n^c$ 。

证：设  $G$  在  $n$  个顶点上的所有导出子图都有  $m$  条边，对任意两个顶点  $v_i, v_j$  有

$$e(G) - d(v_i) = e(G - v_i)$$

$$= m \binom{\nu-1}{n} / \binom{\nu-3}{n-2}$$

$$e(G) - d(v_i) - d(v_j) + a_{ij} = e(G - v_i - v_j) = m \binom{\nu-1}{n} / \binom{\nu-4}{n-2}$$

$$\begin{aligned} \text{二式相减: } d(v_j) - a_{ij} &= m \frac{(\nu-1)!}{n!(\nu-1-n)!} \cdot \frac{(n-2)!(\nu-n-1)!}{(\nu-3)!} \\ &= m \frac{(\nu-2)!}{n!(\nu-2-n)!} \cdot \frac{(\nu-n-2)!(n-2)!}{(\nu-4)!} \\ &= \frac{2m(\nu-2)}{n(n-1)} \end{aligned}$$

等式右端为与  $i, j$  无关的常数，但  $d(v_i)$  应为一个常数，故对任意的  $i, a_{ij}$  恒等于 1 或  $a_{ij}$  恒等于 0，又由  $j$  的任意性知对任意的  $i, j, a_{ij}$  恒等于 1 或  $a_{ij}$  恒等于 0，即或  $G \cong K_n$ ，或  $G \cong K_n^c$ 。

### 3. 图的序列

(21) 试证当且仅当  $\sum_{i=1}^n d_i$  是偶数时，非负整数序列  $(d_1, d_2, \dots, d_n)$  是某个图的次数  $G$  序列。

证明：必要性：由  $\sum_{i=1}^n d_i = 2e$  知  $\sum_{i=1}^n d_i$  是偶数。

充分性：对非负整数序列  $(d_1, d_2, \dots, d_n)$ ，若  $\sum_{i=1}^n d_i$  为偶数，我们欲证总存在一个图  $G$  使  $(d_1, \dots, d_n)$  是  $G$  的次数序列。令  $V(G) = \{v_1, v_2, \dots, v_n\}$  在每个点  $v_i$  时做  $\left\lfloor \frac{d_i}{2} \right\rfloor$  个环，若  $d_i$  为偶数，此时  $d(v_i) = d_i$ ，否则由  $\sum_{i=1}^n d_i$  为偶数，故为奇数的  $d_i$  必有偶数个。将这偶数个对应的  $v_i$  间连边，使任意两两不相邻，即每个结点的度数增加 1，此时这些  $v_i$  亦有  $d(v_i) = d_i$ 。

(22) 试证: ①  $(7, 6, 5, 4, 3, 3, 2)$  和  $(6, 6, 5, 4, 3, 3, 1)$  不是图的序列; ②若  $d$  为图的序列且  $d_1 \geq d_2 \geq \dots \geq d_n$ , 则  $\sum_{i=1}^n d_i$  为偶数且  $\sum_{i=1}^n d_i \leq K(K-1) +$

$$\sum_{i=k+1}^n \min(K, d_i) \quad (1 \leq K \leq n).$$

证明: ①  $(7, 6, 5, 4, 3, 3, 2)$  若是图的序列, 这图必有 7 个顶点且为简单图, 故  $\Delta \leq 6$  不能出现 7, 引出矛盾.

$(6, 6, 5, 4, 3, 3, 1)$  若为图的序列, 图有 7 个顶点,  $\Delta \leq 6$ , 序列中有两个 6, 即图中有两个点与其余的顶点都邻接, 即  $\delta \geq 2$  与序列中出现 1 相矛盾.

②由  $\sum_{i=1}^n d_i = 2\epsilon$ , 得知  $\sum_{i=1}^n d_i$  为偶数. 设  $G$  以  $d$  为度数序列, 对任意的  $1 \leq K \leq n$ , 将图  $G$  的顶点集  $V(G) = \{v_1, v_2, \dots, v_n\}$  分为两部分:  $s_1 = \{v_1, \dots, v_K\}$ ,  $s_2 = \{v_{K+1}, \dots, v_n\}$ .  $G$  是简单图, 故  $\sum_{i=1}^K d_i$  等于  $2\epsilon(G[s_1])$  加上顶点分别在  $s_1$  和  $s_2$  的总边数. 但  $2\epsilon(G[s_1]) \leq K(K-1)$

1), 端点分别在  $s_1$  和  $s_2$  的边数和  $\leq \sum_{i=k+1}^n \min(K, d_i)$ , 故有

$$\sum_{i=1}^K d_i \leq K(K-1) + \sum_{i=k+1}^n \min(K, d_i) \quad (1 \leq K \leq n).$$

(23) 试证: ①当且仅当  $d'$  是图的序列时,  $d$  才是图的序列. 这里  $d = (d_1, d_2, \dots, d_n)$  是非负整数的非增序列,  $d' = (d'_1, d'_2, \dots, d'_{d_1+1}, d'_{d_1+2}, \dots, d'_n)$ ; ②利用①给出一个可以构造出具有次数序列  $d$  的简单的算法, 如果这种图存在的話.

证明: ①若  $G$  是简单图, 且  $u_1v_1, u_2v_2 \in E(G)$ , 而  $u_1v_2, u_2v_1 \notin E(G)$ , 则  $G - \{u_1v_1, u_2v_2\} + \{u_1v_2, u_2v_1\}$  有和  $G$  相同的度数序列.

若  $d$  是图的序列, 则存在一个简单图  $G'$ , 使  $d$  是  $G'$  的度数序列, 总可以适当地排列其结点的次序, 使  $d(v_i) = d_i$ . 这里  $V(G') = \{v_1, v_2, \dots, v_n\}$ . 若  $v_1$  和  $v_2, v_3, \dots, v_{d_1+1}$  中的某点  $v_j$  不邻接, 则必与  $v_j$  ( $j > d_1 + 1$ ) 邻接. 由于  $d$  是非增序列, 则必存在一个  $v_p$  与  $v_n$  邻接, 但不与  $v_1$  邻接, 于是由前可知  $G' - \{v_1v_j, v_nv_p\} + \{v_1v_n, v_jv_p\}$  与  $G'$  有相同的度数序列. 如此继续对  $v_2, v_3, \dots, v_{d_1+1}$  中与  $v_1$  不邻接的点使用上述做法, 总可得到图  $G$  与  $G'$  有相同的度数序列, 即  $V(G) = \{v_1, \dots, v_n\}$  使  $d(v_i) = d_i$ , 且  $v_1$  和  $v_2, v_3, \dots, v_{d_1+1}$  连接, 显然  $G - v_1$  便有度数序列  $d'$ , 故  $d'$  也是图的序列.

反之, 若  $d'$  是图的序列, 便有简单图  $H$  使  $V(H) = \{v_2, \dots, v_n\}$ ,  $d(v_i) = d'_i - 1$  ( $i = 2, \dots, d_1 + 1$ );  $d(v_i) = d'_i$  ( $i = d_1 + 2, \dots, n$ ). 在  $H$  中增加点  $v_1$  且把  $v_1$  与  $v_2, \dots, v_{d_1+1}$  连接, 得到的图仍是简单图且以  $d$  为度数序列, 故  $d$  是图的序列.

②开始  $i = 0$ ,  $d_i = d$ .

Step1. 求出  $d_i$  并按不增次序重新排列  $d_i$  的分量得  $d_{i+1}$ .

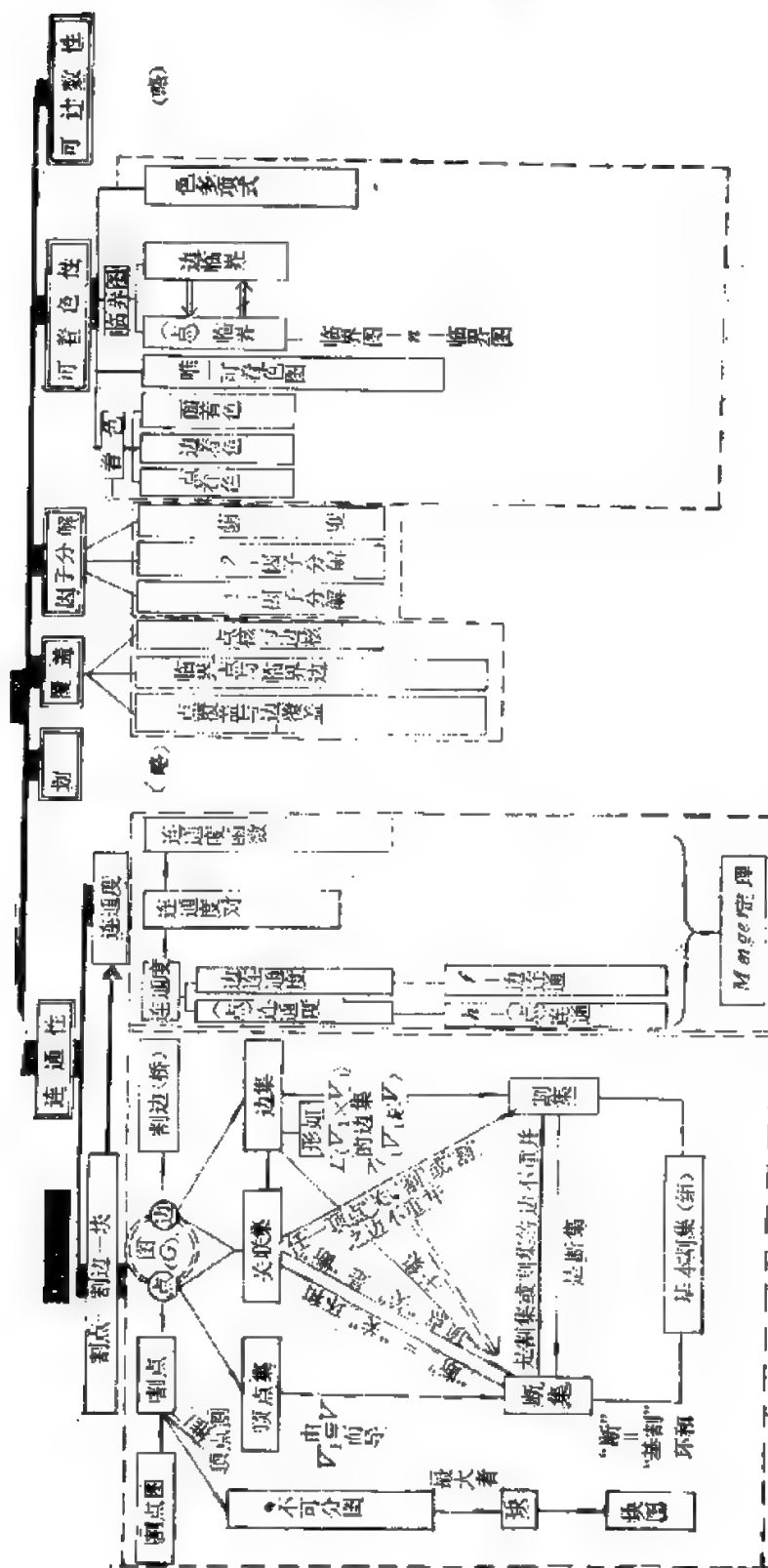
若  $d_{i+1} = (0, 0, \dots, 0)$  结束, 否则转 Step2.

Step2.  $i + 1 \rightarrow i$ , 重复 Step1.

这样便得到一系列图的度数序列  $d_0, d'_0, d_1, d'_1, \dots, d_{k-1}, d'_{k-1}, d_K, d_K = (0, \dots, 0)$ 。设  $d_K$  有  $m$  个分量，开始令  $j = K$ ，做  $m$  个结点的空图，排列结点的次序得  $G_j$ ，以  $d_{j-1}$  为度数序列，加一个顶点于  $G_j$  且将这顶点与  $G_j$  的前  $d_{j-1, 1}$  个顶点连接（此处  $d_{j-1, 1}$  是  $d_{j-1}$  的第一个分量）得到图  $G_{j-1}$ 。若  $j - 1 = 0$  结束，否则令  $j - 1 \rightarrow j$  重复前述步骤

## 二、图的一般性质

### (一) 结 构





## (二) 概 念

### 1. 连通性

(1) 割点: 图  $G$  中去掉一顶点及与其相关联的所有边, 图的分支增加, 则称此顶点为割点。

割边: 图  $G$  中去掉一边后, 图的分支增加, 则称此边为割边或称为桥 (图2.1)。

块: 是一个最大的不可分子图 (图2.2)。

(2) 关联集: 与顶点  $v$  关联的所有边的集合, 称为顶点  $v$  的关联集, 记作  $S(v)$ 。

割集: 设  $S$  是图  $G$  的一个边集, 若 (1°)  $R(G-S) = n_v - 2$ ; (2°) 对  $S$  的任一真子集  $S'$ , 有  $R(G-S') = n_v - 1$ , 则称边集  $S$  为图  $G$  的一个割集。(即在  $G$  中去掉  $S$  的所有边后,  $G$  变成具有二分支的分离图, 但去掉  $S$  中的部分边, 图将仍然是连通的。此处  $R$  示图的秩: 图  $G$  连通时,  $R(G) = n_v - 1$ ; 图  $G$  是有  $P$  个分支的分离图时,  $R(G) = n_v - P$ 。(图2.3)



a, b, c 均为割边

图 2.1

图  $G$ :



$G$  的块,

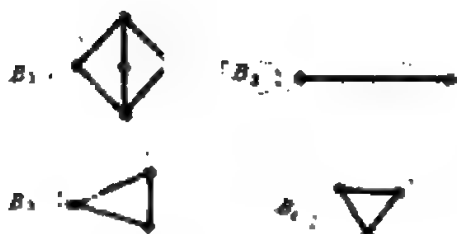
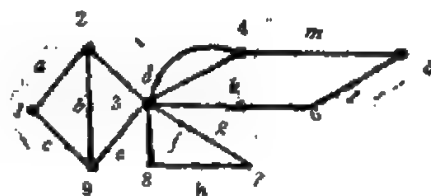


图 2.2



关联集:  $s(1) = \{a, c\}$ ,  $s(2) = \{a, b, d\}$   
 $s(4) = \{i, j, m\}$ ,  $s(5) = \{m, l\}$ ,  
 $s(6) = \{k, l\}$ ,  $s(7) = \{g, h\}$ ,  
 $s(8) = \{f, h\}$ ,  $s(9) = \{b, c, e\}$ ,

皆为割集

图 2.3

断集: 设  $V_1$  是图  $G = (V, E)$  的顶点集  $V$  的一个子集,  $G$  中端点分别属于  $V_1$  和  $\bar{V}_1$  的所有边的集合, 称为  $G$  的断集。

基本割集: 设  $S$  为图  $G$  的一个割集,  $T$  是  $G$  的一棵生成树 (见后 (10)), 若  $S$  中恰好含有  $T$  的一个树枝, 则称  $S$  为  $G$  的关于生成树  $T$  的基本割集。

基本割集组: 连通图  $G$  的  $n_v - 1$  个基本割集称为  $G$  的关于生成树  $T$  的一个基本割集组, 记作  $S_f$ ; 若  $G$  是含  $P$  个分支的分离图, 则  $G$  关于生成森林 (见后 (10)) 的基本割集组中含有  $n_v - P$  个基本割集。

(3) 不可分图: 是连通的、非平凡的且无割点的图。

块图: 若取  $G$  的块作为集的族  $F$ , 则交图  $\Omega(F)$  称为  $G$  的块图, 记作  $B(G)$  (图2.4)。

割点图: 为了得到一个图, 使它的点对应于  $G$  的割点, 我们可以取  $S_v$  为所有含有割点

$v_i$  的共的并。得到的交图  $D(F)$  称为割点图，记作  $C(G)$  (图2.4)。

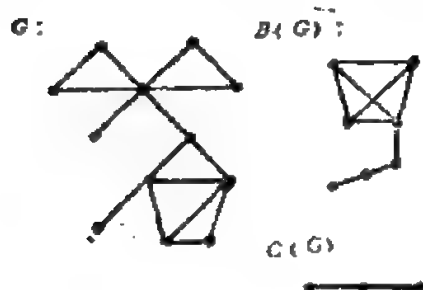


图 2.4



$G$  的生成树  $T = \{a, b, d, g\}$ ,  $G$  关于  $T$  的基本回路组是  $C_1 = \{a, b, c, g\}$ ,  $C_2 = \{a, b, d, e\}$ ,  $C_3 = \{a, b, d, g, h\}$ ,  $C_4 = \{d, f, g\}$ .

图 2.5

(4) 基本回路：设  $T$  是连通图  $G$  的一棵生成树，由  $T$  的树枝和一条连枝（见后(10)）构成的回路，称为图  $G$  的关于生成树  $T$  的基本回路。（分离图  $G$  的关于生成森林  $T$  的基本回路可类似地定义）。

基本回路组：连通图  $G$  的由  $n - n_0 + 1$  条连枝形成的  $n - n_0 + 1$  条基本回路，称  $G$  关于生成树  $T$  的基本回路组。（分离图  $G$  关于生成森林  $T$  的基本回路组是由  $n - n_0 + p$  条基本回路组成的）(图2.5)。

(5) 顶点割：若  $V$  的一个子集  $T$ ，使  $G - T$  不连通或是平凡图，则称  $T$  是  $G$  的顶点割。

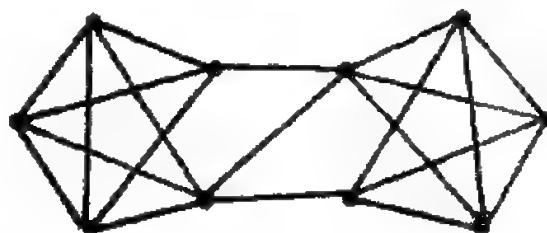
(点)连通度：设  $G$  是连通图，称数  $K(G) = \min \{|T| \mid T \text{ 是 } G \text{ 的顶点割}\}$  为  $G$  的(点)连通度（或称点断量，简称断量）；

边连通度：设  $G$  是连通图，称数  $\lambda(G) = \min \{|S| \mid S \text{ 是 } G \text{ 的断集}\}$  为  $G$  的边连通度（或称边断量）。

$\delta(G)$ ：是  $G$  的顶点的最小度数。（同(=)-(8)）

$k$ -(点)连通：设图  $G = (V, E)$ ，若  $K(G) \geq k$ ，则称  $G$  是  $k$ -(点)连通的；(图2.6)

$f$ -边连通：若  $\lambda(G) \geq f$ ，则称  $G$  是  $f$ -边连通的。



$K(G)=2, \lambda(G)=3, \delta(G)=4$ .

图 2.6

(6) 连通度对：是非负整数的一个有序对  $(a, b)$ ，使得存在某一个有  $a$  个点和  $b$  条边的集，移去它们后图就不连通了；但不存在有  $a-1$  个点和  $b$  条边的集或有  $a$  个点  $b-1$  条边的集具有此性质。

(7) 连通度函数：一个图  $G$  的连通度对决定一个从集  $\{0, 1, \dots, K\}$  到非负整数中的函数  $f$ ，且使  $f(K) = 0$ 。这个函数称为  $G$  的连通度函数（它是严格递减的）。

(8) 点不相交：令  $u$  和  $v$  是一个连通图  $G$  的两个不同的点。两条联结  $u$  和  $v$  的道路若

除了  $u$  和  $v$  外没有公共点（从而没有公共边）就称为是不相交的（有时称为点不相交的）。  
边不相交：若它们没有公共边，就称为是边不相交的。

(9) 分离：一个点集或者一个边集或者点和边的一个集  $S$ ，若  $u$  和  $v$  在  $G-S$  的不同的支中，就称它分离  $u$  和  $v$ 。

(10) 树：<sup>23</sup>不含有回路的连通图。

生成树（跨顶树或支撑树）：图  $G$  的一个生成子图且是一棵树，记作  $T$ 。

余树：图  $G$  的一个部分图，取原图的顶点集为其顶点集，取生成树  $T$  以外的边为边集，记作  $T_c$ 。

树枝：树中的边。

连枝：设  $T$  是连通图  $G$  的一棵生成树，属于  $G$  而不属于  $T$  的边。

森林：连通分支都是树的分离图。

(11) 极小  $K$ -联：一个  $K$ -联图  $G$ ，假使去掉它的一边  $[x, y]$ （简写作  $xy$ ） $G$  便失去了  $K$ -联的性质，则边  $xy$  称为是  $K$ -联图  $G$  的关键边。假使  $K$ -联图的每一边都是关键性的， $K$ - $G$  便称为是极小  $K$ -联的。

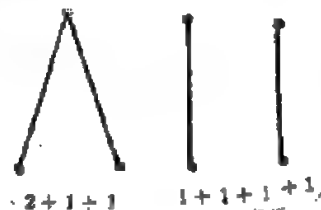
(12) 集块图：设图  $G$  无孤立顶点，令其集块（是  $G$  的一个最大子图，联接且不含断点）的集合是  $\{B_1, B_2, \dots, B_r\}$ ，取这些集块做顶点，每二集块  $B_i$  与  $B_j$  有断点相联的，联边，便得一个新图，称为原图  $G$  的集块图，记为  $B(G)$ 。

(13) 集块断点图：设将原图  $G$  的集块和断点作为新图的顶点，凡断点交于集块的便在新图里将此二点联边，这个图叫做原图的集块断点图，记作  $bc(G)$ 。

(14) 许可的：已知图  $G$  的二顶点，及联此二顶点的任一链，在此链上，任二顶点之间，如有联边，则此联边总在该链上，则此二顶点称为是许可的。

## 2. 划分

(15) 划分：非负整数  $n$  的一个划分是非负整数的一个有限表，这些非负整数的和是  $n$ ；属于一个图的划分是  $2q$  作为各点的度的和的一种划分。



4 的图划分

图 2.7

(16) 图划分：若一个图  $G$  它各点的度为  $d_i$ ，则分  $n$  为  $p$  个部分的划分  $\Sigma d_i$  称为是图划分（图 2.7）。

## 3. 覆盖

(17) 覆盖：若一个点和一条边互相关联，则称它们互相覆盖。

点覆盖集：覆盖一个图  $G$  的所有边的一个顶点集称为  $G$  的一个点覆盖集。

边覆盖集：称覆盖所有顶点的一个边集为一个边覆盖集。

点覆盖数：  $G$  的各个点覆盖中点的最少数目称为  $G$  的点覆盖数，记作  $\alpha_p(G)$  或  $\alpha_p$ 。

边覆盖数：  $G$  的各个边覆盖中边的最少数目称为  $G$  的边覆盖数，记作  $\alpha_l(G)$  或  $\alpha_l$ 。

极小的：若一个点覆盖（边覆盖）含有  $\alpha_p(\alpha_l)$  个元素，就称它是极小的。

(18) 稳固集（点独立集）：  $G$  的一个点集中若没有两个点是邻接的，这个点集就称为点独立集，或称为  $G$  的稳固集。

稳固数（点独立数）：设  $S_i$  是一个稳固集其维  $|S_i|$  极大，即其中所含点的个数，至少不

少于任何这样的一个稳固集。设  $S$  是任一稳固集，恒有  $|S_1| \geq |S|$ ，则  $S_1$  称为极大稳固集，其维称为原图的稳固数（点独立数），一般记作  $\beta_1(G)$  或  $\beta_1$ 。

(19) 并列集（边独立集）：已给图  $G = (X, E)$ ，在其边集  $E$  中，任取子集  $M \subset E$ ，使在子集  $M$  里，没有二边相邻，这样的边集  $M$ ，称为图  $G$  的并列集（边独立集）。同理，定义边独立数，并记作  $\beta_1(G)$  或  $\beta_1$ 。

饱和点：图  $G$  的顶点和并列集  $M$  中某一边相遇，则这个点称为并于并列集  $M$  的饱和点。否则，称为关于  $M$  的非饱和点。

(20) 交错链：在图  $G$  上， $M$  是它的一个并列集，它的边画以粗线，其它不在并列集  $M$  里的边，画以细线；若有链，它的边是粗细交错的，则称此链为关于并列集  $M$  的交错链。

镶边交错链：两个端点都是非饱和点的交错链，称为镶边交错链。

交错圈：在图  $G$  中，边是粗细交错的圈，称为关于并列集  $M$  的交错圈。

(21) 交换：在图  $G$  中，已给并列集  $M$ ，就  $M$  而言，有交错链与交错圈，在交错链或交错圈上，可以把粗线与细线相互交换，其他的边都不变，这样的运算，称为一个交换。

(22) 极大并列集：由于图  $G = (X, E)$  是有限的，边数最多的并列集总存在，这种边数最多的并列集，称为极大并列集。

(23) 径集：在以点为主对边的覆盖中，任一边至少有一个端点在这样的覆盖集（顶点集之子集）中，这种覆盖集称为径集。

(24) 项秩：在一个  $(0, 1)$  矩阵里，含尽所有的“1”的极少线条（所谓线指行和列）等于矩阵里不同行不同列的“1”的极大个数。这个数，一般叫做  $(0, 1)$  矩阵的项秩。

(25) 传递的：若  $G$  的每一个子图具有某种性质  $P$ ，则称图  $G$  的性质  $P$  为传递的。

(26) 匹配：一个图  $G$  的独立边的一个集有时称为  $G$  的一个匹配；极大匹配： $G$  中有  $\beta_1$  条独立边的一个集。

(27) 交替  $M$ -迹：令  $M \subset X(G)$  是  $G$  的一个匹配。一条交替  $M$ -迹是任何两条连接的边中恰有一条在  $M$  中。

可扩张  $M$ -迹：是一条交替  $M$ -迹，且它的两个端点都不关联于  $M$  的任何一条边。

不可扩张的：若  $G$  没有可扩张  $M$ -迹，则匹配  $M$  称为是不可扩张的（显然，每一个极大匹配是不可扩张的）。

$Y$ -缩减通道：令  $Y$  是  $G$  的一个边覆盖。若一条交替  $Y$ -通道的端边都在  $Y$  中，且它的两个端点除了关联于这条通道的端边外还关联于  $Y$  的其它边，则称这条通道为一条  $Y$ -缩减通道（显然，每一个极小边覆盖没有缩减通道）。

(28) 临界点：若  $\alpha_1(G - v) < \alpha_1(G)$ ，则称  $v$  是一个临界点。

临界边：若  $\alpha_1(G - e) < \alpha_1(G)$ ，则称  $e$  是一条临界边。

（显然，若  $v$  和  $e$  是临界的，可得  $\alpha_1(G - v) = \alpha_1(G - e) = \alpha_1 - 1$ ）。

点临界的：一个图若其中每个点都是临界的，则称此图是点临界的。

边临界的：一个图若其中每条边都是临界的，则称此图是边临界的。（图2.8）

(29) 边核：一个图  $G$  的边核  $C_1(G)$  是  $G$  的一个子图，它由所有（若存在的话）使  $|Y| = \alpha_1(G)$  的边的独立集  $Y$  的并导出（图2.9）。

(30) 外部的：一个以  $V$  为点集的图  $G$  的一个极小点覆盖  $M$  称为外部的，若对  $M$  的每一个子集  $M'$ ， $|M'| \leq |U(M')|$ ，其中  $U(M')$  是  $V - M$  中所有与  $M'$  的一个点邻接的点的集。



图 2.8

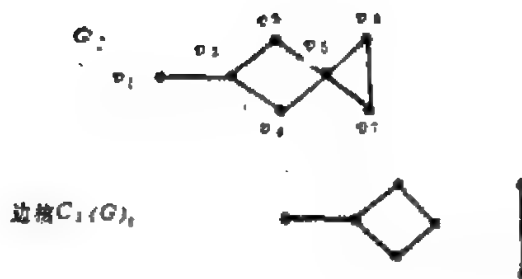


图 2.9

(31) 半不可约的：考虑一个双图  $G$ ，它的点集  $V$  是不相交的并  $S \cup T$ 。若  $G$  恰有一个极小点覆盖  $M$ ，且或者  $M \cap S$  是空的或者  $M \cap T$  是空的，我们称  $G$  是半不可约的。

不可约的：若它恰有二个极小点覆盖  $M_1$  和  $M_2$ ，且或者  $M_1 \cap S = \emptyset$  及  $M_2 \cap T = \emptyset$  或者  $M_1 \cap T = \emptyset$  及  $M_2 \cap S = \emptyset$ ，称它是不可约的。（图2.10）。

可约的：若它既不是不可约的又不是半不可约的， $G$  就称为是可约的。

#### 4. 因子分解

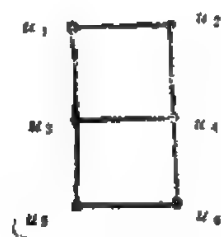
(32) 因子：图  $G$  的一个非全不连通的生成子图。

(33) 和：若  $G$  是因子  $G_i$  的边不相交的并，则称  $G$  是因子  $G_i$  的和。

(34) 因子分解：上述并称为  $G$  的一个因子分解。

(35)  $n$ -因子：一个  $n$ -因子是一个  $n$  度正则的因子。

$n$ -因子分解：若  $G$  是几个  $n$ -因子的和，它们的并称为一个  $n$ -因子分解。而  $G$  本身称为是  $n$ -可因子化的（图2.11）



不可约图

图 2.10

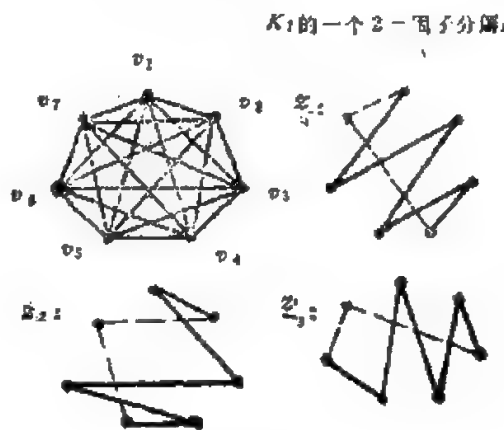


图 2.11

(36) 独立的：一个互相不邻接的边的集称为是独立的。

奇支：  $G$  的一个有奇数个点的支叫做一个奇支。

(37) 荫度：将  $G$  分解为边不相交的生成林时生成林的最少数目，称为  $G$  的荫度，记作  $r(G)$ 。

(38) 已给简单图  $G = (X, E)$ 。若存在这样的并列集，它饱和  $G$  的所有顶点，则称之为原

图的完美并列集。在图论中，称之为图的1-因子。

(39) 极大图：一个图  $G$ ，给定它的阶为  $n$ 。设  $G$  满足某些已给的条件，这些图构成一个图类。在这类图里，边数  $E(G)$  最大的，称为极大图。

## 5. 可着色性

(40) 着色：图的一个着色是对它的每一个点指定一种颜色，使得没有两个邻接的点有同一颜色。

色组：具有任何一种相同的颜色的所有的点的集是独立的，且称为一个色组。

$n$ -着色：图  $G$  的一个  $n$ -着色是用  $n$  种颜色的一个着色（按此种着色可将  $V$  划分为  $n$  个色组）。

色数  $\chi(G)$ ：是使  $G$  有一个  $n$ -着色的最小的数目  $n$ 。

$n$ -可着色的：若  $\chi(G) \leq n$ ，则称  $G$  为  $n$ -可着色的。

$n$  色的：若  $\chi(G) = n$ ，则称  $G$  为  $n$  色的。

数  $\bar{\chi} = \bar{\chi}(G) = \chi(\bar{G})$ ：是划分  $G$  的点集得到的子集的最少数目，而使每一个子集导出  $G$  的一个完全子图。（显然， $\bar{\chi}(G) \geq \beta_1(G)$ ）。

(41) 平面地图  $G$  的一个着色：是对  $G$  的每一个区域指定一种颜色，使得没有两个邻接的区域被指定为同一颜色。

$n$ -可着色：若地图  $G$  有一种用  $n$  种或更少的颜色的着色，就称  $G$  是  $n$ -可着色的。

(42) 边着色：图  $G$  的一个边着色是对它的每一条边指定一种颜色，使得没有两条邻接的边被指定为相同的颜色。

$n$ -边着色：图  $G$  的一个  $n$ -边着色是用正好  $n$  种颜色的  $G$  的一个边着色。

(43) 边色数  $\chi'(G)$ ：是使得  $G$  有一个  $n$ -边着色的最小的数目  $n$ （对于任一非全不连通的图  $G$ ， $\chi'(G) = \chi(L(G))$ ）。

(44)  $S_n$  的色数：令  $S_n$  是亏格（见后四-(二)-(VI)）等于  $n$  的可定向曲面（ $S_n$  拓扑等价于一个有  $n$  个环柄的球面）， $S_n$  的色数是可以嵌入  $S_n$  的所有图的色数中最大的一个，记作  $\chi(S_n)$ 。

(45) 唯一可着色：令  $G$  是一个标定图。 $G$  的任何一个  $\chi(G)$ -着色导出一个分  $G$  的点集为  $\chi(G)$  个色组的划分。若  $\chi(G) = n$  且  $G$  的每一个  $n$ -着色导出  $V$  的划分都相同，则称  $G$  是唯一  $n$ -可着色的或简称唯一可着色的。（图 2.12）

(46) 临界图：一个图  $G$  称为是临界的，若对所有的点  $v$ ， $\chi(G-v) < \chi(G)$ ；若  $\chi(G) = n$ ，则  $G$  是  $n$ -临界的（图 2.13）。

4-临界图，格罗尔施图



一个唯一可着色图

图 2.12

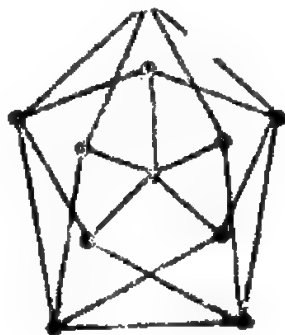


图 2.13

边临界的，若对任何一条边 $e$ ， $\chi'(G-e) = \chi'(G) - 1$ ，则称图 $G$ 为边临界的，若 $\chi'(G) = n$ ，则 $G$ 是 $n$ -边临界的。

(47)  $G$ 的一个至多 $t$ 色的着色：是 $G$ 的一个用 $t$ 种或不到 $t$ 种颜色的着色。用 $f(G, t)$ 记一个标定图 $G$ 的不同的至多 $t$ 色的着色的数目，称 $f(G, t)$ 为 $G$ 的色多项式。(图2.14)

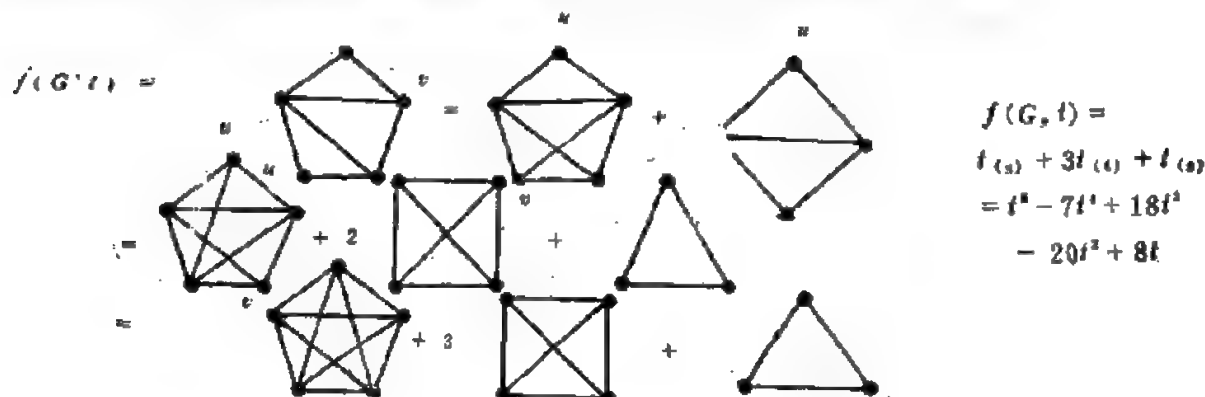


图 2.14

(48) 完全着色：对于任何两种颜色，有 $G$ 的两个邻接的点 $u$ 和 $v$ 以这两种颜色着色。这种情形称为是一个完全着色。(图2.15)。

(49) 消色数 $\psi(G)$ ： $G$ 的所有完全同态中最大的阶，这个不变量称为消色数。

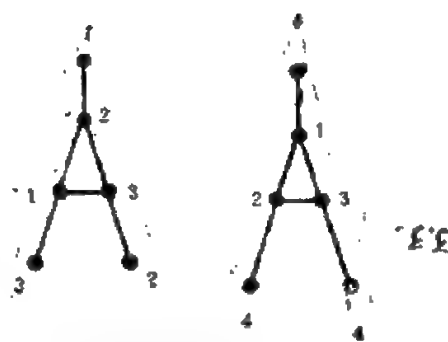
## 6. 可计数性

(50) 位置：指定义域的元素。

图形：指值域的元素。

构形：指函数。

构形群：指置换群。



一个图两种完全着色

图 2.15

(51)  $f$ 的权：对每一个 $f \in R^D$ 指定一个权 $W(f)$ ，它用下列方程定义：

$$W(f) = \prod_{d \in D} x^{r_1(f(d))} y^{r_2(f(d))}$$

(52) 图形计数级数——是按权来计数 $R$ 的元素的：

$C(x, y) = \sum C_{m,n} x^m y^n$  ( $R$ 中权等于 $(m, n)$ 的图形有 $C_{m,n}$ 个)。

构形计数级数——是函数的等价类的生成函数：

$C(x, y) = \sum C_{m,n} x^m y^n$  ( $R^D$ 中权等于 $x^m y^n$ 的轨(构形的等价类)有 $C_{m,n}$ 个)。

(53)  $n$ -子集：一个集 $X$ 的一个 $n$ -子集是恰有 $n$ 个元素的一个子集。

## (三) 定 理

### 1. 连通性

(1) 是连通图 $G$ 的一个割点 $\iff$ 存在与 $v$ 不同的两个顶点 $u$ 和 $w$ ，使 $v$ 在每一条 $u-w$ 道路上 $\iff$ 存在一个将点集 $V-(v)$ 分成子集 $U$ 和 $W$ 的划分，使对任何两点 $u \in U$ 和 $w \in W$ ，点 $v$ 在每一条 $u-w$ 道路上。

(2) 每一个非平凡的连通图 $\implies$ 至少有两个顶点不是割点。

(3)  $e$  是连通图  $G$  的一条割边 (桥)  $\iff e$  不在  $G$  的任何一个圈中  $\iff$  存在  $G$  的点  $u$  和  $v$ , 使  $e$  在每一条联结  $u$  和  $v$  的道路上  $\iff$  存在将  $V$  分成子集  $U$  和  $W$  的划分, 使对任何两点  $u \in U$  和  $w \in W$ , 边  $e$  在每一条联结  $u$  和  $w$  的道路上。

(4) 图  $G$  中任一顶点的关联集等于其余顶点关联集之环和。

(5)  $G$  是  $n_v$  阶连通图  $\implies G$  恰有  $n_v - 1$  个线性无关的关联集;

$G$  是有  $p$  个分支的分离图  $\implies G$  恰有  $n_v - p$  个线性无关的关联集。

(6)  $S_1$  和  $S_2$  是图  $G$  的二断集  $\implies S_1 \oplus S_2$  也是图  $G$  的断集。

(7) 连通图  $G$  的一个割集, 至少包含  $G$  的生成树的一个树枝。

(8) 设  $T$  是图  $G$  的一棵生成树,  $T$  的连枝  $e'$  包含在由树枝  $e$  确定的基本割集中  $\iff$  树枝  $e$  包含在由连枝  $e'$  确定的“基本回路”中。

(9) 对于给定的图  $G$ , 有

$$\kappa(G) \leq \lambda(G) \leq \delta(G)$$

(10) (Harary定理) 对任何图  $G$ , 有

$$\kappa(G) \leq \left\lfloor \frac{2n_e}{n_v} \right\rfloor,$$

$$\lambda(G) \leq \left\lfloor \frac{2n_v}{n_e} \right\rfloor.$$

(11) 对全部满足  $0 < a \leq b \leq c$  之正整数  $a, b, c$ , 存在一个图  $G$ , 使

$$\kappa(G) = a, \lambda(G) = b, \delta(G) = c.$$

(12)  $G$  有  $p$  个点, 且  $\delta(G) \geq \lfloor p/2 \rfloor \implies \lambda(G) = \delta(G)$ .

(13) 所有  $(p, q)$  图中  $\implies q < p - 1$  时, 最大连通度等于 0;  $q \geq p - 1$  时, 最大连通度等于  $\lfloor 2q/p \rfloor$ .

(14)  $(p, q)$  图之最大边连通度等于其最大连通度;

(Harary) 给定正整数  $n, m$ , 满足条件  $0 \leq n - 1 \leq m \leq \binom{n}{2} \implies \max K(G) = \max \lambda(G) = \lfloor 2m/n \rfloor$ , 其中极大是对所有具  $n$  个顶点  $m$  条边的简单图  $G = (X, E)$  而言。

(15) 已给  $n$  阶图  $G = (X, E)$ ,  $n \geq K + 1 \geq 2$ , 图  $G$  不是  $K$ -联的  $\implies$  图  $G$  的顶集  $X$  有二互质的子集  $X_1$  与  $X_2$ , 其中  $|X_1| = n_1 \geq 1, |X_2| = n_2 \geq 1$  满足条件

$$n_1 + n_2 + (K - 1) = n,$$

且  $X_i$  中任一点, 其最大次数不超过

$$n_i + K - 2, \quad (i = 1, 2)$$

(16) 设图  $G$  的顶点编号为  $x_1, x_2, \dots, x_n$  使

$$d_G(x_1) \leq d_G(x_2) \leq \dots \leq d_G(x_n) = \Delta,$$

且  $d_G(x_j) \geq j$  (对一切  $j \leq n - \Delta - 1$  均成立)  $\implies G$  是联接的 (即任二顶点间均有链相联)。

(17) 设图  $G = (X, E)$  的顶点编号为  $x_1, x_2, \dots, x_n$  使  $d_G(x_1) \leq d_G(x_2) \leq \dots \leq d_G(x_n) = \Delta$ , 并设存在整数  $K, 0 \leq K < n$ , 使

$$d(x_j) \geq j + K - 1 \text{ 对一切 } j = 1, 2, \dots, n - 1 - d_G(x_{n-1+1})$$

均成立  $\implies$  图  $G$  是  $K$ -联的。

(18) 设图  $G$  是  $n$  阶的, 且不是完全图  $\implies$



$$\kappa(G) \geq 2\delta(G) + 2 - n.$$

(19) 已给非负整数  $n$ 、 $\delta$ 、 $\kappa$  与  $\lambda$ , 存在  $n$  阶简单图  $G$ , 使  $\delta(G) = \delta$ ,  $\kappa(G) = \kappa$ ,  $\lambda(G) = \lambda \iff$  下列三条件有其一成立:

i)  $0 \leq \kappa \leq \lambda \leq \delta < \lfloor n/2 \rfloor$ ;

ii)  $1 < 2\delta + 2 - n \leq \kappa \leq \lambda = \delta < n - 1$ ;

iii)  $\kappa = \lambda = \delta = n - 1$ .

(20)  $G$  是  $k$ -连通的  $\implies$  每个顶点的度均大于或等于  $k$ .

(21)  $G$  是  $k$ -连通的,  $v(e)$  是  $G$  中一顶点 (边)  $\implies G - v(G - e)$  是  $(k - 1)$ -连通的.

(22) (Whitney定理) 设  $G$  是  $n_v \geq 3$  的图,  $G$  是 2-连通的  $\iff G$  的任二顶点至少由两条内部不相交的通路所连通.

(23)  $G$  是 2-连通的  $\implies G$  的任二点都位于同一条回路上.

(24)  $G$  是  $n_v \geq 3$  的不可分图  $\implies G$  的任二边都在同一条回路上.

(25)  $G$  是  $n$ -连通的, 且  $n \geq 2 \implies G$  的任何一个有  $n$  个点的集在一个圈上.

(26) 一个图  $G$  的两个不同的  $n$ -支至多有  $n - 1$  个公共点.

(27) (Tutte[1961]) 一个简单图  $G$  (见图 2.16) 是 3-连通的  $\iff G$  是一个轮形图 (对于  $n \geq 4$ , 轮形图  $W_n$  定义为图  $K_1 + C_{n-1}$ ), 或可由一轮形图经一系列下列二运算得到:

(1°) 加上一新的边;

(2°) 将一个度至少等于 4 的点  $v$  代以两个邻接的点  $v'$ 、 $v''$ , 使以前联结于  $v$  的点恰与  $v'$  或  $v''$  之一联结, 且使得到的图中  $\deg v' \geq 3$  和  $\deg v'' \geq 3$ .

轮形图  $W_5 = K_1 + C_5$ .



图 2.16

(28)  $(\kappa, 0)$  和  $(0, \lambda)$  是  $G$  的连通度对.

(29) 对每一个值  $a$ ,  $0 \leq a \leq K$ , 有唯一的连通度对  $(a, b_a)$ .

(30)  $G$  有  $K + 1$  个连通度对 (通过移去点和边的一个混合集来使图分离).

(31) 每个由  $\{0, 1, \dots, K\}$  到非负整数中的递减函数  $f \implies f(K) = 0$  是某个图的连通度函数.

(32) 令  $G$  是至少有三个点的一个连通图.  $G$  是一个块  $\iff G$  的任何两点在一个公共的圈上  $\iff G$  的任何二边在一个公共圈上  $\iff G$  的任何一点和任何一边在一个公共圈上  $\iff$  给定  $G$  的二点一边, 存在一道路联结这两点且含这条边  $\iff$  对  $G$  的每三个不同点, 存在一道路联结其中二点且含第三点  $\iff$  对  $G$  的每三个不同点, 存在一道路联结其中二点而不含第三点.

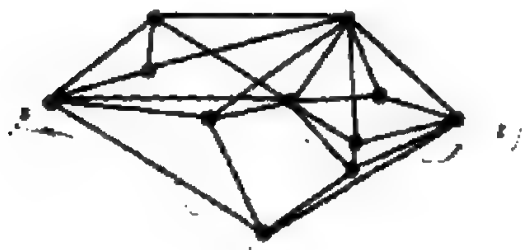
(33) 一个图  $H$  是某图的块图  $\iff H$  的每一个块是完全的.

(34) (Ramachandra Rao[1968]) 阶  $n \geq 2$  的简单联接图  $G$ , 具  $r$  个断点, 这种图所可能含有的极大边数是

$$\binom{n-r}{2} + r.$$

(Menger定理及其在联接性上的应用)

(35) (无向图下的蒙格尔定理) 分离两个不邻接的点  $s$  和  $t$  的点的最少数目等于不相交的  $s-t$  道路之最多数目 (见图 2.17)。



说明 Menger 定理的一个图

图 2.17

(36) (有向图下的蒙格尔定理 [1927]) 在有向图  $G = (X, U)$  上, 任二点  $s$  与  $t$  之间弧互质的通路的极大个数, 等于截断  $s$  与  $t$  的极少弧数。

(37) 一个图是  $n$ -连通的  $\iff$  每一对点由  $n$  条点不相交的道路所联结。

(38) 对于一个图的任何两点, 联结它们的边不相交的道路的最多数目等于分离它们的边的最少数目。

(39) 一个图是  $n$ -边连通的  $\iff$  每一对

点由至少  $n$  条边不相交的道路所联结。

(40) 对于任何两个不相交的非空点集  $V_1$  和  $V_2$ , 联结  $V_1$  和  $V_2$  的不相交道路的最多数目等于分离  $V_1$  和  $V_2$  的点的最少数目。

(41) 一个有至少  $2n$  个点的图是  $n$ -连通的  $\iff$  对于任何两个各含有  $n$  个点的不相交的点集  $V_1$  和  $V_2$ , 存在  $n$  条联结这两个点集的不相交道路。

(42) 有序对  $(a, b)$  是一个图  $G$  中点  $u$  和  $v$  的连通度对  $\iff$  存在  $a$  条点不相交的  $u-v$  道路和  $b$  条互相边不相交且也与前面  $a$  条道路边不相交的  $u-v$  道路, 且这两个数是这种道路可能有的最多数目。

(43) 在任何一个图中, 分离两个点  $u$  和  $v$  的边不相交的边割集的最多数目等于在一条联结  $u$  和  $v$  的道路下边的最少数目, 即  $d(u, v)$ 。

(44) 设图  $G$  是  $h$ -联的 ( $h \geq 2$ )  $\implies G$  的任二相异顶点  $s$  与  $t$ , 恒同在  $\binom{h}{2}$  个不同的初级圈 (除两端重合外, 中间顶点皆异的圈) 上。

(45) 设图  $G$  是  $h$ -联的,  $B = b_1, b_2, \dots, b_h$ , 其中  $h$  个点互异。又  $a \in X - B \implies$  自  $a$  到  $B$  可联  $h$  条点互质的 (点  $a$  除外) 初级链 (无重复顶点的链)。

(46) 设图  $G = (X, E)$  是  $h$ -联的 ( $h \geq 2$ )。在  $G$  中任取二相异边  $e_1$  与  $e_2$ , 并另取  $h-2$  个相异顶点  $a_1, a_2, \dots, a_{h-2} \implies$  恒存在初级圈通过这些边与顶。

(47) 设简单图  $G$  是  $h$ -联的 ( $h \geq 2$ )。在  $G$  上任取  $h$  个点  $\implies$  恒有初级圈, 过所给的  $h$  点。

[Menger定理的其它形式]

(48) 在任何一个网络  $N$  中, 若有一条从  $u$  到  $v$  的道路, 则从  $u$  到  $v$  的最大流等于最小截量。

(49) 在任何一个二元矩阵中, 独立的单位元的最多数目等于覆盖所有单位元的边的最少数目。

(50) 对于一族不同的集  $s_1, s_2, \dots, s_m$ , 存在一组不同的代表元素  $\iff$  这些集中任何  $K$  个的并至少包含  $K$  个元素,  $K$  从 1 到  $m$  都成立。

(51) 在任何一个有限格中, 不可比元素的最多数目等于用来包含所有元素的链的最少数目。

(52) 已给简单图  $G$ ,  $xy$  是其一边, 令  $H = G - xy \Rightarrow$  以下二论断等价:

i) 图  $G$  是 2-联的, 边  $xy$  是关键性的;

ii) 图  $H$  无孤立顶点,  $x$  与  $y$  都不是图  $H$  的断点,  $H$  的集块断点图  $bc(H)$  有一条  $[x, y]$  链, 属于  $H$  的头一个集块,  $y$  属于  $H$  的末一个集块 (如图 2.18)。



图 2.18

(53) 设图  $G$  是 2-联的,  $a = xy$  是图  $G$  的一条边, 边  $a$  是关键性的  $\Leftrightarrow G - a$  里无圈同时包含  $x$  与  $y$ , 亦即  $a$  不是图  $G$  里某个初级圈的弦。故一个 2-联图是极小 2-联, 当且仅当这个图上的圈不含弦。

(54) 设图  $G$  是 2-联的, 其阶  $n \geq 4 \Rightarrow G$  不含由关键性的边所构成的三角形。

(55) 极小 2-联图  $G$  的任一 2-联子图是极小 2-联的。

(56) 已给正整数  $k \geq 1$ , 对每一个整数  $i$  ( $0 \leq i \leq k$ ), 令  $G_i$  是一条边  $x_i x'_{i+1}$ , 或是一个极小 2-联图, 包含许可点对  $x_i$  与  $x'_{i+1}$ 。令  $G$  是一个图, 得自  $\bigcup_{i=1}^k G_i$ , 其中使  $x_i$  与  $x'_i$  重合 ( $1 \leq i \leq k$ ) 然后再联边  $x_i x'_{i+1} \Rightarrow G$  是一个极小 2-联图。反之, 任何一个极小 2-联图, 都可以描述如上。

(57) 设  $G$  是一个极小 2-联图,  $x, y$  是  $G$  的一对许可点  $\Rightarrow$  每一条  $[x - y]$  链, 都含  $G$  的 2 次顶点。

(58) 设  $G$  是一个极小 2-联图, 但不是圈  $\Rightarrow$  在  $G$  内, 每一个圈上将至少包含二顶点, 其次数  $\geq 3$ , 且此二顶点在圈上被 2 次顶点隔开。

(59) 设  $G$  是一个极小 2-联图, 但不是圈。令  $D$  是  $G$  的 2 次顶点集  $\Rightarrow F = G - D$  是一个林, 至少具有二个分子图。子图  $G[D]$  的每一个分子图  $P$  是一条链, 其两个端点, 不联接林  $F$  的同一棵树。

(60)  $n$  阶的极小 2-联图, 至少含  $(n+4)/3$  个 2 次顶点。对于  $n \equiv -1, 0 \pmod{3}$ , 这个结果是可能最好的。

(61) 阶  $n \geq 4$  的极小 2-联图, 其边数  $m \leq 2n-4$ , 且两分图  $K_2, n-2$  是仅有的阶为  $n$  边数为  $2n-4$  的极小 2-联图。

(62) 设  $G$  是一个极小  $k$ -联图,  $xy$  是  $G$  的一边,  $S$  是一个  $(k-1)$ -集, 在  $H = G - xy$  里分隔  $H \Rightarrow H - S$  恰含两个分子图, 其中一个包含  $x$ , 一个包含  $y$ 。

(63) 一个  $k$ -联图  $G$  是极小  $k$ -联的  $\Leftrightarrow$  对每一对邻点  $x, y$  有  $u(x, y) = k$ 。

(64) 设  $G$  是一个极小  $k$ -联图  $\implies \delta(G) = k$ .

## 2. 划分

(65) 分一个偶数为  $p$  个部分的划分  $\Pi = (d_1, d_2, \dots, d_p)$ ,  $p-1 \geq d_1 \geq d_2 \geq \dots \geq d_p$ , 是一个图划分  $\iff$  经修正后的划分  $\Pi' = (d_1-1, d_2-1, \dots, d_{i_1+1}, d_{i_1+1}, \dots, d_p)$  也是图划分.

(66) (算法) 一个给定的划分  $\Pi = (d_1, d_2, \dots, d_p)$ , 有  $p-1 \geq d_1 \geq d_2 \geq \dots \geq d_p$ . 它是一个图划分  $\iff$  通过下列步骤产生一个每个加项为零的划分:

$$\Pi = (5, 5, 3, 3, 2, 2, 2)$$

$$\Pi' = (4, 2, 2, 1, 1, 2) \mid$$

$$\Pi_1 = (4, 2, 2, 2, 1, 1) \mid$$

$$\Pi'' = (1, 1, 1, 0, 1)$$

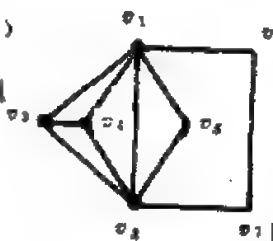


图 2.19

① 求出如上述定理 (65) 的陈述中所说的经过修正后的划分  $\Pi'$ ;

② 重新排列  $\Pi'$  的项, 使它们成为非增的, 并且称得到的划分为  $\Pi_1$ ;

③ 和第一步相同, 求出  $\Pi_1$  的经过修正后的划分  $\Pi''$  和重新排列后的划分  $\Pi_2$ ;

④ 只要得到的是非负加项, 就继续这个过程 (如图 2.19 所示).

(67) 令  $\Pi = (d_1, d_2, \dots, d_p)$  是分  $2q$  为  $p$  个部分的一个划分,  $d_1 \geq d_2 \geq \dots \geq d_p$ ,  $\Pi$  是图划分  $\iff$  对每个整数  $r$ ,  $1 \leq r \leq p-1$ ,

$$\sum_{i=1}^r d_i \leq r(r-1) + \sum_{i=r+1}^p \min\{r, d_i\}.$$

(68) 一个划分  $2q = \sum_{i=1}^p d_i$  属于一个树  $\iff$  每个  $d_i > 0$  且  $q = p-1$ .

## 3. 覆盖

(69) 对于任何一个非平凡的连通图  $G \implies \alpha_0 + \beta_0 = p = \alpha_1 + \beta_1$ .

(70)  $P$  是  $G$  的一种传递性质  $\implies \alpha_0(P) + \beta_0(P) = p$ .

(71)  $G$  是二部的  $\implies$  在一个极大匹配中边的数目等于点覆盖数, 即  $\beta_1 = \alpha_1$ . (寻求一极大匹配问题, 与寻求一极小点覆盖的问题密切相关).

(72) 每一个不可扩张匹配是极大的.

(73)  $Y$  是  $G$  的一个边覆盖, 对它不存在  $Y$ -缩减通道  $\implies Y$  是一个极小边覆盖.

(74) 任何一个图  $G \implies \alpha_{00} \leq \alpha'_{00}$ ,  $\alpha_{11} = \alpha'_{11}$ . ( $\alpha_{00}$ ——覆盖  $V$  所需点的最少数目;  $\alpha'_{00}$ ——覆盖  $V$  的独立点的最少数目;  $\alpha_{11}$ 、 $\alpha'_{11}$  对边被边覆盖有类似的意义).

(75) (关于稳固集  $S$  的交错序列)

$$\sigma = \langle a_1, b_1, a_2, b_2, \dots \rangle.$$

i) 令  $A = X - S = \langle a_1, a_2, \dots \rangle$ ,

$$B = S = \langle b_1, b_2, \dots \rangle.$$

在  $A$  中任取元素  $a_i$ , 在  $B$  中选取元素  $b_i$ , 使

$$\Gamma_G(b_i) \cap \{a_i\} \neq \emptyset.$$

ii) 设已作得交错序列

$$\sigma = \langle a_1, b_1, a_2, b_2, \dots, a_{i-1}, b_{i-1}, a_i \rangle.$$

则  $b_i$  按下法选取, 即取  $b_i$  满足以下二条件:

$$b_i \in B - \{b_1, b_2, \dots, b_{i-1}\},$$

$$\Gamma_G(b_i) \cap \{a_1, a_2, \dots, a_i\} \neq \emptyset.$$

iii) 设已作得交错序列  $\sigma$ , 如

$$\sigma = \{a_1, b_1, \dots, a_i, b_i\},$$

则  $a_{i+1}$  的选取如次, 选取

$$a_{i+1} \in A - \{a_1, a_2, \dots, a_i\},$$

$$\Gamma_G(a_{i+1}) \cap \{b_1, b_2, \dots, b_i\} \neq \emptyset,$$

$$\Gamma_G(a_{i+1}) \cap \{a_1, a_2, \dots, a_i\} = \emptyset.$$

设不破坏上述 ii) 与 iii), 而  $\sigma$  不能再加长, 则  $\sigma$  称为是极大的.

(76) 稳固集  $S$  极大  $\iff$  不存在关于  $S$  的极大奇交错序列  $\sigma$ .

(77) (J.C. Meyer, [1972]) 已给简单图  $G = (X, E)$ , 其顶点集  $X = \{x_1, x_2, \dots, x_n\}$  满足条件

$$1 \leq d_G(x_1) \leq d_G(x_2) \leq \dots \leq d_G(x_n).$$

设对某一整数  $p$ ,  $2 \leq p \leq n$ , 有

$$d_G(x_n) + \dots + d_G(x_{n-p+2}) \leq n - p$$

$\implies$  每一个稳固集, 其维小于  $p$  的, 如含在一个  $p$  维的稳固集内.

(78) (C. Berge, [1960]) 简单  $n$  阶图  $G = (X, E)$ , 其极大次为  $h \implies$  每一个极大稳固集, 其维至少是  $\left\lceil \frac{n}{h+1} \right\rceil$ . 其中  $\left\lceil \frac{n}{h+1} \right\rceil$  为大于或等于  $\frac{n}{h+1}$  的最小整数.

(79) 稳固数  $\beta_0(G) \geq \left\lceil \frac{n}{h+1} \right\rceil$ , 而且这个结果是可能最好的.

(80) (Turán, [1941]) 任给一个图集

$$\mathcal{G} = \{G = (X, E) \mid |X| = n, \beta_0(G) \leq k\}$$

阶统为  $n$ , 稳固数  $\leq k \implies$  其中边数可能最少的图, 同构于  $G_{n,k}$ .

(81) 设  $G$  是一个简单图,  $n$  个顶点,  $m$  条边, 且  $\beta_0(G) = k \implies m \geq (q-1) \left( n - \frac{kq}{2} \right)$ ,

其中  $q = \left\lceil \frac{n}{k} \right\rceil$ , 且式中等号成立的充要条件是  $G \cong G_{n,k}$ .

(82) 设  $G = (X, E)$  是一个简单图,  $n$  个顶点,  $m$  条边  $\implies \beta_0(G) \geq \frac{n^2}{2m+n}$ ,

其等号成立, 当且仅当图  $G$  的联接的分子图是同维的集团.

(83) 设  $G = (X, E)$  是一个简单图,  $n$  个顶点,  $m$  条边  $\implies \beta_0(G) \geq \frac{2n-m}{3}$ ,

等号成立的充要条件是  $G$  的每一联接的分子图是一个 2-集团或 3-集团.

(84) (Zarankiewicz, [1947]) 设  $G$  是一个  $n$  顶的简单图, 且具极大次  $k$ , 令  $k =$

$$\left\lceil \frac{n}{n+1} \right\rceil \implies \beta_0(G) \geq k, \text{ 若 } G \text{ 不含 } k \text{ 个互质的集团, 每个集团同维 } n/k, \text{ 则更有 } \beta_0(G) > k.$$

(85) 图  $H = (X, (M_1 - M_2) \cup (M_2 - M_1))$  里顶点的极大次数是 2. (此处  $M_1$  与  $M_2$  为给定的并列集, 下同.)

(86) 已知图  $G = (X, E)$ , 在其上作二并列  $M_1$  与  $M_2$ , 作图  $H = (X, (M_1 - M_2) \cup (M_2 - M_1)) \rightarrow$  图  $H$  的分子图是:

i) 孤立点;

ii) 交错链, 其边在  $M_1$  与  $M_2$  里. 当链是奇长时, 其两个端点或是  $M_1$  的两个非饱和点, 或是  $M_2$  的两个非饱和点; 当链是偶长时, 其两个端点, 分别是  $M_1$  与  $M_2$  的非饱和点.

iii) 用  $M_1$  与  $M_2$  的边构成的偶交错圈.

(87) (Berge, [1957]) 在图  $G = (X, E)$  里并列集  $M$  是极大的  $\Leftrightarrow$  图  $G$  不含关于  $M$  的链边交错链.

(88) (Norman, Rabin, [1959]) 已给简单图  $G = (X, E)$ , 其阶是  $n$ , 又设  $M_0$  是一个极大并列集,  $C_0$  是一个极小覆盖集  $\Rightarrow$

$$|M_0| + |C_0| = n.$$

(89) (König, Egervary, [1931]) 在二分图  $G = (Z, Y; E)$  上, 极大并列集的维等于极小径集的维.

(90) (P. Hall, [1934]) 已给二分图  $G = (X, Y; E)$ , 顶点集  $X$  可以在顶点集  $Y$  上配对  $\Leftrightarrow$

$$|\Gamma_G(A)| \geq |A|, \quad (A \subset X)$$

(91) (M. Hall, [1948]) 已给二分图  $G = (X, Y; E)$ , 满足定理 (90) 的条件, 令  $|X| = m$ ,  $\min |\Gamma_G(x)| = t > 0 (x \in X) \Rightarrow X$  可以在  $Y$  上配对, 且配对方法的个数至少是

$$r(t, m) = \prod_{1 \leq i \leq \min(t, m)} (t+1-i).$$

(92) (Ore, [1955]) 已给二分图  $G = (X, Y; E)$ , 设  $\alpha = \max\{|S| - |\Gamma_G(S)|, (S \subset X) \Rightarrow \beta_1(G) = m - \alpha$  ( $\beta_1$  表示极大并列集的维).

(93) (Berge, [1958]) 已给简单图  $G = (X, E)$ , 其阶为  $n$ , 且  $d = \max\{q(G-S) - |S|, (S \subset X) \Rightarrow G$  中被并列集饱和的顶点的个数最多是  $n-d$ . (其中  $q(G-S)$  是图  $G-S$  中奇支的个数, 即有奇数个点的支的个数).

(94) 取  $n$  为阶,  $\beta_1$  为其极大并列集的维,  $S \subset V(G)$  使  $G-S$  中所含奇支的个数为  $q$ , 且使  $q(G-S) - |S|$  达到极大, 令  $|S| = s$ , 而  $n, q, \beta_1, s$  满足下列关系:

$$i) \quad q = n + s - 2\beta_1,$$

$$ii) \quad s \leq \beta_1 \leq n/2,$$

$\Rightarrow$  极大图  $G$ , 满足上述要求的, 必是下列形式:

$$G = K_s + \bigcup_{i=1}^q K_{2n_i+1},$$

其中  $\sum_{i=1}^q (2n_i+1) = n-s$ .

(95) (Erdős Gallai [1961]) 已给二非负整数  $n, \beta_1, n \geq 2\beta_1 \Rightarrow$  极大图  $G$  以  $n$  为阶, 以  $\beta_1$  为极大并列集的维, 其极大边数是

$$\textcircled{1} \binom{2\beta_1}{2} \quad \text{当 } n = 2\beta_1,$$

$$\textcircled{2} \max \left\{ \binom{2\beta_1+1}{2}, \binom{\beta_1}{2} + \beta_1(n-\beta_1) \right\} \quad \text{当 } n > .$$

i) 当  $2\beta_1+1 \leq n < (5\beta_1+3)/2$ ,  $K_{2\beta_1+1} \cup E_{n-2\beta_1-1}$  是唯一的极大图, 其边数是  $\binom{2\beta_1+1}{2}$

ii) 当  $n > (5\beta_1+3)/2$ ,  $K_{\beta_1} + E_{n-\beta_1}$  是唯一的极大图, 其边数是  $\binom{\beta_1}{2} + \beta_1(n-\beta_1)$ ,

iii) 当  $n = (5\beta_1+3)/2$ , 有二极大图  $K_{2\beta_1+1} \cup E_{n-2\beta_1-1}$  与  $K_{\beta_1} + E_{n-\beta_1}$ , 其边数为  $\beta_1(2\beta_1+1)$ .

(此处  $E_n$  表示  $K_n$  的补图, 即具  $n$  个顶点而没有边的图)。

(96) 一个图  $G$  中的一个点  $v$  是临界的  $\iff$  有某个极小点覆盖含有  $v$ .

(97) 一个图的任何两条邻接的临界边在一个奇圈上.

(98) 每一个边临界图是一个块, 其中任何两条邻接的边在一个奇圈上.

(99) 一个二分图的任何两条临界边是独立的.

(100) 对任何一个图  $G$ ,  $G$  有一个边核  $\iff G$  有一个外部的极小点覆盖  $\iff G$  的每一个极小点覆盖是外部的.

(101) 一个图  $G$  与它的边核  $C_1(G)$  相等  $\iff$  它是二部的且是不可约的.

#### 4. 因子分解

(102) 完全图  $K_n$  是1-可因子化的.

(103) 每一个正则双图是1-可因子化的.

(104) 一个2-连通图有一个1-因子  $\implies$  至少有二个不同的1-因子.

(105) (Tutte, [1947]), 简单图  $G = (X, E)$  有完美并列集 (1-因子)  $\iff q(G-S) \leq |S|$ , ( $S \subset X$ ). 其中  $q(G-S)$  是图  $G-S$  中奇支的个数.

(106) 令  $G$  是一个给定的图, 且令  $f$  是从  $V$  到非负整数中的一个函数.  $G$  中没有由  $f$  给定的度序列的生成子图  $\iff$  存在不相交的点集  $S$  和  $T$ , 使得  $\sum_{u \in S} f(u) < K_1(S, T) + \sum_{v \in T} [f(v) - d_{G-S}(v)]$ . (其中,  $K_1(S, T)$  记  $G - (S \cup T)$  中使  $q(H, T) + \sum_{u \in H} f(u)$  为奇数的支  $H$  的数目;  $q(H, T)$  是  $G$  中联结  $H$  的一个点和  $T$  的一个点的边之数目).

(107) 图  $K_{2n+1}$  是  $n$  个生成圈的和.

(108) 图  $K_{1,n}$  是一个1-因子和  $n-1$  个生成圈的和.

(109) 每一个没有桥的三次图是一个1-因子和一个2-因子之和.

(110) 一个连通图是2-可因子化的  $\iff$  它是偶数度正则的.

(111) 令  $G$  是一个非平凡的  $(p, q)$  图, 又令  $q_n$  是  $G$  的任何一个有  $n$  个点的子图中边的最多数目  $\implies Y(G) = \max_n \left\{ \frac{q_n}{n-1} \right\}$ .

(112) 完全图和完全双图的荫度为

$$Y(K_p) = \left\lfloor \frac{p}{2} \right\rfloor \text{ 和 } Y(K_{p,q}) = \left\lfloor \frac{Y_p}{Y_p + q - 1} \right\rfloor.$$

#### 5. 可着色性

(113)  $\chi(K_p) = p$ ;  $\chi(K_{n,n}) = 2$ ;  $\chi(K_p - x) = p-1$ ;

$\chi(C_{2n}) = 2$ ;  $\chi(\bar{K}_p) = 1$ ;  $\chi(C_{2n+1}) = 3$ ;

$\chi(T) = 2$  (对任一非平凡树 $T$ ).

(114) 图 $G$ 是1色的 $\iff G$ 是全不连通的;

图 $G$ 是可双色的 $\iff G$ 无奇圈.

(115) 对任一图 $G$ ,  $\chi(G) \leq 1 + \max \delta(G')$ , 其中极大对 $G$ 的所有导出子图 $G'$ 取.

(116) 对任一图 $G$ , 色数至多比最大的度大1, 即 $\chi \leq 1 + \Delta$ .

(117) 若 $\Delta(G) = n$ , 除了

i)  $n = 2$ 而 $G$ 有一个支是一个奇圈, 或

ii)  $n > 2$ 而 $K_{n+1}$ 是 $G$ 的一个支,

$\implies G$ 是 $n$ -可着色的.

(118) 对于任何一个图 $G \implies$

$$p/\beta_0 \leq \chi \leq p - \beta_0 + 1.$$

(119) 对每两个正整数 $m$ 和 $n \implies$ 存在一个周长超过 $m$ 的 $n$ 色图.

(120) 对于任何一个图 $G \implies \chi$ 和 $\bar{\chi}$ 的和与积满足不等式

$$2\sqrt{p} \leq \chi + \bar{\chi} \leq p + 1,$$

$$p \leq \chi \bar{\chi} \leq \left( \frac{p+1}{2} \right)^2.$$

(121) 对于任何一个图 $G \implies$

$$\chi + \bar{\chi} < p + 1.$$

(122) 对于任何一个图 $G \implies$

$$\psi \leq p - \beta_0 + 1.$$

(123) 设 $G$ 是一个 $n$ 阶的简单图,  $\beta_0$ 是其稳固数,  $\chi$ 是其色数 $\implies$

$$\begin{cases} \beta_0 \cdot \chi \geq n, \\ \beta_0 + \chi \leq n + 1. \end{cases}$$

(124) (Goddum, Nordhaus[1960]) 设 $\bar{G}$ 是 $G$ 的补图 $\implies \chi(G) + \chi(\bar{G}) \leq n + 1$ .

(125) 设简单图 $G = (X, E)$ , 具 $n$ 个顶点,  $m$ 条边 $\implies \chi(G) \geq n^2 / (n^2 - 2m)$ .

(126) (Heawood地图着色定理) 对于每一个正整数 $n$ , 亏格等于 $n$ 的可定向曲面的色数由下式给出:

$$\chi(S_n) = \left\lceil \frac{7 + \sqrt{1 + 48n}}{2} \right\rceil. \quad (n > 0).$$

(127) (五色定理) 每一个可平面图 (见后四-(二)-(VI)) 是5-可着色的.

(128) (四色定理) (4CC) 每一个可平面图是4-可着色的.

$\iff$  (a) 每一个三次的无桥的平面地图是4-可着色的;

(b) 每一个哈密顿可平面图是4-可着色的;

(c) 每一个无桥的三次可平面图 $G$ ,  $\chi'(G) = 3$ ;

(d) 每一个无桥的三次可平面图是1-可因子分解的;

(e) (当 $G$ 是连通的平面地图时)  $G$ 的三个子图 $G_1$ 、 $G_2$ 、 $G_3$ 之和, 使得对每一个点 $v$ , 每一个 $G_i$ 中关联于 $v$ 的边的数目都是偶数或都是奇数.

(129) 每一个只有4个以下三角形的可平面图是3-可着色的.



(130) 每一个没有三角形的可平面图是3-可着色的.

(131) (Hadwiger 猜想) 每一个连通的 $n$ 色图可以收缩到 $K_n$ . ( $n \leq 4$ 时已证).

(132) Hadwiger 猜想在 $n=5$ 时等价于四色定理.

(133) 对任一图 $G \Rightarrow \Delta \leq X' \leq \Delta + 1$ . ( $\Delta$ 为其最高次).

(134) 设 $K_n$ 是简单完全图 $\Rightarrow$

$$X'(K_n) = \begin{cases} n-1 & (n \text{ 为偶数}), \\ n & (n \text{ 为奇数}). \end{cases}$$

(135) 设 $K_n$ 的最高次是 $\Delta \Rightarrow$

$$X'(K_n) = \begin{cases} \Delta & (n \text{ 为偶数}), \\ \Delta + 1 & (n \text{ 为奇数}). \end{cases}$$

(136) 设多重的二分图 $G = (X, Y, E)$ 的最高次为 $\Delta \Rightarrow X'(G) = \Delta$ .

(137) (Vizing, [1964]) 设 $G$ 是一个无环的多重图, 具 $m$ 条边, 极大次是 $h$ ,  $t$ 是极大并列集的维 $\Rightarrow X'(G) \geq \max \left\{ h, \left\lceil \frac{m}{t} \right\rceil^* \right\}$ .

(138) (不着色引理) 设 $G$ 是一个无环的多重图, 其 $X'(G) = q+1$ , 设除一边 $[a, b]$ 未染色以外, 已用 $q$ 种彦色 $(a_1, a_2, \dots, a_q)$ 涂染了 $G$ 的边. 又用 $C_x$ 表示在顶点 $x$ 上涂染各边所用彦色的集合 $\Rightarrow$

$$|C_a \cup C_b| = q, \quad |C_a \cap C_b| = d_c(a) + d_c(b) - 2 - q,$$

$$|C_a - C_b| = q - d_c(b) + 1, \quad |C_b - C_a| = q - d_c(a) + 1.$$

(139) 设图 $G$ 是一个形如图 $[x_1, x_2, \dots, x_n, x_1]$ 的图, 但其相邻点之间, 可能含有多条边, 若 $G$ 的边数是 $m$ , 极大次是 $h \Rightarrow$

$$X'(G) = \begin{cases} h & \text{当 } n \text{ 是偶数,} \\ \max \left\{ h, \left\lceil \frac{2m}{n-1} \right\rceil^* \right\} & \text{当 } n \text{ 是奇数.} \end{cases}$$

(140) 设 $G$ 是一个无环的多重图, 令 $[a, b]$ 是其一边,  $G' = G - [a, b]$ , 设 $G'$ 可 $q$ -边-着色,  $q \geq d_c(a)$ ,  $q \geq d_c(b)$ , 且设 $x \in \Gamma_{G'}(a) \Rightarrow d_{G'}(x) + m_{G'}(a, x) \leq q \Rightarrow$ 图 $G$ 可 $q$ -边-着色.

(141) 设 $G = (X, E)$ 是一个无环的多重图, 并设

$$d_c^*(x) = d_c(x) + \max_{y \in X} m_c(x, y)$$

$$\Rightarrow X'(G) \leq \max_{x \in X} d_c^*(x).$$

(142) (Vizing定理[1964]) 设 $G$ 是一个无环的多重图. 其重复度是

$$\max_{x, y} m_c(x, y) = p,$$

极大次是 $h \Rightarrow X'(G) \leq h + p$ .

(143) 设 $G$ 是一个简单图, 其极大次为 $h$

$$\Rightarrow h \leq X'(G) \leq h + 1.$$

(144) 设 $G$ 是一个无环的多重图, 其极大次为 $h = 3 \Rightarrow X'(G) = 3$ 或 $4$ .

(145) (O.Ore, [1968]) 设 $G$ 是一个无环的多重图, 其极大次是 $h \Rightarrow$

$$X'(G) \leq \max \left\{ h, \max_{(x_1, x_2, x_3)} \left[ \frac{1}{2} (d_G(x_1) + d_G(x_2) + d_G(x_3)) \right] \right\},$$

其中括号内的极大，是对一切长度为 2 的初级链  $[x_1, x_2, x_3]$  而取的。

(146) (S.annon[1949]) 设  $G$  是一个无环的多重图，极大次为  $h \Rightarrow$

$$X'(G) \leq \left\lceil \frac{3h}{2} \right\rceil.$$

(147) 设图  $G$ ，简单、无环， $n$  个顶点、 $m$  条边，极大次是  $\Delta$ ，若  $m > \Delta \cdot \left\lceil \frac{n}{2} \right\rceil \Rightarrow G$  是第二型的。(注：若  $X'(G) = \Delta$ ，称  $G$  为第一型的；若  $X'(G) = \Delta + 1$ ，称  $G$  为第二型的)。

(148) 设  $G$  是一个奇阶的正规图  $\Rightarrow G$  是第二型的。

(149) 设  $H$  是一个奇阶的正规图，最高次为  $\Delta$ ，而图  $G$  是由  $H$  任意去掉不多于  $\frac{\Delta}{2} - 1$  条边所得的图  $\Rightarrow G$  是第二型的。

(150) 设  $H$  是一个偶阶的正规图， $G$  是任一图，为在  $H$  的一边上加进一顶点所得的图  $\Rightarrow G$  是第二型的。

(151) 在一个唯一的  $n$ -可着色图的  $n$ -着色中  $\Rightarrow$  由任何两个色组的并导出的子图是连通的。

(152) 每一个唯一的  $n$ -可着色图是  $(n-1)$ -连通的。

(153) 在一个唯一  $n$ -可着色图的任何一个  $n$ -着色中，由任何  $K$  个色组的并， $2 \leq K \leq n$ ，导出的子图是  $(K-1)$ -连通的。

(154) 对于所有  $n \geq 3$ ，有一个唯一的  $n$ -可着色图，它不含有同构于  $K_n$  的子图。

(155) 令  $G$  为一个 3-色平面图。若  $G$  含有一个三角形  $T$ ，使得对于  $G$  的每一个顶点  $v$  有一个三角形的序列  $T, T_1, T_2, \dots, T_n$ ，使得序列中相继的三角形有一条公共边，而  $v$  在  $T_n$  中  $\Rightarrow G$  是唯一 3-可着色的。

(156) 一个 2-连通 3 色平面图  $G$  有至多一个区域不是三角形  $\Rightarrow G$  是唯一 3-可着色的。

(157)  $G$  是一个至少有 4 个点的唯一 3-可着色可平面图  $\Rightarrow G$  至少含有二个三角形。

(158) 每一个唯一 4-可着色可平面图是最大可平面图。

(159) 没有唯一 5-可着色的可平面图。

(160)  $G$  是临界图  $\Rightarrow$

(1°) 对每一点  $v$ ， $X(G-v) = X(G) - 1$ ；

(2°)  $G$  是连通的；

(3°)  $G$  是一个块；

(4°) 没有一个可被一个完全子图所分离；

(5°) 每一个点割集含有两个不邻接的点。

(161)  $G$  是一个  $n$ -临界图  $\Rightarrow$

(1°)  $\delta(G) \geq n-1$  ( $\delta$  为顶点的最低次)；

(2°)  $n \geq 3$  时，则或者  $G$  是哈密顿的 (见后面四-(二)-(II))，或者  $G$  的周长至少为  $2n-2$ 。

(162) 每个可  $K$ -着色的图，至少有  $K$  个顶点，其次数至少是  $K-1$ 。

(163) 设图 $G$ 的极大次是 $\Delta \Rightarrow$

$$\chi(G) \leq \Delta + 1.$$

(164) 在一个 $K$ -临界图中, 没有断集是一个集团.

(165) (Dirac[1953]) 设图 $G$ 是 $K$ -临界的, 有一个2顶的断集 $U, V$ ,  $U$ 与 $V$ 不相邻  
 $\Rightarrow G = G_1 \cup G_2,$

其中 $G_1$ 与 $G_2$ 是 $G$ 的二片 (在图 $G$ 中, 除去断集 $A$ , 可得若干个联接的分子图, 每个分子图与断集联合, 是一个联接的部分子图, 称为原图的片), 且 $G_1$ 的每一种 $(K-1)$ -着色, 使 $U, V$ 同色而 $G_2$ 的每一种 $(K-1)$ -着色, 均使 $U, V$ 异色.

(166) 设 $G$ 是 $K$ -临界的, 有一个两点的断集 $U, V \Rightarrow$

$$d(U) + d(V) \geq 3K - 5.$$

(167) (Brooke, [1941]) 设 $G$ 是一个简单的联接图, 且若 $G$ 既不是奇圈, 也不是一个完全图 $\Rightarrow \chi(G) \leq \Delta$

其中 $\chi(G)$ 是 $G$ 的色数,  $\Delta$ 是 $G$ 的顶点的最高次

(168)  $G$ 是一个连通的无割点的 $n$ 色图, 它恰含一个度超过 $n-1$ 的点 $\Rightarrow G$ 是 $n$ -边临界的.

(169)  $G$ 是一个 $n$ -边临界图,  $n \geq 4$ , 且不是完全的 $\Rightarrow 2q \geq (n-1)p + n - 3.$

(170)  $\Delta$ -边临界图不含断点 ( $\Delta$ 为极大次).

(171) 设 $G$ 是 $\Delta+1$ -边临界的,  $a, b$ 是 $G$ 中任二相邻点 $\Rightarrow d_G(a) + d_G(b) \geq \Delta + 2.$

(172) 设 $G$ 是 $\Delta+1$ -边临界的 $\Rightarrow$ 每一顶点至少和两个极大次顶点相邻.

(173) 完全图 $K_p: f(K_p, t) = t(t-1)(t-2)\cdots(t-p+1) = t(t-p).$

(174) 全不连通图 $\bar{K}_p: f(\bar{K}_p, t) = t^p.$

(175) 在一个图 $G$ 中,  $u$ 和 $v$ 是两个不邻接的点, 而 $e$ 是等同它们的初等同态 $\Rightarrow$

$$f(G, t) = f(G + uv, t) + f(eG, t).$$

(176) 对于任何一个图 $G, f(G, t)$ 是 $t$ 的一个多项式.

(177) 令 $G$ 是一个图, 有 $p$ 个点、 $q$ 条边和 $K$ 个支 $G_1, G_2, \dots, G_K \Rightarrow$

(1°)  $f(G, t)$ 的次数为 $p$ ;

(2°)  $f(G, t)$ 中 $t^p$ 的系数为1;

(3°)  $f(G, t)$ 中 $t^{p-1}$ 的系数为 $-q$ ;

(4°)  $f(G, t)$ 中常数项为0;

$$(5°) f(G, t) = \prod_{i=1}^K f(G_i, t);$$

(6°)  $f(G, t)$ 中有非零系数的 $t$ 的最小次数为 $k$ .

(178) 每一个色多项式的系数的符号是正负交替的.

(179) 一个有 $p$ 个点的图 $G$ 是一个树 $\Leftrightarrow$

$$f(G, t) = t(t-1)^{p-1}$$

(180)  $n$ 个孤立点构成图 $G \Rightarrow$ 其着色多项式为  $\Pi_1(G) = t^n.$

(181) 着色多项式

$$\Pi_1(G) = \Pi_1(G - e) - \Pi_1(G \cdot e),$$

其中  $G \cdot e$  示  $G$  去掉其  $e$  边;  $G \cdot e$  示再将  $e$  的两个端点合并成一点.

(182) [附]待解决的问题:

(1°) 同一个色多项式的图的特征问题;

(2°) 决定怎样的多项式是色多项式;

(3°) (里德猜想) 每一个色多项式的系数的绝对值先是严格递增的, 然后是严格递减的且一直保持如此.

## 6. 可计数性

(A) 标定图:

(183) 有  $p$  个点的标定图的数目等于  $2^{\binom{p}{2}}$

(184) 标定图  $(p, q)$  的数目等于  $\binom{\binom{p}{2}}{q}$ ,

(185) 有  $p$  个点的标定树的数目等于  $p^{p-2}$ .

(186) 用来标定一个给定的图的方式的数目等于  $p! / |\Gamma(G)|$ .

(B) Polya计数定理: \*

(187) 令  $A$  为作用在集  $X$  上的一个置换群, 它有轨  $\theta_1, \theta_2, \dots, \theta_r$ , 又令  $\omega$  是一个函数, 它对每一个轨指定一个权. 此外,  $\omega$  也定义在  $X$  上, 使当  $x \in \theta_i$  时,  $\omega(x) = \omega(\theta_i) \Rightarrow$  轨的权的和由下式给出:

$$|A| \sum_{i=1}^r \omega(\theta_i) = \sum_{a \in A} \sum_{x \in ax} \omega(x).$$

(188) (Burnside引理) 置换群  $A$  的轨的数目  $N(A)$  由下式给出:

$$N(A) = \frac{1}{|A|} \sum_{a \in A} j_1(a).$$

(189) (Polya计数定理) 构形计数级数可以由将图形计数级数代入到构形群的循环指标中去而得到, 即

$$C(x, y) = Z(A, C(x, y)).$$

(190)  $A$  是作用在  $X$  上的一个置换群  $\Rightarrow$  由  $A$  导出的  $X$  的  $n$ -子集的轨的数目是  $Z(A, Hx)$  中  $x^n$  的系数.

(191) 令  $Z(A)$  和  $Z(B)$  给出  $A$  和  $B$  的二元运算: 和、积、合成和幂群的循环指标.

$$Z(A+B) = Z(A)Z(B);$$

$$Z(A \times B) = \frac{1}{|A|} \frac{1}{|B|} \sum_{(\alpha, \beta)} \prod_{r,s=1}^{\alpha, \beta} a_r^{\binom{r}{s}} b_s^{\binom{s}{r}} j_r(\alpha) j_s(\beta)$$

(其中  $d(r, s)$  和  $m(r, s)$  分别是最大公约数和最小公倍数),

$$Z(A[B]) = Z(A)[Z(B)];$$

$$Z(B^A) = \frac{1}{|A|} \frac{1}{|B|} \sum_{(\alpha, \beta)} a_k^{j_k(\alpha, \beta)}.$$

(其中  $(\alpha, \beta) = \beta^n$ ;  $j_1(\alpha, \beta) = \prod_{k=1}^{\alpha} \left( \sum_{s|h} s j_s(\beta) \right)^{j_k(\alpha)}$ ; 而对于  $h > 1$ ,  $j_h(\alpha, \beta) =$

\* 以下所论及的群的概念见后面三-(二)-(III)

$\frac{1}{k} \sum_{i=1}^k \mu\left(\frac{k}{i}\right) j_i (a^i, p^i)$ , 其中  $\mu$  是熟知的数论的麦比乌斯函数).

(C) 图的计数:

令  $g_p$  为  $(p, q)$  图的数目,  $g_p(x) = \sum_q g_{p,q} x^q$ .

令  $V = \{1, 2, \dots, p\}$ ,  $R = \{0, 1\}$ .

用  $D = V^{(2)}$  记  $V$  的不同的元素的子集  $\{i, j\}$  的集, 即  $V$  的 2-子集的集. 则由  $D$  到  $R$  中的每个函数  $f$  代表一个图, 这个图的  $p$  个点是  $V$  的元素, 其中, 当  $f(\{i, j\}) = 1$  时,  $i$  邻接于  $j$ .

$R$  上的权函数  $\omega$  由  $\omega(0) = 0$  和  $\omega(1) = 1$  定义, 故为恒等函数.

函数  $f$  的权由  $W(f) = x^{\sum_{\{i,j\} \in D} f(\{i,j\})}$  给出, 其中, 求和是对于  $V^{(2)}$  中所有的对  $i, j$  取的. 于是函数  $f$  的权的是相应于  $f$  的图中边的数目.

令  $E_p$  是作用在  $R$  上的单位元素群, 又令  $S_p$  作用在  $V$  上. 用  $S_p^{(2)}$  来记对群, 它作用在  $V^{(2)}$  上, 它的置换由  $S_p$  导出, 即对  $S_p$  中每一个置换  $\alpha$ , 在  $S_p^{(2)}$  中有一个置换  $\alpha'$ , 使

$$\alpha'(\{i, j\}) = \{\alpha_i, \alpha_j\}.$$

(192) 有  $p$  个点的图的计数多项式为

$$g_p(x) = Z(S_p^{(2)}, 1+x).$$

$$\text{其中, } Z(S_p^{(2)}) = \frac{1}{p!} \sum_{(j)} \frac{p!}{\prod_{k=1}^p j_k! K^{j_k}} \prod_{k=1}^{[p/2]} (a_k a_{k+1}^{-1})^{j_k} \cdot \prod_{k=0}^{[(p-1)/2]} a_{k+1}^{j_{2k+1}+1}$$

$$\prod_{k=1}^{[p/2]} a_k K^{(j_k)} \prod_{1 \leq r < s \leq p-1} a_{\frac{1}{2}(r+s)}^{j_r j_s}$$

(193) 有  $p$  个点的有根图的计数多项式为

$$Y_p(x) = Z((S_1 + S_{p-1})^{(2)}, 1+x).$$

(194) 至多有两条边联结每一对点的多重图的计数多项式为

$$g_p^2(x) = Z(S_p^{(2)}, 1+x+x^2).$$

(195) 有  $p$  个点的多重图的计数多项式为

$$m_p(x) = Z\left(S_p^{(2)}, \frac{1}{1-x}\right)$$

(196) 有  $p$  个点的有向图的计数多项式为

$$d_p(x) = Z(S_p^{(2)}, 1+x).$$

其中,

$$Z(S_p^{(2)}) = \frac{1}{p!} \sum_{(j)} \frac{p!}{\prod_{k=1}^p j_k! K^{j_k}} \prod_{k=1}^p a_k^{(j_k-1)j_k+2j_k} (j_k) \prod_{1 \leq r < s \leq p-1} a_{\frac{1}{2}(r+s)}^{j_r j_s (r+s)}.$$

(D) 树的计数:

(197) 有根树的计数级数由下式给出:

$$T(x) = x \prod_{r=1}^{\infty} (1-x^r)^{-T_r}.$$

( $T_r$ 是有 $r$ 个点的有根树的数目).

(198) 有根树的计数级数满足函数方程

$$T(x) = x \exp \sum_{r=1}^{\infty} \frac{1}{r} T(x^r).$$

(199) 对于任何一个树 $T$ , 令 $p^*$ 和 $q^*$ 分别是点和边的相似类的数目, 又令 $S$ 是对称边的数目 $\Rightarrow S=0$ 或 $1$ , 且有 $p^* - (q^* - S) = 1$ .

(200) 从一个有 $n$ 个可交换的元素的集到一个具有图形计数级数 $C(x)$ 的集中的1-1函数的构形计数级数 $C(x)$ , 可将 $C(x)$ 代入 $Z(A_n - S_n)$ 中得到:

$$C(x) = Z(A_n - S_n, C(x)).$$

(201) 用有根树的计数级数来表示的树的计数级数由下列方程给出:

$$t(x) = T(x) - \frac{1}{2} [T^2(x) - T(x^2)].$$

(202) 同胚不可约树由下列三个方程来计数:

$$H(x) = \frac{x^2}{1+x} \exp \sum_{r=1}^{\infty} \frac{\bar{H}(x^r)}{rx^r},$$

$$H(x) = \frac{1+x}{x} \bar{H}(x) - \frac{1}{2x} [\bar{H}^2(x) - \bar{H}(x^2)],$$

$$h(x) = H(x) - \frac{1}{x^2} [\bar{H}^2(x) - \bar{H}(x^2)].$$

( $h(x)$ 、 $H(x)$ 和 $\bar{H}(x)$ 分别是同胚不可约树、有根树和植树的计数级数).

(203) 令 $u(x)$ 和 $U(x)$ 分别为么树和么有根树的计数级数 $\Rightarrow U(x) = x \exp \sum_{r=1}^{\infty} (-1)^{r+1}$

$$\frac{U(x^r)}{r},$$

$$u(x) = U(x) - \frac{1}{2} [U^2(x) + U(x^2)].$$

(E) 幂群计数定理:

(204)  $R^0$ 中由幂群 $B^d$ 所决定的函数的等价类的数目等于

$$N(B^d) = \frac{1}{|B|} \sum_{\beta \in B} Z(A; m_1(\beta), m_2(\beta), \dots, m_d(\beta)),$$

其中,  $m_i(\beta) = \sum_{s \in I_i} s_j(s)$ .

(205) 有 $p$ 个点的自补图的数目 $S_p$ 等于

$$S_p = Z(S_p^{(2)}, 0, 2, 0, 2, \dots).$$

(F) [附]未解决的图的计数问题: \*

(1°) 有向图: 强有向图, 单侧有向图, 有源有向图, 可迁有向图, 自补且自逆的有向图.

(2°) 可行遍性: 哈密顿圈, 一个给定的图中的哈密顿圈, 一个给定的图中的欧拉迹.

\* 有的已部分地解决, 请参阅有关文献.

(3°) 拓扑的: 单纯复形,  $K$ 色图, 可平面的 $K$ 色图, 有根可平面图, 有边根的平面图。

(4°) 对称性: 对称图, 么图, 有给定的自同构的图。

(5°) 应用: 一个标定3-格的偶子图, 有给定面积的一个标定2-格的偶子图, 一个给定的标定图的偶子图, 一个2-格的铺砌, 兽图。

(6°) 其它: 边图, 拉丁方, 有给定的半径或直径的图, 有给定的围长或周长的图, 有给定的连通度的图, 有给定的亏格、厚度、色数等等的图。

#### 【术语解释】

(1°) 有边根的平面地图由一个平面地图如下地得到: 将任意一条边定向, 然后指定与这条边关联的两个面之一为地图的外部面。

(2°) 一个2-格是一个图, 它的点是整数的有序偶  $(i, j)$ , 其中  $i = 0, 1, \dots, m$ ,  $j = 0, 1, \dots, n$ ; 两个点当它们在笛卡尔平面上的距离等于1时邻接(一个3-格类似地定义)。

(3°)  $G$ 的一个偶子图 $H$ 是一个每个点的度均为偶数的子图。

(4°) 2-格的一个铺砌是指用给定数目的单个的单位正方形和由二个正方形拼成的骨牌形对格的方格的一个覆盖。

(5°) 兽图是一个含有给定的数目的三角形、正方形和正六角形的单连通构形。

## (四) 题 解

### 1. 连通性

(1) 证明 $G$ 连通的充要条件是, 对于把 $V$ 分为两个非空子集 $V_1$ 和 $V_2$ 的每个分划, 总存在一条边其一端点在 $V_1$ 中而另一端点在 $V_2$ 中。

证: “ $\Rightarrow$ ”若 $G$ 连通, 对任一 $v_1 \in V_1$ 和 $v_2 \in V_2$ 必有 $(v_1, v_2)$ -通路, 设为 $P = (v_{i_1}, v_{i_2}, \dots, v_{i_{m+1}})$ 。设 $v_{i_r}$ 是序列中从前面数最后一个属于 $V_1$ 的点, 这时  $1 \leq r \leq m$ ,  $v_{i_1} = v_1$ ,  $v_{i_{m+1}} = v_2$ 。因为 $v_{i_1} = v_1 \in V_1$ , 故这样的 $v_{i_r}$ 总是存在。故 $v_{i_r}, v_{i_{r+1}}$ 邻接的边 $u_i, v_{i_{r+1}}$ 便满足其一端点在 $V_1$ 中, 一端点在 $V_2$ 中。

“ $\Leftarrow$ ”反之, 若对于把 $V$ 分为两个非空子集 $V_1$ 和 $V_2$ 的每个分划总存在一条边其一端点在 $V_1$ 中, 而另一端点在 $V_2$ 中, 则 $G$ 必为连通的。因否则 $G$ 至少有两个连通分支, 令一个连通分支的顶点集为 $V_1$ , 其余的顶点集为 $V_2$ , 则不存在一条边其一端点在 $V_1$ 中, 另一端在 $V_2$ 中, 矛盾。

(2) ①证明: 若 $G$ 是简单图, 且 $e > \binom{v-1}{2}$ , 则 $G$ 连通;

②对于 $v > 1$ , 找出一个 $e = \binom{v-1}{2}$ 的非连通简单图。

证: ①用反证法, 否则 $G$ 至少有两个连通分支, 设其中一个分支有 $K$ 个点 ( $K \geq 1$ ), 于是  $e \leq \binom{K}{2} + \binom{v-K}{2}$ 。由 $K \geq 1$ , 易证

$$\binom{K}{2} + \binom{v-K}{2} \leq \binom{v-1}{2},$$

这与 $e > \binom{v-1}{2}$ 矛盾。

②  $v-1$ 个点组成的完全图再加一个孤立点即得所求之图。

(3) ①证明若 $G$ 是简单图, 且 $\delta > \left\lfloor \frac{v}{2} \right\rfloor - 1$ , 则 $G$ 连通。

②当 $v$ 为偶数时, 找出一个非连通的 $\left(\left\lfloor \frac{v}{2} \right\rfloor - 1\right)$ -正则简单图。

证: ①用反证法。否则, $G$ 至少有两个连通分支,但至少有一个分支的顶点个数 $\leq \left\lfloor \frac{v}{2} \right\rfloor$ , 这个分支中顶点的次数最大为 $\left\lfloor \frac{v}{2} \right\rfloor - 1$ , 这是因为 $G$ 是简单的, 这与 $\delta > \left\lfloor \frac{v}{2} \right\rfloor - 1$ 矛盾。

②有两个连通分支, 每个分支有 $\left\lfloor \frac{v}{2} \right\rfloor$ 个顶点的完全图, 即为所求的图。

(4) 证明: 若 $G$ 非连通, 则 $G^c$ 连通。

证: 若 $u, v \in V(G)$ 在 $G$ 中不邻接, 则在 $G^c$ 中邻接, 否则 $u, v$ 邻接, 于是它们必在 $G$ 的同一个连通分支中。设 $W$ 不属于这个连通分支, 则在 $G$ 中 $W$ 与 $u, v$ 不邻接, 于是在 $G^c$ 中 $W$ 与 $u, v$ 邻接, 故 $u, v$ 连通, 从而 $G^c$ 中的任两点都连通, 因此 $G^c$ 连通。

(5) ①证明: 若 $e \in E$ , 则 $\omega(G) \leq \omega(G - e) \leq \omega(G) + 1$ ;

②设 $v \in V$ , 证明: 在上面的不等式中, 通常不能用 $G - v$ 代替 $G - e$ 。

证: ①此为边 $e$ 只能属于一个分支, 这样只要证明, 一个分支去掉一条边, 最多分成两个分支, 所以问题不妨简单地置于连通图中加以讨论。显然 $\omega(G - e) \geq \omega(G)$ 。若记 $e = (u, v)$ , 则去掉 $e$ 后, 有两种可能:

i) 在 $G$ 中,  $u, v$ 之间只有一条通路 $P = uv$ , 这样 $G$ 中的顶点分成两大类: 第一类顶点与 $u$ 之间有通路, 但任何这样的通路不经过 $v$ ; 第二类顶点与 $v$ 之间有通路, 但任何这样的通路也不经过 $u$ ; 而第一类与第二类顶点之间的通路必定经过 $P$ 。故去掉 $e$ 后, 第一、第二两类顶点分别成为两个连通分支, 在此情形下 $\omega(G - e) = \omega(G) + 1$ ;

ii) 在 $G$ 中,  $u, v$ 之间去掉 $e$ 边后, 仍然连通, 显然此时 $\omega(G - e) = \omega(G)$ 。

$\therefore$  对任何 $e \in E$ , 必有 $\omega(G) \leq \omega(G - e) \leq \omega(G) + 1$ 。

②如 $G$ :



$$\omega(G - v) = 3, \omega(G) = 1.$$

图2.20

故 $\omega(G - v) \leq \omega(G) + 1$ 不成立, 于是在上面的不等式中不能用 $G - v$ 代替 $G - e$ 。

(6) 证明: 若 $G$ 连通且 $G$ 的每一个顶点的次数均为偶数, 则对任何 $v \in V$ ,  $\omega(G - v) \leq \frac{1}{2}d(v)$ 成立。

证: 用反证法, 否则至少有一个 $v \in V$ 使 $\omega(G - v) > \frac{1}{2}d(v)$ 。令 $\omega(G - v) = K$ , 设 $G - v$ 的分支为 $G_1, G_2, \dots, G_K$ ,  $K > \frac{1}{2}d(v)$ , 故至少有一个 $G_i, K_i \leq K$ 使它与 $v$ 在 $G$ 中只有一条边相连。设 $G_i$ 中与 $v$ 邻接的顶点为 $u$ , 由于 $G$ 中每个顶点的次数为偶数, 故 $G_i$ 中其他顶点的次数与 $G$ 中相同但 $d_{G_i}(u)$ 为奇数, 这与一个图中奇次数的顶点有偶数个相矛盾。



(7) 设 $G$ 连通且设 $S$ 是 $V$ 的非空真子集. 证明: 当且仅当 $G[S]$ 和 $G[\bar{S}]$ 二者都连通时边割 $[S, \bar{S}]$ 才是 $G$ 的割集.

证: “ $\Rightarrow$ ”用反证法. 假设 $G[S]$ 不连通. 取 $G[S]$ 中一个分支 $G[S']$ , 则边割 $[S', \bar{S}'] \subset [S, \bar{S}]$ , 这与 $[S, \bar{S}]$ 是极小边割矛盾. 故 $G[S]$ ,  $G[\bar{S}]$ 均连通.

“ $\Leftarrow$ ”设 $G[S]$ ,  $G[\bar{S}]$ 连通, 则对任意 $e \in [S, \bar{S}]$ ,  $G - [S, \bar{S}] - e$ 也是连通的, 故 $G[S, \bar{S}]$ 是极小边割, 即 $[S, \bar{S}]$ 是割集.

(8) ①证明: 若 $G$ 是 $K$ -边连通的, 且 $K > 0$ , 又若 $E'$ 是 $G$ 的 $K$ 条边的一个集合, 则 $\omega(G - E') \leq 2$ ;

②对 $K > 0$ , 找出一个 $K$ -连通图 $G$ 以及 $G$ 的 $K$ 个顶点的集合 $V'$ , 使 $\omega(G - V') > 2$ .

证: ① $G$ 是 $K$ -边连通的, 则 $K'(G) \geq K > 0$ , 即 $G$ 的任一边割 $[S, \bar{S}]$ , 有 $[S, \bar{S}] \geq K$ . 又 $|E'| = K$ , 若 $E'$ 不是边割, 则 $\omega(G - E') = 1$ ; 若 $E'$ 是 $G$ 的边割, 必为割集. 由上题(7)之结果知: 若 $E' = [S, \bar{S}]$ , 则 $G[S]$ 和 $G[\bar{S}]$ 都是连通的, 故有 $\omega(G - E') = 2$ ,  $\therefore \omega(G - E') \leq 2$ .


②如,  是1-连通的,  $v_1$ 使 $\omega(G - v_1) = 3 > 2$ .

图2.21

(9) 证明: 若 $G$ 是 $K$ -边连通的, 则 $\varepsilon \geq K \cdot v/2$ .

证:  $\sum_{v \in V} d(v) = 2\varepsilon$ ,  $d(v) \geq \delta \geq K'(G) \geq K$ ,

$\therefore \sum d(v) \geq vK$

即 $2\varepsilon \geq vK$ ,  $\therefore \varepsilon \geq K \cdot v/2$ .

(10) ①证明: 若 $G$ 是简单图且 $\delta \geq v-2$ , 则 $K = \delta$ ;

②找出一个简单图, 使 $\delta = v-3$ 且 $K < \delta$ .

证: ①用反证法. 否则, 若 $K \neq \delta$ , 则因 $\delta \geq K' \geq K$ ,  $\therefore K < \delta$ , 又 $\delta \geq v-2$

$\because G$ 是简单图, 故 $\Delta \leq v-1$ , 故 $\delta \leq v-1$ .

当 $\delta = v-1$ 时, 显然 $G$ 是完备图有 $K = v-1 = \delta$ , 矛盾.

当 $\delta = v-2$ 时, 若 $K < \delta$ 则 $K < v-2$ , 即 $K \leq v-3$ . 对 $G$ 去掉少于或等于 $v-3$ 个顶点, 剩下的顶点不妨设为 $v_1, v_2, \dots, v_K$ , ( $K \geq 3$ ). 若 $v_1$ 与 $v_2, \dots, v_K$ 邻接, 则 $G[v_1, \dots, v_K]$ 是连通的; 否则不妨设 $v_1$ 与 $v_K$ 不邻接, 于是 $v_K$ 因 $d(v_K) \geq v-2$ , 便与 $v_2, \dots, v_{K-1}$ 邻接, 故 $G[v_2, \dots, v_{K-1}]$ 也是连通的, 即 $G$ 不存在顶点数不大于 $v-3$ 顶点割, 即 $K > v-3$ , 矛盾.  $\therefore K = \delta$ .

②可找到图 $G$ :



图2.22

此时,  $\delta = 2 = 5-3 = v-3$ , 但 $K < \delta$  ( $\because K = 1$ ).

(11) 证引: 若 $G$ 是简单图且 $\delta \geq (v+K-2)/2$ , 则 $G$ 是 $K$ -连通的.

证: 用反证法. 否则,  $G$ 必有 $(K-1)$ -顶点割, 设为 $V_1$ .  $|V_1| = K-1$ ,  $G - V_1$ 至少有两个分支.  $\therefore |V(G - V_1)| = v - (K-1) = v - K + 1$ ,  $\therefore G - V_1$ 的两个分支中至少有一个的顶点数 $\leq \frac{v-K+1}{2}$ . 设此分支为 $G_1$ , 故 $G_1$ 中任一顶点 $v$ 至多与 $G_1$ 中的其他的顶点及 $V_1$ 中的顶点都

邻接, 即  $d(v) \leq K-1 + \frac{v-K+1}{2} - 1 = \frac{v+K-3}{2} < \frac{v+K-2}{2} \leq \delta$ , 矛盾.  $\therefore G$  是  $K$ -连通的.

(12) 设  $G$  连通且设  $S$  是  $V$  的非空真子集. 证明: 当且仅当  $G[S]$  和  $G[\bar{S}]$  二者都连通时边割  $[S, \bar{S}]$  才是  $G$  的割集.

证: “ $\Rightarrow$ ” 用反证法. 假设  $G[S]$  不连通. 取  $G[S]$  中一个分支  $G[S']$ , 则边割  $[S', \bar{S}'] \subset [S, \bar{S}]$ , 这与  $[S, \bar{S}]$  是极小边割矛盾. 故  $G[S]$ 、 $G[\bar{S}]$  均连通.

“ $\Leftarrow$ ” 设  $G[S]$ 、 $G[\bar{S}]$  连通, 则对任意  $e \in [S, \bar{S}]$ ,  $G - \{e\}$  也是连通的, 故  $[S, \bar{S}]$  是极小边割, 即  $[S, \bar{S}]$  是割集.

(13) 试证: 每个边割都是割集的不相交和集.

证: 不妨假定  $G$  是连通的. 设  $[S, \bar{S}]$  是边割, 若它为割集, 显然为割集的和集, 否则由上题 (12) 知  $G[S]$  和  $G[\bar{S}]$  至少一个是非连通的. 设  $S = S_1 \cup S_2 \cup \dots \cup S_r$ , 当  $i \neq j$  时,  $S_i \cap S_j = \emptyset$ , 且  $G[S_i]$  是  $G[S]$  的连通分支  $r > 1$ , 则  $[S_i, \bar{S}_i]$  是边割, 且  $[S, \bar{S}] = \bigcup_{i=1}^r [S_i, \bar{S}_i]$ . 若诸  $\bar{S}_i$  使  $G[\bar{S}_i]$  是连通的, 由上题 (12) 知  $[S_i, \bar{S}_i]$  是割集, 显然当  $i \neq j$  时,  $[S_i, \bar{S}_i] \cap [S_j, \bar{S}_j] \neq \emptyset$ , 由此得证. 否则若存在  $1 \leq i \leq r$  使  $G[\bar{S}_i]$  不连通, 则  $\bar{S}_i = \bar{S}_i' \cup \bar{S}_i'' \cup \dots \cup \bar{S}_i^k$ , 当  $i \neq j$  时,  $S_i' \cap S_j' = \emptyset$  且  $G[S_j']$  连通 ( $1 \leq j \leq K$ ), 于是由上题 (12) 知  $[S_j', \bar{S}_j']$  是割集, 若  $G[\bar{S}_i']$  也是连通的. 显然,  $\bigcup_{j=1}^K [S_j', \bar{S}_j'] = [S_i, \bar{S}_i]$ , 若  $G[S_i]$  不连通, 又可如上面一样对  $\bar{S}_i$  分解为连通分支的顶点集, 图是有限的, 这种过程总会停止. 故每个边割都是割集的不相交和集.

(14) 若  $G$  连通且  $v \geq 3$ , 证明:

① 若  $G$  有割边, 则  $G$  有一个顶点  $v$  使  $W(G-v) > W(G)$ ;

② 上述的逆命题不成立.

证: ① 设  $e \in E(G)$  是  $G$  的割边,  $e = uv$  则  $W(G-e) > W(G)$ , 且由前面题 (5)-① 知  $W(G-e) = 2$ . 设  $G-e$  的分支为  $G_1$  和  $G_2$ , 不妨设  $u \in V(G_1)$ ,  $v \in V(G_2)$ , 因  $v \geq 3$ , 故  $V(G_1)$  和  $V(G_2)$  至少有一个的顶点数不少于 2. 不妨设  $|V(G_2)| \geq 2$ , 于是  $G-v = G_1 \cup (G_2-v)$ .  $\therefore |V(G_2-v)| \geq 2$ ,  $\therefore G_2-v \neq \emptyset$ , 即  $G-v$  至少有两个分支, 即  $W(G-v) > W(G)$ .

② 如图 (图 2.23)  $G_1$



图 2.23

显然  $W(G-v) > W(G)$ , 但显然没有割边, 即上述的逆命题不成立.

(15) 试证: 恰好有两个顶点不是割点的简单连通图是一条通路.

证:  $G$  是简单连通图, 显然  $G$  中有极大距离的两点均不是割点. 设  $u, v$  有极大距离, 即  $(u, v)$ -通路不能再向两端继续延长了. 对每一个简单连通图因是有限图, 这样的点总是存在的. 又  $G$  恰好有两个顶点不是割点, 则  $G$  必恰好只有两个顶点是有极大距离的点. 故  $G$  是一条通路.

(16) 试证: 若  $G$  是简单的, 并且是 3-正则的, 则  $K = K'$ .

证: 先证简单 3-正则图有割点必有割边. 因 3-正则简单图的任一顶点与三条边关联, 故若  $v$  是割点, 则  $W(G-v) \geq 2$ , 故与  $v$  关联的三条边中必有一条使它为连接  $v$  与  $G-v$  的一个分支的唯一的一条边, 它便是割边.

当  $K = 1$  时,  $K' = K = 1$ , 当  $G$  不连通时, 显然  $K = K' = 0$ .

当  $K = 3$  时, 因  $\delta \geq K' \geq K$ , 又  $\delta = 3$ , 即  $3 \geq K' \geq 3$ ,  $\therefore K' = K = 3$ .

当  $K = 2$  时,  $G$  无割点, 由上题 (14)-① 知  $G$  无割边, 只要证明  $G$  有 2-边割便得  $K' = 2 =$

$K$ .

设  $v_1, v_2$  为  $G$  的 2-顶点割, 令  $S = v_1, v_2$ .

i) 若  $G-S$  有两个分支, 若  $v_1, v_2 \in E(G)$ , 则  $S$  与  $G-S$  共有 4 条边连接;  $G$  无割边, 故  $G-S$  的每个分支必有两条边与  $S$  连接, 这便是  $G$  的 2-边割. 若  $v_1, v_2 \in V(G)$  则  $S$  与  $G-S$  的两个分支有 6 条边连接, 又  $G$  无割点, 故连接情况必如下图 (图 2.24) 所示;

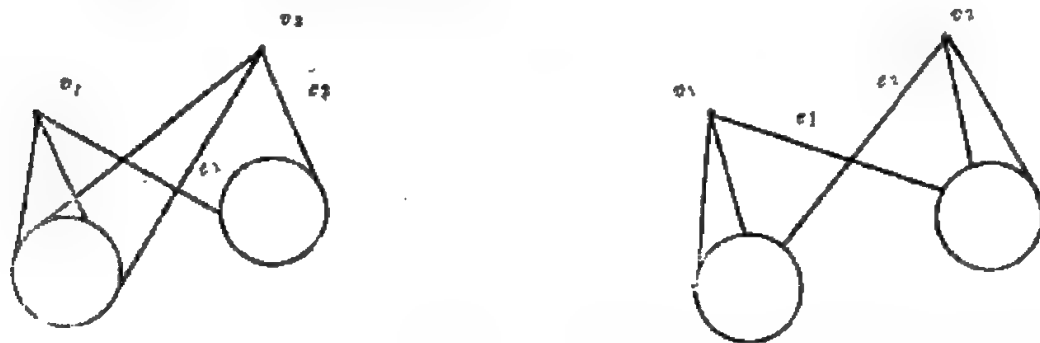


图 2.24

于是  $e_1, e_2$  为  $G$  的 2-边割.

ii) 若  $G-S$  有三个分支, 因  $v_1, v_2$  不是割点, 又  $G$  无割边, 故其连接情况必如下图 (图 2.25) 所示.

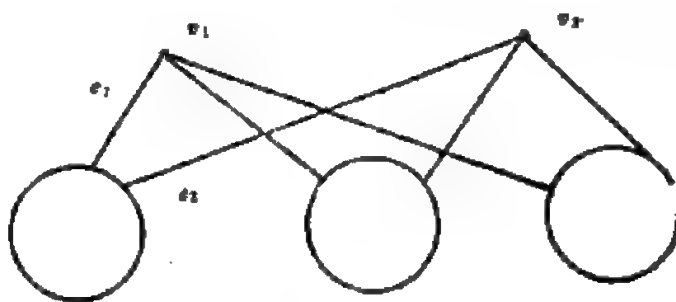


图 2.25

于是  $e_1, e_2$  为  $G$  的 2-边割; 因  $G$  无割点, 故  $G-S$  的分支数不能大于 3.

$\therefore K=2$  时, 有  $K'=2=K$ , 又  $K \leq \delta=3$

综上所述情形, 得知  $G$  是简单的, 且是 3-正则的, 则  $K=K'$ .

(17) 举例说明: 若在 2-连通图中  $P$  是一条  $(u, v)$ -通路, 则  $G$  不一定包含一条与  $P$  内部不相交的  $(u, v)$ -通路  $\theta$ .

解: 如图 (图 2.26)  $G$  是 2-连通的, 但不包括与  $P = (u, u_1, u_2, v)$  内部不相交的通路

$G$ .



图 2.26

$H$ :

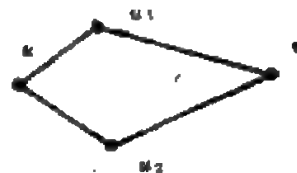


图 2.27

路。

而图(图2.27)  $H$  中, 对  $P = (u, u_1, v)$  显然含与内部不相交的通路  $(u, u_1, v)$ , 此图是2-边连通的。

(18) 试证: 当且仅当某图的任意两个顶点, 由至少两条边不重并的通路连通时, 此图是2-边连通的。

证: “ $\Rightarrow$ ” 若图  $G$  中任意两点间都至少有两边不重并的通路所连通时, 显然对任意  $e \in E(G)$ ,  $G - e$  是连通的, 即  $G$  不存在1-边割, 故  $G$  为2-边连通。

“ $\Leftarrow$ ” 若  $G$  为2-边连通, 则  $G$  无割边。将  $G$  分解成块, 则块与块之间将以  $G$  中的割点相互连接。对于任意的顶点  $u$  和  $v$  而论, 若  $u, v$  同属于  $G$  的某一块, 则由上题(17)知结论成立。若  $u, v$  属于  $G$  的不同块, 为简述计, 令  $u \in B_1, B_1, \dots, v \in B_n$ , 其中块  $B_i$  与  $B_{i+1}$  以割点  $v_i$  相互连接。由于  $G$  是2-边连通的, 故  $v(B_i) \geq 3$  ( $i = 1, 2, \dots, n$ )。于是由上题(17)知, 在  $B_1$  中存在两条由  $u$  到  $v_1$  的边不重并的通路  $P_{11}, P_{12}$ ; 在  $B_i$  ( $i = 2, 3, \dots, n-1$ ) 中存在两条由  $v_{i-1}$  到  $v_i$  的边不重并的通路  $P_{i1}, P_{i2}$ ; 在  $B_n$  中存在两条由  $v_{n-1}$  到  $v$  的边不重并的通路  $P_{n1}, P_{n2}$ ; 于是我们找到了两条由  $u$  到  $v$  的边不重并的通路如下:  $P_{11} \cup P_{12} \cup \dots \cup P_{n1}$  和  $P_{12} \cup P_{22} \cup \dots \cup P_{n2}$ 。

(19) 试证: 若  $G$  无偶回路, 则  $G$  的每个块是  $K_2$  或是奇回路。

证:  $G$  无偶回路,  $G$  的块自然可以是  $K_2$ ; 若  $G$  的块不是  $K_2$ , 可证必有奇回路。不为  $K_2$  的块  $G_1$  必为  $v \geq 3$ 。由上题(17)可知  $G_1$  必含回路, 又  $G$  无偶回路, 则  $G_1$  必含奇回路  $C$ , 我们证明

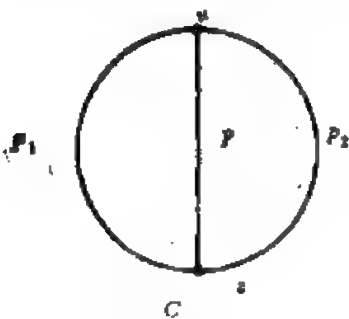


图2.28

$G_1 = C$ 。因否则由上题(17)知  $G_1$  必为回路的和集, 于是必存在  $u, v \in C$  使有  $(u, v)$ -通路  $P$ ,  $P$  与  $C$  内部不相交, 如图(图2.28)所示;  $u, v$  将回路  $C$  分为两通路  $P_1, P_2$ 。由于  $C$  是奇路, 故  $P_1$  与  $P_2$  必然其长度不同的奇偶性, 不妨设  $|P_1|$  为奇数,  $|P_2|$  为偶数。若  $|P|$  为奇数, 则由  $P_1$  和  $P$  组成的回路便为偶回路, 与  $G_1$  不含偶回路矛盾。若  $|P|$  为偶数, 则由  $P$  和  $P_2$  组成的回路为偶回路亦与  $G_1$  不含偶回路矛盾,  $\therefore G = C$ , 故  $G$  的每一个块成为  $K_2$  或为奇回路。

(20) 试证: 不是块的连通图至少有两个块使其中每一个块恰好有一个割点。

证: 不是块的连通图至少有两个块, 对图的块数施归纳。若  $G$  有两个块, 则显然  $G$  只有一个割点, 故每一块恰好有一个割点; 若对有块数少于  $K$  的图结论正确, 我们证明  $G$  的块数等于  $K$  时结论亦真 ( $K > 2$ )。

设  $v \in V(G)$  是  $G$  的任一割点, 则  $G$  可分为两部分, 设为  $G_1, G_2$ , 它们以  $v$  为公共点。显然  $G_1, G_2$  的块数小于  $K$ , 若  $G_1$  是块显然它只有一个割点  $v$ , 否则由归纳假定  $G_1$  至少有两个块恰好有一个割点。若  $v$  不是  $G_1$  的割点, 此时  $G_1$  的这两个块中显然必至少有一个不含  $v$ , 即  $G$  中至少有一个块只恰好含  $G$  的一个割点。同理可得  $G_2$  中至少有一个块恰好只含  $G$  的一个割点, 故  $G$  恰好有两个块只含一个割点。此题得证。

(21) 证明:  $G$  中块的个数等于  $W + \sum_{v \in V} (b(v) - 1)$ 。

这里  $b(v)$  表示  $G$  中含有  $v$  的块数。

证: 先设  $W = 1$ 。对  $G$  中割点的数目施以归纳。若  $v \in V$  不是割点, 显然  $b(v) = 1$ , 即  $b(v) >$

$-1=0$ . 若  $G$  的割点数为 0, 即  $G$  是块. 此时有  $W + \sum_{v \in V} (b(v) - 1) = 1 + 0 = 1$ , 上式正确. 设  $G$  的割点数为  $K-1$  时公式成立, 证明  $G$  的割点为  $K$  时公式成立.  $K=1$  时可直接验证公式为真, 不妨设  $K>1$ .

由上题 (20) 可知:  $G$  至少有块只含一个割点, 设这割点为  $v$ . 在  $G$  中去掉只含  $v$  这一割点的所有块, 使割下的图为  $G_1$ , 且  $v$  不是  $G_1$  的割点, 于是  $G_1$  上有  $K-1$  个割点. 由归纳假定,  $G_1$  的块数为  $1 + \sum_{v \in V(G_1)} (b(v) - 1)$ . 显然, 因  $K>1$ , 故不属于  $G_1$  的  $G$  的块数应为  $b(v) - 1$ .

又当  $v \in V(G)$  不是割点时, 前面已证  $b(v) - 1 = 0$ ,  $\therefore G$  的块数为  $1 + \sum_{v \in V(G_1)} (b(v) - 1) + (b(v) - 1) = 1 + \sum_{v \in V(G)} (b(v) - 1)$ .

由上已证明了当  $\omega = 1$  时, 公式成立.

当  $\omega > 1$  时, 设  $G_1, G_2, \dots, G_\omega$  是  $G$  的分支, 故  $G$  的块数为:

$$\sum_{i=1}^{\omega} \left( \sum_{v \in V(G_i)} (b(v) - 1) + 1 \right) = \sum_{v \in V(G)} (b(v) - 1) + W.$$

(22) 设  $G$  是非空图, 若对任意的  $e \in E$  都有  $K(G - e) < K(G)$ , 则  $G$  称为  $K$ -临界的. 试证: ① 每个  $K$ -临界的 2-连通图 (即  $K(G) = 2$ ) 都有一个次数为 2 的顶点; ② 若  $G$  是一个  $v \geq 4$  的  $K$ -临界的 2-连通图, 则  $e \leq 2v - 4$ .

证: ① 对  $e$  施归纳. 当  $e = 3$  时,  $K$ -临界图又是 2-连通的必为  $K_3$ , 显然有次数为 2 的顶点. 设  $e < K$  时结果正确, 证明  $e = K$  时结论也正确.

对  $e_1 \in E(G)$ : i) 若  $G \cdot e_1$  是一个临界的块. 由归纳假定  $G \cdot e_1$  有次数为 2 的顶点  $v_1$ , 而对任意的  $v \in V(G \cdot e)$  必有  $v \in V(G)$ , 且  $d_{G \cdot e}(v) > d_G(v)$ ,  $\therefore d_{G \cdot e}(v_1) \geq d_G(v_1)$ , 即  $d_G(v_1) \leq 2$ . 又  $G$  是 2-连通的,  $\therefore d_G(v) \geq 2$ ,  $\therefore d_G(v_1) = 2$ , 即  $G$  有次数为 2 的顶点.

ii) 若  $G \cdot e_1$  不是临界的. 则存在  $e_2 \in E/(e_1)$ , 使  $(G \cdot e_1) - e_2$  仍是 2-连通的, 又  $(G \cdot e_1) - e_2 = (G - e_2) \cdot e_1$ , 因为  $G$  是  $K$ -临界的 2-连通图, 故  $G - e_2$  不是块. 但  $(G - e_2) \cdot e_1$  是 2-连通的, 即为块, 于是  $G - e_2$  的割点必为  $e_1$  的端点, 且  $e_2$  与  $e_1$  必邻接. 设  $u$  为  $e_1$  和  $e_2$  的公共端点,  $e_1 = uv$ , 显然  $u$  不能是  $G - e_2$  的割点, 否则与  $(G - e_2) \cdot e_1$  是块相矛盾, 即  $v$  是  $G - e_2$  的割点, 于是必有  $d_{G - e_2}(v) = 1$ , 否则  $(G - e_2) \cdot e_1$  不是块.  $\therefore d_G(u) = 2$ , 即  $G$  有次数为 2 的顶点.

② 对  $v$  施归纳.  $v = 4$ ,  $K$ -临界的 2-连通图为,  恰有四条边, 故  $e = 4 \leq 2v - 4$ .

图 2.29

若顶点数  $v > K$  时, 结论成立, 现证  $v = K$  时结论也成立.

由 ① 知  $K$ -临界的 2-连通图有一个顶点的次数为 2, 不妨设  $d(v) = 2$ . 令与  $v$  关联的边分别为  $e_1$  和  $e_2$ .

i) 若  $G \cdot e_1$  是  $K$ -临界的, 由于  $G$  是块, 得  $G \cdot e_1$  必是块. 由归纳假定  $e(G \cdot e_1) \leq 2(v - 1) - 4$ ,  $\therefore e(G) = e(G \cdot e_1) + 1 \leq 2(v - 1) - 4 + 1 = 2v - 5 < 2v - 4$ .

ii) 若  $G \cdot e_1$  不是临界的, 必有  $(G \cdot e_1) - e_2$  是块. 现证  $G' = (G \cdot e_1) - e_2$  也是  $K$ -临界的. 否则必存在  $e_3$  使  $G' - e_3$  是块, 但显然  $G' = G - v$ , 故  $G - e_3$  也应该为块, 这与  $G$  是  $K$ -临界的相矛盾.  $\therefore G'$  是  $K$ -临界的 2-连通图. 由归纳假定,  $e(G') \leq 2(v - 1) - 4$ , 而  $e(G) = e(G') + 2$

$\leq 2\nu - 4$ , 故  $\nu = K$  时结论正确.

由上得  $K$ -临界的 2-连通图为  $\nu \geq 4$  时, 有  $\epsilon \leq 2\nu - 4$ .

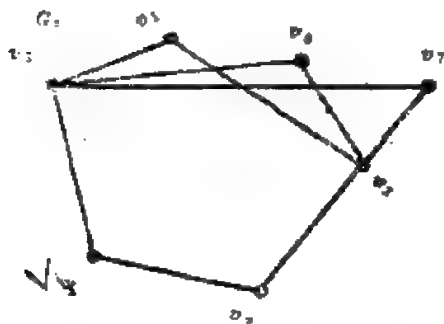


图 2.30

(23) 对一切  $\nu \geq 5$ , 找出一个直径为 2 的具有  $\epsilon = 2\nu - 5$  的 2-连通图  $G$ .

解: 图  $G$  可按如下构造: 先做一个 5-回路. 设其顶点分别为  $v_1, v_2, v_3, v_4, v_5$ , 然后将  $\nu - 5$  个顶点分别都向  $v_1, v_5$  连边. 如  $\nu = 7$  时图为  $G$  每加一点增加 2 条边, 故有

$$\epsilon(G) = 5 + 2(\nu - 5) = 2\nu - 5.$$

显然  $G$  的直径是 2, 且因任意两顶点都在一个回路中, 它无割点, 故为 2-连通的. 如图 2.30 所示.

## 2. 划分

(24) 证明定理: 分一个偶数为  $p$  个部分的划分  $\Pi = (d_1, d_2, \dots, d_p)$ ,  $p-1 \geq d_1 \geq d_2 \geq \dots \geq d_p$ , 是一个图划分当且仅当经过修正后的划分

$$\Pi' = (d_1 - 1, d_2 - 1, \dots, d_{p-1} - 1, d_{p-1} - 1, \dots, d_p)$$

也是图划分.

证: 因为由一个有划分  $\Pi'$  的图可以由加上一个邻接于度为  $d_1 - 1, d_2 - 1, \dots, d_{p-1} - 1$  的各点的新点来构成一个有划分  $\Pi$  的图, 所以, 若  $\Pi'$  是图划分, 则  $\Pi$  也是图划分.

现在令  $G$  是有划分  $\Pi$  的一个图. 若度为  $d_i$  的一个点邻接于度为  $d_i$  的各点,  $i = 2$  到  $d_1 + 1$ , 则移去这一点就产生一个有划  $\Pi'$  的图.

所以我们只要证明可以由  $G$  得到这样的一个点的一个图. 我们假定在  $G$  中点  $v_i$  的度为  $d_i$ ,  $v_i$  是度为  $d_i$  的一个点, 并且与它邻接的各个点的度的和是最大的. 若  $v_i$  不是与所有  $i = 2$  到  $d_1 + 1$  的点  $v_j$  邻接, 则有点  $v_i$  和  $v_j$ ,  $d_i > d_j$ , 使得  $v_i v_j$  是一条边而  $v_i v_i$  不是一条边. 由于  $d_i > d_j$ , 必有某个点  $v_k$  与  $v_i$  邻接而不与  $v_j$  邻接. 移去  $v_i v_j$  和  $v_k v_i$ , 加上边  $v_i v_i$  和  $v_k v_j$ , 产生另一个图. 在这个图的划分  $\Pi$  中, 与  $v_i$  邻接的点度的和比在  $G$  中更大. 重复这种过程就产生一个图, 其中  $v_i$  有所需要的性质.

(25) 证明定理: 令  $\Pi = (d_1, d_2, \dots, d_p)$  是分  $2q$  为  $p$  个部分的一个划分,  $d_1 \geq d_2 \geq \dots \geq d_p$ , 则  $\Pi$  是图划分的充要条件是对每个整数  $r$ ,  $1 \leq r \leq p-1$ ,

$$\sum_{i=1}^r d_i \leq r(r-1) + \sum_{i=r+1}^p \min\{r, d_i\} \quad (*)$$

证: 必要性: 给定  $\Pi$  是  $2q$  的一个属于图  $G$  的划分,  $r$  个是最大的度的和可以视为两部分, 第一部分由相应的这  $r$  个点互相联结的边所给予, 第二部分从联结这  $r$  个点中的一点与其余  $p$

$-r$  个点中的一个点的边得到. 这两部分分别至多为  $r(r-1)$  与  $\sum_{i=r+1}^p \min\{r, d_i\}$ .

充分性: 施归纳于  $p$ . 显然这个结果对于有一个部分或二个部分的序列成立. 假定它对有  $P$  个部分的序列成立, 又令  $d_1, d_2, \dots, d_{p+1}$  是一个满足定理的假设的序列.

令  $m$  和  $n$  是最小和最大的整数, 使得

$$d_{m+1} = \dots = d_{n+1} = \dots = d_p.$$

构造一个有  $p$  个项的新序列, 令

$$e_i = \begin{cases} d_{i+1} - 1, & \text{对 } i = 1 \text{ 到 } m-1 \text{ 和 } n - (d_1 - m) - 1 \text{ 到 } n-1 \\ d_{i+1}, & \text{对 其余的 } i. \end{cases}$$

若定理的假设对于新的序列  $e_1, \dots, e_p$  成立, 则由归纳法假设, 有一个图以各个数  $e_i$  为度. 一个有给定的度序列  $d_i$  的图可以由加上一个度为  $d_1$  的新点使它邻接于如下的一些点来构成, 这些点的度相应于上面在  $d_{i+1}$  中减去 1 得到的那些项  $e_i$ .

显然  $p > e_1 \geq e_2 \geq \dots \geq e_p$ . 假定定理中所论条件 (\*) 不成立, 又令  $h$  是使它成立的  $r$  的最小值. 则

$$\sum_{i=1}^h e_i > h(h-1) + \sum_{i=h+1}^p \min \{h, e_i\}. \quad (1)$$

然而下列不等式成立:

$$\sum_{i=1}^{h+1} d_i \leq h(h+1) + \sum_{i=h+2}^{p+1} \min \{h+1, d_i\}, \quad (2)$$

$$\sum_{i=1}^{h-1} e_i \leq (h-1)(h-2) + \sum_{i=1}^p \min \{h-1, e_i\}, \quad (3)$$

$$\sum_{i=1}^{h-2} e_i \leq (h-2)(h-3) + \sum_{i=h-1}^p \min \{h-2, e_i\}. \quad (4)$$

用  $S$  记满足  $i \leq h$  且  $e_i = d_{i+1} - 1$  的  $i$  的个数. 则从 (2) 减去 (1), 从 (1) 减去 (3), (4), 得到

$$d_1 + S < 2h + \sum_{i=h+1}^p (\min \{h+1, d_{i+1}\} - \min \{h, e_i\}) \quad (5)$$

$$e_h > 2(h-1) - \min \{h-1, e_h\} + \sum_{i=h+1}^p \min \{h, e_i\} - \min \{h-1, e_i\}, \quad (6)$$

$$e_{h-1} + e_h > 4h - 6 - \min \{h-2, e_{h-1}\} - \min \{h-2, e_h\} \\ + \sum_{i=h+1}^p (\min \{h, e_i\} - \min \{h-2, e_i\}). \quad (7)$$

注意  $e_h \geq h$ , 因为否则不等式 (6) 就给出一个矛盾. 令  $a, b, c$  分别记满足  $i > h$  而  $e_i > h$ ,  $e_i = h$  和  $e_i < h$  的  $i$  的个数. 此外, 令  $a', b', c'$  记这些  $i$  中还满足  $e_i = d_{i+1} - 1$  的个数.

$$\text{则 } d_1 = S + a' + b' + c'. \quad (8)$$

不等式 (5) — (7) 现在成为

$$d_1 + S < 2h + a + b' + c', \quad (9)$$

$$e_h \geq h + a + b, \quad (10)$$

$$e_{h-1} + e_h \geq 2h - 1 + \sum_{i=h+1}^p (\min \{h, e_i\} - \min \{h-2, e_i\}). \quad (11)$$

现在分下列几种考察:

i)  $c' = 0$ . 因  $d_1 \geq e_h$ , 我们由 (10) 得

$$h + a + b \leq d_1.$$

但结合⑧、⑨得

$$2d_1 < 2h + a + a' + 2b',$$

引出矛盾.

ii)  $c' > 0$ , 又  $d_{k+1} > h$ . 即当  $d_{i+1} > h$  时  $d_{i+1} = e_i + 1$ . 故由  $d_{k+1} > h$  得  $S = h$  和  $a = a'$ . 但不等式⑧与⑨结合蕴含

$$d_1 + h < 2h + a' + b' + c' = d_1 + h$$

引出矛盾.

iii)  $c' > 1$  和  $d_{k+1} = h$ . 在此情形下  $e_k = h$ . 由⑩,  $a = b = 0$ ; 由⑧,  $d_1 = S + c'$ . 而且, 因为  $e_k = d_{k+1} - 1$ , 至少有  $c'$  个  $i$ ,  $i > h$ , 使  $e_i = h - 1$ . 从而不等式⑪蕴含

$$e_{k-1} \geq h - 1 + c' > h,$$

故  $e_{k-1} = d_k - 1$ . 从而不等式⑪蕴含

$$e_{k-1} \leq h - 1 + c' > h$$

故  $e_{k-1} = d_k - 1$ . 从而  $S = h - 1$  和由⑧

$$d_1 = h - 1 + c' \leq e_{k-1} < d_k,$$

引出矛盾.

iv)  $c' = 1$  和  $d_{k+1} = h$ . 此时仍  $e_k = h$ ,  $a = b = 0$  和  $d_1 = S + c'$ . 因为  $S \leq h - 1$ , 就有  $d_1 = h$ . 但这蕴含  $S = 0$ , 所以  $d_1 = 1$ , 即所有的  $d_i = 1$ , 于是 (\*) 就显然满足. 引出矛盾.

因为  $e_k \geq h$  和  $d_{k+1} \geq e_k$ , 可见  $d_{k+1}$  不能小于  $h$ . 于是所有可能情形都讨论过了, 证毕.

### 3. 覆盖

(26) 证明定理: 已给简单图  $G = (X, E)$ , 其阶为  $n$ , 又设  $M_0$  是一极大并列集,  $C_0$  是一小覆盖集, 则  $|M_0| + |C_0| = n$ .

证: 已给极大并列集  $M_0$ , 在每一个非饱和点上, 增加一边, 过此点将得覆盖  $C_1$ , 显见

$$C_1 = M_0 \cup \{e_y / y \notin V(M_0)\}$$

由此, 乃有

$$|C_1| = |M_0| + (n - 2|M_0|) = n - |M_0|$$

或  $|C_1| + |M_0| = n$ .

反之, 设已给极小覆盖集  $C_0$ , 保留其若干边, 然后连续将和保留的边相邻的边去掉, 得并列集  $M_1$ . 由于在  $C_0$  中不可能有长为 3 的链, 每舍去一边, 恰好产生一个  $M_1$  的非饱和点. 故

$$|C_0| - |M_1| = |X| - 2|M_1| = n - 2|M_1|,$$

或  $|C_0| + |M_1| = n$ .

由于  $M_1$  的极大与  $C_1$  的极小, 亦即

$$|C_1| \leq |C_0|, |M_1| \leq |M_0|,$$

故从  $|C_0| + |M_1| = |C_1| + |M_0|$ ,

可得  $|C_0| = |C_1|, |M_1| = |M_0|$ ,

亦即  $|C_0|$  是极小的,  $M_0$  是极大的, 同时也就有

$$|C_0| + |M_0| = n$$

(27) 证明定理: 已给两分图  $G = (X, Y, E)$ , 顶点集  $X$  可以在顶点集  $Y$  上的配对的充要条件是

$$|\Gamma_G(A)| \geq |A|$$

$$(A \subset X)$$



证：应用极大并列集的概念。设  $X$  可以在  $Y$  上配对，则图  $G$  上极大并列集的维是

$$|M_0| = |X|,$$

而极小径集的维是

$$\min(|X - A| + |\Gamma_G(A)|), \quad (A \subset X)$$

根据 König 定理，应有

$$\begin{aligned} |X| = \max_M |M| &= \min(|X - A| + |\Gamma_G(A)|) \\ &= |X| + \min_{A \subset X} (|\Gamma_G(A)| - |A|). \end{aligned}$$

上式成立的充要条件是

$$\min(|\Gamma_G(A)| - |A|) = 0,$$

亦即  $|\Gamma_G(A)| \geq |A|$  对一切  $A \subset X$  均成立。

(28) 舞会问题。这是一个古典问题。设在一个学校里，每个男生认识  $K$  个女生，每个女生认识  $K$  个男生，问在一次舞会上，是否可使相认识的男女共同起舞？

解：将男生作为点集  $X$ ，女生作为点集  $Y$ ，相识的男女之间连线，作出两分图  $G = (X, Y; E)$ 。显见  $\Gamma_G(x) = K = \Gamma_G(y)$ ，其中  $x \in X, y \in Y$ ，在  $X$  中任取子集  $S \subset X$ 。  $S$  个男生共认识  $K \cdot |S|$  个女生，但每个女生，最多只认识  $K$  个男生，故  $|\Gamma_G(S)|$  至少是  $|S|$ 。亦即条件  $|\Gamma_G(S)| \geq |S|$  恒能成立。据上题 (27)，相识的男女生共同起舞是可能的。

(29) 证明 Turán 定理：任给一个图集

$$\mathcal{K} = \{G = (X, E) / |X| = n, \beta_1(G) \leq K\}$$

其阶数为  $n$ ，稳固数  $\leq K$ ，则其中边数可能最少的图，同构于  $G_{n,K}$ 。

证：将  $n$  写成  $n = K \cdot q + r$  ( $0 \leq r < K$ ) 形式：

$$\begin{cases} K+1 & 2K+1 & 3K+1 & qK+1 & \cdots \\ K+2 & 2K+2 & 3K+2 & qK+2 & \cdots \\ \vdots & \vdots & \vdots & \vdots & \cdots \\ 2K & 3K & 4K & (q+1)K & \cdots \end{cases}$$

对  $n$  施归纳。设对第  $q$  列以前的各列的  $n, K$ ，定理均成立，现证对于第  $q$  列亦然。

首先验证对于第一列的  $n, K$  定理能成立。例如  $n = 9, K = 6$ ，便有  $9 = 6 + 3$ 。

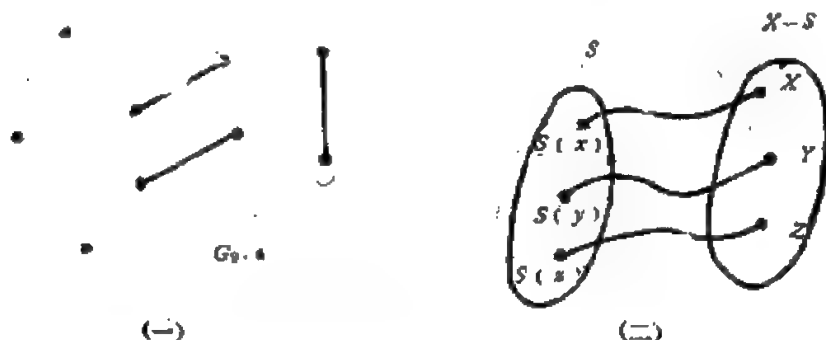


图 2.31

在图  $G$  中，先任取六点，构成稳固集  $S$ ， $X - S$  含三点，命为  $x, y, z$ ，这三点到  $S$  都应右边相联，否则稳固集便可加大。设  $x, y, z$  与  $S$  中相联的点分别为  $S(x), S(y), S(z)$ 。由于  $x, y, z$  各不相同， $S(x), S(y), S(z)$  也应各不相同。否则若有  $S(x) = S(y)$ ，在  $S$  上含

去  $S(x) = S(y)$ , 补进  $x, y$ , 稳固集  $S$  便将加大. 在  $G$  中作尽可能少的边, 可以假定  $x$  与  $y$  原不相邻. 由以上讨论, 可见上面图 (图 2.31) (一) 与 (二) 是同构的.

其次, 在图集

$$\mathcal{X} = \{G/N(G) = n, \beta_1(G) \leq k\}$$

中, 设有图  $\bar{G} \in \mathcal{X}$ , 其  $\beta_1(\bar{G}) = \bar{K} < K$ . 在图  $\bar{G}$  中, 任取稳固集  $\bar{S}$ ,  $|\bar{S}| = \bar{K} < K$ . 在  $Z(\bar{G}) - \bar{S}$  中任取一点  $x$ ,  $x$  到  $\bar{S}$  将有联边, 去掉这条联边, 将点  $x$  加到  $\bar{S}$  里去, 图  $\bar{G}$  的边数便将减少, 而其稳固数便加大, 故若在  $\mathcal{X}$  里取边数尽可能少的图  $G$ , 便可假定其稳固数等于  $K$ . 在  $G$  中取稳固集  $S$ , 则  $|S| = K$ . 由上所述, 可知任一点  $x \in X - S$  必与  $S$  相邻. 作子图  $G_{X-S}$ , 其阶  $|X - S| = n - K < n$ , 其稳固数  $\leq K$ , 故由归纳假设, 有

$$\textcircled{1} M(G_{X-S}) \geq M(G_{-K, K})$$

但  $G_{-K}$  的构成, 可在  $G_{n-K, K}$  的  $K$  个互质的集团中各加进一点得来. 但在每个集团中, 各加进一点, 其边的总数, 将增加  $n - K$ . 设  $M(G_{n-K, K}) - M(G_{-K, K}) = n - K$ . 设  $G \in \mathcal{X}$ ,  $\beta_1(G) = K$ , 则由于  $G$  的边数, 尽可能地少, 遂有

$$\textcircled{2} M(G) \leq M(G_{-K, K}),$$

故

$$\begin{aligned} n - K = |X - S| &\leq M_G(X - S, S) = M(G) - M(G_{X-S}) \\ &\leq M(G_{-K, K}) - M(G_{-K, K}) = n - K. \end{aligned}$$

由于在这个不等式中, 两端都是  $n - K$ , 故有

$$M(G) - M(G_{X-S}) = M(G_{-K, K}) - M(G_{-K, K})$$

由①和②, 便有

$$M(G_{X-S}) = M(G_{-K, K}),$$

及

$$M(G) = M(G_{-K, K}).$$

由上述证明可知: 图  $G$  是由  $K$  个互质且互不相邻的集团  $c_1, c_2, \dots, c_K$  及一个  $K$  顶的稳固集  $S$  所构成, 且

$$|X - S| = M_G(X - S, S) = n - K,$$

由此可知, 自每一顶点  $x \in X - S$  仅有一条边联到  $S$ . 如上, 令  $S(x)$  为顶  $x$  在  $S$  中的邻点, 若  $x \in C_i, y \in C_j, (i \neq j)$ , 则

$$S(x) \neq S(y),$$

否则若  $S(x) = S(y)$ , 在  $S$  中去掉此点, 补上  $x, y$  二点, 因  $x$  与  $y$  属于  $G$  的不同的集团,  $x$  与  $y$  应不相邻,  $G$  的稳固数将加大, 这是不可能的.

若  $x, y$  属于同一集团,  $x \in C_i, y \in C_i$ , 则必有  $S(x) = S(y)$ ; 否则在  $C_i$  之外各个集团各取一点, 其在  $S$  中的邻点应各不同, 且也不同于  $S(x)$  与  $S(y)$ , 于是  $S$  里将含有  $K+1$  个不同的点, 这也不可能.

故知图具有下列性质:

i) 阶  $= n$ , 具有可能最少的边数;

ii) 其  $n$  个顶点, 分成  $K$  个集团  $C_1, C_2, \dots, C_K$  及一个  $K$  维的稳固集  $S$ ;

iii) 在同一集团  $C_i$  中的点, 其在  $S$  中的邻点均相同. 每个集团  $C_i$ , 唯一对应于一点  $x_i$ . 将此点加进  $C_i$  也成一个集团. 故  $G$  的稳固集  $S$ , 实际是从所分解的每个集团中各取一点所构成, 因而图  $G$  同构于  $G_{n, K}$ .

#### 4. 因子分解

(30) ①证明: 每个  $K$ -方体 ( $K \geq 2$ ) 都有一个完美对集 (即 1-因子);

②求  $K_2$  和  $K_3$  中不同的完美对集的数目.

证: ①以  $(\varepsilon_1, \varepsilon_2, \dots, \varepsilon_K)$  表示  $K$ -方体的一个顶点, 其中  $\varepsilon_i = \begin{cases} 0 \\ 1 \end{cases}$ . 对每一  $v = (0, \varepsilon_2, \dots, \varepsilon_K)$  对应于唯一的  $v' = (1, \varepsilon_2, \dots, \varepsilon_K)$ , 反之亦然. 由  $K$ -方体的构造知  $(v, v')$  为  $K$ -方体的一条边.  $K$ -方体中所有顶点  $v$  和  $v'$  建立了一一对应关系, 故有形如  $(v, v')$  的边即构成  $K$ -方体的一个完美对集.

②  $K_2$  的完美对集数: 在  $K_2$  中固定 2 个点及与其关联的边, 则得  $K_{2(n-1)}$ . 在固定的二点中, 令其一不变, 另一取遍  $2n-1$  个点, 则得  $2n-1$  个不同的  $K_{2(n-1)}$ . 令  $K_2$  的完美对集数为  $|K_2|$ , 则

$$\begin{aligned} |K_2| &= (2n-1) |K_{2(n-1)}| \\ &= (2n-1) \cdot (2n-3) \cdot |K_{2(n-2)}| \\ &= (2n-1) \cdot (2n-3) \cdot (2n-5) \cdot |K_{2(n-3)}| = \dots \\ &= (2n-1) \cdot (2n-3) \cdot (2n-5) \cdots 3 |K_2| \\ &= \frac{(2n-1)(2n-3)(2n-5) \cdots 3 \cdot 2 \cdot 1}{2(n-1) \cdot 2(n-2) \cdot 2(n-3) \cdots 2} \\ &= \frac{(2n-1)!}{2^{n-1} \cdot (n-1)!} = \frac{(2n)!}{2^{n-1} (n-1)! 2n} \\ &= \frac{(2n)!}{2^n \cdot n!} \end{aligned}$$

$K_3$  的完美对集数:  $K_3$  显然有一个完美对集. 任意固定  $K_{3(n-1)}$  的一条边, 则对应的固定了一对点  $u, v$  和所有与这对点相连的边, 剩余的点和边生成一个  $K_{3(n-1), (n-1)}$  的二分图. 固定  $n$ , 令  $v$  取遍所有可能的取法, 则一共有  $n$  种不同取法, 设  $K_n$  的不同完美对集的数目为  $|K_n|$ . 则有

$$\begin{aligned} |K_n| &= n \cdot |K_{3(n-1), (n-1)}| \\ &= n(n-1) |K_{3(n-2), (n-2)}| \\ &= n(n-1)(n-2) |K_{3(n-3), (n-3)}| \\ &= \dots \\ &= n(n-1) \cdots 3 \cdot |K_{31}| \\ &= n(n-1) \cdots 3 \cdot 2 \cdot 1 = n! \end{aligned}$$

故  $K_n$  有  $n!$  个对集.

(31) 对每个  $K \geq 1$ , 找出一个没有完美对集的  $K$ -正则简单图的例子.

解: 当  $K$  为偶数时,  $K = 2n$ , 则  $K_{2n+1}$  即可.

当  $K = 2n+1$  时, 特别当  $n=1$  时, 如图 (图 2.32) 由此, 对一般地  $K = 2n+1$  有: 先画一点  $u$ , 取  $v_1, v_2, \dots, v_{2n+1}$  与  $u$  相连. 对于  $v_i$  取  $2n+2$  个点的完全图, 任取  $n$  条边的一对集, 将这些边去掉并将被这  $n$  条边饱和

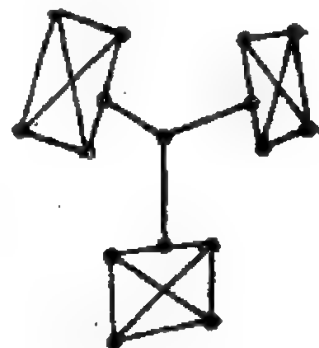


图 2.32

的 $2n$ 个顶点都与 $v_i$ 相连 ( $i=1, 2, \dots, 2n+1$ )。于是就得到一个 $(2n+1)$ 正则图 $G$ ,  $G$ 有 $(2n+1)$ 块同构子图, 且以点 $u$ 为中心,  $u$ 为割点, 当 $n=2$ 时, 如图(图2.33);

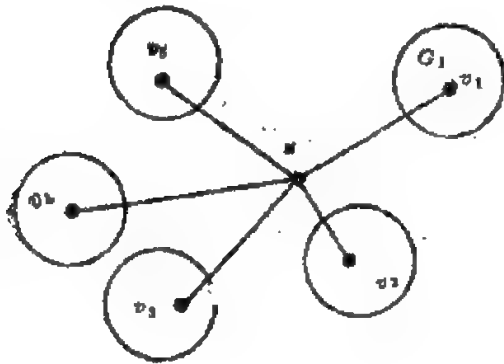


图2.33

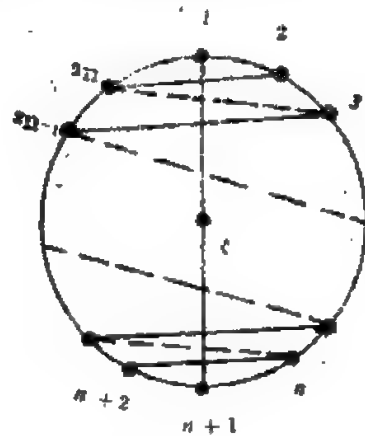


图2.34

若 $G$ 有完美对集 $M$ , 则必有一边 $(u, v_i) \in M$ , 于是 $(u, v_j) \notin M$  ( $j \neq i$ ). 因此, 不妨设 $(u, v_1) \in M$ , 于是 $G$ 的完美对集在 $G_1$ 中的应也是 $G_1$ 的完美对集, 但 $G_1$ 无完美对集, 矛盾.

(32) 证明:  $K_{2n+1}$ 可以表示为 $n$ 个连通的2-因子的和集 ( $n \geq 1$ ).

证: 设 $K_{2n+1}$ 的顶点编号为 $0, 1, 2, \dots, 2n$ , 现将 $0$ 放在圆心, 而其余 $2n$ 个顶点均匀地放在圆周上(如图2.34);

令 $c_1 = 012(2n)3(2n-1)\dots n(n+2)(n+1)0$ , 则 $c_1$ 是 $K_{2n+1}$ 的一个2-因子. 若将 $c_1$ 以 $O$ 为心按顺时针方向旋转, 一个顶点便得到 $K_{2n+1}$ 的一个新2-因子 $c_2$ , 于是旋转 $n-1$ 次后共得到 $n$ 个2-因子 $c_1, c_2, \dots, c_n$ . 显然 $c_i$ 之间两两边不相交, 且 $G = c_1 \cup c_2 \cup \dots \cup c_n$ .

(33) 设 $H$ 是一个有限群,  $K$ 是 $H$ 的子群. 证明: 存在元素 $h_1, h_2, \dots, h_n \in H$ , 使 $h_1K, h_2K, \dots, h_nK$ 是 $K$ 的左陪集, 且 $Kh_1, Kh_2, \dots, Kh_n$ 是 $K$ 的右陪集.

证: 由近世代数知识知,  $H$ 可分解左陪集,  $H = a_1K \cup a_2K \cup \dots \cup a_nK = A_1 \cup A_2 \cup \dots \cup A_n$  ( $A_i = a_iK$ ) 且任意两个左陪集或者重合, 或者无公共元素. 同时 $H$ 又可分解为右陪集

$$\begin{aligned} H &= Kb_1 \cup Kb_2 \cup \dots \cup Kb_n \\ &= B_1 \cup B_2 \cup \dots \cup B_n \quad (B_i = Kb_i) \end{aligned}$$

现以 $A_1, \dots, A_n, B_1, \dots, B_n$ 为顶点集, 构造二分图 $G$ ,  $(A_i, B_j) \in E(G) \iff A_i \cap B_j \neq \emptyset$ , 任取顶点集 $\{A_{i_1}, A_{i_2}, \dots, A_{i_n}\} = S$ , 则 $|N(S)| \geq |S|$ .  $\because$  若 $|N(S)| < |S|$ , 则有

$$A_{i_1} \cup A_{i_2} \cup \dots \cup A_{i_n} \cup B_{j_1} \cup \dots \cup B_{j_r} \supseteq N(S)$$

(这里 $B_{j_k}$ 是与 $A_{i_k}$ 相连的点) 且包含是严格的. 但应有

$$A_{i_1} \cup \dots \cup A_{i_n} = B_{j_1} \cup \dots \cup B_{j_r} \cup N(S)$$

$\because |A_i| = |B_j|$ , 引出矛盾,  $\therefore |N(S)| \geq |S|$ .

即有完美对集 $(A_{i_1}, B_{j_1}), \dots, (A_{i_n}, B_{j_n})$ . 取 $h_1 \in A_{i_1} \cap B_{j_1}, h_2 \in A_{i_2} \cap B_{j_2}, \dots, h_n \in A_{i_n} \cap B_{j_n}$ , 则有

$$\begin{aligned} H &= h_1K \cup h_2K \cup \dots \cup h_nK \\ &= Kh_1 \cup Kh_2 \cup \dots \cup Kh_n \end{aligned}$$

(34) 证明: 若 $G$ 是一个 $(K-1)$ -边连通的 $K$ -正则图, 且 $n$ 为偶数, 则 $G$ 有完美对

集。

证：设  $S$  是  $V$  的一真子集，用  $G_1, G_2, \dots, G_n$  表示  $G - S$  的奇数分支，并设  $m_i$  是一个端点在  $G_i$  中，另一端点在  $S$  中的那些边的数目。由于  $G$  是  $K$ -正则的，故  $\sum_{v \in V(G_i)} d_G(v) = K \nu(G_i)$ ；由  $G$  是  $(K-1)$ -边连通， $m_i = \sum_{v \in V(G_i)} d_G(v) - 2\varepsilon(G_i) = K \nu(G_i) - 2\varepsilon(G_i) \geq K-1$ 。当  $K$  奇数时， $K \nu(G_i)$  为奇数，故  $m_i$  为奇数，但  $K-1$  为偶数， $\therefore m_i \geq K$ ；当  $K$  为偶数时， $m_i$  为偶数，但  $(K-1)$  为奇数，故  $m_i \geq K$ ，即恒有  $m_i \geq K$ 。于是  $O(G-S) = n \leq \frac{1}{K} \sum_{i=1}^n m_i$ ，而  $\sum_{i=1}^n m_i$  表示所有  $G_i$  中与  $S$  中点关联的边数， $\therefore \sum_{i=1}^n m_i \leq K|S|$ ，于是  $O(G-S) \leq |S|$ 。由定理可知， $G$  有完美对集。

## 5. 可着色性

(35) 找出一个合理的边着色来证明  $X'(K_{n,n}) = \Delta$ 。

证：设  $K_{n,n}$  具有二分划  $(x, y)$ ，其中

$$x = (x_1, x_2, \dots, x_n)$$

$$y = (y_1, y_2, \dots, y_n)$$

不妨令  $n \geq m$ 。若对边  $x_i y_j$  着色  $i+j \pmod{n}$ ，则对任二相邻边  $x_i y_k$  和  $x_i y_l$  分别着色  $k$  和  $i+l \pmod{n}$ 。

显然当  $K \neq l$  时， $i+k \neq i+l \pmod{n}$ 。

同理，对任二相邻边  $x_s y_j$  和  $x_l y_j$  也着有不同颜色。于是，所给的边着色是正常的

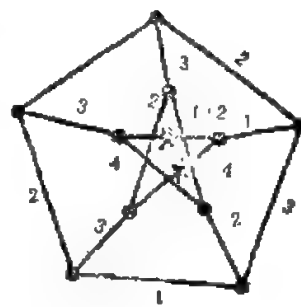
又  $\Delta = n$ ， $\therefore$  所给的边着色是正常的  $\Delta$ -边着色，即  $X'(K_{n,n}) \leq \Delta$ ，而显然  $X'(K_{n,n}) \geq \Delta$ ，故  $X'(K_{n,n}) = \Delta$ 。

(36) 试证：Petersen图是4-边着色的。

证：显然 Petersen图存在正常4-边着色。

若能证明 Petersen图不存在正常3-边着色，则结论得证。

事实上，由图对称性可先对最外面的五条边作个分划，从而决定与它们相邻的五条边的颜色（如图2.35中所标示）。但由此可得两条相邻的边（图中画“×”号者），必着有相同的颜色，故 Petersen图不具有正常3-边着色。



(Petersen图)

图2.35

(37) 构造二分图  $G$  的正常  $\Delta$ -边着色的一个可行算法。

解：①置  $\bar{G} = G$ ， $\bar{\Delta} = \Delta$ ；

②求  $\bar{G}$  的最大对集  $\bar{M}$ ，使得  $\bar{M}$  的饱和所有次最大的顶点；令  $E\bar{\Delta} = \bar{M}$ ， $\bar{\Delta} = \bar{\Delta} - 1$ 。

若  $\bar{\Delta} = 0$ ，则停止；否则，置  $\bar{G} = \bar{G} - \bar{M}$ ，转向②。

(38) 试证：若  $G$  是二分图，且  $\delta > 0$ ，则  $G$  有一个  $\delta$ -边着色，使所有  $\delta$  种颜色都出现在每一个顶点上。

证：设  $l$  是  $G$  的一个最优  $\delta$ -边着色。假设  $\exists u \in V(G)$ ，使得  $l$  不在  $u$  上出现，于是必有  $l$  在

$u$  上至少出现二次, 从而  $G(E_{i_1} \cup E_{i_2})$  含  $u$  的分支是一奇回路, 这与  $G$  是二分图不含奇回路矛盾.

(39) 用找出适当的边-着色的方法证明

$$X'(K_{2n}) = X'(K_{2n-1}) = 2n - 1.$$

证: ①先证  $X'(K_{2n}) = 2n - 1$ . 将  $K_{2n}$  的各顶点安排成一个顶点为中心的 正  $(2n - 1)$  - 角形的形式, 它的每条径向边和垂直于它的各边组成  $K_{2n}$  的一个完美对集 (见图 2.36(a)). 而这图恰有  $2n - 1$  条径向边, 故它恰有  $2n - 1$  个不同的对集; 于是这  $2n - 1$  不同对集若有不同颜色, 则得到  $K_{2n}$  的一个正常  $(2n - 1)$ -边着色, 即  $X' \leq 2n - 1$ . 又因  $X' \geq \Delta = 2n - 1$ , 所以  $X' = 2n - 1$ .

②再证明  $X'(K_{2n-1}) = 2n - 1$ . 将  $K_{2n-1}$  的各顶点排成一个顶点为中心的 正  $(2n - 2)$  - 角形的形式, 它有一半的径向边中的每条和垂直于它的各边组成  $K_{2n-1}$  的最大对集. 另外, 图中每对中心对称的顶点间的连接它的另一半径向边中, 每条和平行于它的各边也组成  $K_{2n-1}$  的一个最大对集. (见图 2.36(b)). 于是这图共有  $\frac{1}{2}(2n - 2) + \frac{1}{2}(2n - 2) + 1 = 2n - 1$  个不同的对集. 若给它们着有不同颜色, 便得到  $K_{2n-1}$  的一个正常  $(2n - 1)$ -边着色, 即  $X' \leq 2n - 1$ . 又因上述  $2n - 1$  个不同的对集的每一个之边数为  $n - 1$ , 即每一对集不能再增加了, 故  $K_{2n-1}$  不存在小于  $2n - 1$  的正常边着色, 故

$$X' = 2n - 1.$$

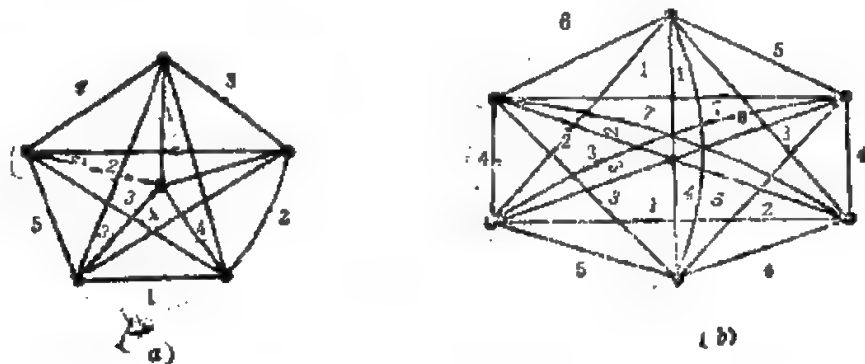


图 2.36

(40) ①  $G$  是一个简单图, 试证: 若  $v = 2n + 1$  且  $e > n\Delta$ , 则  $X' = \Delta + 1$ .

② 利用①证明:

i) 若  $G$  是在有偶数个顶点的简单正则图中割分一条边而得到的一个图, 则  $X' = \Delta + 1$ .

ii) 若  $G$  是在有奇数个顶点的简单  $K$ -正则图中删去少于  $K/2$  条边而得到的一个图, 则  $X' = \Delta + 1$ .

证: ①  $G$  是简单图, 由定理知,  $X' = \Delta$  或  $X' = \Delta + 1$ .

假设  $X' = \Delta$ , 则  $E(G)$  可划分为  $\Delta$  个对集  $E_1, E_2, \dots, E_\Delta$ , 又  $v = 2n + 1$

$$\therefore |E_i| \leq n, \quad (i = 1, 2, \dots, \Delta).$$

于是,  $e = \sum_{i=1}^{\Delta} |E_i| \leq n\Delta$ , 这与  $e > n\Delta$  矛盾.

②i) 显然有  $\nu = 2n + 1$ ,

$$s = \frac{2n\Delta}{2} + 1 = n\Delta + 1 = > n\Delta,$$

由①得  $\chi' = \Delta + 1$ .

ii) 显然有  $\nu = 2n + 1$ ,

$$s > \frac{(2n+1)\Delta}{2} - \frac{\Delta}{2} = n\Delta$$

由①得  $\chi' = \Delta + 1$ .

(41) 试证: ①  $\chi'(G \times K_2) = \Delta(G \times K_2)$ ;

②若  $H$  是非平凡的且  $\chi'(H) = \Delta(H)$ , 则  $\chi'(G \times H) = \Delta(G \times H)$ .

证: ①  $G \times K_2$  相当于二个与  $G$  同构的图  $G_1, G_2$ , 在对应点上相连而得到的图.

当  $\chi'(G) = \Delta(G)$  时, 可在相连的边上均着一这新颜色, 于是便得到  $G \times K_2$  的一个正常  $\chi'(G) + 1$ -边着色, 即

$$\chi'(G \times K_2) \leq \chi'(G) + 1 = \Delta(G) + 1 = \Delta(G \times K_2)$$

$$\text{又} \because \chi'(G \times K_2) \geq \Delta(G \times K_2)$$

$$\therefore \chi'(G \times K_2) = \Delta(G \times K_2).$$

当  $\chi'(G) = \Delta(G) + 1$  时, 则在  $G_1, G_2$  的每对对应点都至少有同一种颜色未出现. 于是可给这样的对应点间的边着上在两端点未出现的颜色, 从而得到  $G \times K_2$  的一个正常  $\chi'(G)$ -边着色, 即

$$\chi'(G \times K_2) \leq \chi'(G) = \Delta(G) + 1 = \Delta(G \times K_2),$$

$$\text{又} \because \chi'(G \times K_2) \geq \Delta(G \times K_2),$$

$$\therefore \chi'(G \times K_2) = \Delta(G \times K_2).$$

②  $G \times H$  相当于先作  $\nu(H)$  个与  $G$  同构的图  $G_1, G_2, \dots, G_{\nu(H)}$ , 然后在每组对应点上都作一个与  $H$  同构的图. 显然每个  $G_i$  都存在一个正常的  $\Delta(G) + 1$ -边着色, 且在每组对应点上都至少有同一种颜色未出现.

又因  $\chi'(H) = \Delta(H)$ , 故只要增加  $\Delta(H) - 1$  种新颜色, 便可得到  $G \times H$  的一个正常-边着色. 于是

$$\chi'(G \times H) \leq \Delta(G) + 1 + \Delta(H) - 1 = \Delta(G) + \Delta(H) = \Delta(G \times H),$$

又因  $\chi'(G \times H) \geq \Delta(G \times H)$ , 故有

$$\chi'(G \times H) = \Delta(G \times H).$$

(42) 证明: 若  $G$  是简单的, 且  $\delta > 1$ , 则  $G$  有一个  $(\delta - 1)$ -边着色, 使得全部  $\delta - 1$  种颜色都出现在每个顶点上.

证: 用反证法. 假设存在一个顶点  $v_1$ , 使得  $\delta - 1$  种颜色中至少有一种不在其上出现. 并设  $f = (E_1, E_2, \dots, E_{\delta-1})$  是  $G$  的每优  $(\delta - 1)$ -边着色. 则有

$$C(v_1) < \delta - 1 < \delta \leq d(v_1).$$

于是存在  $i_1, i_2$ , 使得  $i_1$  不出现在  $v_1$  上, 而  $i_2$  至少两次出现在  $v_1$  上.

设  $v_1, v_2$  着有颜色  $i_1$ , 且  $i_1$  在  $v_2$  上仅出现一次, 而  $i_2$  在  $v_2$  上必定出现 (否则, 用  $i_1$  给  $v_1, v_2$  着色, 使得到  $f$  的一个改进, 与  $f$  最优相矛盾).

因为  $d(v_2) > \delta - 1$ , 所以存在  $i_3$  在  $v_2$  上至少出现两次 (设  $v_2, v_3$  着有颜色  $i_3$ , 且  $i_3$  在  $v_3$  上仅出现一次, 否则用  $i_1$  给  $v_1, v_2$  着色, 用  $i_2$  给  $v_2, v_3$  着色, 使得到  $f$  的一个改进, 这与  $f$  最优相矛盾),

而 $i_1$ 在 $v_1$ 上必定出现。同理, 存在 $i_k$ 在 $v_k$ 上至少出现两次, 且 $i_k$ 在 $v_k$ 上仅出现一次,  $i_k$ 在 $v_k$ 上必定出现……。

继续这个过程, 直到第一次出现重复前面的着色为止, 即出现 $v_{t-1}v_t$ 着色 $i_1$ , 使得 $i_1 = i_K (K < t)$ 为止, (如图2.32)

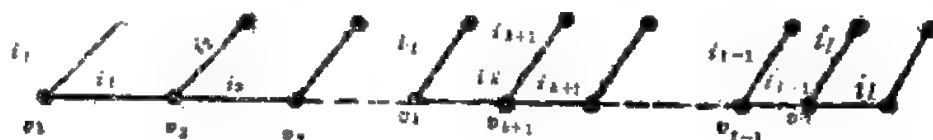


图2.32

(这种情形必定出现, 否则不同颜色的数目将多于 $\delta$ 种, 这与仅有 $\delta-1$ 种颜色相矛盾)。

对 $G$ 重新着色, 即对 $1 \leq j \leq K$ , 用 $i_{j-1}$ 给 $v_jv_{j+1}$ 着色, 其余不动, 则得到一个新的最优 $(\delta-1)$ -边着色:

$$I' = (E'_1, E'_2, \dots, E'_{\delta-1}) \quad (\text{如图2.33})$$

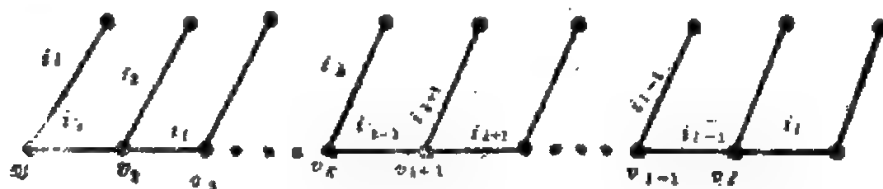


图2.33

对于新的边着色 $I'$ 来讲, 在 $v_{K+1}$ 上 $i_K$ 不出现, 而 $i_{K+1}$ 至少出现两次, 故 $G[E'_1 \cup E'_{i_{K+1}}]$ 通过 $v_{K+1}$ 的分支 $H'$ 是一条奇回路 (如图2.39)。

交换 $E(H') \setminus v_{K+1}v_{K+2}$ 中的两种颜色 (如图2.40), 其余均不动, 则又得到一个新的最优

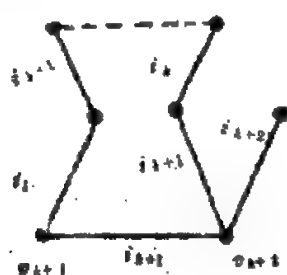


图2.39

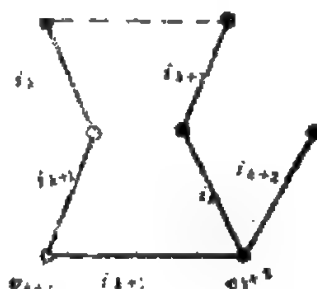


图2.40

$(\delta-1)$ -边着色 $I'' = (E''_1, E''_2, \dots, E''_{\delta-1})$ , 使得在 $v_{K+2}$ 上 $i_K$ 不出现, 而 $i_{K+1}$ 至少出现两次。继续使用上述的方法, 可以得到一个最优 $(\delta-1)$ -边着色, 使得在 $v_{t-1}$ 上 $i_K$ 不出现, 而 $i_{t-1}$ 至少出现两次, 然后用 $i_K$ 给 $v_{t-1}v_t$ 着色, 其余不动, 便得到一个最优 $(\delta-1)$ -边着色 $I^* = (E^*_1, E^*_2, \dots, E^*_{\delta-1})$  (如图2.41)。

对于 $I^*$ 而论, 在 $v_t$ 上 $i_{t-1}$ 不出现, 而 $i_t = i_K$ 至少出现三次, 这与 $G[E^*_{i_{t-1}} \cup E^*_t]$ 含 $v_t$ 的分支



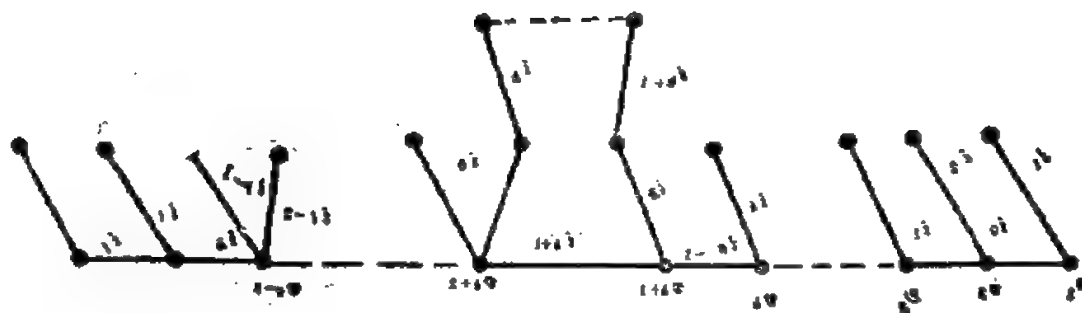


图2.41

是一条奇回路相矛盾。

综上所述情形，证明了结论。

(43) 试证：若 \$G\$ 是简单图，则 \$X \geq v^2/(v^2 - 2\epsilon)\$。

证：设 \$G\$ 的一个正常 \$K\$-着色分为 \$(V\_1, V\_2, \dots, V\_K)\$，由于在 \$G^c\$ 中 \$V\_i\$ 的点构成 \$G^c\$ 的一个团，

故 
$$\epsilon \leq \binom{v}{2} - \binom{|V_1|}{2} - \binom{|V_2|}{2} - \dots - \binom{|V_K|}{2}.$$

考察  $\binom{|V_1|}{2} + \binom{|V_2|}{2} + \dots + \binom{|V_K|}{2}$  的极小值，可得

当  $\max_{1 \leq i \leq K} |V_i| - \min_{1 \leq j \leq K} |V_j| \leq 1$  时达极小值，且总成立

$$\binom{|V_1|}{2} + \binom{|V_2|}{2} + \dots + \binom{|V_K|}{2} \geq K \binom{\frac{|V|}{K}}{2}.$$

故

$$\begin{aligned} \epsilon &\leq \binom{v}{2} - K \binom{\frac{v}{K}}{2} = \frac{1}{2} \left[ v(v-1) - \frac{v^2 - vK}{K} \right] \\ &= \frac{v^2(K-1)}{2K} \end{aligned}$$

即

$$K \geq \frac{v^2}{v^2 - 2\epsilon}, \text{ 故得}$$

$$X \geq \frac{v^2}{v^2 - 2\epsilon}.$$

(44) 试证：若 \$K\$ 的任意两个奇回路具有一个公共顶点，则 \$X \leq 5\$。

证：用反证法。若 \$X \geq 6\$，设 \$H\$ 是 \$G\$ 的一个 \$K\$-临界图 (\$K \geq 6\$)，则

$$v(H) = v_1, v_2, \dots, v_K$$

是 \$H\$ 的一个 \$K\$-着色。取 \$G(v\_1 \cup v\_2 \cup v\_3)\$，则其中必含一个奇回路，否则可使其为 2-着色图；同理，\$G(v\_1 \cup v\_2 \cup v\_4)\$ 中也必有奇回路。这两个奇回路显然不相交，这与题设相矛盾。

(45) 证明：若 \$G\$ 具有 \$d\_1 \geq d\_2 \geq \dots \geq d\_n\$ 的次数字列 \$(d\_1, d\_2, \dots, d\_n)\$，则 \$X \leq \max\_{1 \leq i \leq n} d\_i\$。

证：施归纳于 \$v\$。当 \$v=1\$ 时，显然成立。设上式在 \$v < n\$ 时成立，则当 \$v=n\$ 时：

i) 若 \$d < v-1\$，则有顶点 \$u\$ 满足 \$d(u) = d < v-1\$。先在 \$n-1\$ 个顶点着正常的 \$\max\_{1 \leq i \leq d} d\_i\$ 种色，\$(d\_i\$ 为 \$G-u\$ 中的次数字列)。由于

$$d_n \leq \min\{d_{n-1} + 1, n-1\} = K',$$

故与  $u$  相邻的点中至多有  $K' - 1$  种色; 于是可在  $K'$  种色中取一种着在  $v_n$  上而仍为一正常着色. 故

$$\begin{aligned} X(G) &\leq \max \min\{d_{i-1} + 1, n-1\}, \max \min\{d_{i+1}, i\} \\ &\leq \max \min\{d_{i+1}, i\} \end{aligned} \quad (1 \leq i \leq n)$$

ii) 若  $\delta = n-1$ , 则

$$\max \min\{d_{i+1}, i\} = n \quad \text{且}$$

$$X(G) = n.$$

(46) 利用上题的结果, 证明:

$$\textcircled{1} X \leq (2e)^{1/2},$$

$$\textcircled{2} X(G) + X(G^c) \leq v+1,$$

证: ① 若  $\max \min\{d_{i+1}, i\} = \min\{d_{K+1}, K\} = N$ ,

$$i) N = K \leq d_K + 1, d_K \geq K-1,$$

$$2e = \sum d_i \geq \sum_{i=1}^K d_i \geq (K-1)K,$$

$$\therefore (2e)^{1/2} \geq [K(K-1)]^{1/2} = K = N.$$

ii) 若  $N = d_K + 1 < K$ , 又  $d_{K-1} + 1 \geq K-1$  (总存在这样的  $K$ , 使得

$$\min\{d_K + 1, K\} = d_K + 1 \text{ 时, 要有}$$

$$\min\{d_K + 1, K\} \geq \min\{d_{K-1} + 1, K-1\},$$

只能是

$$\min\{d_{K-1} + 1, K-1\} = K-1, \text{ 可得}$$

$$d_{K-1} + 1 = K-1,$$

$$\therefore 2e \geq \sum_{i=1}^K d_i \geq K(K-2),$$

$$(2e)^{1/2} \geq [K(K-2)]^{1/2} = K-1 = N.$$

由上题 (45) 可得

$$X \leq N \leq (2e)^{1/2}.$$

$$\textcircled{2} \text{ 当 } X(G) \leq \max \min\{d_i + 1, i\}$$

$$= \min\{d_K + 1, K\} = N,$$

$$X(G^c) \leq \max \min\{d'_i + 1, i\}$$

$$= \max \min\{v - d_{v-i+1}, i\}$$

( $d'_i$  为  $G^c$  在相同意义下的次数序列).

由①有  $d_K \geq N-1, K \geq N$ .

令  $v-i+1 = K$ , 由以上序列之性质得

$$X(G^c) \leq \max\{v - d_K, v - K + 1\}$$

$$\leq \max\{v - N + 1, v - N + 1\}$$

$$= v - N + 1.$$

故

$$X(G) + X(G^c) \leq v + 1.$$

(47) 若  $K$ -色图  $G$  有一个着色, 它的每种颜色都至少分配给两个顶点, 试证:  $G$  有一个

这种类型的  $K$ -着色.

证: 设  $(V'_1, V'_2, \dots, V'_K)$  是  $G$  的一个  $K'$ -着色.

$$|V'_i| \geq 2, \quad K' \geq K.$$

设  $(V_1, V_2, \dots, V_K)$  是一个尽量使每部分点数平均的  $K$ -着色.

若有  $|V'_1| \geq 2$ , 则即满足要求; 若至少有一部分, 不妨设  $V'_1$  仅包含一个点  $v_1$ , 则可进行下列调整:

设  $v_1$  在  $K'$ -着色中属于  $V'_1$ , 则  $V'_1$  中另有一点  $v_2$  在  $K$ -着色中属于  $V_2$ , 故  $V_2$  中至少还有一点  $v_3$  (否则令  $V_1 \cup V_2 = \bar{V}_1$ , 则完成  $(K-1)$ -着色, 矛盾) 属于  $V_2$  (若  $V_2$  中点都属于  $V'_1$ , 则含并  $V'_1, V_2$  成为  $(K-1)$ -着色, 矛盾).

$V'_2$  又有  $v_4$  属于  $V_3, \dots, V_{K-1}$ , 有  $v_{2(K-1)-1} \in V'_{K-1}$ ,  $V'_{K-1}$  又有  $v_{2(K-1)} \in V_K$ .

由于  $|V'_1| = 1$ , 所以总存在  $|V'_i| \geq 3$  ( $2 \leq i \leq K$ ), 并且  $V'_{i-1}$  中有  $v_{2(i-1)} \in V_i$ , 可做如下着色分划:

$$(V_1 \cup \{v_2\}, (V_2 - v_2) \cup \{v_3\}, \dots, (V_i - v_{2(i-1)}), V_{i+1}, \dots, V_K).$$

重复上述的调整过程, 便可得到所要求的  $K$ -着色.

(48) 证明:  $K$ -临界图的顶点割不能导出唯一的  $(K-1)$ -可着色子图.

证: 用反证法. 若有图  $G$  的某一  $K$ -临界图的顶点割  $H$  导出一个唯一的  $(K-1)$ -可着色子图, 且  $G-H = A \cup B$ ,  $A$  与  $B$  不连通.

由于  $G$  是临界图, 且  $X(H) = K-1$ , 则  $X(G-A) = K-1$ ,  $X(G-B) = K-1$ , 但  $G-(A \cup B)$  有唯一着色, 故在  $G-A$  与  $G-B$  的某  $K-1$  着色中  $H$  的着色是相同的, 从而将  $G$  的顶点取在  $G-A$  与  $G-B$  中相同的着色处, 则此着色是正常的 ( $A, B$  不连通), 从而  $X(G) \leq K-1$ , 引出矛盾.

(49) 试证: ①若  $u$  和  $v$  是临界图  $G$  的两个顶点, 则  $N(u) \subseteq N(v)$ ;

②设有  $K$ -临界图恰好具有  $K+1$  个顶点.

证: ①用反证法. 若有  $u, v$  为临界图  $G$  的两顶点, 满足  $N(u) \subseteq N(v)$ .

于  $X(G-v) = X(G) - 1$ , 可对  $G-v$  进行  $(X(G)-1)$  正常着色, 然后对  $u$  着上与  $v$  相同的色, 则由此所得的对  $G$  的  $X(G)-1$  着色是正常的, 引出矛盾.

②若有  $(K+1)$  个点的  $K$ -临界图  $H$ , 有两点  $u, v$  着色相同, 其余点着色均不同. 则由于  $N(u) \not\subseteq N(v)$ ,  $N(v) \subseteq N(u)$ , 故存在  $u_i, v_i$ , 使  $uu_i, vv_i$  不属于  $H$ , 从而可先将  $G-u-v$  着  $(K-1)$  色, 然后将  $u$  着与  $u_i$  相同色,  $v$  着与  $v_i$  相同色, 即成为  $G$  的一个正常  $(K-1)$  着色, 引出矛盾.

(50) 试证: 若  $G$  是  $K$ -顶点可着色的, 则  $G$  有一个典型  $K$ -顶点着色.

证: 设  $(V_1, V_2, \dots, V_K)$  是  $G$  的一个正常  $K$ -着色. 由此可构造一个典型  $K$ -顶点着色:

取  $V'_1$  为包含  $V_1$  的  $G$  的最大独立集;

$V'_2$  为包含  $V_2 - V'_1$  的  $(G - V'_1)$  的最大独立集;

$V'_3$  为包含  $V_3 - (V'_1 \cup V'_2)$  的  $(G - (V'_1 \cup V'_2))$  的最大独立集

.....

于是  $(V'_1, V'_2, \dots, V'_K)$  便是  $G$  的一个典型的  $K$ -顶点着色.

## 6. 可计数性

(51) 证明波利亚计数定理: 构形计数级数可以由将图形计数级数代入到构形群的循环指标中去而得到, 即

$$C(x, y) = Z(A, C(x, y))^*,$$

证: 令  $\alpha$  是  $A$  中的一个置换, 又令  $\bar{\alpha}$  为群  $E^A$  中相应的置换. 先假定  $f$  是  $\bar{\alpha}$  不动的一个构形, 而  $\zeta$  是  $\alpha$  的不相交循环分解中的一个长度为  $K$  的循环. 则对  $\zeta$  的表示式中的每一个元素  $b$ ,  $f(b) = f(\zeta b)$ , 所以, 被  $\zeta$  置换的所有元素在  $f$  下一定有同一个象. 反之, 若置换  $\alpha$  的每一个循环中的元素在一个构形  $f$  下都有同一个象, 则  $\bar{\alpha}$  使  $f$  不动. 不是, 只要对  $\alpha$  的每一个循环  $\zeta$ , 在  $R$  中独立地选择一个元素  $r$ , 且对被  $\zeta$  所置换的所有的  $b$ , 置  $f(b) = r$ , 即可得到所有的在  $\bar{\alpha}$  下不动的构形. 于是, 若权  $\omega(r)$  等于  $(m, n)$ , 其中  $m = \omega_1(r)$ ,  $n = \omega_2(r)$ , 而  $\zeta$  的长度等于  $K$ , 则循环  $\zeta$  就使和式  $\sum_{f=\bar{\alpha}f} W(f)$  有一个因式  $\sum_{r \in R} (x^m y^n)^K$ . 于是, 因为

$$\sum_{r \in R} (x^m y^n)^K = C(x^K, y^K),$$

对于  $A$  中的每个  $\alpha$ , 我们就有

$$\sum_{f=\bar{\alpha}f} W(f) = \sum_{k=1}^S C(x^K, y^K)^{f_K(\alpha)}.$$

将此方程的两边对  $A$  中所有的置换  $\alpha$  (或等价地, 对  $E^A$  中所有的  $\alpha$ ) 求和, 又将两边除以  $|A| = |E^A|$ , 我们得到

$$\frac{1}{|E^A|} \sum_{\alpha \in E^A} \sum_{f \in \bar{\alpha}f} W(f) = \frac{1}{|A|} \sum_{\alpha \in A} \sum_{k=1}^S C(x^K, y^K)^{f_K(\alpha)}. \quad (*)$$

此方程的右边是  $Z(A, C(x, y))$ . 为了看出它的左边是  $C(x, y)$ , 我们根据伯恩赛德引理的解. 对群  $E^A$ , 轨的权和由下式给出:

$$\sum_{i=1}^n w(\theta_i) = \sum C_{\alpha\alpha} x^\alpha y^\alpha = C(x, y). \quad (**)$$

但由定理:  $|A| \sum_{i=1}^n w(\theta_i) = \sum_{\alpha \in A} \sum_{x=\alpha x} w(x)$  (其中  $A$  为作用在集  $X$  上的一个置换群, 它有轨  $\theta_i$ ,  $\omega$  是一个函数, 它对每一个轨指定一个权; 此外, 当  $x \in \theta_i$  时,  $\omega(x) = w(\theta_i)$ .) 立即得到:  $(*)$  与  $(**)$  的左边是相等的. 故有

$$Z(A, C(x, y)) = C(x, y).$$

(52) 证明定理: 用有标数的计数级数来表示的树的计数级数由下列方程给出:

$$t(x) = T(x) - \frac{1}{2} [T^2(x) - T(x^2)].$$

证: 对  $i=1$  到  $t_n$ , 令  $p_i^*$ ,  $q_i^*$  和  $S_i$  分别是有  $n$  个点的第  $i$  种树中, 点的相似类, 边的相似类和对称边的数目. 因为对于每一个  $i$ , 按定理:  $p^* - (q^* - S) = 1$ , 有  $1 = p_i^* - (q_i^* - S_i)$ . 我们对

\* 此处记号的定义如下: 在  $Z(A) = \frac{1}{|A|} \sum_{\alpha \in A} \prod_{i=1}^n a_i^{f_i(\alpha)}$  中, 我们记

$$Z(A) = Z(A; a_1, a_2, \dots, a_n), \text{ 又记}$$

$$Z(A, h(x, y)) = Z(A; h(x, y), h(x^2, y^2), \dots, h(x^n, y^n)).$$

求和得到

$$t_n = T_n - \sum_i (q_i^* - S_i). \quad (*)$$

而且,  $\sum (q_i^* - S_i)$  是以一条不是对称边的边作为根的有  $n$  个点的树的数目. 考察一个树  $T$ , 又取  $T$  的任何一条不是对称边的边  $y$ . 则  $T - y$  可以看作二个有根树, 它们一定是不同构的. 于是每一个树的每一条非对称边相应于不同有根树的一个无序对. 计数这些树对, 等价于计数从有  $n$  个可交换的元素的一个集到有根树的集中的 1-1 函数. 于是我们应用定理,

$Z(D_1) = \frac{1}{8}(a_1^4 + 2a_1^2 a_2 + 3a_2^2 + 2a_4)$ , 用  $T(x)$  为图形计数级数, 得到

$$\sum_{n=1}^{\infty} \left[ \sum_{i=1}^n (q_i^* - S_i) x^n \right] = Z(A_2 - S_2, T(x)). \quad (**)$$

因为

$$Z(A_2) = a_1^2, \quad Z(S_2) = \frac{1}{2}(a_1^2 + a_2),$$

我们有,

$$Z(A_2 - S_2, T(x)) = \frac{1}{2} [T^2(x) - T(x^2)] \quad (***)$$

由公式 (\*) - (\*\*\*) 得到

$$t(x) = T(x) - \frac{1}{2} [T^2(x) - T(x^2)].$$



## (二) 概 念

### 1. 斜阵表示

(1) 矩阵  $M$ : 它是将  $-D$  ( $D$  为邻接矩阵) 的第  $i$  个对角线元素换成  $\deg v_i$  得到的矩阵;  
矩阵  $M_x$ : 令  $G$  是有边  $x_1, x_2, \dots, x_t$  的一个标定图. 定义  $p \times p$  阶矩阵  $M_x = [m_{ij}]$  如下:

$$m_{ij} = \begin{cases} -x_i, & \text{若 } x_i = v_i v_j \\ 0, & \text{若 } v_i \text{ 和 } v_j \text{ 不邻接} \end{cases} \text{ 对 } i \neq j,$$

$$m_{ii} = -\sum_{n \neq i} m_{in}.$$

(2) 拟阵: 一个拟阵由一个有限的元素集  $M$  和  $M$  的非空子集的一个族  $\mathcal{C} = \{C_1, C_2, \dots\}$  所组成,  $C_i$  称为回路, 满足公理:

(1°) 一个回路的真子集不是回路;

(2°) 若  $e \in C_1 \cap C_2$ , 则  $C_1 \cup C_2 - \{e\}$  含有一回路. 对于一个图  $G$ , 取它的边集  $X$  为集  $M$ , 取它的圈为回路, 即可定义为一拟阵  $R$ .

拟阵: 一个拟阵由一个有限的元素集  $M$  和  $M$  的一族称为独立集的子集组成, 使

(1°) 空集是独立的;

(2°) 独立集的每一个子集是独立的;

(3°) 对于  $M$  的每一个子集  $A$ , 所有含在  $A$  中的极大独立集的元素数目都相等. 对于一个图  $G$ , 取它的边集为集  $M$ , 取它的无圈子图为独立集, 即产生一拟阵  $R$ .

(3) 拟图: 一个拟图由一个元素集  $M$  和  $M$  的非空子集的二个簇  $\mathcal{C}$  和  $\mathcal{D}$  组成, 这两个集的元素分称为回路和余回路, 使

(1°) 对任一  $C \in \mathcal{C}$  和  $D \in \mathcal{D}$ ,  $|C \cap D| \neq 1$ ;

(2°) 无真含另一个回路的回路, 也无真含另一个余回路的余回路;

(3°) 不论如何将  $M$  按如下方式着色: 使恰有一个元素为绿色, 其余元素为红色或蓝色, 则或 a). 存在一回路  $C$  含绿色而不含红色元素; 或 b). 存在一余回路  $D$  含绿色而不含蓝色元素.

(4) 图拟阵: 一个拟阵称为是图拟阵, 若它是某个图的圈拟阵;

余图拟阵: 一个拟阵称为是余图拟阵, 若它是一个余圈拟阵;

(还有一类不是图拟阵或余图拟阵, 如  $n$  阶旋拟阵).

(5) Okada 图形: (图 3.1)

给定  $9_7 = [9_{ij}]$  型矩阵

1	2	3	4	5	6	7	8	9	10	11	12	13	14	15
1	1	1	1	0	0	1	1	1	1	1	0	0	0	0
1	0	0	0	1	0	1	0	1	0	0	1	0	0	0
0	1	0	0	0	1	0	1	1	0	0	0	1	0	0
0	0	1	0	1	0	0	1	0	1	0	0	0	1	0
0	0	0	1	0	1	1	0	0	1	0	0	0	0	1

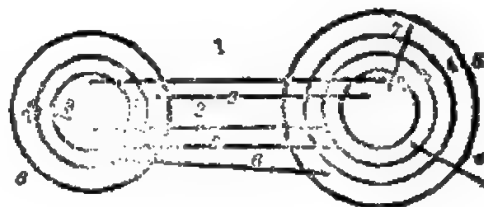


图 3.1

所谓Okada图形是一个平面图形，它是根据矩阵 $Q_f = [Q_{f,ij}]$ 由平面上的 $n_r - 1$ 个圆和 $n_r - n_c + 1$ 条线段构成（这里 $n_r - 1$ 是矩阵的行数， $n_r - n_c + 1$ 是子阵 $Q_{f,ij}$ 的列数）， $n_r - 1$ 个圆对应于形如上述矩阵的行， $n_r - n_c + 1$ 条线段对应于形如上述矩阵的列，设 $n_r - 1$ 个圆为 $J_1, J_2, \dots, J_{n_r-1}$ ； $n_r - n_c + 1$ 条线段为 $I_1, I_2, \dots, I_{n_r-n_c+1}$ ，它们满足下列条件：

(1°) 没有两个 $J_k$ 是相交的，但允许互相包含；

(2°) 没有 $I_k$ 的端点落在 $J_h$ 上（ $k = 1, 2, \dots, n_r - n_c + 1$ ； $h = 1, 2, \dots, n_r - 1$ ）

(3°) 若 $Q_f = [Q_{f,ij}]$ 矩阵的 $(h, k)$ 位置上的元素是1，则 $J_h$ 和 $I_k$ 恰好交于一点，即 $I_k$ 穿过 $J_h$ 的地方，若 $(h, k)$ 位置上的元素是0，则 $J_h$ 和 $I_k$ 不相交；

(4°) 每段 $I_k$ 至少交于（即穿过）一个 $J_h$ ，两条线段 $I_k, I_l$ 允许互相交叉。

满足以上条件的图形，称为形如 $Q_f = [Q_{f,ij}]$ 矩阵的Okada图形。

广义Okada图形：若用简单闭曲线代替圆 $J_h$ ，用任一简单弧代替线段 $I_k$ ，则满足上述条件的图形，称为形如 $Q_f = [Q_{f,ij}]$ 矩阵的广义Okada图形。

(6) 可实现的：一个形如 $Q_f = [Q_{f,ij}]$ 的矩阵，若存在一个图 $G$ ，以它为基础割集矩阵，则我们称这个矩阵是可实现的。

## 2. 空间表示

(7) 特征函数：对任意的 $x \in X$ ，称

$$\theta_x: X \rightarrow C$$

为 $x$ 的特征函数；它的定义是：

$$\theta_x(t) = \begin{cases} 1, & \text{若 } t = x, \\ 0, & \text{若 } t \neq x. \end{cases}$$

(8) 点（边）空间：设 $C_0(G) = \{f | f: V(G) \rightarrow C\}$ ， $C_1(G) = \{f | f: E(G) \rightarrow C\}$ ，其中 $V(G)$ 、 $E(G)$ 分别是图 $G$ 的顶点集和边集，并设 $V(G)$ 和 $E(G)$ 的元素个数分别为 $n$ 和 $m$ 。易知 $C_0(G)$ 和 $C_1(G)$ 分别构成 $n$ 维线性空间和 $m$ 维线性空间，分称为图 $G$ 的点空间和边空间。

基底： $C_0(G)$ ——取一组标准基底 $\{\omega_1, \omega_2, \dots, \omega_n\}$ ，此处 $\omega_i(v_j) = \begin{cases} 1, & i = j, \\ 0, & \text{否则}. \end{cases}$

$C_1(G)$ ——取一组标准基底 $\{e_1, e_2, \dots, e_m\}$ ，此处 $e_i(e_j) = \begin{cases} 1, & i = j, \\ 0, & \text{否则}. \end{cases}$

函数： $\eta \in C_0(G)$ ，可用列向量 $a = [a_1, a_2, \dots, a_n]^T$ 示之，其中 $a_j = \eta(v_j)$ 。

函数 $\xi \in C_1(G)$ ，可用列向量 $b = [b_1, b_2, \dots, b_m]^T$ 示之，其中 $b_i = \xi(e_i)$ 。

(9) 关联映射：对于标准基底，完全关联矩阵表示空间 $C_1(G)$ 到空间 $C_0(G)$ 的一个线性映射，这个映射称为关联映射，用 $A$ 示之。

对于每一个 $\xi \in C_1(G)$ ， $A\xi: V(G) \rightarrow C$ 定义为  $A\xi(v_i) = \sum_{j=1}^m a_{ij}\xi(e_j) (1 \leq i \leq n)$ ，

其中 $a_{ij}$ 为完全关联矩阵 $A$ 中的元素。完全关联矩阵建立了 $C_0(G)$ 空间与 $C_1(G)$ 空间之间的联系。



(10) 0-链: 令  $G$  是一个图, 它有点  $v_1, \dots, v_r$  和边  $e_1, \dots, e_s$ . 点的一个形式的线性组合  $\sum e_i v_i$ , 称为  $G$  的一个 0-链. (其中  $e_i$  为 0 或 1).

1-链: 边的一个形式的线性组合  $\sum e_i e_i$ , 称为  $G$  的一个 1-链.

(11) 边缘算子  $\partial$ : 是将 1-链变换为 0-链的一个算子, 满足:

a)  $\partial$  是线性的; b)  $e = uv = \partial e = u + v$ .

上边缘算子  $\delta$ : 是将 0-链变换为 1-链的一个算子, 满足:

a)  $\delta$  是线性的; b)  $\delta v = \sum e_i e_i$  (此处当  $e_i$  关联于  $v$  时,  $e_i = 1$ ).

(显然,  $G$  的一个上边缘是  $G$  中某个 0-链的上边缘).

(12) 圈向量: 一个边缘等于 0 的 1-链称为  $G$  的一个圈向量.

圈空间: 所有圈向量的集构成  $F_2$  上的一个向量空间. 称为  $G$  的圈空间.

圈基:  $G$  的一个圈基定义为  $G$  的圈空间的一个基, 而且这个其中每一个元素都是圈.

圈秩  $m(G)$ : 是  $G$  的圈空间的一个基中圈的数目.

(13) 余圈: 是一个最小的割集.

余圈空间:  $G$  的所有上边缘的集称为  $G$  的余圈空间.

余圈基: 余圈空间的一个全部由余圈组成的基称为  $G$  的一个余圈基.

余圈秩  $m^*(G)$ : 是  $G$  的余圈空间的一个基中余圈数目.

### 3. 群表示

[自同构群]

(14) 么图: 一个给定的公理系统的任何一个模型都有一个自同构群, 图也不例外. 若图  $G$  中, 从  $V$  到  $V$  上的恒等映射是其唯一的自同构, 则称此图为什么图. (图 3.2)

(15) 置换: 有限集到自身上的一个一一映射称为置换 (映射的通常的复合, 构成了同一个集上的置换的一个二元运算).



图 3.2

(16) 群: 群由一个非空集  $A$  和一个二元运算构成, 这个二元运算用连写  $A$  中的二个元素  $a_1$  和  $a_2$  成为  $a_1 a_2$  来记, 并且满足下列四个定理:

公理 1 (封闭性) 对  $A$  中所有的  $a_1, a_2$ ,  $a_1 a_2$  也是  $A$  的一个元素;

公理 2 (结合性) 对  $A$  中的所有的  $a_1, a_2, a_3$ , 有

$$a_1(a_2 a_3) = (a_1 a_2) a_3;$$

公理 3 (单位元素)  $A$  中有一个元素  $i$ , 对于  $A$  中所有的元素  $a$  有

$$ia = ai = a;$$

公理 4 (逆元素) 若公理 3 成立, 则对  $A$  中每一个元素  $a$ , 有一个元素, 记作  $a^{-1}$ , 使

$$aa^{-1} = a^{-1}a = i.$$

(17) 置换群: 当置换的一个集对于这种运算封闭时, 公理 2、3 和 4 自然满足, 它就称为一个置换群.

阶与度: 若一个置换群  $A$  作用在对象集  $X$  上, 则  $|A|$  称为这个群的阶, 而  $|X|$  称为是它的度.

(18) 同构的群: 设  $A$  和  $B$  分别为作用在集  $X$  和  $Y$  上的置换群. 若在这两个群的置换间存在一个一一映射  $h: A \leftrightarrow B$ , 使对  $A$  中所有的  $a_1, a_2$ ,  $h(a_1 a_2) = h(a_1) h(a_2)$ ,

则称  $A$  和  $B$  是同构的群, 记作  $A \cong B$ .

(19) 恒等的置换群: 若除了置换间, 还需要在这两个群的对象间存在一个一一映射  $f: X \leftrightarrow Y$ , 使对  $X$  中的所有的  $x$  和  $A$  中所有的  $a$ ,

$$f(ax) = h(a)f(x),$$

则称  $A$  与  $B$  是恒等的置换群, 记作  $A \equiv B$ .

(20) 自同构: 一个图  $G$  的一个自同构是  $G$  与它自身的一个同构. 于是,  $G$  的每一个自同构  $\alpha$  是点集  $V$  的一个保持邻接性的置换.

(21)  $G$  的群 (或点群): 任何一个自同构续以另一个自同构也是一个自同构. 从而  $G$  的自同构构成一个作用在  $G$  的点上的置换群  $\Gamma(G)$ , 它称为  $G$  的群, 或称为  $G$  的点群.

(22) 边群:  $G$  的点群导出另外一个置换群  $\Gamma_1(G)$ , 称为  $G$  的边群, 它作用在  $G$  的边上.

#### [置换群的运算]

(23) 令  $A$  为一个置换群, 其阶  $m = |A|$ , 度为  $d$ , 它作用在  $X = \{x_1, \dots, x_d\}$  上;  $B$  为另一个置换群, 其阶  $n = |B|$ , 度为  $e$ , 它作用在集  $Y = \{y_1, y_2, \dots, y_e\}$  上.

运 算	作用对象	元 素	阶	度
和 $A+B$	不相交的 开 $X \cup Y$	$A+B = \{\alpha + \beta \mid \alpha \in A, \beta \in B\}$ ( $\alpha, \beta$ 为置换). $(\alpha + \beta)(Z) = \begin{cases} \alpha Z, & \text{当 } Z \subset X, \\ \beta Z & \text{当 } Z \subset Y. \end{cases}$	$m+n$	$d+e$
积 $A \times B$	$X \times Y$	$A \times B = \{\alpha \times \beta \mid \alpha \in A, \beta \in B\}$ $(\alpha \times \beta)(x, y) = (\alpha x, \beta y).$	$m \cdot n$	$d \cdot e$
合成 $A[B]$	$X \times Y$	对 $A$ 中的每一个 $\alpha$ 和 $B$ 中的 $d$ 个置换的序列 $(\beta_1, \beta_2, \dots, \beta_d)$ 在 $A[B]$ 中有唯一的置换 $(\alpha; \beta_1, \beta_2, \dots, \beta_d)$ , 使得对于 $X \times Y$ 中的 $(x, y_j)$ 有 $(\alpha; \beta_1, \beta_2, \dots, \beta_d)(x_i, y_j) = (\alpha x_i, \beta_j y_j)$ .	$m \cdot n$	$d \cdot e$
幂 $B^A$	$Y^X$	对于每一对 $A$ 中的置换 $\alpha$ 和 $B$ 中的置换 $\beta$ , 在 $B^A$ 中对应有一个置换, 记作 $\beta^\alpha$ . $(\beta^\alpha f)(x) = \beta f(\alpha x)$	$m^n$	$e^d$

#### [复合图的群]

(24) 素的: 对于一个非平凡图  $G$ , 若  $G = G_1 \times G_2$  蕴含  $G_1$  或  $G_2$  是平凡的, 则  $G$  称为是素的; 若  $G$  不是素的, 则它称为是复合的.

(25) 邻域: 一个点  $u$  的邻域是由所有与  $u$  邻接的点  $v$  构成的集  $N(u)$ . 闭邻域  $N[u] = N(u) \cup \{u\}$ .

(26) 冠: 两个图  $G_1$  和  $G_2$  的冠  $G_1 \circ G_2$  是一个图

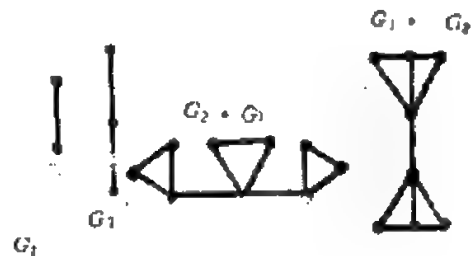


图3.3

$G$ , 由取一个  $G_1$  (它有  $P_1$  个点) 和  $P_1$  个  $G_2$ , 然后联结  $G_1$  的第  $i$  个点和第  $i$  个  $G_2$  的每一个点来构成. (图3.3)

[有给定群的图]

(27) 色图:  $F$  的色图, 记作  $D(F)$ , 是一个完全对称的有向图, 它的点是  $F$  的  $n$  个元素. 此外, 对于  $D(F)$  的每一条弧, 例如由  $f_i$  到  $f_j$  的弧, 标上指定给  $F$  的元素  $f_i^{-1}f_j$  的颜色.

(图3.4)

[对称图]

(28) 相似: 图  $G$  的两个点  $u$  和  $v$  称为相似的, 若对  $G$  的某一个同构  $\alpha$ ,  $\alpha(u) = v$ . 不相似于其他任何一点的点称为不动点.

两条边  $x_1 = u_1v_1$  和  $x_2 = u_2v_2$  称为相似的, 若有  $G$  的一个自同构  $\alpha$ , 使  $\alpha(\langle u_1, v_1 \rangle) = \langle u_2, v_2 \rangle$ .

(29) 点对称: 若它的每一对点是相似的, (图3.5)

循环群  $C_3$  的色图:

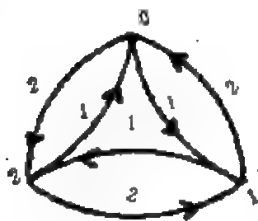


图3.4

点对称图:



边对称图:



图3.5

边对称:

若它的每一对边是相似的, (图3.5)

对称: 若它既是点对称的又是边对称的.

(30) 边的度: 一条边  $x = uv$  的度是无序对  $\langle d_1, d_2 \rangle$ , 其中  $d_1 = \deg u$  和  $d_2 = \deg v$ .

(31) 边正则的: 一个图是边正则的, 若所有的边都有相同的度.

[高度对称图]

(32)  $n$ -路: 一条  $n$ -路是一条长度为  $n$  且有确定的起点的通道, 其中没有一条边接在它自己的后面.

$n$ -可迁的: 一个图  $G$  称为  $n$ -可迁的,  $n \geq 1$ , 若它有一条  $n$ -路, 并且对于  $G$  的每一条  $n$ -路总有一个自同构将它映到另外任何一条  $n$ -路上. (图3.6)

(33) 后继: 若  $W$  是一条  $n$ -路  $v_0v_1 \cdots v_n$ , 又  $u$  是除  $v_{n-1}$  外任何一个邻接于  $v_n$  的点, 则  $n$ -路  $v_0 \cdots v_n u$  称为  $W$  的一条后继.

(34)  $n$ -单可迁的: 一个图  $G$  称为是  $n$ -单可迁的, 若它是连通的、三次的、 $n$ -可迁的, 而且若有任何两条  $n$ -路  $W_1$  和  $W_2$ ,  $G$  恰有一个自同构  $\alpha$ , 使  $\alpha W_1 = W_2$ . (图3.7)

(35) 笼: 对于  $n \geq 3$ , 一个  $n$ -笼是一个有最少可能数目的点而围长等于  $n$  的三次图.

(36)  $\alpha$ -置换图: 对于  $S_n$  中的任何一个置换  $\alpha$ , 一个标定图  $G$  的  $\alpha$ -置换图是不相交的两  $G$ ,  $G_1$  和  $G_2$  的并, 再加上联结  $G_1$  的点  $v_i$  和  $G_2$  的点  $v_{i\alpha}$  的边.

Hexwood图——4-可迁图



图3.6

3-单可迁图:

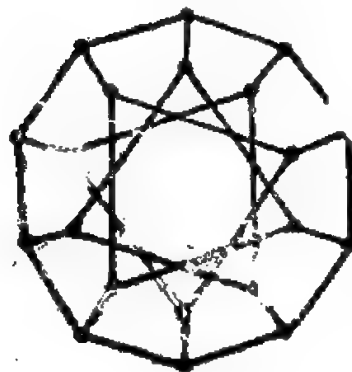


图3.7

### (三) 定理

#### 1. 矩阵表示

(1) 令  $G$  是一个有邻接矩阵  $D$  的标定图  $\Rightarrow D^*$  的  $i, j$  元是由  $v_i$  到  $v_j$  的长度等于  $n$  的通道的数目。

(2) 对于  $i \neq j$   $D^2$  的  $i, j$  元是从  $v_i$  到  $v_j$  的长度为 2 的道路的数目;  $D^2$  的  $i, j$  元是  $v_i$  的度;  $D^3$  的  $i, j$  元是含  $v_i$  的三角形的数目的两倍。

(3) 若  $G$  是连通的, 对于  $i \neq j$ ,  $v_i$  与  $v_j$  之间的距离是使  $D^n$  的  $i, j$  元不等于零的最小整数  $n$ 。

(4) 图  $G$  是一个具有  $G_1$  和  $G_2$  两个连通片的非连通图  $\Leftrightarrow G$  的邻接矩阵可以分块为

$$D(G) = \begin{bmatrix} D(G_1) & 0 \\ 0 & D(G_2) \end{bmatrix}$$

(其中  $D(G_1)$  和  $D(G_2)$  分别是  $G_1$  和  $G_2$  的邻接矩阵)。

(5) 一个具有  $n_e$  条边,  $n_v$  个顶点的不可分二端图  $G$  的路径矩阵  $P$  的  $r = n_e - n_v + 2$

(6) 完全关联矩阵  $A$  的秩等于所示图的秩 (连通图  $r = n_v - 1$ , 分离图  $r = n_v - p$ )。

(7) 连通图  $G$  的关联矩阵的一个大子阵是非奇异的  $\Leftrightarrow$  与此大子阵的列相应的边组成  $G$  的一棵生成树。

(8) 连通图  $G$  的生成树的数目为  $\det(A_r A_r^T)$ 。

(9)  $G(p, q) \Rightarrow D(L(G)) = A^T A - 2I_q$  ( $I_q$  是  $q \times q$  阶单位阵)。

(10) 《矩阵-树定理》令  $G$  为一个有邻接矩阵  $D$  的连通的标定图  $\Rightarrow$  矩阵  $M$  的所有余因子都相等, 且其公共值是  $G$  的生成树的数目。

(11) 《变元矩阵-树定理》矩阵  $M$  的任何一个余因子的值是  $G$  的树多项式 ( $G$  的一个生成树的项是指它的边的积;  $G$  的树多项式是它的各个生成树的项的和)。

(12) 有  $p$  个点的标定树的数目为  $p^{p-2}$ 。

(13) 连通图的完全回路矩阵的秩等于  $n_e - n_v + 1$  (有  $p$  个分支的分离图的完全回路矩

阵的秩等于  $n_e - n_v + p$  ) .

(14) 连通图的基本回路矩阵的秩等于  $n_e - n_v + 1$  .

(15) 连通图  $G$  关于生成树  $T$  的基本回路矩阵  $B_f$  可写成  $B_f = [B_{f1} I]$ , 其中  $I$  为  $n_e - n_v + 1$  阶单位阵, 它的列对应连枝集,  $B_{f1}$  的列对应  $T$  的树枝.

(16) 设图是一个具有  $n_v$  个顶点,  $n_e$  条边的无向连通图, 它的完全回路矩阵  $B_c$ , 可按下列步骤获得:

(1°) 任选  $G$  的一个树  $T$ , 写出树  $T$  的基本回路矩阵  $B_f$ ;

(2°) 在  $B_f$  的行中进行所有可能的环和运算, 由  $B_f$  原有的行, 加上环和产生的新行, 共同排成新矩阵  $B_1$ ;

(3°) 在  $B_1$  中消去代表边不相接的回路行;

(4°)  $B_1$  中留下的行, 组成了完全回路矩阵  $B_c$ .

(17) 一个回路矩阵的大子阵是非奇异的  $\Leftrightarrow$  它的列代表一棵生成树的连枝集.

(18) 连通图  $G$  的完全割集矩阵的秩等于  $n_v - 1$  (有  $p$  个分支的分离图的完全割集矩阵的秩是  $n_v - p$  ) .

(19) 连通图的基本割集的秩是  $n_v - 1$  .

(20) 连通图  $G$  的基本割集矩阵  $Q_f$  可以写成

$$Q_f = [Q_{f1} I]$$

其中  $I$  是  $n_v - 1$  阶单位矩阵, 它的列对应图  $G$  的树枝,  $Q_{f1}$  的列对应于  $G$  的连枝.

(21) 设  $G$  是一连通的无向图, 具有  $n_v$  个顶点,  $n_e$  条边,  $G$  的完全割集矩阵  $Q_c$ , 可按下述算法求得:

(1°) 选择树  $T$ , 列出对应树  $T$  的基本割集矩阵  $Q_f$ , 基本割集对应阵的行, 边  $e$  对应其列;

(2°) 在  $Q_f$  中执行所有可能的环和, 求得  $\theta_1$ , 它包含  $\theta_f$  中的  $n_v - 1$  行和由环和产生的新行;

(3°) 从  $\theta_1$  中移去冗余行;

(4°)  $\theta_1$  中留下的行, 即所求的完全割集矩阵  $Q_c$ .

(22) 图  $G$  的割集矩阵  $Q$  的大子阵是非奇异的  $\Leftrightarrow$  这个大子阵的列对应于某生成树  $T$  的树枝.

(23) 形如  $Q_f = [Q_{f1} I]$  的矩阵是可实现的  $\Rightarrow$  它有一个 Okada 图形; 反之, 形如上述矩阵有一个广义的 Okada 图形  $\Rightarrow$  它是可实现的.

## 2. 空间表示

(24) 集合  $\mathscr{S} = \{G_1, G_2, \dots, G_N\}$ ,  $N = 2^n$  在环和运算与数乘运算 ( $0G_i = \phi$ ,  $1 \cdot G_i = G_i$ ;  $G_i \in \mathscr{S}$ ) 下构成域  $F = \{0, 1\}$  上的一个  $n$ -维线性空间. ( $\mathscr{S}$  即由全部子图组成之集合).

(25) 特征函数的性质:

(1°) 设  $x_1, x_2, \dots, x_k$  是  $X$  中的不同元素  $\Rightarrow$  特征函数  $\theta_{x_1}, \theta_{x_2}, \dots, \theta_{x_k}$  线性无关;

(2°) 有限集合  $X$  的元素的特征函数的集合  $\theta = \{\theta_x, x \in X\}$  可以生成空间  $\mathscr{S}_c(X)$ .

(26) 图  $G$  的所有断集和空集的集合  $\mathscr{S}$  作成空间  $\mathscr{S}$  的一个子空间, 称为图  $G$  的断集空记作  $\mathscr{S}(G)$ .

(27)  $n_0$  阶连通图  $G$  的  $n_0 - 1$  个线性无关的关联集是  $G$  的断集空间的一组基底, 且  $G$  的断集空间的维数是  $n_0 - 1$ .

(28) 设  $S_1, S_2, \dots, S_{n_0-1}$  是图  $G$  的基本割集组  $\Rightarrow S_1, S_2, \dots, S_{n_0-1}$  是线性无关的.

(29) 图  $G$  的任一断集均可表成若干基本割集之环和.

(30) 图  $G$  的关于生成树  $T$  的基本割集组是  $G$  的断集空间的一组基底.

(31)  $n_0$  阶连通图  $G$  的断集空间的元素的个数是  $2^{n_0-1}$  (包括空集).

(32) 基本回路  $C_1, C_2, \dots, C_{n_0-n_0+1}$  是线性无关的.

(33) 连通图  $G$  的任一环路均可表成若干条基本回路之环和.

(34) 连通图  $G$  的所有环路和空集的集合构成空间  $\mathcal{R}$  的一个  $n_0 - n_0 + 1$  维子空间, 称为  $G$  的环路空间, 记作  $\mathcal{R}(G)$ .

(35) 有  $p$  个分支的分离图  $G$  的环路空间的维数是  $n_0 - n_0 + p$ .

(36) 连通图  $G$  的环路空间中元素的个数为  $2^{n_0-n_0+1}$ .

### 3. 群表示

[自同构群]

(37)  $\Gamma(G)$  (点群)  $\cong \Gamma_1(G)$  (边群)  $\iff G$  至多有一个孤立点, 且  $K_2$  不是  $G$  的一个支.

(38) 两个有相同的度和相同的循环结构的置换群, 不一定是恒等的.

[置换群的运算]

(39) 三个群  $A + B, A \times B, B^A$  是同构的.

(40) a) 群  $\Gamma(G)$  是  $S_p \iff G = K_p$  或  $G = \bar{K}_p$

b)  $G$  是长度等于  $p$  的一个圈  $\Rightarrow \Gamma(G) = D_p$ .

(其中  $S_p$  和  $D_p$  是两个特殊的度等于  $p$  的置换群).

[复合图的群]

(41) 一个图和它的补图都有同一个群,  $\Gamma(\bar{G}) = \Gamma(G)$ .

(42)  $G$  是一个连通图  $\Rightarrow \Gamma(nG) = S_n[\Gamma(G)]$ .

(43)  $G_1$  和  $G_2$  是不相交的、连通的且不同构的  $\Rightarrow \Gamma(G_1 \cup G_2) \cong \Gamma(G_1) + \Gamma(G_2)$ .

(44)  $\Gamma(G) = S_{n_1}[\Gamma(G_1)] + S_{n_2}[\Gamma(G_2)] + \dots + S_{n_r}[\Gamma(G_r)]$ .

(45)  $\Gamma(G_1 \cup G_2) \cong \Gamma(G_1) + \Gamma(G_2) \iff G_1$  没有一个支同构于  $G_2$  的一个支.

(46)  $\Gamma(G_1 + G_2) \cong \Gamma(G_1) + \Gamma(G_2) \iff \bar{G}_1$  没有一个支同构于  $\bar{G}_2$  的一个支.

(47)  $\Gamma(G_1 \times G_2) \cong \Gamma(G_1) \times \Gamma(G_2) \iff G_1$  和  $G_2$  互素.

(48)  $\Gamma(G_1[G_2]) \cong \Gamma(G_1)[\Gamma(G_2)] \iff$  当  $G_1$  不是全不连通的, (a) 若  $G_1$  中有两个点有相同的邻域, 则  $G_1$  是连通的; b) 若  $G_1$  中有两个点有相同的闭邻域, 则  $\bar{G}_1$  是连通的, 成立时.

(49)  $\Gamma(G_1, G_2) \cong \Gamma(G_1)[E_1 + \Gamma(G_2)] \iff G_1$  或  $\bar{G}_2$  无孤立点.

(50) 两个图的冠  $G_1, G_2$  的群同构于它们的群的合成  $\Gamma(G_1)[\Gamma(G_2)] \iff G_1$  或  $\bar{G}_2$  没有孤立点.

[有给定群的图]

(51) 每一个有限群  $F$  同构于  $D(F)$  的那些保持弧的颜色的自同构的群 (此处  $D(F)$  是  $F$  的色图).

(52) 对于每一个有限的抽象群  $F \Rightarrow$  存在一个图  $G$ , 使  $\Gamma(G)$  与  $F$  同构.

(53) 给定任何一个有限的、抽象的、非平凡的群  $F$  和一个整数  $j$  ( $1 \leq j \leq 4$ ), 有无限多个不同胚的图  $G$ , 使  $G$  为连通的, 没有一个点在每一个自同构下都是不动点,  $\Gamma(G) \cong F$ ,  $G$  还具有性质  $P_j$ , 它们定义为:

$$P_1: X(G) = n, \quad n \geq 1,$$

$$P_2: X(G) = n, \quad n \geq 2,$$

$$P_3: G \text{ 是 } n \text{ 度正则的}, \quad n \geq 3,$$

$$P_4: G \text{ 有一个生成子图, 它同胚于一个给定的图.}$$

(54) 给定任何一个有限群  $F$  和整数  $n$  和  $m$ , 其中  $n \geq 3$  及  $2 \leq m \leq n$ , 有无限多个图  $G$ , 使  $\Gamma(G) \cong F$ ,  $X(G) = m$ , 且  $G$  是  $n$  度正则的.

[对称图]

$$(55) \quad u \text{ 和 } v \text{ 相似} \implies G - u \cong G - v.$$

(56) 每一个没有孤立点的边对称图是点对称的或是二部的.

(57)  $G$  是边对称的, 且每一条边的度是  $(d_1, d_2)$ , 而  $d_1 \neq d_2 \implies G$  是二部的.

(58) 一个没有孤立点的图是边对称的, 有奇数个点, 又每一条边的度为  $g(d_1, d_2)$ , 而  $d_1 = d_2 \implies$  它是点对称的.

(59)  $G$  是边对称的, 有偶数个点, 它又是  $d \geq p/2$  度正则的  $\implies G$  是点对称的.

(60) 当  $p \geq 20$  且可以被 4 整除时  $\implies$  存在一个有  $p$  个点的正则图  $G$ . 它是边对称的但不是点对称的.

[高度对称图]

(61) 令  $G$  是一个没有端点的连通图.  $W$  是一条  $n$ -路使得对于  $W$  的每一条后继有  $G$  的一个自同构将  $W$  映到这条后继上  $\implies G$  是  $n$ -可迁的.

(62)  $G$  是连通的、 $n$ -可迁的, 而不是一个圈, 它没有端点, 围长为  $g \implies n \leq 1 + g/2$ .

(63) 对于每一个  $n \geq 3$ , 存在一个  $n$ -笼. 对于  $n = 3$  到 8, 有唯一的  $n$ -笼. 这些笼都对于某个  $l = l(n)$  是  $l$ -单可迁的, 其中  $l(3) = 2$ ,  $l(4) = l(5) = 3$ ,  $l(6) = l(7) = 4$  和  $l(8) = 5$ .

## (四) 题 解

(1) 求出右图 (图3.8) 的邻接矩阵和完全关联矩阵.

解: 邻接矩阵  $D$ :

$$D = \begin{pmatrix} 0 & 1 & 1 & 0 \\ 1 & 0 & 1 & 1 \\ 0 & 1 & 0 & 1 \\ 1 & 1 & 1 & 0 \end{pmatrix}$$

完全关联矩阵  $A$ :

$$A = \begin{pmatrix} 1 & 0 & 0 & 0 & 1 \\ 1 & 1 & 1 & 0 & 0 \\ 0 & 0 & 1 & 1 & 0 \\ 0 & 1 & 0 & 1 & 1 \end{pmatrix}$$

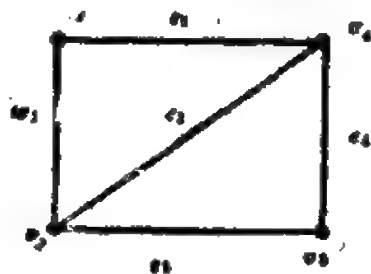


图3.8

(2) 画出多重图  $G$ ，它的邻接矩阵如下：

$$D = \begin{bmatrix} 1 & 3 & 0 & 0 \\ 3 & 0 & 1 & 1 \\ 0 & 1 & 2 & 2 \\ 0 & 1 & 2 & 0 \end{bmatrix}$$

解：图  $G$  为

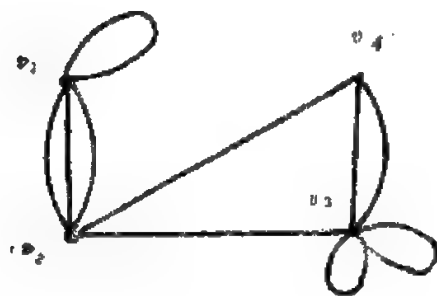


图3.9

(3) 画出图  $G$ ，它的关联矩阵如下：

$$A = \begin{bmatrix} 0 & 1 & 0 & 0 & 0 & 1 & 1 & 0 & 0 \\ 1 & 0 & 1 & 0 & 0 & 0 & 1 & 0 & 0 \\ 0 & 0 & 1 & 1 & 1 & 0 & 0 & 1 & 0 \\ 1 & 0 & 0 & 0 & 1 & 1 & 0 & 0 & 1 \end{bmatrix}$$

解：它为描述的图有 5 个顶点，9 条边，且其图不是唯一的。例如 (图3.10)：

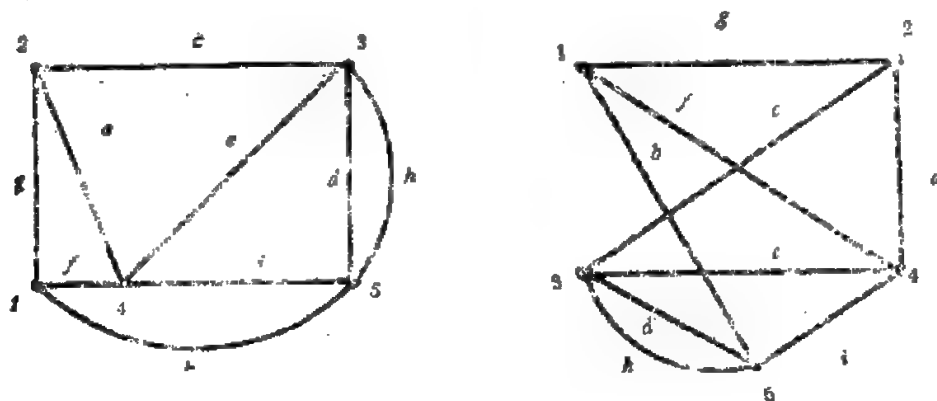


图3.10

(4) 求出下图 (图3.11)  $G$  的完全回路矩阵。

解：取  $G$  的一棵生成树  $T = \{a, b, c, d\}$ ，连枝集是  $e, f, g$ ，图  $G$  关于  $T$  的基本回路组是

$$\begin{aligned} C_1 &= \{b, c, g\}, \\ C_2 &= \{a, b, c, f\}, \\ C_3 &= \{a, b, c, d, e\}. \end{aligned}$$

基本回路的各种可能的线性组合是



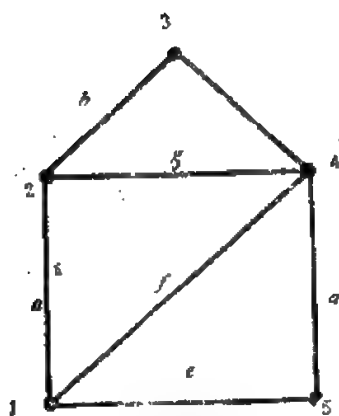


图3.11

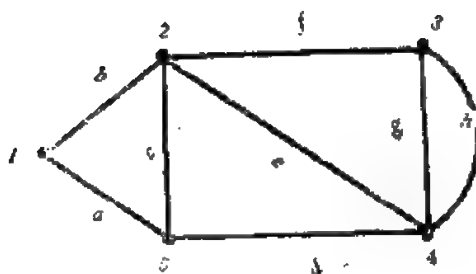


图3.12

$$C_4 = C_1 \oplus C_2 = \{a, f, g\},$$

$$C_5 = C_1 \oplus C_3 = \{a, d, e, g\},$$

$$C_6 = C_2 \oplus C_3 = \{d, e, f\},$$

$$C_7 = C_1 \oplus C_4 \oplus C_5 = \{b, c, d, e, f, g\}.$$

于是  $G$  的完全回路矩阵  $B$  是:

$$B = \begin{matrix} & a & b & c & d & e & f & g \\ \begin{matrix} C_1 \\ C_2 \\ C_3 \\ C_4 \\ C_5 \\ C_6 \\ C_7 \end{matrix} & \begin{bmatrix} 0 & 1 & 1 & 0 & 0 & 0 & 1 \\ 1 & 1 & 1 & 0 & 0 & 1 & 0 \\ 1 & 1 & 1 & 1 & 1 & 0 & 0 \\ 1 & 0 & 0 & 0 & 0 & 1 & 1 \\ 1 & 0 & 0 & 1 & 1 & 0 & 1 \\ 0 & 0 & 0 & 1 & 1 & 1 & 0 \\ 0 & 1 & 1 & 1 & 1 & 1 & 1 \end{bmatrix} \end{matrix}$$

(5) 证明定理: 设图  $G$  关于生成树  $T$  的基本回路矩阵和基本割集矩阵分别是

$$B_f = [B_{f12}], \quad Q_f = [Q_{f11}],$$

且它们的列与所表示的边的次序相同, 则

$$Q_f = [B_{f12}^T],$$

$$Q_f = [Q_{f11}^T].$$

证: 由等式

$$\theta_f B_f^T = [\theta_{f11}] \begin{bmatrix} I \\ B_{f12}^T \end{bmatrix} = \theta_{f11} + B_{f12}^T = 0,$$

有

$$\theta_{f11} = -B_{f12}^T,$$

于是

$$Q_f = [B_{f12}^T].$$

同理可证

$$B_f = [I \quad \theta_{f11}^T].$$

(6) 试求上图 (图3.12) 的基本回路矩阵与基本割集矩阵。

解: 取  $G$  的一棵生成树  $T = \{a, c, e, g\}$ .  $G$  关于  $T$  的基本回路组是

$$C_1 = \{a, b, c\},$$

$$C_2 = \{c, d, e\},$$

$$C_3 = \{e, f, g\},$$

$$C_4 = \{g, h\}.$$

于是  $G$  关于  $T$  的基本回路矩阵是

$$B_f = \begin{bmatrix} b & d & f & h & a & c & e & g \\ 1 & 0 & 0 & 0 & 1 & 1 & 0 & 0 \\ 0 & 1 & 0 & 0 & 0 & 1 & 1 & 0 \\ 0 & 0 & 1 & 0 & 0 & 0 & 1 & 1 \\ 0 & 0 & 0 & 1 & 0 & 0 & 0 & 1 \end{bmatrix}$$

$$B_{f/12} = \begin{bmatrix} 1 & 1 & 0 & 0 \\ 0 & 1 & 1 & 0 \\ 0 & 0 & 1 & 1 \\ 0 & 0 & 0 & 1 \end{bmatrix}, \quad B_{f/12}^T = \begin{bmatrix} 1 & 0 & 0 & 0 \\ 1 & 1 & 0 & 0 \\ 0 & 1 & 1 & 0 \\ 0 & 0 & 1 & 1 \end{bmatrix}.$$

由此可得,  $G$  的基本割集矩阵是

$$Q_f = \begin{bmatrix} b & d & f & h & a & c & e & g \\ 1 & 0 & 0 & 0 & 1 & 0 & 0 & 0 \\ 1 & 1 & 0 & 0 & 0 & 1 & 0 & 0 \\ 0 & 1 & 1 & 0 & 0 & 0 & 1 & 0 \\ 0 & 0 & 1 & 1 & 0 & 0 & 0 & 1 \end{bmatrix}.$$

(7) 设集合  $\mathcal{Y} = \{G_1, G_2, \dots, G_N\}$ ,  $N = 2^n$  在环和运算与数乘运算

$$0 \cdot G_i = \phi, \quad 1 \cdot G_i = G_i, \quad (G_i \in \mathcal{Y})$$

下构成域  $F = \{0, 1\}$  上的一个  $n$  维线性空间.

证: 首先,  $\mathcal{Y}$  对环和运算是封闭的. 这是因为,  $G_i \oplus G_j$  是由除去  $G_i$  和  $G_j$  中的公共边的所有边 (连同与它们关联的顶点) 组成的一个子图, 且环和运算满足交换律和结合律.

对于任意的  $G_i \in \mathcal{Y}$ , 有

$$\phi \oplus G_i = G_i \oplus \phi = G_i, \quad G_i \oplus G_i = \phi, \quad \text{故空集 } \phi \text{ 是零元素, } G_i \text{ 的负元}$$

素是  $G_i$  自身.

对于任意的  $a, b \in F$  和任意的  $G_i, G_j \in \mathcal{Y}$ , 有

$$(ab)G_i = a(bG_i),$$

$$(a+b)G_i = aG_i \oplus bG_i,$$

$$a(G_i \oplus G_j) = aG_i \oplus aG_j.$$

这是因为  $a, b$  只能取 0 或 1, 故用穷举法, 将  $a, b$  的各种取值情况一一代入验算, 即可证明上面三个等式成立.

其次, 设  $G$  的边集是  $E = \{e_1, e_2, \dots, e_n\}$ ,

考虑集合  $S = \{g_1, g_2, \dots, g_n\}$ ,

其中  $g_i$  是仅由一条边  $e_i$  ( $i = 1, 2, \dots, n$ ) 组成的子图.

对任意的  $G_i \in \mathcal{Y}$ , 若  $G_i$  的边集是  $\{e_{i1}, e_{i2}, \dots, e_{in}\}$ , 则

$$G_i = g_{i1} \oplus g_{i2} \oplus \dots \oplus g_{in},$$

即  $G$  的任一子图均可由  $S$  生成。

最后, 证明  $g_1, g_2, \dots, g_n$  是线性无关的。事实上, 若有一组不全为零的  $C_i$  ( $C_i$  是 0 或 1) 使得

$$C_1 g_1 \oplus C_2 g_2 \oplus \dots \oplus C_n g_n = \phi, \quad (*)$$

不失一般性, 可假设  $C_k = 1$ , 此时有  $C_k g_k = g_k$ , 因所有的  $C_i g_i$  ( $i \neq k$ ) 中均不含  $e_k$  边, 故它们与  $g_k$  的环和必含有边  $e_k$ , 这与等式 (\*) 相矛盾, 因此  $g_1, g_2, \dots, g_n$  线性无关。于是  $S$  是  $G$  的所有子图作成的线性空间  $\mathcal{Y}$  的一组基底, 且  $\mathcal{Y}$  的维数是  $n$ 。

(8) 图  $G$  如右图 (图 3.13) 所示, 求其构成的线性空间

解: 设图  $G$  的所有子图的集合为

$$\mathcal{Y} = \{\phi, G, G_1, G_2, \dots, G_{14}\}.$$

它们的图如下 (图 3.14) 所列:

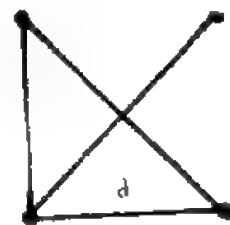


图 3.13

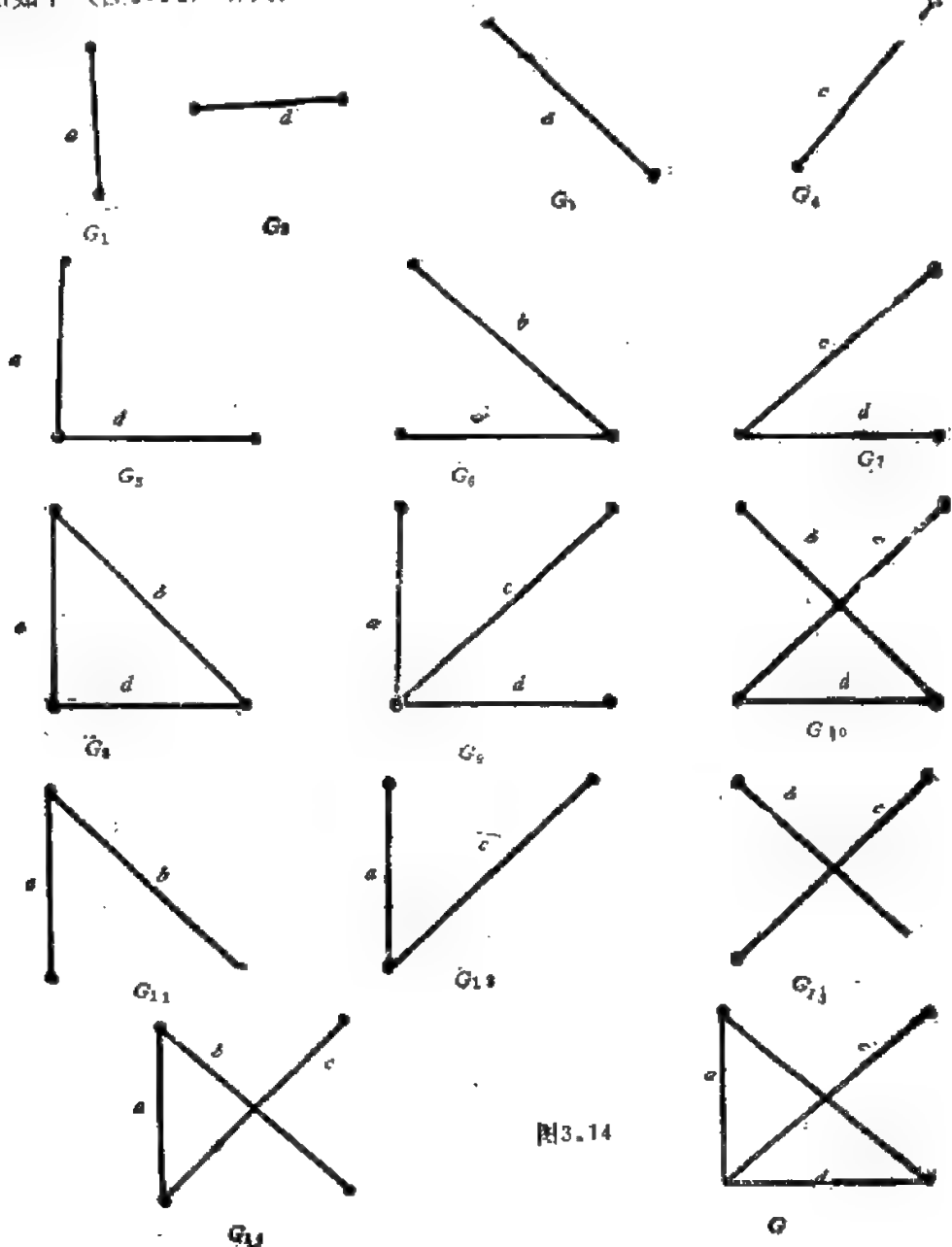


图 3.14

我们建立  $G$  的子图和向量的对应关系如下:

$$G_i \leftrightarrow X_i = (x_1, x_2, \dots, x_n),$$

其中

$$x_j = \begin{cases} 1, & e_j \in G_i, \\ 0, & e_j \notin G_i. \end{cases}$$

这样, 我们在空间  $\mathcal{S}$  和  $n$  维向量集合  $F_n$  之间建立了一个一一对应, 即

$$G_i \in \mathcal{S} \leftrightarrow X_i \in F_n,$$

且

$$\phi \leftrightarrow (0, 0, \dots, 0),$$

$$G \leftrightarrow (1, 1, \dots, 1).$$

$\mathcal{S}$  的一组基底对应  $F_n$  的一组基底:

$$(1, 0, \dots, 0) \leftrightarrow \{e_1\},$$

$$(0, 1, \dots, 0) \leftrightarrow \{e_2\},$$

.....

$$(0, 0, \dots, 1) \leftrightarrow \{e_n\}.$$

因此, 集合  $\mathcal{S}$  构成了域  $F = \{0, 1\}$  上的一个  $n$  维线性空间, 其基底为

$$S = \{G_1, G_2, G_3, G_4\}.$$

(9) 求图  $G$  (如右图3.15所示) 的环路空间的一组基底和它的全部元素.

解: 取  $G$  的一棵生成树  $T$  为

$$T = \{a, b, d, g\} \text{ (图中粗线所示), 图 } G \text{ 关于 } T \text{ 的基}$$

本回路组为

$$C_1 = \{a, b, c\},$$

$$C_2 = \{a, b, d, e\},$$

$$C_3 = \{a, b, d, g, h\},$$

$$C_4 = \{d, f, g\}.$$

它们的图形如下图 (图3.16) 所示:

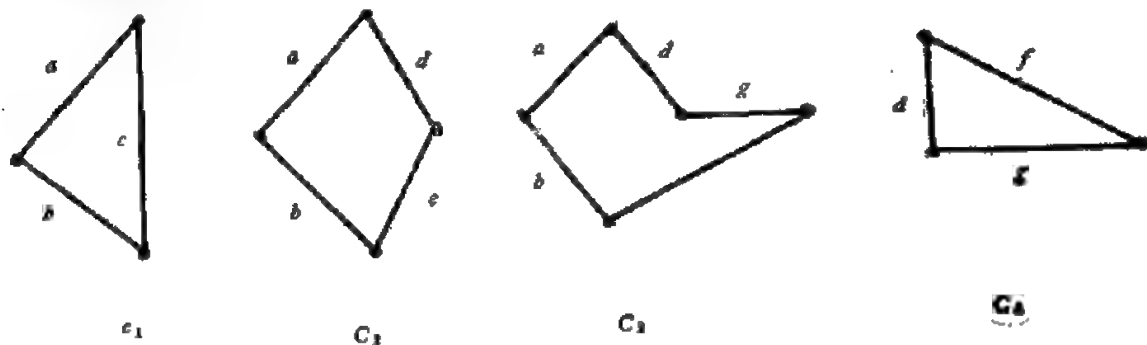


图3.16

$C_1, C_2, C_3, C_4$  的各种可能的环和是

$$B_1 = C_1 \oplus C_2 = \{c, d, e\},$$

$$B_2 = C_1 \oplus C_3 = \{c, d, g, h\},$$

$$B_3 = C_1 \oplus C_4 = \{a, b, c, d, f, g\},$$

$$B_4 = C_2 \oplus C_3 = \{e, g, h\},$$

$$B_5 = C_1 \oplus C_4 = \{a, b, e, f, g\},$$

$$B_6 = C_1 \oplus C_2 = \{a, b, f, h\},$$

$$B_7 = C_1 \oplus C_2 \oplus C_3 = \{a, b, c, e, g, h\},$$

$$B_8 = C_1 \oplus C_3 \oplus C_4 = \{a, e, f, g\},$$

$$B_9 = C_1 \oplus C_3 \oplus C_4 = \{a, f, h\},$$

$$B_{10} = C_2 \oplus C_3 \oplus C_4 = \{d, e, f, h\},$$

$$B_{11} = C_1 \oplus C_2 \oplus C_3 \oplus C_4 = \{a, b, c, d, e, f, h\}.$$

它们的图形分别是 (图3.17所示):

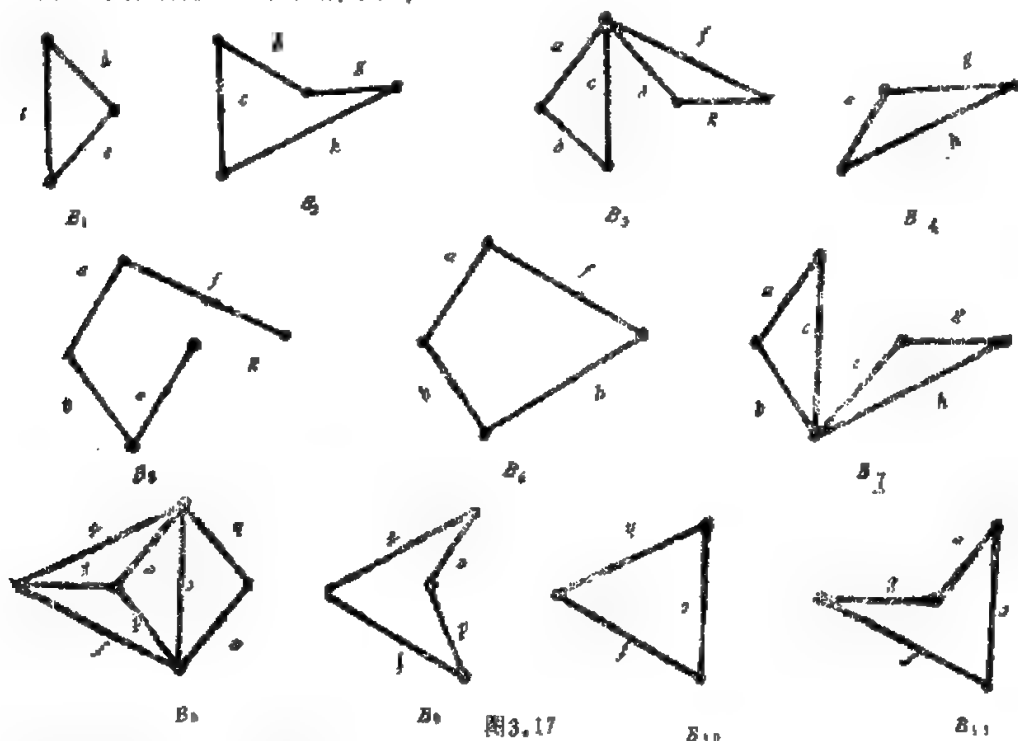


图3.17

图  $G$  的环路空间的全部元素是

$$\mathcal{J}(G) = \{\emptyset, C_1, C_2, C_3, C_4, B_1, B_2, B_3, B_4, B_5, B_6, B_7, B_8, B_9, B_{10}, B_{11}\},$$

$$B_1, B_2, B_{10}, B_{11},$$

其中的  $C_1, C_2, C_3, C_4$  是环路空间的一组基底.

(10) 求图  $G$  (如图3.18所示) 的断集空间和它的一组基底.

解: 顶点 1, 2, 3 的关联集分别是

$$S(1) = \{a, b, c\},$$

$$S(2) = \{a, d, f\},$$

$$S(3) = \{c, e, f\}.$$

它们的图形分别是 (图3.19所示):

显然,  $S(1), S(2), S(3)$  是线性无关的; 因此,  $S(1), S(2), S(3)$  作成  $G$  的断集空间的一组基底, 基底中

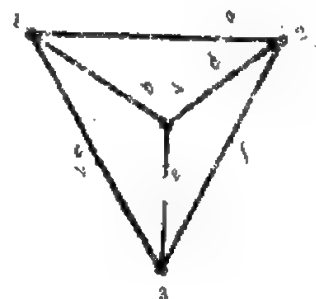


图3.18

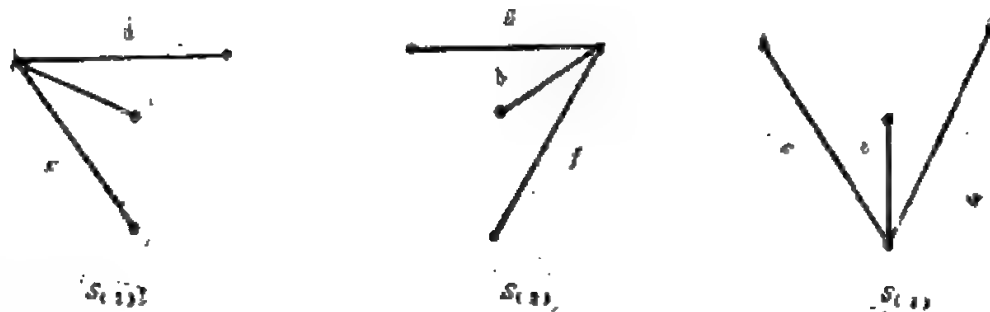


图3.19

元素的线性组合是

$$\begin{aligned} S(1) \oplus S(2) &= \{b, c, d, f\}, \\ S(1) \oplus S(3) &= \{a, b, e, f\}, \\ S(2) \oplus S(3) &= \{a, c, d, e\}, \\ S(1) \oplus S(2) \oplus S(3) &= \{b, d, e\}. \end{aligned}$$

它们的图形是 (图3.20所示) :

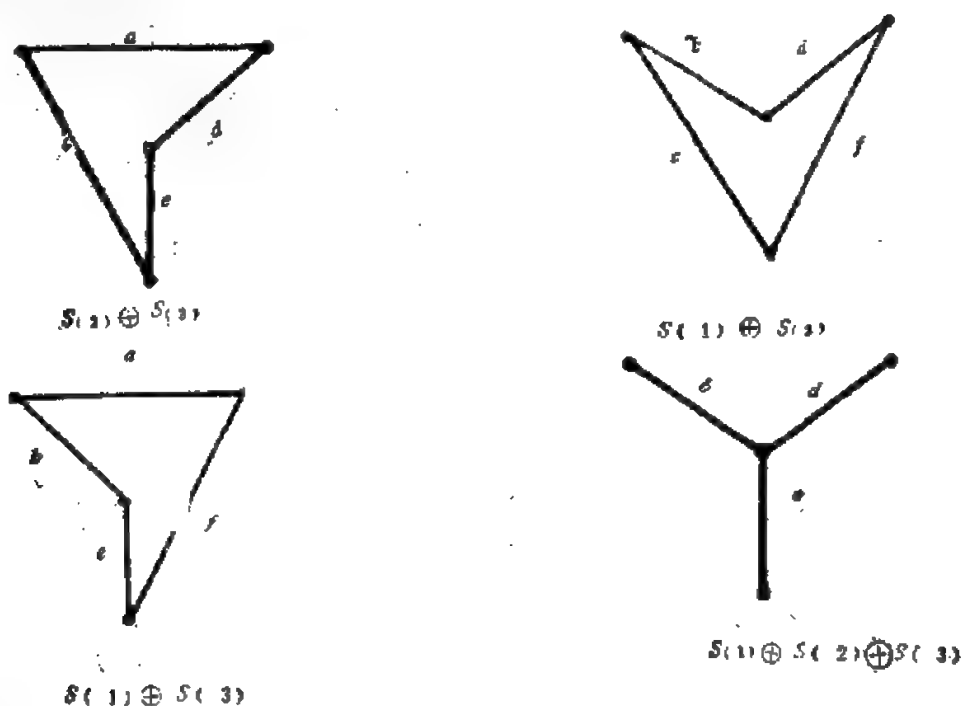


图3.20

图  $G$  的断集空间  $\mathcal{S}(G)$  是

$$\begin{aligned} \mathcal{S}(G) = \{ & \varnothing, \{a, b, c\}, \{a, d, f\}, \{c, e, f\}, \\ & \{b, c, d, f\}, \{a, b, e, f\}, \{a, c, d, e\}, \\ & \{b, d, e\} \}. \end{aligned}$$

可以验证, 顶点 2, 3, 4 的关联集

$$\begin{aligned} S(2) &= \{a, d, f\}, \\ S(3) &= \{c, e, f\}, \\ S(4) &= \{b, d, e\}. \end{aligned}$$

也是  $G$  的一组基底,  $G$  的断集空间的全部非零元素也可以由这组基底生成.

(11) 证明定理: 一个图  $G$  的边群和点群同构当且仅当  $G$  至多有一个孤立点, 且  $K_2$  不是  $G$  的一个支.

证: 令  $\alpha'$  是  $\Gamma_1(G)$  中的置换 ( $\Gamma_1(G)$  为  $G$  的边群), 它由  $\Gamma(G)$  中的置换  $\alpha$  导出. 按照  $\Gamma_1(G)$  中积的定义, 对于  $\Gamma(G)$  中所有的  $\alpha, \beta$ , 我们有

$$\alpha' \beta' = (\alpha \beta)'$$

于是映射  $\alpha \rightarrow \alpha'$  是从  $\Gamma(G)$  到  $\Gamma_1(G)$  上的一个群同态. 从而

$$\Gamma(G) \cong \Gamma_1(G)$$

当且仅当这个映射的核是平凡的.

必要性: 假设  $\Gamma(G) \cong \Gamma_1(G)$ . 则  $\alpha \neq i$  (恒等置换) 蕴含  $\alpha' = i$ . 若  $G$  有不司的孤立点  $v_1$  和  $v_2$ , 我们可以定义  $\alpha \in \Gamma(G)$  为  $\alpha(v_1) = v_2, \alpha(v_2) = v_1$ , 而对所有  $v \neq v_1, v_2$  时,  $\alpha(v) = v$ . 则  $\alpha \neq i$  而  $\alpha' = i$ . 若  $K_2$  是  $G$  的一个支, 取  $K_2$  的边为  $x = v_1 v_2$ , 和前面完全一样地定义  $\alpha \in \Gamma(G)$  得到  $\alpha \neq i$  而  $\alpha' = i$ .

充分性: 假定  $G$  至多有一个孤立点且  $K_2$  不是  $G$  的一个支. 若  $\Gamma(G)$  是平凡的, 则显然  $\Gamma_1(G)$  使每一条边不动从而  $\Gamma_1(G)$  也是平凡的. 于是假定存在  $\alpha \in \Gamma(G)$  使  $\alpha(u) = v \neq u$ , 则  $u$  的度等于  $v$  的度. 因为  $u$  和  $v$  不都是孤立的, 所以这个度不是零. 分如下二情况讨论:

1°  $u$  邻接于  $v$ . 令  $x = uv$ , 因为  $K_2$  不是一个支,  $u$  和  $v$  的度都大于 1. 所以有一条边  $y \neq x$  关联于  $u$ , 而  $\alpha'(y)$  关联于  $v$ . 所以  $\alpha'(y) \neq y$ , 即  $\alpha' \neq i$ .

2°  $u$  不邻接于  $v$ . 令  $x$  为任何一条关联于  $u$  的边. 则  $\alpha'(x) \neq x$ , 所以  $\alpha' \neq i$ .

(12) 设  $G$  是二分图, 试证: 可把  $G$  的顶点加以适当排列, 使  $G$  的邻接矩阵有如下形式:

$$\begin{bmatrix} 0 & A_{12} \\ \vdots & \vdots \\ A_{21} & 0 \end{bmatrix} \quad \text{其中 } A_{21} = A'_{12}$$

证: 设  $G$  的二分为  $(X, Y)$ , 其中  $X = \{x_1, \dots, x_n\}$ ,  $Y = \{y_1, \dots, y_m\}$ , 使  $G$  的顶点在邻接矩阵的行和列中排列次序为  $x_1, x_2, \dots, x_n, y_1, \dots, y_m$  即可得本题之结论.

(13) 试证: 若  $G$  是简单图, 且  $A$  的特征值各不相同, 则  $G$  的自同构群是 Abel 型的.

证: 可用一个置换矩阵  $P = [p_{ij}]$  来表示  $V(G)$  的一个置换  $\pi \in \Gamma(G)$ . 其中

$$p_{ij} = \begin{cases} 1, & \text{当 } v_i = \pi(v_j); \\ 0, & \text{其他.} \end{cases}$$

易证  $V(G)$  的置换所对应的置换矩阵也构成群且与置换群  $\Gamma(G)$  同构.

又设  $\pi \leftrightarrow P$ , 则  $\pi \in \Gamma(G) \iff PA = AP$ . 事实上, 若令  $v_n = \pi(v_1), v_i = \pi(v_j)$ , 则

$$(PA)_{nj} = \sum_i p_{ni} a_{ij} = a_{nj},$$

$$(AP)_{nj} = \sum_i a_{ni} p_{ij} = a_{nj},$$

于是  $PA = AP \iff a_{ij} = a_{ni}$

$$\iff v_i \text{ 与 } v_j \text{ 及 } v_n \text{ 与 } v_1 \text{ 保持相同的邻接性}$$

$$\iff \pi \in \Gamma(G).$$

设  $x$  是  $A$  属于特征值  $\lambda$  的一个特征向量, 则  $Ax = \lambda x$ , 对任意的  $P \leftrightarrow \pi \in \Gamma(G)$  有  $APx = PAx$   
 $\therefore P\lambda x = \lambda Px$ .

$\therefore Px$ 也是A的属于特征值 $\lambda$ 的特征向量。由于A的特征值互异，故属于同一特征值的特征向量线性相关。

$\therefore Px = ax$ ,  $a$ 为实数，于是 $P^2x = P(ax) = a^2x, \dots, P^kx = a^kx, \dots$ ，因 $\Gamma(G)$ 为有限群，故有整数 $k$ 存在使得 $P^k = I$ ，故 $P^kx = a^kx = x$ ，即 $a^k = 1$ ，得到 $a = \pm 1$ ，进而 $Px = \pm x$ ,  $P^2x = x$ 。

$P^2x = x$ 对每一特征向量均成立，但由于A有互异的特征值，故有 $\nu(G)$ 个线性无关的特征向量，组成 $\nu$ -维空间的一组基，故任一 $\nu$ -维向量可写成这 $\nu$ 个特征向量的线性组合。不妨设

$\nu$ 个特征向量为 $x_1, x_2, \dots, x_\nu$ ，任一向量 $x = \sum_{i=1}^{\nu} a_i x_i$ ，故有

$$P^2x = P^2 \sum_{i=1}^{\nu} a_i x_i = \sum_{i=1}^{\nu} a_i P^2 x_i = \sum_{i=1}^{\nu} a_i x_i = x,$$

即 $P^2x = x$ 对任意的 $\nu$ -维向量均成立。由 $x$ 的任意性知 $P^2 = I$ ，于是对任意的

$P_1 \leftrightarrow \pi_1 \in \Gamma(G)$ ,  $P_2 \leftrightarrow \pi_2 \in \Gamma(G)$ 有

$$P_1 P_2 \leftrightarrow \pi_1 \pi_2 \in \Gamma(G),$$

故 $(P_1 P_2)^2 = I$ ，即

$$P_1 P_2 = (P_1 P_2)^{-1} = P_2^{-1} P_1^{-1}$$

又因 $P_1^2 = I$ ,  $P_2^2 = I$ ，所以

故

$$P_1 = P_1^{-1}, P_2 = P_2^{-1},$$

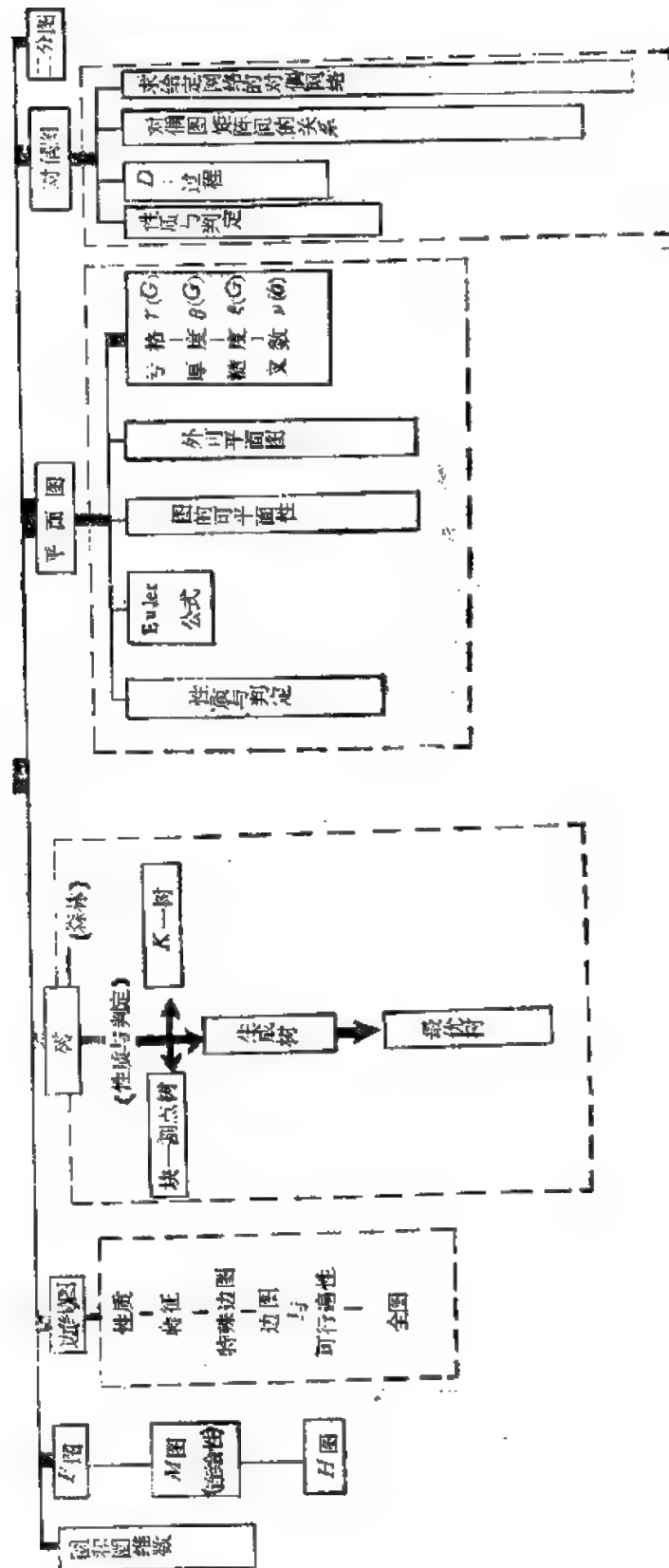
$$P_1 P_2 = P_1^{-1} P_2^{-1} = P_2 P_1,$$

即与自同构群同构的置换矩阵是Abel型的，故 $\Gamma(G)$ 也是Abel型的。



# 四、特殊图

## (一) 结 构



## (二) 概 念

### 1. 图

(1) 欧拉图：自图的任一点出发，顺着图的边行进，每边必须经过一次且只许经过一次，最后再回到原出发点，称这样的图为欧拉图。

(2) 无环无向图  $G = (X, E)$  上的闭路：设在无环无向图  $G = (X, E)$  上给了一个边的序列

$Z = (\theta_1\theta_2, \theta_2\theta_3, \dots, \theta_{k-1}\theta_k, \theta_k\theta_1)$ ，在此序列里，无重边，可能有重点，自  $\theta_1$  循序列里边的顺序行进到  $\theta_k$  再回到  $\theta_1$ ，称为图  $G$  上的一个闭路。(图4.1)

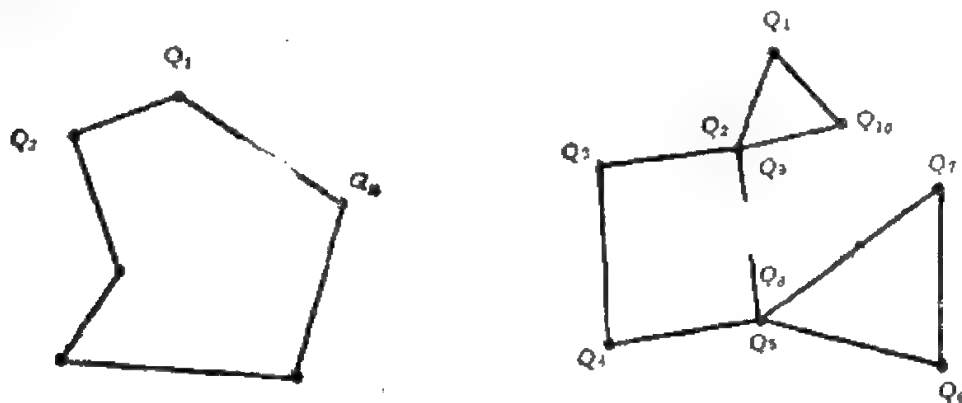


图4.1

(3) 环和：设给定两个集合  $A$  与  $B$ ，取其在  $A$  或  $B$  中，但不同时在  $A$  与  $B$  中的元素作为集合  $C$ ，称  $C$  为  $A$  与  $B$  的环和，记作  $A \oplus B$ 。

(4) 余圈：已给无向图  $G = (X, E)$ ，将其顶点集  $X$  任作一个分划  $(X_1, X_2)$ ，使  $X_1, X_2 \neq \emptyset$ ； $X_1 \cap X_2 = \emptyset$ ； $X_1 \cup X_2 = X$ ，图  $G$  的边，其一个顶点在  $X_1$  内另一个顶点在  $X_2$  内，所有这样的边构成边集  $E$  的一个子集，称为图  $G$  的余圈，记作  $\omega[X_1, X_2]$ 。

初级余圈：若有  $A, B \neq \emptyset$ ； $A, B \subset X$ ； $A \cup B = C$ ； $A \cap B = \emptyset$ ，其中  $G_A$  与  $G_B$  都是  $G$  的联接子图， $G_C$  是  $G$  的联接分子图，则  $G$  的边，其一个顶点在  $A$  内，另一个顶点在  $B$  内者构成边集  $E$  的一个子集合，称为图  $G$  的初级余圈。

广义圈：无向图  $G = (X, E)$  的任一部分子图，它是若干个欧拉圈之合，称为广义圈。

(5) 顶边结合的简化矩阵：无环联接图  $G = (X, E)$  的顶边结合矩阵  $M$  是  $(n-1)$  秩的，其每  $n-1$  行都线性无关。在一般计算中，可以任意抹去一行，写成一个  $(n-1) \times m$  型矩阵，称为顶边结合的简化矩阵，记作  $M_R$  (这个矩阵的每一行表示该行所代表的那个顶点上的余圈，这些余圈构成图  $G$  余圈子空间的底)。

### 2. E图—M图—H图

(6)  $E$  图：若一个图的每一个顶点的度均为偶数，则称此图为欧拉图或简称  $E$  图。

$E$  链：经过图的每一条边的链，称为欧拉链、或简称  $E$  链。

(7)  $M$  图：若一个图只有两个顶点的度数为奇数，则称此图为  $M$  图。这两个度数为奇数

的顶点称为  $M$  图的端点。

(8)  $H$  通路: 包含图的每个顶点的通路, 称为 Hamilton 通路或  $H$  通路。

$H$  回路: 包含图的每个顶点的回路, 称为 Hamilton 回路或  $H$  回路。

$H$  图: 若一图包含一条  $H$  回路, 则称此图为 Hamilton 图或  $H$  图。

(9) 度序列: 设  $v_1, v_2, \dots, v_n$  为  $n$  阶图  $G$  的  $n$  个顶点, 记  $d_i = d(v_i)$  ( $i = 1, 2, \dots, n$ ), 称  $(d_1, d_2, \dots, d_n)$  为图  $G$  的度序列。

(10) 闭包: 设  $G$  为  $n$  阶图, 若任一对顶点  $u, v$  满足  $d(u) + d(v) \geq n$ , 且边  $(u, v) \in E(G)$ , 则将  $(u, v)$  加于图  $G$ , 得图  $G + (u, v)$ ; 若反复加边直到无边可加为止, 这样所得到的图称为图  $G$  的闭包, 记作  $\hat{G}$  (图 4.2)。

(11) 令图  $G'$  的顶点集是三个互质的点集  $A, B, C$  之合, 其中  $A$  是  $k - g$  个孤立点集  $K_{k-g}$ ,  $B$  是集团  $K_k$  的顶点集,  $C$  是集团  $K_{n-k-g}$  的顶点集。将  $B$  的每个顶点联到  $A \cup C$  的每个顶点得图  $G'$ , 其阶是  $n$ , 其各顶点的次数为  $d_i$ :

$$\begin{cases} d_{G'}(a) = k & \text{当 } a \in A, \\ d_{G'}(b) = n - 1 & \text{当 } b \in B, \\ d_{G'}(c) = n - k + g - 1 & \text{当 } c \in C. \end{cases}$$

图  $G'$  称为原图  $G$  的统帅图。

(12)  $H$  一链: 若存在一条链始于一个顶点而终于另一个顶点, 且经过图的每个顶点一次且仅一次, 则称此链为哈密尔顿链, 简称为  $H$  一链。

$H$  一联: 一个无向图  $G = (X, E)$ , 其任一对点 (相邻或否) 之间, 总至少有一个  $H$  一链将其相联, 则这样的图称为是哈密尔顿联接的, 简记作  $H$  一联。

$q$ - $H$ -联: 任给边集  $F$ ,  $|F| = q$ , 而  $(X, F)$  是若干个顶点互质的初级链,  $x, y$  是两个不同的初级链的顶点。若无向简单图  $G$  总有  $H$ -链包含  $F$ , 取此二点做为它的起点和终点, 则图  $G$  称为是  $q$ - $H$ -联的。

$q$ - $H$ -联图类  $\mathcal{H}(n, q)$ : 已给  $n \geq 3$ ,  $0 \leq q \leq n - 2$ , 一组  $n$  阶简单无向图  $G = (X, E)$ , 满足下二条件:

(1°) 在  $G$  内任取边集  $F$ ,  $|F| = q$ , 只须  $(X, F)$  是若干个是互质的初级链的合, 则在  $G$  内存在  $H$ -圈, 包含  $F$ ;

(2°) 若  $G \in \mathcal{H}(n, q)$ ,  $u, v$  二点不相邻, 联  $u, v$  得新边  $[u, v]$ , 加进图  $G$  得新图  $G' = G + [u, v]$ , 则  $G' \in \mathcal{H}(n, q)$ 。

这些无向简单图  $G$  构成一个类, 称为  $q$ - $H$ -联图类, 记作  $\mathcal{H}(n, q)$ 。

(13) 哈密尔顿道路图: 图  $G$  的哈密尔顿道路图  $H(G)$  是和  $G$  具有相同顶点集的图, 并且其中任意两个顶点  $u$  和  $v$  是邻接的当且仅当  $G$  含有一条哈密顿  $u-v$  道路 (即它含有  $G$  的每一个顶点)。

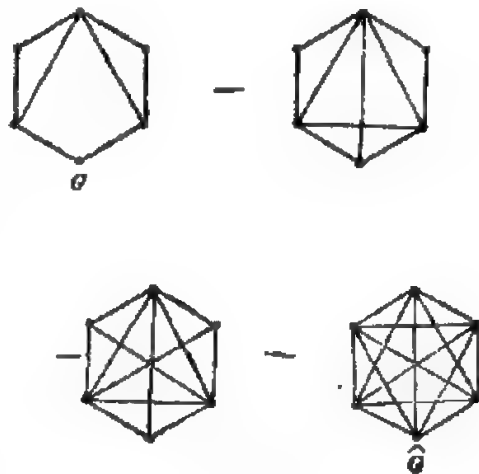


图 4.2

自哈密尔顿道路图: 若  $G \cong H(G)$ , 则称  $G$  是自哈密尔顿道路图.

(14) 哈密尔顿道路图序列的极限: 设哈密尔顿道路图序列为

$$G, H(G), H^2(G), H^3(G), \dots,$$

若存在一个正整数  $n$ , 使得对于每一个正整数  $k$ , 均有  $H^{(k)}(G) \cong F$ , 则图  $F$  为此哈密尔顿道路图序列的极限.

(15) 弦加法的图: 若图  $G$  的顶点可以标记成这样: (1°)  $v_1, v_2, \dots, v_p, v_1$  是  $G$  中的一个哈密尔顿圈  $C$ ; (2°) 对于每一个偶整数  $i$  ( $2 \leq i \leq p$ ),  $\deg_G v_i = 2$ ; (3°)  $C$  含有弦 (联结  $C$  中两个非相邻顶点的边); (4°)  $v_j v_k$  是  $C$  中的弦, 对于任意整数  $l$  意味着  $v_{j+2l}, v_{k+2l}$  是  $C$  中的弦, 这里的下标是以  $p$  为模的, 则称  $G$  为弦加法的.

### 3. 边 (线) 图

(16) 边图: 将一图  $G$  的边的集  $X$  看作  $V(G)$  的 2 点子集的一个族,  $G$  的边图记作  $L(G)$  是交图  $\Omega(X)$ . (显然,  $L(G)$  的点是  $G$  的边, 当  $G$  中相应的边邻接时,  $L(G)$  的两个点邻接) (图 4.3)

迭边图:  $L^*(G) = L(L^{-1}(G))$ .

图  $G$  是边图: 若它同构于某个图  $H$  的边图  $L(H)$ .

(17) 细分: 若  $e = uv$  是  $G$  的一条边, 又  $w$  不是  $G$  的一个点, 则当用边  $uw$  和  $wv$  来代替  $e$  时, 称  $e$  被细分.

细分图  $S(G)$ : 若  $G$  的每一条边被细分, 产生的图称为细分图, 记作  $S(G)$ . (图 4.4)

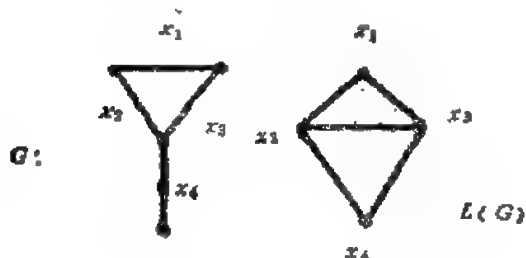


图 4.3

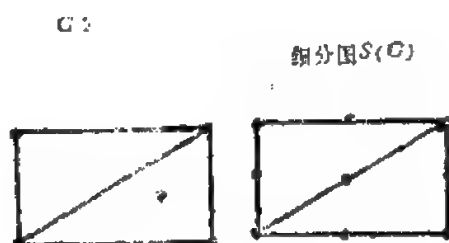


图 4.4

$S_n(G)$ : 记在  $G$  的每条边中插进  $n$  个度为 2 的新点来得到的图 (显然,  $S(G) = S_1(G)$ ).

$$L_n(G) = L(S_{n-1}(G)) \quad (\text{一般地, } L_n(G) \neq L^n(G)).$$

(18) 邻元素: 一个图的点和边都称为它的元素. 一个图的两个元素若它们是关联的或邻接的, 则称它们为邻元素.

全图  $T(G)$ : 以  $V(G) \cup X(G)$  为点集, 当  $T(G)$  的两个点在  $G$  中是邻元素时它们邻接 (注:  $X(G)$  为  $G$  的边集).

(19) 边 Ramsey 数  $r_1(m, n)$ : 是满足下列条件的最小的正整数  $P$ , 它使得每一个有  $P$  个点的连通图或者含有  $n$  条两两不邻接的边或者含有  $m$  条邻接在一点的边, 即是形图  $K_m$ . (即  $r_1(m, n)$  是使得任何一个有  $P$  个点的图  $G$ ,  $L(G)$  含有  $K_m$  或  $L(G)$  含有  $K_n$  的最小的

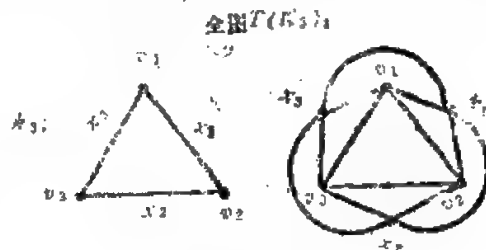


图 4.5

正整数  $P$ ) .

#### 4. 树

(20) 星树:  $T_n$  的树枝共有  $n$  个顶点  $v_0$  .

边树:  $T_2$  的树枝实际上是一条路径.

(21) 悬挂点: 度数为 1 的顶点称为悬挂点.

悬挂边: 悬挂点关联的那一条边称为悬挂边.

(22) 离心率  $e(v)$  : 一个连通图  $G$  中一个点  $v$  的离心率  $e(v)$  是对于  $G$  中的所有的  $u$  取的  $\max d(u, v)$  .

半径  $r(G)$  : 是各个点中最小的离心率 (最大的离心率是直径) .

中心点: 若对于一个点  $v$  ,  $e(v) = r(G)$  , 则  $v$  是一个中心点.

中心:  $G$  的所有中心点的集是  $G$  的中心.

(23) 分枝: 一个树  $T$  在一个点  $u$  处的分枝是包含  $u$  作为一个端点的最大子树.

权:  $T$  的一个点  $u$  处的权是  $u$  处的任何一个分枝中边的最大数目.

(24) 形心点: 一个点  $v$  如果有最小的权,  $v$  称为是树  $T$  的形心点.

形心:  $T$  的形心由所有形心点组成.

(25) 块—割点图: 对于一个连通图  $G$  , 它有块  $B_i$  和割点  $C_j$  ,  $G$  的块—割点图, 记作  $bc(G)$  定义为一个图, 它有点集  $\{B_i\} \cup \{C_j\}$  , 若两个点中一个对应于一个块  $B_i$  , 另一个对应于一个割点  $C_j$  , 且  $C_j$  在  $B_i$  中, 则这两个点邻接. 显然  $bc(G)$  是一个双图. (图 4.6)

(26)  $K$ -树: 连通图  $G$  中的一个  $K$ -树, 是从  $(K-1)$ -树中去掉任何一个边而得到的子图. 表作  $ts_1, s_2, \dots, s_K$  .

(其中  $s_1, s_2, \dots, s_K$  用来表示  $K$ -树中属于  $K$  个不同部分的节点集合) .

(27) 连通顶点集合: 对于一个连通图  $G$  , 它的一个  $K$ -树将该图的顶点分为  $K$  个部分每个部分的全部顶点称为一个连通顶点集合, 用  $K$  表示. 称这个  $K$ -树的各个连通顶点集合的总体为顶点分类集合, 用  $V_c(K)$  示之.

(28)  $K$ -树组: 对应于任一顶点分类集合的  $K$ -树的全体称为一个  $K$ -树组  $T_c(K_1, K_2, \dots, K_K)$  , 简记作  $T_c(K)$  .

(29) 补树: 若  $T_i$  是图  $G$  的一个树, 它也是图  $G$  的一个子图, 则它的补子图  $\bar{T}$  称为补树 (或余树) . (图 4.7)

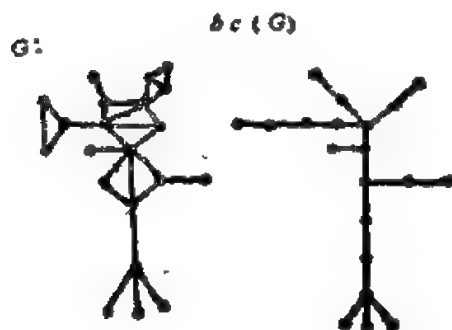


图 4.6



图 4.7

(30) 树多项式:  $G$  的一个生成树的项是指它的边的积;  $G$  的树多项式定义为它的各个生成树的项的和。

### 5. 平面图

(31)  $G$  可嵌入平面: 一个图  $G$ , 若能把它画在平面上, 且除端点外任意两条边均不相交, 则称  $G$  可以嵌入平面。

$G$  为可平面图: 若图  $G$  可以嵌入平面, 则称  $G$  为可平面图。

平面图: 可平面图在平面上的一个嵌入称为一个平面图。

(32) 面: 设  $G$  是一个平面图, 图的边所包围的一个区域, 其内部既不含图的顶点, 也不含图的边, 这样的区域称为  $G$  的一个面。

约当 (Jordan) 曲线: 在平面上一个封闭而本身没有交点的连续曲线。

边界: 面的边界就是包围该面的诸边所构成的回路 (即电路理论中所称的网孔)。

外 (内) 部面: 平面图  $G$  的外部的无限区域当作一个面, 称为外部面或无限面; 余者称为内部面或有限面。

相邻的: 若两个面的边界至少有一条公共边, 则称两个面为相邻的, 否则称为不相邻的。

(33) 最大可平面图: 设  $G$  为可平面图, 若任二互不邻接的顶点  $u$ 、 $v$ , 使得  $G + (u, v)$  成为不可平面图, 则称  $G$  是最大可平面图。 (图4.9)

最大平面图: 最大可平面图的一个平面嵌入称为最大平面图。

(34) 同胚: 若图  $G_1$  可由图  $G_2$  经过下列手续得到: 移去边  $(v_1, v_2)$ , 加上一个新的顶点  $v$  与  $v_1, v_2$  邻接, 则称  $G_1$  与  $G_2$  同胚。 (图4.10)

(35) 关系 “ $\sim$ ”: 设  $H$  是  $G$  的一个子图, 在边集  $E(G) - E(H)$  中定义一个关系 “ $\sim$ ”:

(1°) 若  $e_1, e_2 \in E(G) - E(H)$ ,  $e_1$  和  $e_2$  由一条不在  $E(H)$  中的边组成的链  $\mu$  相连接, 且  $e_1$  是  $\mu$  的第一条边,  $e_2$  是  $\mu$  的最后一条边;

(2°)  $\mu$  的内部顶点不是  $H$  的顶点, 则  $e_1 \sim e_2$  (易证关系 “ $\sim$ ” 是一个等价关系)。

(36) 片: 由关系 “ $\sim$ ” 的一个等价类诱导出的  $G - E(H)$  的子图, 称为  $G$  中  $H$  的片。

附着点: 片与  $H$  的公共点称为片的附着点。

$k$ -片: 具有  $k$  个附着点的片, 称为  $k$ -片。

等价  $k$ -片: 具有相同附着点的两个  $k$ -片, 称为等价  $k$ -片。

线段:  $k \geq 2$  的  $k$ -片附着点把回路  $C$  分成  $k$  个边不重的通路。每个通路称为  $D$  的线段。

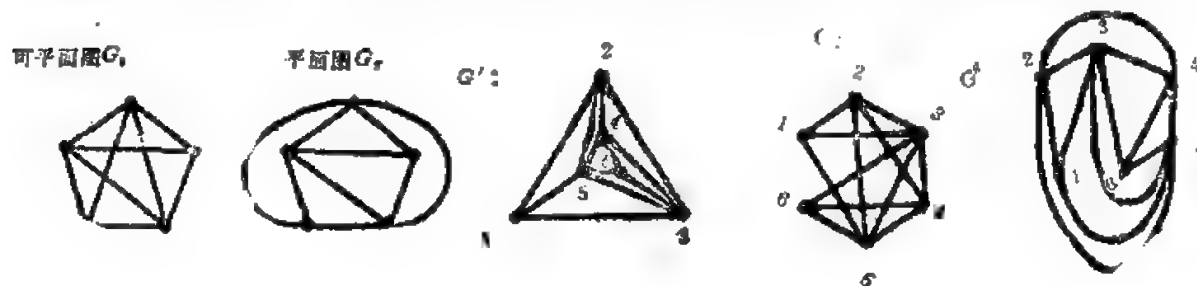


图4.8

图4.9

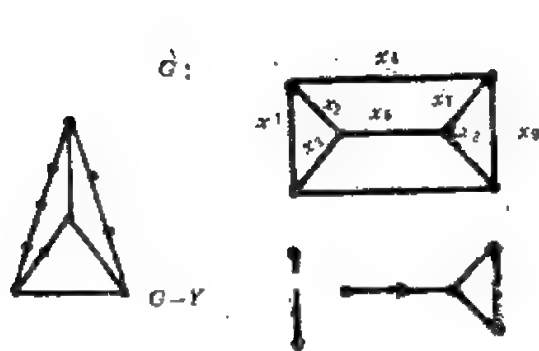


图4.10

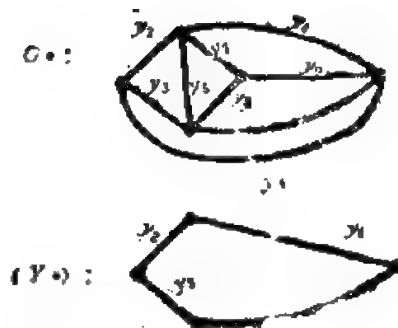


图4.11

**重叠:** 若一个片的所有附着点位于另一片的某一线段中, 则称这两片不重叠, 否则称为重叠。

**B 和 B' 相间:** 若在回路 C 上存在四个不同的顶点  $u, v, u', v'$ , 使得  $u$  和  $v$  是片 B 的附着点,  $u'$  和  $v'$  是片 B' 的附着点, 且这四个顶点以  $u, u', v, v'$  的次序出现在 C 上, 则称 B 和 B' 相间。

(37) **初等收缩:** 一个图 G 的一个初等收缩由等同两个邻接的点  $u$  和  $v$  得到, 即移去  $u$  和  $v$ , 再加上一个新点  $w$ , 使它邻接于所有邻接于  $u$  或  $v$  的点。

**收缩:** 一个图可收缩到一个图 H, 若 H 可以从 G 通过一系列初等收缩得到。

(38) **相对补图:** G 的一个子图 H 的相对补图  $G-H$  定义为去掉 H 的边得到的子图。

**组合对偶:** 一个图  $G^*$  是图 G 的组合对偶, 若在它们的边集之间有一个一一对应, 使得不论如何选定边的对应子集 Y 和  $Y^*$ , 总有

$$m^*(G-Y) = m^*(G) - m(\langle Y^* \rangle),$$

其中  $\langle Y^* \rangle$  是以  $Y^*$  为边集的子图。(图4.11)

(39) **1-骨架:** 每个多面体联系着一个图, 这个图只由它的顶点和它的边组成, 称为它的1-骨架。

(40) **外可平面的:** 若一个可平面图可以嵌入平面而使它的所有顶点在同一个面上, 它就称为是外可平面的。(图4.12)

(41) **边递增的回路矩阵  $B_{1..}$ :** 将完全回路矩阵  $B_{1..}$  中各行重新排列, 使各行的“1”的数目不少于前一行, 则得到  $B_{1..}$ 。

**边集矢量 E:** 是一个  $n$  维列矢量,  $n$  是边递增的回路矩阵  $B_{1..}$  的行数, E 的第  $k$  个元素对应于  $B_{1..}$  的第  $k$  行, 其值为第  $k$  行中“1”的个数。

**回路组合矢量  $C_{1..}$ :** 是一个  $n$  维行矢量,  $n$  是边递增的回路矩阵  $B_{1..}$  的行数, 其中  $e = v + 2$  个元素是 1, 余者是 0。每个回路组合矢量  $C_{1..}$  表示一个回路组合,  $C_{1..}$  中各元素 1 所对应的序号就是参加该回路组合的那些回路的序号。

**本原回路组合矢量  $C_{1..}$ :** 回路组合矢量  $C_{1..}$  中, 那些在相邻的“1”元素间夹有的“0”元素个数总数不超过一个的矢量, 称为本原回路组合矢量  $C_{1..}$ 。

(42) **亏格  $\gamma(G)$ :** 是必须在球面上加上的柄的最少数目, 以致使 G 可嵌入到此曲面上。

**厚度  $\theta(G)$ :** 其并等于 G 的可平面子图的最少数目,

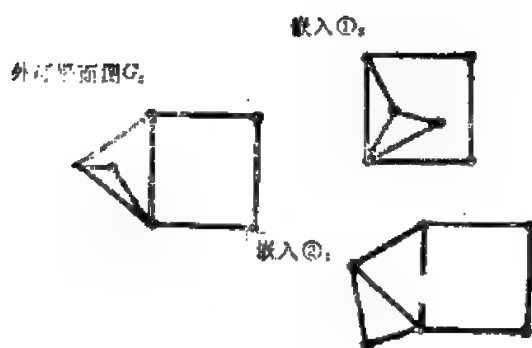


图4.12

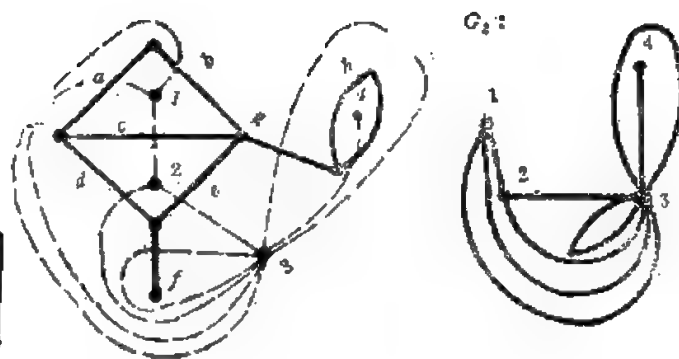


图4.13

糙度  $\zeta(G)$  :  $G$  内边不相交的不可平面子图的最多数目.

叉数  $\nu(G)$  : 是当将  $G$  画在平面上时相交的边对的最少数目.

## 6. 对偶图

(43) 边——对应: 若  $G_1 = (V_1, E_1)$  和  $G_2 = (V_2, E_2)$  边数相同, 设  $E_1 = \{e_{11}, e_{12}, \dots, e_{1n}\}$ ,  $E_2 = \{e_{21}, e_{22}, \dots, e_{2n}\}$ , 令  $e_{1i} \leftrightarrow e_{2i} (i = 1, 2, \dots, n)$ , 则称  $G_1$  和  $G_2$  是边——对应的.

对应子图: 设  $G_1$  和  $G_2$  是边——对应的,  $g_1$  是  $G_1$  中由边  $e_{1j_1}, e_{1j_2}, \dots, e_{1j_k}$  组成的子图, 则  $G_2$  中由对应边  $e_{2j_1}, e_{2j_2}, \dots, e_{2j_k}$  组成的子图  $g_2$  称为  $g_1$  的对应子图.

对偶图: 若  $G_1$  和  $G_2$  的边存在——对应, 使得  $G_1$  的每个子图  $g_1$  有  $n_1 = R_2 - r_2$ , 则称  $G_2$  是  $G_1$  的对偶 (这里  $n_1$  是子图  $g_1$  的零度,  $R_2$  是  $G_2$  的秩,  $r_2$  是  $G_2$  中对应于  $g_1$  的子图  $g_2$  的补  $\bar{g}_2$  的秩).

(44)  $D$ -过程: 设平面图  $G$  有  $f$  个面 (包括外部面) 并设它们是  $S_i (i = 1, 2, \dots, f)$ , 在  $G$  的每个面中放置一个顶点, 令  $S_i$  中的顶点为  $v_i$ , 若两个面  $S_i, S_j$  相邻, 用边  $(v_i, v_j)$  连接  $v_i$  和  $v_j$ , 使它与面  $S_i, S_j$  的公共边只相交一次, 且与图的其他边界无公共点. 这样得到一个有  $n_2$  条边 ( $n_2$  是图  $G$  的边数) 和  $f$  个顶点的图  $G'$ . 这种从图  $G$  求得  $G'$  的过程称为  $D$ -过程. (图4.13)

## 7. 二分图 (偶图)

(45) 行和向量: 设  $(0, 1)$ -矩阵是  $m \times n$  型, 第  $i$  行上 “1” 的个数是  $p_i$ , 则  $(p_1, p_2, \dots, p_m)$  称为这个  $(0, 1)$ -矩阵的行和向量.

列和向量: 设其第  $j$  列上 “1” 的个数是  $g_j$ , 则  $(g_1, g_2, \dots, g_n)$  是其列和向量.

(46) 最大矩阵: 取  $P = (p_1, p_2, \dots, p_m)$ ,  $S = (s_1, s_2, \dots, s_n)$  分别为行和向量与列和向量的  $m \times n$  型  $(0, 1)$ -矩阵. 记作  $\bar{A}$ .

(47) 向量  $S$  被向量  $S^*$  所统帅: 二向量  $S = (s_1, s_2, \dots, s_n)$  与  $S^* = (s_1^*, s_2^*, \dots, s_n^*)$  其元素都是非负整数, 设下列条件能满足:

(1°)  $s_1 \geq s_2 \geq \dots \geq s_n, s_1^* \geq s_2^* \geq \dots \geq s_n^*$ ;

(2°)  $\sum_{j=k}^n s_j \leq \sum_{j=k}^n s_j^* (k = 1, 2, \dots, n-1),$



$$\sum_{j=1}^n s_j = \sum_{j=1}^n s_j^*,$$

则称向量  $S$  被向量  $S^*$  所统帅, 记作  $S < S^*$ .

(48) 径集: 在二分图  $G = (X, Y, E)$  中, 我们可在顶点集  $X \cup Y$  里任取一组顶点  $A \subset X \cup Y$ , 使用  $G$  中每一边至少有一顶点含在  $A$  内, 这样一个顶点的集合称为径集.

### (三) 定 理

#### 1. 圈

(1) 已给图  $G = (X, E)$ , 有限 (含有限个顶点与有限条边)、无环、无孤立点) 其每一顶点上的次数都为偶  $\implies$  每个顶点在一个闭路上.

(2) 已给图  $G = (X, E)$ , 有限、无环、无孤立点, 设在其上有二闭路  $Z_1 = (p_1, p_2, \dots, p_r, p_1)$  与  $Z_2 = (q_1, q_2, \dots, q_s, q_1)$ , 若此二闭路有共同顶点  $q_1$ , 无共同边  $\implies$  此二闭路可合并成一闭路.

(3) 一个无环无向多重图  $G = (X, E)$  是欧拉图  $\iff$  (i) 图是联接的; (ii) 其每个顶点的次数为偶.

(4) 欧拉图  $E$  是一个初级圈或是边互质 (即彼此无公共边) 的初级圈之合.

(5) 无向图  $G = (X, E)$  的任一圈是初级圈或者是若干个边互质的初级圈之合.

(6) 有限的有向图  $G = (X, U)$  是一个欧拉回路.

(7) 无向图若干个初级圈的环和是一个圈.

(8) 在无向图  $G = (X, E)$  里, 二余圈的环和是一余圈.

(9) 任一余圈是边互质的初级余圈之和.

(10) 无环图  $G = (X, E)$  其所有的圈 (包括广义圈) 加上  $\phi$ -圈构成一个向量子空间.

(11) 无环图  $G = (X, E)$ , 其所有的余圈加上  $\phi$ -余圈构成一个向量子空间.

(12) 圈空间的维数  $\geq m - n + 1$ .

(13) 无环联接图  $G = (X, E)$ , 设  $T$  是其跨顶树,  $T_c$  是相应的余树. 在  $T$  上任取一边  $e$  加进  $T_c \implies$  部分图  $T_c + e$  中将含一个且仅一个初级余圈.

(14) 设无环联接图  $G = (X, E)$  的余圈子空间的维数记为  $\mu(G) \implies \mu(G) \geq n - 1$ .

(15) 无环联接图  $G = (X, E)$  上任一初级圈和任一初级余圈是相互正交的.

(16) 无环联接图  $G$  的圈维数是  $\nu(G) = m - n + 1$ , 余圈维数是  $\mu(G) = n - 1$ .

(17) 无环联接图  $G = (X, E)$ , 任取跨顶树  $T$ , 其相应的余树设为  $T_c \implies$  在  $T$  中每次取边  $e$  加进  $T$ , 所得到的  $m - n + 1$  个初级圈构成圈空间的一个基底. 将  $T$  中每一边  $e$  加进余树  $T_c$ , 所得到的  $n - 1$  个初级余圈构成余圈空间的一个基底.

(18) 无环图  $G = (X, E)$  具  $n$  个顶点、 $m$  条边、 $p$  个联接的分子图  $\implies$  圈维数是  $\nu(G) = m - n + p$ .

(19) 无环图  $G = (X, E)$  具  $n$  个顶点、 $m$  条边、 $p$  个联接的分子图  $\implies$  余圈维数

是

$$\mu(G) = n - p.$$

(20) 无环图  $G = (X, E)$  共有  $2^{n(n-1)/2}$  个圈, 其中包含  $\phi$ -圈. 图  $G$  共有  $2^{n(n-1)/2}$  个余圈, 其中包含  $\phi$ -余圈.

(21) 含  $n$  个顶点、 $n-1$  条边的无环图  $G = (X, E)$  成树  $\Leftrightarrow$  其顶边结合矩阵的秩为  $n-1$ .

(22) 含  $n$  个顶点、 $m$  条边的无环联接图  $G = (X, E)$ , 其顶边结合矩阵  $M$  是  $n-1$  秩的. 其中任意  $n-1$  个列相应的  $n-1$  边构成一个跨顶树  $\Leftrightarrow$  这  $n-1$  个列线性无关, 亦即其相应的  $n-1$  阶子行列式  $\equiv 0$  (模 2).

(23) 无环联接图  $G = (X, E)$  里跨顶树的个数, 等于其简化的顶结合矩阵中其列线性无关的  $(n-1)$  阶子行列式的个数.

(24) 在简化结合矩阵  $\bar{M}_R$  中, 任一  $(n-1)$  阶子行列式  $\bar{D}_{n-1} = 0 \Leftrightarrow$  是其在  $M_R$  中相应的  $(n-1)$  阶子行列式  $D_{n-1} \equiv 0$  (模 2).

(25) 无环联接有向图  $G = (X, U)$  里, 跨顶树的个数等于其简化结合矩阵  $\bar{M}_R$  里异于 0 的  $(n-1)$  阶子行列的个数.

(26) 无环联接图  $G = (X, E)$  的跨顶树的个数等于  $|\bar{M}_R \cdot \bar{M}_R^T|$ , 其中  $\bar{M}_R^T$  是  $\bar{M}_R$  的转置矩阵.

(27)  $K_n$  的跨顶树的个数是  $n^{n-2}$ .

(28) 已给  $n$  个顶、 $n-1$  条边、无环的有向图  $G = (X, U)$ , 图  $G$  是以  $x_1$  为根的树形图 (见后五 (二) - (三))  $\Leftrightarrow \Delta_1 = 1$ . 此外  $\Delta_1$  是如下形式的行列式:

$$\Delta_1 = \begin{vmatrix} d_G^+(x_1) & -a_1^1 & \cdots & -a_n^1 \\ -a_1^2 & d_G^+(x_2) & \cdots & -a_n^2 \\ \vdots & \vdots & \ddots & \vdots \\ -a_1^n & -a_2^n & \cdots & d_G^+(x_n) \end{vmatrix}$$

(29) (Tutte[1948]) 设  $G = (X, U)$  是无环有向图  $\Rightarrow \Delta_1$  等于  $G$  里以  $x_1$  为根的树形图的个数.

(30) 任给无环联接图  $G = (X, E)$ ,  $n$  个顶点、 $m$  条边, 作矩阵

$$B = (b_{ij}) \quad (i, j = 1, 2, \dots, n)$$

其中

$$b_{ij} = \begin{cases} d_G(x_i), & \text{当 } i = j \text{ 时;} \\ -1, & \text{当 } i \neq j, [x_i, x_j] \in E \text{ 时;} \\ 0, & \text{当 } i \neq j, [x_i, x_j] \notin E \text{ 时.} \end{cases}$$

$\Rightarrow$  图  $G$  中跨顶树的个数等于矩阵  $B$  里任一主子行列式的值.

## 2. E图-M图-H图

(31) 闭链是 E 图.

(32)  $G$  为连通 E 图  $\Leftrightarrow G$  中存在一条闭 E 链.

(33) E 图是环路.

(34)  $E_1$  和  $E_2$  是图  $G$  的 E 子图  $\Rightarrow E_1 \oplus E_2$  也是  $G$  的 E 子图 (可推广至  $n$  个的情形),

(35)  $P_1$ 和 $P_2$ 是一对顶点间的二条通路 $\Rightarrow P_1 \oplus P_2$ 是E图(可推广至 $2K$ 个的情形)。

(36) 设图 $G = (X, E)$ 是联接的, 则下述条件是等价的:

(1°)  $G$ 是一个欧拉图,

(2°)  $G$ 的每一顶点其次数是偶数;

(3°)  $G$ 的边集可以分划成初级圈。

(37) 已给联接图 $G = (X, E)$ , 设 $G$ 只有两个奇次顶点 $a$ 和 $b$ , 其他的顶点都是偶次的 $\Rightarrow G$ 有一条开口的欧拉圈; 自一个奇点出发, 最终回到另一个奇点, 经过每个顶点(当然可能不只一次), 且经过每条边一次且仅一次。

(38)  $P$ 是一条通路,  $G$ 为一E图, 且 $P \oplus G$ 是M图时, 在E图 $G$ 中删去一边, 则成为M图。

(39) 图 $G$ 具有E链 $\Leftrightarrow G$ 为一连通M图。

(40) 一个M图或是一条通路或是一条通路和环路的边不重并。

(41) 设 $M_1$ 和 $M_2$ 是有相同端点的M图 $\Rightarrow M_1 \oplus M_2$ 是E图。

(42)  $M$ 为一M图,  $E$ 为一E图 $\Rightarrow M \oplus E$ 是M图。

(43)  $\{M_{ij}\} = \{P \oplus E \mid P_0 \in \{P_{ij}\}, E \in E\}$  (此处,  $\{P_{ij}\}$ 表示 $G$ 中顶点 $i$ 和 $j$ 间所有通路之集合;  $\{M_{ij}\}$ 表示 $G$ 中 $i, j$ 间所有M图的集合;  $\{E\}$ 表示所有E图和空集的集合)。

(44) 图 $G$ 是可连绘的 $\Leftrightarrow G$ 是连通E图或是连通M图。

(45) 附表:

$\oplus$	E	M
E	E	M
M	M	E

### H图之性质—必要条件

(46)  $G$ 是H图 $\Rightarrow$ 对于 $V$ 的每个非空真子集 $S$ , 导出子图 $G-S$ 的分支数目 $P(G-S)$ 均满足 $P(G-S) \leq |S|$ 。

(47) 每一个H图是2-连通的; 每一个非H图之2-连通图有一个 $\theta$ 子图。

(48) 每一个三次H图有至少三个生成圈。

### H图之充—充分条件

(49) (Dirac定理)  $G$ 是 $n$  ( $\geq 3$ )阶简单图,  $\omega$ 是最小度数的顶点,  $d(\omega) \geq \frac{n}{2} \Rightarrow G$ 是H图。

(50)  $G$ 是一个具有度系列 $(d_1, d_2, \dots, d_n)$ 的简单图, 这里 $d_1 \leq d_2 \leq \dots \leq d_n$ , 且 $n \geq 3$ , 若不存在小于 $\frac{n}{2}$ 的 $m$ 值, 使得 $d_m \leq n$ ,  $d_{n-m} < n-m \Rightarrow G$ 是H图。

(51) 图 $G$ 有 $P \geq 3$ 个点。若对每一个 $n$ ,  $1 \leq n < (P-1)/2$ , 度不超过 $n$ 的点的数目少于 $n$ , 且若对奇的 $P$ , 度至多等于 $(P-1)/2$ 的点的数目不超过 $(P-1)/2 \Rightarrow G$ 是H的。

(52) 每一个2-连通的平方是H图。

(53)  $p \geq 3$ , 且对于每一对不邻接的点  $u$  和  $v$ ,  $\deg u + \deg v \geq p \implies G$  是  $H$  的.

(54) 设简单图  $G = (X, E)$  是  $n$  阶的, 将其各顶点按次数的大小排列成  $d_1 \leq d_2 \leq \dots \leq d_n$ . 设  $q$  是一个整数,  $0 \leq q \leq n-3$ , 若对每一个整数  $k$ :  $q < k < \frac{1}{2}(n+q)$ , 下关系成立

$$d_{k-q} \leq k \implies d_{n-k} \geq n-k+q.$$

$\implies$  对每一个边集  $F$ ,  $|F|=q$ , 且部分图  $(X, F)$  的联接分子图都是初级链, 都存在  $G$  的一个  $H$  圈, 包含  $F$ .

(55) (Chvátal [1971]) 已给简单联接图  $G$ , 其阶  $n \geq 3$ , 将其顶点编号, 使各顶点的次数成数列  $d_1 \leq d_2 \leq \dots \leq d_n$ . 若  $d_k \leq k < n/2 \implies d_{n-k} \geq n-k \implies$  在图  $G$  内, 存在  $H$ -圈.

(56) 设在  $G$  内, 根本不存在  $k < \frac{n}{2}$ , 使  $d_k \leq k \implies G$  是  $H$ -型的.

(57) 设图  $G = (X, E)$  是简单的,  $|X|=n, |E|=m$ . 若  $m > \binom{n-1}{2} + 1 \implies$  图  $G$  含  $H$ -圈, 且  $n$  阶, 具  $\binom{n-1}{2} + 1$  条边的非  $H$ -型简单图, 仅有  $C_4$ ,  $n$  与  $n=5$  时的  $C_{5,2}$ , 其中  $C_{5,2}$  是所谓的统帅图.

(58) (Dirac [1952]) 设联接的简单图  $G = (X, E)$  阶  $n \geq 3$ , 且其极小次数  $\delta \geq n/2 \implies G$  是  $H$ -型的.

(59) (Ore [1961]) 设联接的简单图  $G = (X, E)$  的阶  $n \geq 3$ , 且  $d_G(x) + d_G(y) < n \implies [xy] \in E \implies G$  是  $H$ -型的.

(60) 闭包图  $\hat{G}$  是完全的  $\implies G$  是  $H$ -型的.

(61) 类  $\mathcal{A}(n, g)$  中每个无向简单图  $G$  是  $(g-1)$ - $H$ -联的.

(62) 设  $G = (X, E)$  是一个阶  $n \geq 3$  的无向简单图, 将顶点按次数的递升序列编号,  $d_1 \leq d_2 \leq \dots \leq d_n$ , 其中  $d_i$  满足条件:

$$d_{n-i} < k \left( 2 \leq k \leq \frac{n}{2} \right) \implies d_{n-i} \geq n-k+1$$

$\implies$  图  $G$  是  $H$ -联的.

(63) (Erdős, Gallai, [1959]) 设  $G = (X, E)$  是个阶  $n \geq 3$  的无向的简单图, 在这个图上, 任二相异非邻点  $x$  与  $y$  的次数, 满足条件

$$d_G(x) + d_G(y) > n.$$

$\implies G$  是  $H$ -联的.

(64) (Ore, [1963]) 设  $G$  是一个阶  $n \geq 3$  的无向简单图, 具  $m$  条边, 且  $m \geq \binom{n-1}{2} + 3 \implies G$  是  $H$ -联的.

**充要条件**

(65)  $u, v$  是  $n$  阶图  $G$  中两个不邻接的顶点,  $d(u) + d(v) \geq n, G + uv$  为  $H$  图  $\iff G$  为  $H$  图.

(66) 图的闭包是唯一的.

(Bondy) 一个简单图  $G$  的闭包是  $H$  图  $\iff G$  是  $H$  图.

(67)  $G$  是完全  $n$ -部图,  $G$  是  $H$  的  $\Leftrightarrow p \leq 2\alpha$ , ( $\alpha$  是点覆盖数).

(68) 连通图  $G$  是  $H$  的  $\Leftrightarrow G$  的关联矩阵存在一个主子矩阵, 使其任一  $(n-1)$  阶子矩阵均为非奇异的.

(69) 图  $G$  是哈密尔顿道路图  $\Leftrightarrow G$  是哈密尔顿道路图序列的极限.

(70) 每个弦加法的图都是自哈密尔顿道路图.

(71) 设  $G$  是一个  $p$  ( $\geq 4$ ) 阶的哈密尔顿、自哈密尔顿道路图, 它具有哈密尔顿圈  $C: v_1, v_2, \dots, v_p, v_1$  和弦  $v_1v_m, v_2v_{m+1}$ , 这里  $2 < m < p \Rightarrow (1^\circ) C$  含有所有形如  $v_i, v_{m+i-1}$  的弦, 这里  $i = 1, 2, \dots, p$ , 并且这里所有的下标是以  $p$  为模的;  $(2^\circ)$  若  $m \geq 5$ ,  $G$  含有一个长度为  $m-2$  的外圈.

(72) 设  $G$  是一个  $p$  ( $\geq 3$ ) 阶的哈密尔顿道路图,  $G$  是一个自哈密尔顿道路图  $\Leftrightarrow G$  是弦加法的或者  $G$  同构于  $K_n, C_p, K(\frac{1}{2}p, \frac{1}{2}p)$  或  $K_{p/2} + \bar{K}_{p/2}$ , 最后两个中的  $p$  为偶数.

### 3. 边(线)图 ( $L(G)$ )

【性质】

(73)  $G$  是一个  $(p, q)$  图, 它的各个点的度是  $d_i \Rightarrow L(G)$  中有  $q$  个点和  $g_L$  条边, 其中  $g_L = -q + \frac{1}{2} \sum d_i^2$ .

(74) 一连通图同构于它的边图  $\Leftrightarrow$  它是一个圈.

(75) 令  $G$  和  $G'$  是有同构的边图的连通图, 除了一个  $K_3$  而另一个是  $K_{1,3}$  外,  $G$  和  $G'$  同构.

【特征】

(76)  $G$  是一个边图  $\Leftrightarrow G$  的边可以划分为完全子图, 且使得没有一个点在两个以上的子图中  $\Leftrightarrow G$  不以  $K_{1,3}$  为一个导出子图, 又若两个奇三角形有一条公共边, 则它们的各个点的导出子图是  $K_4$ .

【特殊边图】

(77) 一个图是一个树的边图  $\Leftrightarrow G$  是一个连通的块图, 其中每个割点恰在两个块中.

(78) 除  $p = 8$  外, 一个图  $G$  是  $K_p$  的边图  $\Leftrightarrow$

(1°)  $G$  有  $\binom{p}{2}$  个点;

(2°)  $G$  是  $2(p-2)$  度正则的;

(3°) 每两个不邻接的点恰与四个共同邻接;

(4°) 每两个邻接的点与  $p-2$  个点共同邻接.

(79) 除  $m = n = 4$  外, 一个图  $G$  是  $K_{m,n}$  的边图  $\Leftrightarrow$

(1°)  $G$  有  $mn$  个点;

(2°)  $G$  是  $m+n-2$  度正则的;

(3°) 每两个不邻接的点恰与两个点共同邻接;

(4°) 在邻接的点对中, 恰有  $n\binom{m}{2}$  对恰与  $m-2$  个点共同邻接, 其余  $m\binom{n}{2}$  对恰与  $n-2$  个点共同邻接.

【边图与可行性】

(80)  $G$  是  $E$  的  $\Rightarrow L(G)$  既  $E$  的又  $H$  的.

(81)  $G$  是  $H$  的  $\Rightarrow L_1(G)$  是  $H$  的;

$L_2(G)$  是  $H$  的  $\Rightarrow L(G)$  是  $H$  的.

(82)  $L(G)$  是  $H$  的  $\Leftrightarrow G$  中有一闭迹, 对于  $G$  的每一条边, 它含有邻接于这条边的至少一点.

(83)  $L_1(G)$  是  $H$  的  $\Leftrightarrow G$  中有一闭的生成迹.

(84)  $L_2(G)$  是  $H$  的  $\Leftrightarrow G$  是  $E$  的.

(85)  $G$  是有  $p$  个点的一个非平凡的连通图, 但它不是一条道路  $\Rightarrow$  对任何  $n \geq p-3$ .

$L'(G)$  是  $H$  的.

【全图】

(86) 全图  $T(G) \cong$  组分解  $S(G)$  的平方.

(87)  $v$  是  $G$  的一个点  $\Rightarrow$  点  $v$  在  $T(G)$  中的度为  $2\deg v$ ;

$e = uv$  是  $G$  的一条边  $\Rightarrow$  边  $e$  在  $T(G)$  中的度为  $\deg u + \deg v$ .

(88)  $G$  是一个  $(p, q)$  图, 它的各点的度为  $d_i \Rightarrow$  全图  $T(G)$  有  $p_t = p + q$  个点和  $q_t = 2q + \frac{1}{2} \sum d_i^2$  条边.

(89) 对  $n > 1$ , 总有  $r_1(2, n) = 3$ , 对所有其余的  $m$  和  $n \Rightarrow r_1(m, n) = (m-1)(n-1) + 2$ .

#### 4. 树

【性质与判定】

(90)  $G$  是一个树  $\Leftrightarrow G$  之任意二点由唯一通路联结  $\Leftrightarrow G$  是连通的, 且  $p = q + 1$   $\Leftrightarrow G$  是无圈的, 且  $p = q + 1 \Leftrightarrow G$  是无圈的, 且若  $G$  的任何两个不邻接的点联以一条边  $e$ , 则  $G + e$  恰有一个圈  $\Leftrightarrow G$  不是  $K_3 \cup K_1$  或  $K_3 \cup K_2$ ,  $p = q + 1$ , 且若  $G$  的任何两个不邻接的点联以一条边  $e$  则  $G + e$  恰有一个圈  $\Leftrightarrow G$  是连通的, 对  $p \geq 3$  不是  $K_p$ , 且若  $G$  的任何两个不邻接的点联以一条边  $e$ , 则  $G + e$  恰有一个圈  $\Leftrightarrow G$  连通, 且其任一边均为割边.

(91)  $G$  是一个树  $\Rightarrow$  至少存在两个悬挂点.

$G$  是一个树  $\Rightarrow$  树中所有非悬挂点均为割点.

(92) 每一个树有一个由一个点或两个邻接的点组成的中心.

(93) 每一个树有一个由一个或两个邻接的点组成的形心.

【块—割点树】

(94) 一个图  $G$  是某个图  $H$  的块—割点图  $\Leftrightarrow$  它是一个树, 且在它的任何两端之间的距离是偶数.

【 $K$ -树】

(95) 设  $G_s$  与  $G_s'$  为  $v$  个顶点的连通图  $G$  的两个互补的子图, 且都含有  $G$  的全部  $v$  个顶点. 若由  $i$ -树组  $T_{G_s}, K_i$  形成  $G$  中一个  $K$ -树组  $\Leftrightarrow$  使它与  $G$  中一个  $(k+v-i)$ -树组  $T_{G_s'}, K_{k+v-i}$  相结合, 且在  $V(K_i)$  与  $V(K_{k+v-i})$  中任二连通顶点集不能有一个以上的相同顶点. 这里  $V(K_i)$  与  $V(K_{k+v-i})$  分别是其对应的顶点分类集合.

【生成树—最优树】

(96) 任给无环、无孤立顶点的图  $G = (X, E) \Rightarrow G$  恒有生成树 (或生成林), 且  $n_s \geq n_0 - p$  ( $p$  为连通分支数).

(97)  $T$  是连通图  $G$  的一个生成树  $\Leftrightarrow T$  是  $G$  的有  $n_v - 1$  条边的生成子图.

(98) 图  $G$  有生成树  $\Leftrightarrow G$  连通.

(99)  $G$  为连通图  $\Rightarrow n_e \geq n_v - 1$ .

(100) (变元矩阵-树定理) 矩阵  $M_L$  的任何一个余因子的值是  $G$  的树多项式.

(101) [附] 生成树的构造方法:

① 避圈法;

② 破圈法 (也可求最优树);

③ Kruskal 算法

④ 基本树变换法 (对有向图);

⑤ 树多项式法.

## 5. 平面图

【平面图与可平面图】

(102)  $G$  是可平面的  $\Leftrightarrow$  它的每个分支是可平面的  $\Leftrightarrow$  它的每个最大不可分子图是可平面的  $\Leftrightarrow$  它可嵌入球面.

(103) 平面图任一内部面  $\xrightarrow{\text{通过测地投影}}$  外部面.

(104) 最大平面图的任何一个面都是三角形  $K_3$ .

(105)  $n \geq 4$  的最大平面图  $G$ ,  $\delta(G) \geq 3$ , 其中  $\delta(G)$  表示图  $G$  的顶点的最小度数.

(106)  $G$  是一个  $(P, q)$  最大平面图  $\Rightarrow q = 3P - 6$ ;

$G$  是一个  $(P, q)$  平面图, 且其中每个面都是一个 4-圈  $\Rightarrow q = 2P - 4$ .

(107)  $G$  是任何一个可平面的  $(P, q)$  图,  $P \geq 3 \Rightarrow q \leq 3P - 6$ ;

$G$  是 2-连通的且没有三角形  $\Rightarrow q \leq 2P - 4$ .

(108) 每一个有  $P \geq 4$  个点的最大可平面图是 3-连通的.

(109) 每个 2-连通平面图可以嵌入平面, 使任何一个特定的面成为外部面.

(110) 每一个可平面可以嵌入平面, 使一条预定的边成为外部区域的一条边.

(111) 每个 3-连通可平面图可以唯一地嵌入球面.

(112) 每个可平面图同构于一个平面图, 它所有的边都是直线段.

(113) (Gringberg[1968]) 设简单联接图  $G = (X, E)$  是平面的, 并设  $G$  有  $H$ -图  $C$   
 $\Rightarrow \sum_{i=1}^n (i-2)(\varphi_i^i - \varphi_i^e) = 0$ , 其中  $\varphi_i^i$  与  $\varphi_i^e$  分别是  $H$ -图  $C$  内部与外部所含  $i$  级面的个数.

【Euler 公式】

(114) 设  $G$  是一个有  $n_v$  个顶点、 $n_e$  条边和  $f$  个面的连通平面图  $\Rightarrow n_v + f - n_e = 2$ . (对于凸多面体:  $V + F - E = 2$ ).

(115) 任一平面图, 包含  $n$  个顶点,  $m$  条边,  $f$  个面,  $P$  个联接的分子图,  $\Rightarrow n - m + f = P + 1$ .

(116) 平面图  $G = (V, E)$  的每个面的边界都是为  $n$  的回路  $\Rightarrow n_e = \frac{n(n_v - 2)}{n - 2}$

(117)  $G$  是平面图 ( $n_v \geq 3$ )  $\Rightarrow n_e \leq 3n_v - 6$ ;

(118) 平面图  $G$  中不含  $K_4 \Rightarrow n_e \leq 2n_v - 4$ .

(119) 每一个  $P \geq 4$  的可平面图  $G$ , 至少有四个点的度不超过 5.

(120)  $K_5$  是不可平面的。

(121)  $K_{3,3}$  是不可平面的。

【图的可平面性】

(122) 两片重叠  $\Rightarrow$  或它们相同，或是等价3-片。

(123) 若片  $B$  有三个附着点  $v_1, v_2$  和  $v_3 \Rightarrow$  在  $V(B) - V(C)$  中存在一个顶点  $v_0$ ，且在  $B$  中有三条分别连接  $v_0$  和  $v_1, v_2, v_3$  的通路  $P_1, P_2, P_3$ ，使当  $i \neq j$  时， $P_i$  和  $P_j$  只有顶点  $v_0$  是公共的。

(124) 与每一个外片均不重叠的内片是可转移的。

(125) 内(外)片重叠。

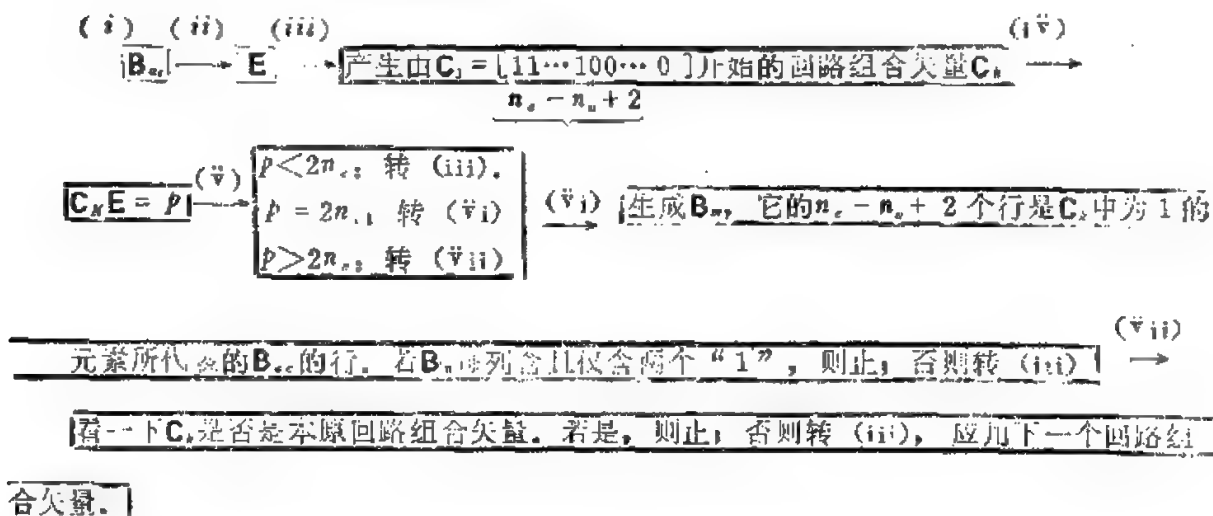
(126) (Kuratowski定理) 一个图  $G$  是可平面的  $\Leftrightarrow$  它不含同胚于  $K_5$  或  $K_{3,3}$  的子图。

(127) 一个图  $G$  是可平面的  $\Leftrightarrow$  每一个块是可平面的  $\Leftrightarrow$  没有一个可以收缩成  $K_5$  或  $K_{3,3}$  和子图  $\Leftrightarrow$  它有一个组合对偶  $\Leftrightarrow G$  的每一个至少有三个点的块有一个圈基  $Z_1, Z_2, \dots, Z_m$  和另外一个圈  $Z_0$ ，使每一条边出现在这  $m+1$  个圈的正好二个之中。

(128) 一个图是凸3维多面体的1-骨架  $\Leftrightarrow$  它是可平面的和3-连通的。

(129) 给定  $n_e$  条边、 $n_v$  个顶点的不可分连通图  $G$ ，它是可平面的  $\Leftrightarrow$  它的完全回路矩阵  $B_e$  包含一个  $n_e - n_v + 2$  行、 $n_e$  列子矩阵  $B_m$ ，使  $B_m$  之每一列正好含有两个“1”。

(130) [附] 判定可平面图步骤：



【外可平面图】

(131) 一个图  $G$  是外可平面的  $\Leftrightarrow$  它的每一个块是外可平面的。

(132) 令  $G$  是一个最大外平面图，有  $p \geq 3$  个均在外部面上的顶点  $\rightarrow G$  有  $p-2$  个内部面。

(133) 每一个在  $p$  个总的最大外可平面图  $G$  有 a).  $2p-3$  条边； b). 至少有3个点的度不超过3； c). 至少2个点的度等于2； d).  $\kappa(G) = 2$ 。

(134) 除等同两个圈的各一条边得到的图外，一个图是外可平面的  $\Leftrightarrow$  它没有同胚于  $K_5$  或  $K_{3,3}$  的子图。

(135) 每一个至少有9个点的可平面图  $G$  的补图是不可平面的，而9是这种数目中最小的一个。



(136) 每一个至少有 7 个点的外可平面图补图不是外可平面的, 而 7 是这种数目中最小的一个.

【拓扑不变量】

亏格  $\gamma(G)$  :

$$(137) V - E + F = 2 - 2\gamma.$$

(138)  $G$  是一个有亏格  $\gamma$  的连通图

$$\Rightarrow \begin{cases} q = 3(p - 2 + 2\gamma) & (\text{每个面皆为三角形}), \\ q = 2(p - 2 + 2\gamma) & (\text{每个面皆为四边形}), \\ \gamma \geq \frac{1}{6} q - \frac{1}{2}(p - 2), \\ \gamma \geq \frac{1}{4} q - \frac{1}{2}(p - 2) & (G \text{ 无三角形}). \end{cases}$$

$$(139) \gamma(K_p) = \left\{ \frac{(p-3)(p-4)}{12} \right\}.$$

$$(140) \gamma(K_{m,n}) = \left\{ \frac{(m-2)(n-2)}{4} \right\}.$$

$$(141) \text{方体} \gamma(\theta_n) = 1 + (n-4)2^{-2}.$$

$$(142) G \text{ 有块 } B_1, B_2, \dots, B_n \Rightarrow \gamma(G) = \sum_{i=1}^n \gamma(B_i).$$

(143) 令一个  $n$ -连通图  $G$  是两个  $(n-1)$ -支  $B$  和  $C$  的并, 令  $v_1, \dots, v_n$  是  $B \cap C$  的点的集. 将边  $v_i v_j$  加入  $G$ , 称得到的图为  $G_{ij}$ . 当  $1 \leq i < j \leq n$  时,  $\gamma(G_{ij}) = \gamma(G) + 1 \Rightarrow \gamma(G) = \gamma(B) + \gamma(C) + n - 1$ .

厚度  $\theta(G)$  :

$$(144) \theta(G) \geq \left\{ -\frac{q}{3p-6} \right\}$$

$$(145) \theta(K_p) \geq \left\lceil \frac{p+7}{6} \right\rceil \quad (\text{当 } p \not\equiv 4 \pmod{6}, \text{ 除了 } p=6, \theta(K_p) = \left\lceil \frac{p-7}{6} \right\rceil).$$

$$(146) \theta(K_{m,n}) = \left\{ \frac{mn}{2(m+n-2)} \right\} \quad (\text{但可能除了 } m < n, mn \text{ 为奇数, 而且存在一个整数 } K, \text{ 使 } n = [2K(m-2); (m-2K)] \text{ 时除外}).$$

$$\theta(K_{n,n}) = \lfloor (n+5)/4 \rfloor.$$

$$(147) \text{方体} \theta(\theta_n) = \left\{ \frac{n+1}{4} \right\}.$$

糙度  $\xi(G)$  :

$$(148) \xi(k_p) = \begin{cases} \binom{n}{2} & (p = 3n \leq 15), \\ \binom{n}{2} + \left\lceil \frac{n}{5} \right\rceil & (p = 3n \geq 30), \end{cases}$$

$$\xi(k_{3n-1}) = \binom{n}{2} + 2 \left\lceil \frac{n}{3} \right\rceil \quad (p = 3n - 1 \geq 19 \text{ 和 } p \not\equiv 9\gamma + 7),$$

$$\xi(k_{2n+1}) = \binom{n}{2} + \left\lfloor \frac{14n+1}{15} \right\rfloor.$$

$$(149) \xi(k_{2r+2s+e}) = rs + \min\left(\left\lceil \frac{er}{3} \right\rceil, \left\lceil \frac{ds}{3} \right\rceil\right), \quad (\text{对 } d=0 \text{ 或 } 1 \text{ 和 } e=0 \text{ 或 } 1);$$

$$\xi(k_{2r+2s}) = rs + \left\lceil \frac{s}{3} \right\rceil, \text{ 当 } r \geq 1 \text{ 时};$$

$$\xi(k_{2r+2s+1}) \begin{cases} \leq rs + \min\left(\left\lceil \frac{r+s}{3} \right\rceil, \left\lceil \frac{2s}{3} \right\rceil, \left\lceil \frac{8r+16s+2}{39} \right\rceil\right), \\ \geq rs + \max\left(\left\lceil \frac{s+2}{3} \right\rceil, \min\left(\left\lceil \frac{r}{3} \right\rceil, \left\lceil \frac{2s}{3} \right\rceil\right)\right), \end{cases}$$

对  $r \geq 2, s \geq 7$ .

(这两式当  $r \geq 2s$  时相等)。

$$\xi(k_{2r+2s+2}) \begin{cases} \leq rs + \min\left(\left\lceil \frac{r+2s}{3} \right\rceil, \left\lceil \frac{2r+s}{3} \right\rceil, \left\lceil \frac{16r+16s+4}{39} \right\rceil\right), \\ \geq rs + \left\lceil \frac{r}{3} \right\rceil + \left\lceil \frac{s}{3} \right\rceil + \left\lceil \frac{r}{9} \right\rceil, \text{ 对 } 1 \leq r \leq s. \end{cases}$$

【叉数  $\nu(G)$ 】

$$(150) \nu(G) = 0 \iff G \text{ 是可平面的.}$$

$$(151) \nu(K_p) \leq \frac{1}{4} \left\lfloor \frac{p}{2} \right\rfloor \left\lfloor \frac{p-1}{2} \right\rfloor \left\lfloor \frac{p-2}{2} \right\rfloor \left\lfloor \frac{p-3}{2} \right\rfloor. \quad (p \leq 10 \text{ 时是等式}).$$

$$(152) \nu(K_{m,n}) \leq \left\lfloor \frac{m}{2} \right\rfloor \left\lfloor \frac{m-1}{2} \right\rfloor \left\lfloor \frac{n}{2} \right\rfloor \left\lfloor \frac{n-1}{2} \right\rfloor. \quad (m \leq 6 \text{ 时是等式}).$$

## 6. 对偶图

$$(153) G_1 \text{ 是 } G_2 \text{ 的对偶} \implies \begin{cases} N_1 = R_2, \quad R_1 = N_2 \\ G_1 \text{ 也是 } G_2 \text{ 的对偶.} \end{cases}$$

(154)  $C$  是  $G$  中  $n$ -回路  $\implies$  收缩  $C$  的一些边 (不是全部) 不会改变图的零度, 而收缩  $C$  的全部边, 图的零度少 1.

(155)  $G$  与  $G'$  对偶. 令  $e$  是  $G$  中一边,  $e'$  是  $G'$  中对应的边.  $G_1$  是  $G$  收缩边  $e$  所得到的图,  $G'_1$  是  $G'$  删去  $e'$  所得到的图  $\implies G_1$  和  $G'_1$  对偶.

(156)  $G$  与  $G'$  对偶  $\implies G$  中的回路对应于  $G'$  之割集.

(157)  $G$  是一偶图  $\iff G$  的所有回路都有偶数长度.

(158)  $G$  有对偶图  $\iff G$  为可平面的

$$(159) \text{ 平面图 } G_1 \xrightarrow{D \text{ 过程}} G_2 \text{ 是连通的.}$$

$$(160) G_1 \xrightarrow{D \text{ 过程}} G_2, \quad C = e_{i_1} e_{i_2} \cdots e_{i_n} \text{ 是 } G_1 \text{ 中的一条回路; } e'_{i_1} e'_{i_2} \cdots e'_{i_n} \text{ 是 } G_2 \text{ 中与 } e_{i_1} e_{i_2} \cdots e_{i_n} \text{ 对应的边} \implies \{e'_{i_1}, e'_{i_2}, \dots, e'_{i_n}\} \text{ 是 } G_2 \text{ 的一个割集.}$$

$$(161) G_1 \xrightarrow{D \text{ 过程}} G_2, \quad S = \{e_{j_1}, e_{j_2}, \dots, e_{j_m}\} \text{ 是 } G_1 \text{ 的一个割集} \implies G_2 \text{ 中的对应边 } e'_{j_i},$$

$e'_{11}, \dots, e'_{jm}$  组成  $G_2$  中的一条回路。

$$(162) \quad G_1 \xrightarrow{D \text{ 过程}} G_2 \implies N_1 = R_2, \quad R_1 = N_2.$$

$$(163) \quad \text{平面图 } G_1 \xrightarrow[\text{小}]{D \text{ 过程}} \text{平面图 } G_2 \implies G_2 \text{ 是 } G_1 \text{ 的对偶}.$$

(164) 平面图  $G_1$  的完全割集矩阵为  $Q_{r-1}$ , 它的对偶图  $G_2$  的完全回路矩阵为  $Be_1 \implies Q_{r-1} \leftrightarrow B_{r-1}$ , 同理,  $B_{r-1} \leftrightarrow Q_{r-2}$ .

(165) 平面图  $G_1$  的回路矩阵之子矩阵为  $B_{n-1}$ , 它的对偶图  $G_2$  的关联矩阵的子矩阵为  $A_1 \implies B_{n-1} \leftrightarrow A_1$ , 同理,  $A_1 \leftrightarrow B_{n-2}$ .

(166) 一个平面图可以有多于一个的对偶图。

(167)  $G$  的每个初级圈对应于其偶图  $G^*$  的一个初级余圈, 反之亦然。

(168) 附: 求给定网络的对偶网络。

沿下列程序进行: “网络  $N \rightarrow$  有向图  $G_1 \rightarrow B_{n-1} = A_2 \rightarrow$  对偶图  $G_2^* \rightarrow$  对偶网络  $N^*$ ”, 可将之编制一较好的程序, 利用电子计算机去求解。

## 7. 二分图(偶图)

(169) 无向图  $G = (X, E)$  是二分的  $\iff$  图  $G$  不含奇圈。

(170) 设  $R = (r_1, r_2, \dots, r_m)$ ,  $S = (s_1, s_2, \dots, s_n)$  是二向量, 其元素都是非负整数, 用  $R$  为行和向量作矩阵  $\bar{A}$  (最大矩阵), 令其列和向量为  $\bar{S} \implies$  存在矩阵  $A$  取  $R$  为其行和向量,  $S$  为其列和向量的充要条件是

$$\bar{S} \prec \bar{S}_1.$$

(171) 已给二数列  $r_1 \geq r_2 \geq \dots \geq r_m$  与  $s_1 \geq s_2 \geq \dots \geq s_n$ , 存在简单的二分图  $G = (X, Y, E)$ , 其中  $X = \{x_1, x_2, \dots, x_m\}$ ,  $Y = \{y_1, y_2, \dots, y_n\}$ , 使有

$$d_G(x_i) = r_i \quad (i = 1, 2, \dots, m)$$

$$d_G(y_j) = s_j \quad (j = 1, 2, \dots, n)$$

$$\iff \sum_{i=1}^m r_i x \geq \sum_{j=1}^n s_j (k = 1, 2, \dots, n-1),$$

$$\sum_{i=1}^m r_i = \sum_{j=1}^n s_j.$$

(172) (König, Egerváry, [1931]) 在  $(0, 1)$ -矩阵  $A$  里不同列不同行的“1”的极大个数  $\rho$  等于包含矩阵里所有的“1”的极小线数  $\rho'$ . (注: 两分图  $G = (X, Y, E)$  的顶点对应于邻接矩阵里的行和列统称为线)。

(173) 在两分图  $G = (X, Y, E)$  里, 极大并列集的维, 等于其极小径集的维。

## (四) 题 解

### 1. 图

(1) 证明定理: 已给图  $G = (X, E)$ , 有限(含有限个顶点与有限条边)、无环、无孤立点, 其每一顶点上的次数都为偶, 则其每个顶点, 必在一个闭路上。

证：设  $Q_1$  是图  $G$  的一个顶点，在  $Q_1$  有边  $Q_1Q_2$ ，因  $Q_1$  的次数为偶，故还有边  $Q_1Q_3$ ，异于  $Q_1Q_2$ ，自  $Q_1$  可再引边  $Q_1Q_4, \dots$ ，一直到点  $Q_i$ ，若  $Q_i \equiv Q_1$ ，则本题已证；否则，由于图是有限的，这样引边，不可能无限地引伸下去，必到某个地步停止下来，若停止在某个异于  $Q_1$  的任一顶点上，图中将出现奇次顶点，引出矛盾，故最后必停止在  $Q_1$ ，得一闭路。

(2) 证明定理：无向图若干个初级圈的环和是一个圈。

证：①就两个初级圈而言，若此二圈边互质，则因二初级圈或有公共顶点，或无公共顶点，在前一情形下，公共顶点上的次数都是 4；在后一情形下，每个顶点上的次数是 2，故此二者的环和，其每个顶点的次数都是非 0 偶数。根据定理：一个无环无向多重图  $G = (X, E)$  是欧拉圈的充要条件是：图是联接的且其每个顶点的次数为偶，可知这个环和是一个圈。

若二初级圈有公共边且公共边之间彼此不相邻，设  $x$  是公共边上一顶点，则在环和中顶点  $x$  的次数都将是  $2+2-2=2$ （因去掉公共边， $x$  的次数应少掉 2），是一个大于零的偶数。如公共边有彼此相邻者， $x$  是二相邻公共边的公共顶点，则在环和中顶点  $x$  的次数为 0。但当二初级圈不同时，不可能所有公共顶点都是相邻公共边的公共顶点。

②设初级圈的个数多于 2，若这些初级圈两两边互质，其环和的顶点次数很显然，都是  $\geq 2$  的偶数。若这些初级圈有公共边，则如①所证，总有一些公共顶点的次数为至少是 2 的一个偶数（其余公共顶点的次数为 0）。于是这些初级圈的环和是图  $G$  的一个部分子图，其各顶点上的次数都是偶数。据①中所述的同样的定理，这个环和是一个欧拉圈，或是几个不联接的欧拉圈之和，故是一个圈（广义圈）。

(3) 证明定理：在无向图  $G = (X, E)$  里，二余圈的环和是一余圈。

证：令二余圈是  $\omega_1[X_1, Y_1], \omega_2[X_2, Y_2]$ ，其中

$$X_1, Y_1, X_2, Y_2 \neq \phi, X_1 \cap Y_1 = \phi,$$

$$X_2 \cap Y_2 = \phi,$$

$$X_1 \cup Y_1 = X_2 \cup Y_2 = X$$

$X_1, X_2, Y_1, Y_2$  将分整个区为四个部分（见下图 4.14）：

$X_1X_2, X_1Y_2, Y_1X_2, Y_1Y_2$ （为使记号简单，以下用  $AB$  表示二集合  $A$  与  $B$  的交集  $A \cap B$ ）。图  $G = (X, E)$  的任一边，其二顶点所在位置将有 16 种可能性（计及重复）， $\omega_1 \oplus \omega_2$  的边在  $\omega_1$  里或在  $\omega_2$  里，但不能同时在  $\omega_1$  与  $\omega_2$  里。

$\omega_1$  中的边，其二顶点所在位置有四种可能性：

$$X_1X_2, Y_1X_2, X_1Y_2, Y_1Y_2, X_1X_2, Y_1Y_2, X_1Y_2, Y_1X_2.$$



(一)



(二)



(三)

图 4.14

同样,  $\omega_1$  中的边其二顶点所在位置, 也有四种可能性:

$X_1X_2, X_1Y_1, Y_1X_2, Y_1Y_2, X_1X_2, Y_1Y_2, X_1Y_2, Y_1X_2.$

故  $\omega_1 \pm \omega_2$  中的边其二顶点所在位置, 仅有下列四种可能性:

$X_1X_2, Y_1X_2, X_1Y_2, Y_1Y_2, X_1X_2, X_1Y_2, Y_1X_2, Y_1Y_2.$

由此可见,  $\omega_1 \oplus \omega_2$  中的边, 其二顶点分列在

$X_1X_2 \cup Y_1Y_2$  与  $X_1Y_2 \cup Y_1X_2$  内. 又

$X_1X_2 \cup Y_1Y_2 \neq \phi, X_1Y_2 \cup Y_1X_2 \neq \phi,$

$(X_1X_2 \cup Y_1Y_2) \cap (X_1Y_2 \cup Y_1X_2) = \phi,$

$(X_1X_2 \cup Y_1Y_2) \cup (X_1Y_2 \cup Y_1X_2) = X.$

因若  $X_1X_2 \cup Y_1Y_2 = \phi$  将导致  $X_1X_2 = Y_1Y_2 = \phi$ , 此时  $\omega_1$  与  $\omega_2$  将是同一余圈. 因而  $\omega_1 \oplus \omega_2 = \phi$ ,

这是  $\phi$ -余圈. 同样,  $X_1Y_2 \cup Y_1X_2 = \phi$  也导致  $\omega_1 \oplus \omega_2 = \phi$ . 故

$\omega_1 \oplus \omega_2 = \omega[X_1X_2 \cup Y_1Y_2, X_1Y_2 \cup Y_1X_2].$

(4) 证明定理: 无环联接图  $G = (X, E)$  上任一初级圈和任一初级余圈是相互正交的.

证: 设初级圈为  $\mu$ , 初级余圈为  $\mu_c$ .  $\mu$  是联接的,  $\mu_c$  则分截顶集  $X$  为二子集  $X_1$  与  $X_2$ :

$X_1, X_2 \neq \phi, X_1 \cap X_2 = \phi, X_1 \cup X_2 = X.$

若  $\mu$  与  $\mu_c$  无公共边, 即  $\mu$  的边全含在  $X_1$  或  $X_2$  内, 则与  $\mu$  和  $\mu_c$  相应的两个  $m$  维向量其数量积为  $\mu \cdot \mu_c = 0$ .

若  $\mu$  与  $\mu_c$  有公共边, 由于  $\mu$  是联接的, 当  $\mu$  沿  $\mu_c$  的一边自  $X_1$  走向  $X_2$ , 必再沿  $\mu_c$  的另一边自  $X_2$  走向  $X_1$ . 亦即当  $\mu$  与  $\mu_c$  有公共边时, 公共边必成对出现. 取二者的数量积模 2, 结果必为 0. 亦即  $\mu \cdot \mu_c \equiv 0 \pmod{2}$ .

## 2. E图-M图-H图

(5) 如果可能, 画出一个  $V$  为偶数而  $e$  为奇数的 E 图, 否则说明不存在这样图的理由.

解: 存在如右图 (图 4.15).



图 4.15

(6) 试证: 若  $G$  是 E 图, 则  $G$  的每一块也是 E 图.

证: 设点  $v$  是  $G$  的一割点, 则  $G$  可分为若干个连通子图仅在点  $v$  相交, 设其为  $G_1, G_2, \dots, G_K$  ( $K \geq 2$ ). 对于图  $G_i$ , 若  $u \in V(G_i), u \neq v$ , 则  $d_{G_i}(u) = d_G(u) = \text{偶数}$ , 故  $d_{G_i}(v) = \text{偶数}$ , 于是  $G_i$  是 E 图 ( $i = 1, 2, \dots, k$ ). 若  $u$  是  $G_i$  的割点, 如上作法, 即知  $G$  的每一块均为 E 图.

(7) 试证: 若  $G$  没有奇数次数的顶点, 则存在边也不重的回路  $C_1, C_2, \dots, C_n$  使

$$E(G) = E(C_1) \cup E(C_2) \cup \dots \cup E(C_n).$$

证:  $\because G$  无奇数次数顶点,  $\therefore$  若有一  $v \in V$ , 使  $d(v) > 0$ , 则  $G$  必存在一回路  $C_1$  过  $v$ . 令  $G_1 = G - E(C_1)$ , 则  $G_1$  仍没有奇数次数的顶点; 若有一  $u \in V, d_{G_1}(u) > 0$ , 则  $G_1$  存在一回路  $C_2$ . 令  $G_2 = G_1 - E(C_2)$ , 于是  $G_2$  是没有奇数次数的顶点, 照此作下去, 由于  $|E|$  有限, 故有限次后, 得  $G_n = G_{n-1} - E(C_n)$  为空图, 由作法知  $C_1, C_2, \dots, C_n$  是  $G$  的边不重的回路, 且  $E(G) = E(C_1) \cup E(C_2) \cup \dots \cup E(C_n)$ .

(8) 设  $G$  非平凡且是 E 图, 并设  $v \in V$ , 试证: 当且仅当  $G-v$  是森林时,  $G$  的每条具有起点  $v$  的链, 都可以延拓成  $G$  的一条 E 环路.

证: “ $\Rightarrow$ ”用反证法. 设 $G-v$ 含有回路 $C$ , 则 $G-E(C)$ 的含 $v$ 的分支 $G'$ 是 $E$ 图. 在 $G'$ 上从 $v$ 开始沿过 $v$ 的某一链旅行, 则旅行结束后仍回到 $v$ . 此时, 若再接着到 $G$ 的未旅行的边(例如 $C$ 的边)旅行, 则必经过已旅行的边. 因此, 当 $G-v$ 含有回路时, 沿过 $v$ 的某一链不能延拓成 $G$ 的 $E$ 环路, 因此,  $G-v$ 是森林.

“ $\Leftarrow$ ”用反证法. 设存在一条 $v$ 的链 $Q$ , 从 $v$ 开始沿 $Q$ 不能延拓成 $G$ 的 $E$ 环路, 因此沿 $Q$ 旅游的结果是所有与 $v$ 相关联的边已走遍且回到 $v$ . 设已旅游过的图是 $G'$ , 则 $G'$ 是 $E$ 图. 于是 $G-E(G')$ 的顶点次数均为偶数, 且不全为零, 因此,  $G-E(G')$ 含有回路, 故 $G-v$ 含有回路, 此与 $G-v$ 是森林相矛盾.

(9) 试证: 若 $G$ 有 $H$ 通路, 则对 $V$ 的每一个真子集 $S$ 有 $W(G-S) \leq |S| + 1$ .

证: 设 $u, v_1, v_2, \dots, v_r, v$ 是 $G$ 的一条 $H$ -通路, 令 $G' = G + (u, v)$ , 则 $G'$ 是 $H$ 型的. 据定理知:  $W(G'-S) \leq |S|$  (对任意非空 $S \subset V$ ), 但 $W(G-S) \leq W(G'-S) + 1$ . 故

$$W(G-S) \leq |S| + 1.$$

(10) 设 $G$ 是一个具有次数序列 $(d_1, d_2, \dots, d_r)$ 的非平凡的简单图, 这里 $d_1 \leq d_2 \leq \dots \leq d_r$ . 证明: 若不存在小于 $\frac{\gamma+1}{2}$ 的 $m'$ 的值, 使 $d_m < m$ 和 $d_{\gamma-m+1} < \gamma - m$ , 则 $G$ 有一条Hamilton通路.

证: 加入点 $v_{r+1}$ 使 $v_{r+1}$ 与 $G$ 中每个点相连得到 $G'$ , 则 $G'$ 对应的图序列为 $(d_1 + 1, d_1 + 1, \dots, d_r + 1, \gamma)$ , 且序列是递增的. 由题设,  $(d_1, \dots, d_r)$ 不存在 $m < \frac{\gamma+1}{2}$ 使 $d_m < m$ 和 $d_{\gamma-m+1} < \gamma - m$ , 故前述序列不存在 $m < \frac{\gamma+1}{2}$ 使 $d_m < m, d_{\gamma-m+1} < \gamma - m + 1$ , 即 $d_{(r+1)-m} <$

$(\gamma+1) - m$ . 据定理可知,  $G$ 是 $H$ 型的. 于是, 存在 $H$ 回路 $v_{r+1}, v_{r+1}, v_{r+1}, \dots, v_{r+1}, v_{r+1}$ , 因此 $v_{r+1}, v_{r+1}, \dots, v_{r+1}$ 是 $G$ 的一条Hamilton通路.

(11) 设 $G$ 是一个具有二分划 $(X, Y)$ 的简单二分图, 这里 $|X| = |Y| \geq 2$ , 并且设 $G$ 有次数序列 $(d_1, d_2, \dots, d_r)$ , 这里 $d_1 \leq d_2 \leq \dots \leq d_r$ , 证明若不存在小于或等于 $\gamma/4$ 的 $m$ 的值, 使 $d_m \leq m$ 和 $d_{\gamma/2-m} \leq \gamma/2 - m$ , 则 $G$ 是Hamilton型的.

证: 在 $G$ 中增加边, 得到 $G'$ , 使 $G'[X]$ 完备.

① $G$ 中没有孤立点.

用反证法. 假设 $\exists v \in X$ 使 $d_G(v) = 0$ , 则 $\forall u \in Y$ 有 $d_G(u) < \frac{\gamma}{2}$ , 于是 $d_1 = d(v) = 0 < 1, d_2^* < \frac{\gamma}{2}$ 或 $d_2^* \leq \frac{\gamma}{2} - 1$ , 即 $m = 1$ , 与题设矛盾. 显然,  $v \in Y$ 时也有同样结果.

② $G'$ 中有 $H$ 回路.

事实二, 由定理的条件对 $G'$ 成立.

用反证法. 假设存在 $m < \frac{\gamma}{2}$ , 使 $d_{m'} \leq m$ , 且 $d_{\gamma/2-m'} - m < \gamma - m$ .

$$\because v \in X \text{ 有 } d'_{G'}(v) \geq \left\lfloor \frac{\gamma}{2} - 1 \right\rfloor + 1 = \frac{\gamma}{2},$$

$$\forall v \in Y \text{ 有 } d'_v(v) \leq \frac{Y}{2},$$

$\therefore d'_m$  对应的点在  $Y$  内, 而  $d'_{Y-m}$  对应的点在  $X$  内, 且  $d'_1 + 2 \leq d'_2 + 2 \leq \dots \leq d'_{Y-m}$  等对应的点都在  $X$  内, 这些点一共有  $\frac{Y}{2} - m = m'$  个, 它们的次数在  $G'$  中  $< Y - m$ , 因而在  $G$  中均  $\leq Y - m - 1 - (\frac{Y}{2} - 1) = \frac{Y}{2} - m = m'$ . 另一方面, 在  $Y$  中有  $m$  个点在  $G'$  中的次数  $\leq d'_m \leq m$ , 即这  $m$  个点在  $G$  中的次数  $\leq m$ , 这两部分点合起来共有  $m + m' = \frac{Y}{2}$  个, 即在  $G$  中  $d'_Y \leq \max\{m, m'\}$ .

i) 若  $m \leq \frac{Y}{2}$ , 即存在  $d_m = d'_m \leq m$  且  $d'_Y \leq \max\{m, m'\} = m' = \frac{Y}{2} - m$ , 这与假设矛盾

ii) 若  $m > \frac{Y}{4}$ , 则  $m' < \frac{Y}{4}$ , 在  $G$  中  $Y$  部有  $m'$  个点的次数  $\leq m'$ ; 因此, 在  $G$  中前  $m'$  个点 (不一定均在  $Y$  中) 的次数  $\leq m'$ , 即存在  $m' < \frac{Y}{4}$ , 使  $d_{m'} \leq m'$  且  $d'_Y \leq \max\{m, m'\} = m = \frac{Y}{2} - m'$ , 也与假设矛盾.

③  $G'$  中的  $H$  回路是  $G$  中的  $H$  回路.

事实上, 因为  $Y$  中的每一点都在这回路上恰好关联于两条边, 即共有  $2|Y|$  条边与  $Y$  的顶点关联, 又因为这  $2|Y| = 2|X|$  条边一定与  $X$  的顶点相关联, 而  $X$  中每点又最多与这些边中的两条相关联, 并且又不得少于与这些边中的两条相关联 (否则总数达不到  $2|X|$ ), 故  $X$  中每一点都恰好与这些边中的两条相关联, 即这些边构成这  $H$  回路之全体, 它显然也是  $G$  中的  $H$  回路.

(12) 证明: 若  $G$  是个具有  $Y > 2\delta$  简单连通图, 则  $G$  有一条长度至少是  $2\delta$  的通路.

证: 当  $\delta \leq 1$  时, 显然成立. 设  $\delta \geq 2$  时, 用反法证之. 令  $P = v_1, v_2, \dots, v_{l+1}$  为  $G$  中一条最长路, 且  $l < 2\delta$ , 令

$$S = \{v_i | (v_i, v_{i+1}) \in E\}, \quad T = \{v_i | (v_i, v_{i+1}) \in E\},$$

则  $S, T$  均非空, 由于  $P$  是最长路, 故  $v_i, v_{i+1}$  只能与路  $P$  中的点相连; 于是  $|S| \geq \delta$ ,  $\therefore S \cap T \neq \emptyset$ ,  $v_i \in S \cap T$ , 则有长为  $l+1$  的回路 (如图 4.16)

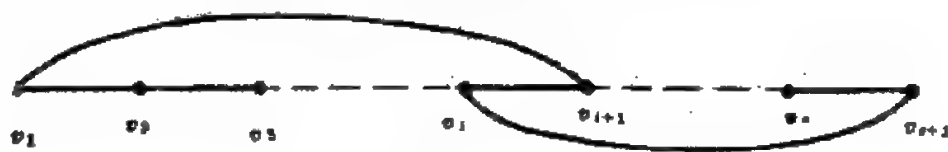


图 4.16

$$v_1, v_2, \dots, v_i, v_{i+1}, v_l, \dots, v_{l+1}, v_1$$

由于  $Y > 2\delta$ ,  $G$  连通, 故有点  $u \neq v_i$  ( $i = 1, \dots, l+1$ );  $u \in V$ ,  $(u, v_i) \in E$ , 于是  $u, v_1, \dots, v_{l+1}$  是一条长为  $l+1$  的路矛盾.

(13) 若  $G$  的任何两个顶点都由一条 Hamilton 通路连结, 则  $G$  是 Hamilton 连通的.

① 证明: 若  $G$  是 Hamilton 连通的, 且  $Y \geq 4$ , 则  $\kappa \geq \lfloor \frac{1}{2}(3Y+1) \rfloor$ .

②对于  $v \geq 4$ , 构造一个具有  $\varepsilon = \lceil \frac{1}{2}(3v+1) \rceil$  的 Hamilton 连通图。

证: ①当  $v = 4$  时, 若  $G$  是 Hamilton 连通的, 则  $G = K_4$ , 故  $\varepsilon = \lceil \frac{1}{2}(3v+1) \rceil = 6$ , 即当  $v = 4$  时, 结论成立。对某  $G$  设  $\varepsilon < \lceil \frac{1}{2}(3v+1) \rceil$ , 则  $G$  必有一次数  $\leq 2$  的顶点, 否则  $\frac{3v}{2} \leq \varepsilon < \lceil \frac{1}{2}(3v+1) \rceil$ 。当  $v = 2k$  时, 有  $3k \leq \varepsilon < 3k$ ; 当  $v = 2k+1$  时, 有  $3k+2 \leq \varepsilon < 3k+2$ , 矛盾。设  $G$  有次数为 2 的顶点  $v$ , 设  $v_1, v_2$  与  $v$  相邻, 则  $v_1, v_2$  之间不存在 Hamilton 通路, 矛盾。  $\therefore \varepsilon \geq \lceil \frac{1}{2}(3v+1) \rceil$ 。

③当  $v = 2k+1$  时, (见图 4.17)

$$\varepsilon = k + 2(k-1) + 4 = 3k+2 = 3 \cdot \frac{v-1}{2} + 2 = \lceil \frac{1}{2}(3v+1) \rceil,$$

当  $v = 2k$  时, (见图 4.18)

$$\varepsilon = (k-1) + 2(k-2) + 5 = 3k = \frac{3}{2}v = \lceil \frac{1}{2}(3v+1) \rceil.$$

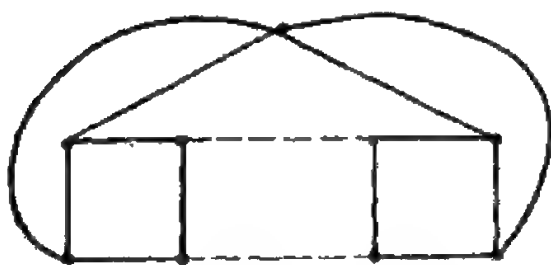


图 4.17

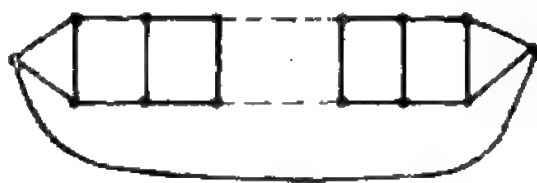


图 4.18

(14) 若  $G$  不是 Hamilton 型的, 但对每一个  $v \in V$ ,  $G-v$  都是 Hamilton 型的, 则  $G$  是亚 Hamilton 型的。证明 Petersen 图是亚 Hamilton 型的。

证: Petersen 图 (如图 4.19) 边集  $E' = \{(v_1, v_4), (v_2, v_5), (v_3, v_6), (v_4, v_1), (v_5, v_2), (v_6, v_3)\}$  将 Petersen 图分成两部分, 因此若 Petersen 图有 Hamilton 回路, 必经过  $E'$  中偶数条边; 显然, 经过  $E'$  中两条边是不能形成 Hamilton 回路的, 设经过  $E'$  中 4 条边  $(v_1, v_4), (v_4, v_1), (v_2, v_5), (v_5, v_2)$  (由对称性, 这样设是不失一般性的)。若是 Hamilton 回路, 一定还含有  $(v_1, v_2), (v_2, v_3), (v_3, v_4), (v_4, v_5), (v_5, v_6), (v_6, v_1)$ , 但这些显然凑不成回路,  $\therefore$  Petersen 图不是 Hamilton 型的。

由于图的顶点的对称性, 只令  $v = v_1$  证明即可。  $G-v_1$  的 Hamilton 回路为

$$v_2, v_3, v_4, v_5, v_6, v_1, v_2, v_3, v_4, v_5, v_6, v_1 \quad (\text{如图 4.20}).$$

$\therefore$  Petersen 图是亚 Hamilton 型的。

### 3. 边 (线) 图

(15) 证明定理: 令  $G$  和  $G'$  是有同构的线图的连通图, 除了一个是  $K_2$ , 而另一个是  $K_{1,2}$ ,



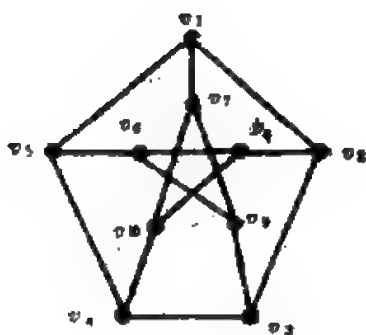


图4.19

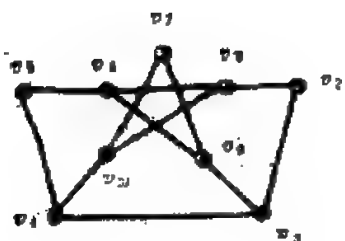


图4.20

外,  $G$  和  $G'$  同构.

证: 先注意在至多有四个点的连通图中, 仅有的具有同构的线图的两个不同的图是  $K_2$  和  $K_{1,3}$ . 更注意到, 若  $\phi$  是从  $G$  到  $G'$  上的一个同构, 则有一个从  $L(G)$  到  $L(G')$  上的导出同构  $\phi_1$ . 当证明了下列更强的结果时, 定理得证.

若  $G$  和  $G'$  有多于四个点, 则任何从  $L(G)$  到  $L(G')$  上的同构  $\phi_1$  可以由正好一个从  $G$  到  $G'$  上的同构导出.

先证明  $\phi_1$  至多从一个同构导出. 假定存在二个这样的同构  $\phi$  和  $\psi$ . 我们将证明对于  $G$  的任何一个点  $v$ ,  $\phi(v) = \psi(v)$ . 一定存在两条线  $x = uv$  和  $y = uw$  或  $vw$ . 若  $y = vw$ , 则点  $\phi(v)$  和  $\psi(v)$  都是既在线  $\phi_1(x)$  上又在线  $\phi_1(y)$  上的点, 但因为同时在这两条线上的点只有一个, 所以  $\phi(v) = \psi(v)$ . 同理, 当  $y = uw$  时,  $\phi(u) = \psi(u)$ . 因为线  $\phi_1(x)$  含有两个点  $\phi(v)$  和  $\phi(u) = \psi(u)$ , 所以又得到  $\phi(v) = \psi(v)$ . 因此  $\phi_1$  至多从一个  $G$  到  $G'$  上的同构导出.

现在证明存在一个同构  $\phi$ , 使  $\phi_1$  可以由  $\phi$  导出. 第一步要证明  $G$  的一个  $K_{1,3}$  子图的线  $x_1 = uv_1$ ,  $x_2 = uv_2$  和  $x_3 = uv_3$  在  $\phi_1$  下一定映到  $G'$  的一个  $K_{1,3}$  子图的各条线. 令  $y$  是另外一条与至少一条  $x_i$  邻接的线, 它或者仅与  $x_1, x_2, x_3$  中的一条线邻接, 或者与所有三条线都邻接. 对于任何一个  $p \geq 5$  的图一定存在这样的一条线  $y$ , 而对于  $p < 5$  定理是平凡的. 若三条线  $\phi(x_i)$  形成一个三角形而不是  $K_{1,3}$ , 则  $\phi_1(y)$  只能邻接于这三条线中的恰好二条. 所以每一个  $K_{1,3}$  一定映到一个  $K_{1,3}$ .

令  $S(v)$  记邻接于  $v$  的线的集. 现证明对于  $G$  中的每一点  $v$ , 在  $G'$  中恰有一点  $v'$  使  $S(v)$  在  $\phi_1$  下映到  $S(v')$ . 若  $\deg v \geq 2$ , 令  $y_1$  和  $y_2$  是  $v$  处的每条线  $x$ ,  $v'$  关联于  $\phi_1(x)$ ; 而对于  $v'$  处的每条线  $x'$ ,  $v$  关联于  $\phi_1^{-1}(x')$ . 若  $\deg v = 1$ , 令  $x = uv$  是  $v$  处的线, 则  $\deg u \geq 2$ , 从而  $S(u)$  映到  $S(u')$  且  $\phi_1(x) = u'v'$ . 因为对于  $v'$  处的每一条线  $x'$ , 线  $\phi_1^{-1}(x')$  和  $x$  一定有一个公共点, 所以  $u$  在  $\phi_1^{-1}(x')$  上, 从而  $u'$  在  $x'$  上. 即  $x' = \phi_1(x)$ , 故  $\deg v' = 1$ . 因为仅当  $u = v$  时,  $S(u) = S(v)$ , 所以映射  $\phi$  是从  $V$  到  $V'$  的一一映射. 现在在  $V'$  中给定  $v'$ , 有一定关联线  $x'$ . 以  $uv$  记  $\phi_1^{-1}(x')$ , 则或者  $\phi(u) = v'$  或者  $\phi(v) = v'$ , 从而  $\phi$  是映于  $V'$  上的.

最后, 对于  $G$  中的每一条线  $x = uv$ ,  $\phi_1(x) = \phi(u)\phi(v)$ ; 又对  $G'$  中的每一条线  $x' = u'v'$ ,  $\phi_1^{-1}(x') = \phi^{-1}(u')\phi^{-1}(v')$ , 故  $\phi$  是一个同构,  $\phi_1$  就由这个同构导出.

(16) 证明定理: 一个图是一个树的线图当且仅当它是一个连通的块图, 其中每个割点恰在两个块中.

证：假定  $G = L(T)$ ， $T$  是某个树。则因为一个树的线和块一致， $G$  也是  $B(T)$ ， $G$  的每个割点  $x$  对应于  $T$  的一条桥  $uv$ ，它恰在对应于  $G$  中  $u$  和  $v$  处两个星形图的两个块上。这就证明了条件的必要性。

现证充分性。令  $G$  是一个块图，其中每个割点恰在两个块中。因为一个块图的每个块是完全的，由定理：一个连通图同构于它的线图当且仅当它是一个圈，可知：存在一个图  $H$ ，使  $L(H) = G$ 。若  $G = K_2$ ，我们可取  $H = K_1$ ；若  $G$  是任何其它的块图，我们证明  $H$  一定是一个树。事实上，假定  $H$  不是一个树，故它必含一圈。若  $H$  本身是一个圈，则据上题 (15) 的结果可得： $L(H) = H$ 。但唯一的一个是块图的圈是  $K_2$ ，我们不考虑此种情形。从而  $H$  必真含一个圈，由此得  $H$  有一个圈  $Z$  和邻接于  $Z$  的两条线的一条线  $x$ ，它与  $G$  的某条线  $y$  不邻接。 $L(H)$  的点  $x$  和  $y$  在  $L(H)$  的一个圈上，且它们不邻接。因为  $L(H)$  是一个块图，这与定理：“一个图  $H$  是某个图的块图当且仅当  $H$  的每一个块是完全的。”中的条件相矛盾。故  $H$  是一个树。

#### 4. 树

(17) 若无圈图  $G$  的任意两个顶点均由唯一的路所连接，则  $G$  是树。

证：由题设显然  $G$  是连通的，现证  $G$  不含回路。 $G$  不含圈，若  $G$  含回路  $C = \{v_1, v_2, \dots, v_i, v_{i+1}, \dots, v_n, v_1\}$ ，则  $C$  中的任两点有两条不同的通路连接，与题设矛盾，故  $G$  不含回路，故  $G$  是树。

(18) 试证：恰有两个次数为 1 的顶点的每一个树是通路。

证：设  $G$  是一个树， $V(G) = \{v_1, v_2, \dots, v_\gamma\}$ 。不妨设  $d(v_1) = d(v_2) = 1$ ，由题设  $d(v_i) \geq 2$ ， $i = 3, \dots, \gamma$ 。  $\therefore \sum_{i=1}^{\gamma} d(v_i) = d(v_1) + d(v_2) + \sum_{i=3}^{\gamma} d(v_i) = 2e = 2(\gamma - 1)$ ，  
  $\therefore \sum_{i=3}^{\gamma} d(v_i) = 2\gamma - 4 = 2(\gamma - 2)$ 。又  $d(v_i) \geq 2$ ， $i = 3, \dots, \gamma$ ， $\therefore$  必有  $d(v_i) = 2$ ， $i = 3, \dots, \gamma$ 。故  $G$  是通路。

(19) 若  $G$  是树且  $\Delta \geq K$ ，则  $G$  至少有  $K$  个次数为 1 的顶点。

证：设  $G$  至少有  $m$  个次数为 1 的顶点，由  $e = \gamma - 1$  知  $\sum_{v \in V} d(v) = 2\gamma - 2$ 。设度数为 1 的顶点集合为  $V_1$ ，则  $\sum_{v \in V - V_1} d(v) = 2\gamma - 2 - m$ 。

又  $\Delta \geq K$ ， $v \in V - V_1$  有  $d(v) \geq 2$ ，故  $\sum_{v \in V - V_1} d(v) \geq K + 2 \times (\gamma - m - 1) = K + 2\gamma - 2 - 2m$ ，即  $2\gamma - 2 - m \geq K + 2\gamma - 2 - 2m$ ，即  $m \geq K$ ，于是  $G$  至少有  $K$  个次数为 1 的顶点。

(20) 证明：若  $G$  是一个森林且恰好有  $2k$  个奇数次数的顶点，则在  $G$  中有  $k$  条边不重并的通路  $P_1, P_2, \dots, P_k$ ，使  $E(G) = E(P_1) \cup E(P_2) \cup \dots \cup E(P_k)$ 。

证：用归纳法证之。当  $k = 1$  时， $G$  有两个奇数次的顶点， $G$  必连通故为一个树。由前题 (18) 知  $G$  是通路，即  $E(G) = E(P_1)$ 。

若  $k = n - 1 \geq 1$  时命题正确。当  $k = n$  时，设  $v_1, v_2$  是  $G$  的同一个分支中的两个奇数次数的顶点。于是  $G$  中必有  $(v_1, v_2)$  一通路。设为  $P_1$ ，令  $G - E(P_1) = G_1$ ，显然  $G_1$  有  $2n -$

2 = 2(n-1) 个奇数次数的顶点. 且  $G_1$  仍为森林, 由归纳法假设  $E(G) = E(P_1) \cup E(P_2) \cup \dots \cup E(P_{k-1})$ .

$$\therefore E(G) = E(P_1) \cup E(P_2) \cup \dots \cup E(P_{k-1}) \cup E(P_k).$$

(21) 设  $T$  是具有  $k+1$  个顶点的任意一棵树. 证明: 若  $G$  是简单的且  $\delta \geq k$ , 则  $G$  有一个子图同构于  $T$ .

证: 用归纳法证之. 当  $k=1$  时,  $T=k_1$ ,  $G$  是简单的且  $\delta \geq 1$ , 显然  $G$  有子图同构于  $T$ . 设命题对  $k=n-1$  成立; 当  $k=n$  时,  $T$  有  $n+1$  个顶点, 至少有一个次数为 1 的顶点, 设之为  $v$ . 令  $T_1 = T - v$  则  $T_1$  仍是一个树, 且有  $n = (n-1) + 1$  个顶点. 设  $G$  是  $\delta \geq k$  的简单图, 此时  $\delta \geq n$ , 显然  $\delta \geq n-1$ , 由归纳假设知  $G$  有子图  $G_1 \subseteq G$  使  $G_1 \cong T_1$ . 设  $vu \in E(T)$ , 设  $v' \in V(G_1)$  且  $u \leftrightarrow v'$ , 由  $G$  是简单的且  $\delta \geq n$  知  $G$  至少有  $n+1$  个顶点,  $\gamma(G_1) = \gamma(T_1) = n$ , 故  $V(G) - V(G_1) \neq \emptyset$ . 由  $\delta(G) \geq n$ ,  $\gamma(G_1) = n$  可得: 必有  $v' \in V(G) - V(G_1)$ , 使  $u'v' \in E(G)$ . 于是,  $G_1$  加上  $v'v'$  及  $v'$  得一图  $G_2$ , 显然  $G_2 \subseteq G$  且  $G_2 \cong T$ , 即  $k=n$  时, 命题也真. 故由归纳法知该命题为真.

(22) 饱和烃是形如  $C_nH_n$  的分子, 其中每个碳原子的价键为 4, 每一个氢原子的价键为 1, 且价键序列不构成回路. 试证: 每一个正整数  $m$ , 仅当  $n=2m+2$  时  $C_nH_n$  方能存在.

证:  $C, H$  对应为图的顶点. 当且仅当  $C$  与  $H$  相连时, 对应的顶点邻接, 形成图  $G$ . 图显然是连通的, 且无回路, 故  $G$  是树.  $\gamma(G) = m+n$ ,  $\varepsilon(G) = m+n-1$ . 由题设对应  $C$  的  $G$  中顶点次数为 4, 对应  $H$  的顶点次数为 1, 故  $4m+n = 2\varepsilon = 2(m+n-1)$ , 即  $n=2m+2$ .

(23) 设  $G$  连通且  $e \in E$ , 试证:

① 当且仅当  $e$  是  $G$  的割边时,  $e$  才在  $G$  的每个支撑树中;

② 当且仅当  $e$  是  $G$  的圈时,  $e$  才位于  $G$  的非支撑树部分.

证: ①  $\because e$  是  $G$  的断边  $\iff G-e$  不连通  $\iff G-e$  不含  $G$  的支撑树  $\iff e$  在  $G$  的每个支撑树中.

②  $G$  的支撑树不含回路,  $e$  是圈, 故  $e$  不能含在  $G$  的任意支撑树中.

反之, 若  $e$  位于  $G$  的非支撑树部分, 则  $e$  必为圈. 否则, 若  $e$  是割边, 由①知在  $G$  的每个支撑树中, 引出矛盾; 否则  $e$  不是圈不是割边.

设  $T$  是  $G$  的任一支撑树, 由其性质知  $T+e$  含一回路  $C$ . 设  $e' \neq e$ ,  $e' \in C$ , 则  $T+e-e'$  是  $G$  的支撑树, 引出矛盾. 故  $e$  必是圈.

(24) 设  $F$  是  $G$  的极大森林, 证明:

① 对  $G$  的每一个分支  $H$ ,  $F \cap H$  是  $H$  的一个支撑树;

②  $\varepsilon(F) = \gamma(G) - \omega(G)$ .

证: ① 显然  $F \cap H \subseteq H$  且  $F \cap H$  (由  $F$  是森林) 不含回路. 由  $F$  的极大性知  $F \cap H$  连通故  $F \cap H$  是树, 由  $F$  的极大性  $V(F \cap H) = V(H)$ .  $\therefore F \cap H$  是  $H$  的一个支撑树.

③ 设  $G$  的分支为  $H_1, H_2, \dots, H_s$ . 由①知:

$$\varepsilon(F \cap H_i) = \gamma(H_i) - 1$$

$$\text{故 } F = (F \cap H_1) \cup (F \cap H_2) \cup \dots \cup (F \cap H_s),$$

$$\text{故 } \varepsilon(F) = \sum_{i=1}^s \varepsilon(F \cap H_i)$$

$$\begin{aligned}
&= \sum_{i=1}^n (\gamma(H_i) - 1) \\
&= \gamma(G) - \omega(G).
\end{aligned}$$

(25) 试证:  $G$  至少含有  $\varepsilon - \gamma + \omega$  条不同的回路.

证: 当  $\omega = 1$  时,  $G$  连通. 令  $k = \varepsilon - \gamma + \omega$ , 此时  $k = \varepsilon - \gamma + 1 = \varepsilon - (\gamma - 1)$ .

设  $T$  是  $G$  的一个生成树. 设  $e \in E(T)$ , 则  $T + e$  含有唯一的一条回路  $C$ ; 若  $e \neq e_1$ , 显然当  $e_1 \in E(T)$  时,  $T + e_1$  含唯一的回路  $C_1$ , 且  $C \neq C_1$ , 这是因为  $C$  含  $e$  不含  $e_1$  而  $C_1$  含  $e_1$  不含  $e$ , 但不在  $T$  中的边共有  $K$  条, 故  $G$  至少含  $K$  条不同的回路.

设  $\omega = n - 1 \geq 1$  时结论正确. 当  $\omega = n$  时,  $G$  有  $n$  个分支, 任去掉一个分支后所得的图为  $G_1$ , 设去掉的分支为  $H_1$ . 由归纳假设知:  $G_1$  至少含有  $\varepsilon(G_1) - \gamma(G_1) + n - 1$  条不同的回路, 又  $H_1$  至少含有  $\varepsilon(H_1) - \gamma(H_1) + 1$  条不同的回路. 故  $G$  至少含有

$$\begin{aligned}
&\varepsilon(G_1) - \gamma(G_1) + n - 1 + \varepsilon(H_1) - \gamma(H_1) + 1 \\
&= [\varepsilon(G_1) + \varepsilon(H_1)] - [\gamma(G_1) + \gamma(H_1)] + n - 1 + 1 \\
&= \varepsilon(G) + \gamma(G) + n \text{ 条不同的回路.}
\end{aligned}$$

由归纳法,  $G$  至少含有  $\varepsilon - \gamma + \omega$  条不同的回路.

(26) 证明: 若  $G$  包含  $k$  个边不重并的支撑树, 则对于顶点集合  $V$  的每一个分划  $(V_1, V_2, \dots, V_n)$ , 端点在这个分划的不同部分的边数至少是  $k(n - 1)$ .

证: 构造图  $G^*$ , 使  $V(G^*) = u_1, u_2, \dots, u_n, u_i (1 \leq i \leq n)$  对应于  $V_i$ , 当且仅当  $e = uv, u \in V_i, v \in V_j, i \neq j, e \in E(G)$  时, 有  $e' = u_i u_j \in E(G^*)$ , 显然  $G$  有  $k$  个边不重并的支撑树, 则  $G^*$  有  $k$  个边不重并的支撑树, 于是

$$\varepsilon(G^*) \geq k(\gamma(G^*) - 1) = k(n - 1).$$

但任一  $e' \in E(G^*)$  显然对应于  $e \in E(G)$ , 其端点在  $V$  的分划的不同部分, 故本题结论正确.

(27) ① 设  $H$  是一个图, 其中任意两个邻接顶点, 用  $K$  条边联接, 且设  $G$  是  $H$  的基本简单图. 证明:  $\tau(H) = K^{\gamma-1} \tau(G)$ ;

② 若图  $G$  的每条边用长为  $K$  的一条通路代替, 这个新图用  $H$  表示. 证明:  $\tau(H) = K^{\varepsilon-\gamma+1} \tau(G)$ ;

③ 从②推出  $\tau(K_{2,n}) = n2^{n-1}$ .

证: ①  $G$  的每个支撑树显然也是  $H$  的支撑树, 但每个支撑树有  $\gamma - 1$  条边, 而每条边的不同取法有  $K$  种, 故对应  $G$  的一个支撑树  $H$  有  $K^{\gamma-1}$  个支撑树.

$$\therefore \tau(H) = K^{\gamma-1} \tau(G).$$

② 每条边用长为  $K$  的通路代替, 相当于对这条边进行  $K - 1$  次剖分, 每次增加一个点, 也增加一条边, 故有

$$\varepsilon(H) - \gamma(H) + 1 = \varepsilon(G) - \gamma(G) + 1.$$

令  $T$  是  $G$  的支撑树, 而  $\varepsilon(\tilde{T}) = \varepsilon(G) - \gamma(G) + 1$ , 对应  $G$  的每个支撑树,  $T$  把每一条边  $e \in \tilde{T}$  对应的  $H$  中的长为  $K$  的通路任去掉一边, 则得  $H$  的一个支撑树, 而连枝中共有  $\varepsilon - \gamma + 1$  条边而对应的长为  $K$  的通路, 其去边的方式对于每条而论有  $K$  种. 故不同的看法总共有  $K^{\varepsilon-\gamma+1}$  种, 即对应  $G$  的一个支撑树  $H$  有  $K^{\varepsilon-\gamma+1}$  个支撑树.

于是,  $\tau(H) = K^{\varepsilon-\gamma+1} \tau(G)$ .

③ 由②  $K_{2,n}$  相当于  $H$ , 而  $G$  为有两个顶点且这二顶点间有  $n$  条边联接的图, 将  $G$  的每一边

用长为 2 的一条通路代替, 则得  $K_{n,n}$ . 据②得

$$\tau(K_{n,n}) = K^{r-r+1}\tau(G) = 2^{r-2+1} \cdot n = n \cdot 2^{r-1}.$$

## 5. 平面图

(28) 证明:  $K_{3,3}$  是非可平面图.

证: 用反证法证之. 设  $G$  是对应于  $K_{3,3}$  的一个平面嵌入图, 用  $v_1, v_2, v_3, v_4, v_5$  和  $v_6$  表示  $G$  的顶点,  $G$  对应于  $K_{3,3}$  的顶点二分划为

$$(\{v_1, v_2, v_3\}, \{v_4, v_5, v_6\})$$

由于  $G$  是完备二分图, 于是可取回路  $C = v_1v_2v_3v_4v_1$  是一条平面 Jordan 曲线, 而  $v_5$  或者在  $\text{int}C$  内或者在  $\text{ext}C$  内, 不失一般性设在  $\text{int}C$  内. 于是  $v_3v_5, v_4v_5$  把  $\text{int}C$  分成两个区域:  $\text{int}C_1$  和  $\text{int}C_2$ . 其中:

$$C_1 = v_1v_2v_3v_5v_1, \quad C_2 = v_1v_2v_4v_5v_1,$$

又  $v_6$  必在  $\text{ext}C, \text{int}C_1, \text{int}C_2$  这三个区域中的一个. 不失一般性, 设  $v_6 \in \text{ext}C$ , 由于  $v_3 \in \text{int}C$ , 从 Jordan 曲线定理知:  $v_3v_6$  必与  $C$  相交, 这与  $G$  是平面嵌入图相矛盾.

(29) 证明: 所有图在  $R^3$  中都是可“嵌入”的.

证: 显然只考虑简单图即可, 因为空间的线是没有粗细的, 而点是没有大小的, 所以简单图的顶点和边能嵌入, 那么圈和多重边也能嵌入.

又因为简单图中完备图的边最多, 故仅考虑完备图即可. 设  $K_r$  是一完备图, 可先将  $K_r$  的  $r$  个顶点嵌入  $R^3$  中, 使得任意四个点都不在一个平面上, 然后将  $r$  个点中任意两点间连接一条直线, 使得得到  $K_r$  在  $R^3$  中的一个嵌入 (因为任意四点及其连线都构成一个四面体).

(30) ①试证: 若  $G$  是围长  $k \geq 3$  的连通平面图, 则  $r \leq k(r-2)/(k-2)$ ;

②利用①证明: Petersen 图是非可平面的.

证: ①  $\because G$  的围长为  $k (\geq 3)$ ,  $\therefore \forall f \in F(G)$  有  $d_G(f) \geq k$ , 即  $k\phi \leq \sum_{f \in F} d_G(f) = 2\varepsilon$ ,

亦即  $\phi \leq \frac{2\varepsilon}{k}$ , 由 Euler 公式知,

$$r - \varepsilon + \frac{2\varepsilon}{k} \geq r - \varepsilon + \phi = 2,$$

即

$$\varepsilon \leq R(r-2)/(k-2)$$

②用反证法之. 假设 Petersen 图是可平面的, 则由①得:

$$\varepsilon \leq k(r-2)/(k-2),$$

$$15 = \varepsilon \leq k(r-2)/(k-2) = \frac{5 \times (10-2)}{5-2} = \frac{40}{3} = 13\frac{1}{3},$$

矛盾, 故 Petersen 图是非可平面图.

(31) ①证明: 若  $G$  是  $r \geq 11$  的简单平面图, 则  $G^c$  是非平面的;

②找出一个  $r = 8$  的简单平面图, 使  $G^c$  也是平面的.

①证:  $\because \frac{r(r-1)}{2} = \varepsilon(G) + \varepsilon(G^c) \leq \varepsilon(G^c) + 3r - 6,$

$$\therefore \varepsilon(G^c) \geq \frac{\gamma(\gamma-1)}{2} - 3\gamma + 6.$$

$$\text{当 } \gamma \geq 11 \text{ 时, } \varepsilon(G^c) \geq \frac{12(\gamma-1)}{2} - 3\gamma + 6 = 3\gamma > 3\gamma - 6,$$

故  $G^c$  是非平面的.

②解:

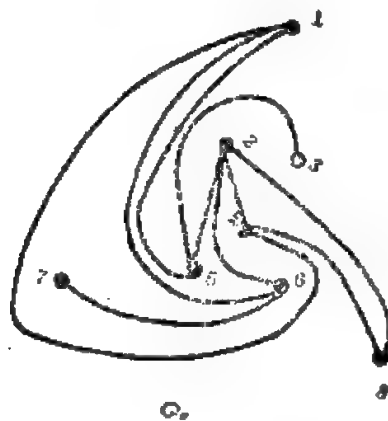
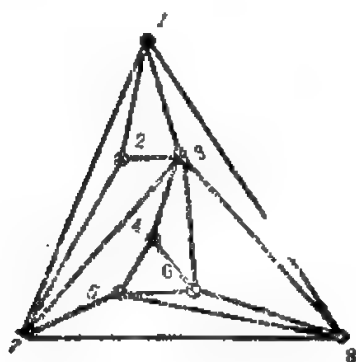


图4.21

(32) ①证明: 厚度  $\theta(G) \geq \{\varepsilon/(3\gamma-6)\}$ ;

②推演:  $\theta(K_\gamma) \geq \{\gamma(\gamma-1)/6(\gamma-2)\}$ , 利用上题的结果证明等式对所有  $\gamma \leq 8$  成立.

证: ①设  $G = \bigcup_{i=1}^{\theta(G)} G_i$ ,  $G_i$  是平面图

$$\because \varepsilon(G_i) \leq 3\gamma - 6 \quad (i = 1, 2, \dots, \theta(G)),$$

$$\therefore \varepsilon = \sum_{i=1}^{\theta(G)} \varepsilon(G_i) \leq \theta(G)(3\gamma - 6).$$

故

$$\theta(G) \geq \frac{\varepsilon}{3\gamma - 6} \quad \text{即} \quad \theta(G) \geq \left\lceil \frac{\varepsilon}{3\gamma - 6} \right\rceil.$$

$$\text{②} \quad \because \quad \varepsilon(K_\gamma) = \frac{\gamma(\gamma-1)}{2},$$

$$\therefore \quad \theta(K_\gamma) \geq \left\lceil \frac{\gamma(\gamma-1)}{2(3\gamma-6)} \right\rceil = \{\gamma(\gamma-1)/6(\gamma-2)\}.$$

当  $3 \leq \gamma \leq 4$  时,

$$\therefore \quad \frac{\gamma(\gamma-1)}{6(\gamma-2)} = 1 \text{ 和 } \theta(K_\gamma) = 1,$$

$$\therefore \quad \theta(K_\gamma) = \{\gamma(\gamma-1)/6(\gamma-2)\},$$

当  $4 < \gamma \leq 8$  时,

$$\because \frac{\gamma(\gamma-1)}{6(\gamma-2)} = \frac{\gamma}{6} + \frac{\gamma}{6(\gamma-2)} = \frac{\gamma}{6} + \frac{1}{6} + \frac{1}{3(\gamma-2)} > \frac{\gamma}{6} + \frac{1}{6} \geq \frac{5}{6} + \frac{1}{6} = 1,$$

$$\text{和 } \frac{\gamma(\gamma-1)}{6(\gamma-2)} \leq \theta(K_3) = 2$$

$$\therefore \theta(K_3) = \gamma(\gamma-1)/6(\gamma-2);$$

(33) 证明: 若  $G$  是平面嵌入三角剖分, 则  $\epsilon = 3\gamma - 6$ .

证:  $\because G$  是平面嵌入三角剖分,

$$\therefore 2\epsilon = 3\phi,$$

由 Euler 公式知:

$$2 = \gamma - \epsilon + \phi = \gamma - \epsilon + \frac{2}{3}\epsilon = \gamma - \frac{1}{3}\epsilon,$$

$$\text{即 } \epsilon = 3\gamma - 6.$$

(34) 在某平面嵌入图  $G$  中, 设  $u, x, v$  和  $y$  (按此循环次序) 是桥  $B$  对于回路  $C$  的四个不同的附着点 (见图 4.22). 证明: 在  $B$  中存在一条  $(u, v)$ -通路  $P$  和一条  $(x, y)$ -通路  $Q$ , 使得:

①  $P$  和  $Q$  对于  $C$  是内部不相交的;

②  $|V(P) \cap V(Q)| \geq 1$ .

证: 设  $B$  是内桥. 因  $u, v, x, y \in V(B)$ , 故存在  $(u, v)$ -通路  $P \subset B$ ,  $(x, y)$ -通路  $Q \subset B$ , 且  $P, Q$  与  $C$  均是内部不相交的. 又因  $u, v, x, y \in V(B, C)$ , 且以  $u, x, v$  和  $y$  的次序出现在  $C$  上以及  $G$  是平面嵌入图, 所以  $P$  与  $Q$  至少有一个交点. 于是有  $|V(P) \cap V(Q)| \geq 1$ .

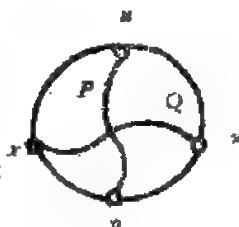


图 4.22

(35) ① 设  $C = v_1, v_2, \dots, v_n, v_1$  是非 Hamilton 型连通图  $G$  中的一条最长 (见图 4.23). 回路, 证明:

(a) 存在一个桥  $B$ , 使  $V(B) - V(C) \neq \emptyset$ ;

(b) 若  $v_i$  和  $v_j$  是  $B$  的附着顶点, 则  $(v_{i+1}, v_{j+1}) \in E$ .

② 推演: 若  $\alpha < K$ , 则  $G$  是 Hamilton 型的.

证: ① (a) 否则对  $C$  的每一个桥  $B$  都有  $V(B) - V(C) = \emptyset$ , 即  $G$  中所有顶点都在  $C$  上, 亦即  $C$  是  $G$  的一条 Hamilton 回路, 矛盾.

(b) 否则假设  $(v_{i+1}, v_{j+1}) \in E$ , 则

$$C' = v_1 v_2 \dots v_i v_{i+1} v_j v_{j+1} \dots v_{j-1} v_j v_{j-1} \dots v_{i+1} v_{i+2} \dots v_n v_1$$

的长度将比  $C$  的长度长, 矛盾.

② 否则假设  $G$  是非 Hamilton 型的, 则由 ① 知,  $G$  存在一条最长的回路  $C$  和桥  $B$ , 使得

$$V(B) - V(C) \neq \emptyset,$$

并且若  $v_i, v_j \in V(B \cap C)$ , 则  $(v_{i+1}, v_{j+1}) \in E$ .

设  $B$  有  $m$  个附着点  $v_{i_1}, v_{i_2}, \dots, v_{i_m}$ , 则  $v_{i_1+1}, v_{i_2+1}, \dots, v_{i_m+1}$  两两不相邻. 于是有

$$\alpha \geq |\{v_{i_1+1}, v_{i_2+1}, \dots, v_{i_m+1}\}| = m,$$

又显然有  $k \leq |\{v_{i_1}, v_{i_2}, \dots, v_{i_m}\}| = m$ ,

故有  $\alpha \geq k$ , 引出矛盾.

(36) 证明: 连通的平面嵌入图  $G$  是 2-面可着色的充要条件是  $G$  为 Euler 型的.

证: “ $\Rightarrow$ ” 设  $G$  具有一个正常 2-面着色  $(F_1, F_2)$ . 假设  $G$  是非 Euler 型的, 即  $G$  存在奇



图4.23

数次顶点  $v$ 。

(1°) 若  $d(v) = 1$ ，则与  $v$  点关联的那条边不可能分离两种不同颜色的面，即此时  $G$  不具有任何正常面着色，引出矛盾。

(2°) 若  $d(v) = 2k+1$  ( $k = 1, 2, \dots$ )，显然  $G$  也不具有任何正常 2-面着色，矛盾，于是  $G$  一定是 Euler 型的。

“ $\Leftarrow$ ” 设平面嵌入图  $G$  是 Euler 型的，则由定理可知： $G$  没有奇数次数的顶点。再由前面习题 (7) 的结果知， $G$  是不重并的若干回路的和集。

设  $G$  共有  $m$  条边不重并的回路。若对每一个回路的内部着有颜色 1，外部着有颜色 0，则  $G$  的每个面各得到  $m$  次着色。若用这  $m$  个数字的模 2 和来表示该面的颜色，于是便得到  $G$  的一个正常 2-面着色，即  $G$  是 2-面可着色的。（见图 4.24）

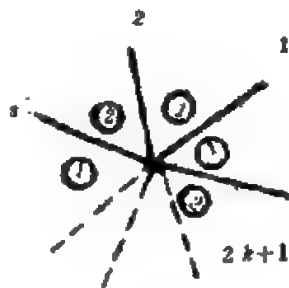


图4.24

(37) 证明：每个 Hamilton 型平面嵌入图都是 4-面可着色的。

证：设  $G$  是个 Hamilton 型的平面嵌入图，则  $G$  存在一条 Hamilton 回路  $C$ ，将  $F(G)$  划分成两部分  $F_1$  和  $F_2$ ，使  $F_1$  的每个面均在  $C$  的内部，而  $F_2$  的每个面均在  $C$  的外部。

$\because V(G) = V(C)$ ， $\therefore C$  的内部再无  $G$  的顶点。又  $\because G$  是平面嵌入图， $\therefore C$  的所有内桥都是互相回避的单根边。

于是  $G$  中  $C$  的内部存在一个正常 2-面着色，同理  $G$  中  $C$  的外部也存在一个正常 2-面着色。因此， $G$  是 4-面可着色的。

## 6. 对偶图

(38) 若一个平面嵌入图和它的对偶同构，这个平面嵌入图称为是自对偶的。

① 证明：若  $G$  是自对偶的，则  $e = 2\gamma - 2$ ；

② 对于每个  $n \geq 4$ ，找出在  $n$  个顶点上的自对偶嵌入图。

证：①  $\because \gamma(G) = \gamma(G^*) = \phi(G)$ ，

$$\therefore \gamma(G) = e(G) + \phi(G)$$

$$= \gamma(G) - e(G) + \gamma(G) = 2$$

$$\text{即 } e = 2\gamma - 2.$$

② 当  $n \geq 4$  时， $n-1$  轮就是自对偶平面嵌入图。

(39) ① 证明：当且仅当  $B^* = \{e^* \in E(G^*) \mid e \in B \text{ 是 } G^* \text{ 的一条回路时, } B \text{ 是平面嵌入图 } G \text{ 的一个割集}；$



②推演: Euler型平面嵌入图的对偶是二分图。

证: ① “ $\Rightarrow$ ” 设  $B$  是  $G$  的割集, 对  $|B|$  施归纳证明  $B^*$  是  $G^*$  的一条回路。

当  $|B| = 1$  时,  $B^*$  是  $G^*$  的一个圈, 结论显然成立。

假设  $|B| = k$  时, 结论成立, 往证  $|B| = k + 1$  时, 结论亦成立。事实上,  $e \in B$ , 则  $B - \{e\}$  是  $G - e$  的割集, 且  $G - e$  的对偶是  $G^* - e^*$ 。由归纳假设知:  $(B - \{e\})^*$  是  $G^* - e^*$  的一条回路, 于是,  $B^* = (B - \{e\})^* \cup \{e^*\}$  便是  $G^*$  的一条回路。

“ $\Leftarrow$ ” 设  $B^*$  是  $G^*$  的一条回路, 显然  $B$  是  $G$  的一个边割 ( $\because G - B$  显然是不连通的)。由结论: “每个边割都是割集的不相交和集” 可知:  $B$  是割集的不相交和集, 于是可设割集  $B_1 \subseteq B$ , 若能证明  $B = B_1$ , 则充分性得以证明。可用反证法证之。假设  $B_1 \subset B$ ,  $\because B_1$  是割集, 由必要性知,  $B_1^*$  是  $G^*$  的一条回路, 又  $\because B_1^* \subset B^*$ , 这与  $B^*$  是  $G^*$  的一条回路矛盾。

②由于 Euler 图的任一割集均含偶数条边, 故在对应的对偶图中, 由①知不含奇回路, 因此 Euler 图的对偶图是二分图。

(40) 设  $G$  是平面嵌入图, 证明:

①当且仅当  $G$  连通时,  $G^{**} \cong G$ ;

② $\chi(G^{**}) = \chi(G)$ 。

证: ① “ $\Rightarrow$ ” 设  $G^{**} \cong G$ , 假设  $G$  不连通,

$\because \gamma(G^{**}) = \phi(G^*) < \gamma(G^*)$ ,

$\therefore G^{**} \not\cong G$ , 矛盾。

“ $\Leftarrow$ ” 设  $G$  连通, 并设  $v_i \in V(G)$ ,

$f_i^* \in F(G^*)$ ,  $v_i^{**} \in V(G^{**})$ 。

由对偶图的作法知, 可建立如下对应关系:

$V(G) \leftrightarrow F(G^*) \leftrightarrow V(G^{**})$ ,

$E(G) \leftrightarrow E(G^*) \leftrightarrow E(G^{**})$ ,

且有  $v_i, v_j$  与  $e$  关联  $\leftrightarrow f_i^*, f_j^*$  与  $e^*$  关联

$\leftrightarrow v_i^{**}, v_j^{**}$  与  $e^{**}$  关联,

$\therefore G^* \cong G$ 。

②若  $G$  连通,  $\because G^{**} \cong G$ ,

$\therefore \chi(G^{**}) = \chi(G)$ 。

若  $G$  不连通,  $\because G$  的每个分支都与  $G^{**}$  中相对应的子图同构,  $\therefore \chi(G) \leq \chi(G^{**})$ ,

又  $\because G^{**}$  是由与  $G$  的每个分支同构的图在一个公共点上拼接而成的,

$\therefore G^{**}$  存在一个正常的  $\chi(G)$ -着色, 即  $\chi(G) \geq \chi(G^{**})$ 。由上得  $\chi(G^{**}) = \chi(G)$ 。

(41) 设  $T$  是连通平面嵌入图  $G$  的支撑树, 并设  $E^* = \{e^* \in E(G^*) \mid e \in E(T)\}$ 。试证:  $T^* = G^*[E^*]$  是  $G^*$  的支撑树。

证: (1°)  $\because e \mid e \in E(T)$  不含割集,

$\therefore$  由前题 (39) 知:

$E^* = \{e^* \in E(G^*) \mid e \in E(T)\}$  不含回路,

即  $T^* = G^*[E^*]$  不含回路。

(2°)  $\because \gamma(G^*) = \phi(G) = \kappa(G) - \gamma(G) + 2$

并且  $|E^*| = G$  中不在  $T$  上的边数  $= \varepsilon(G) - [\gamma(G) - 1]$ ,

$$\begin{aligned}\therefore \varepsilon(T^*) &= |E^*| = \varepsilon(G) - \gamma(G) + 1 \\ &= \gamma(G^*) - 1.\end{aligned}$$

(3°)  $\forall f^* \in V(G^*)$ ,  $G$  中存在一条回路  $C$  和一条边  $e$  使  $C = b(f)$ ,  $e \in E(C) - E$

$(T)$ , 即  $G^*$  中存在边  $e^* \in E^*$ , 使得  $e^*$  的一个端点是  $f^*$ . 故  $T^* = G^*[E^*]$  是  $G^*$  的支撑子图. 由此得,  $T^*$  是  $G^*$  的支撑树.

(42) 设  $G$  具有  $\gamma \geq 4$  的简单平面嵌入三角剖分, 证明  $G^*$  是简单 2-边连通 3-正则可平面图.

证: (1°)  $\because G$  显然无割边,  $\therefore G^*$  无圈, 又  $\because G$  的任意两个面至多有一条公共边,  $\therefore G^*$  的任意二顶点间至多有一条边, 于是  $G^*$  是简单的.

(2°)  $\forall f^* \in V(G^*)$ , 显然有  $d_{G^*}(f^*) = d_G(f) = 3$ , 即  $G^*$  是 3-正则的.

(3°)  $\because G$  无圈,  $\therefore G^*$  无割边, 即  $G^*$  是 2-边连通的.

因此,  $G^*$  是简单 2-边连通 3-正则平面图.

## 7. 二分图 (偶图)

(43) 证明: ①  $\varepsilon(K_{m,n}) = mn$ ;

② 若  $G$  是简单的和二分图, 则  $\varepsilon \leq \gamma^2/4$ .

证: ① 由  $K_{m,n}$  的定义立即可得;

② 设  $G$  的二分划为  $(X, Y)$ , 且  $|X| = m$ ,  $|Y| = n$ , 于是  $|X| + |Y| = m + n = \gamma$ , 因为  $G$  是简单的和二分图, 故

$$\varepsilon \leq m \cdot n \leq \frac{m^2 + n^2}{4} + \frac{m \cdot n}{2} = \frac{(m+n)^2}{4} = \frac{\gamma^2}{4}.$$

(44) 证明: ①  $\varepsilon(T_{m,n}) = \binom{n-k}{2} + (m-1) \binom{k+1}{2}$ , 其中  $k = [n/m]$ ;

② 若  $G$  是有  $n$  个点的完备  $m$ -分图, 则  $\varepsilon[G] \leq \varepsilon(T_{m,n})$ , 并且仅当  $G \cong T_{m,n}$  时等号成立.

证: ① 令  $\frac{n}{m} = \left[ \frac{n}{m} \right] + \frac{r}{m} = k + \frac{r}{m}$ ,  $0 \leq r < m$ , 则  $r = n - mk$ . 此时,  $T_{m,n}$  的顶点分为  $m$  个子集, 有  $r$  个  $k+1$  个顶点, 有  $m-r$  个有  $k$  个顶点, 由  $T_{m,n}$  的定义知

$$\varepsilon(T_{m,n}) = \binom{n}{2} - (m-r) \binom{k}{2} - r \binom{k+1}{2}.$$

将  $r = n - mk$  代入并展开化简得:

$$\varepsilon(T_{m,n}) = \frac{1}{2} (n^2 - n + k^2 m + km - 2nk),$$

$$\text{但} \quad \left( \frac{n-k}{2} + (m-1) \right) \binom{k+1}{2} = \frac{1}{2} (n^2 - n - 2nk + k^2 m + km),$$

$$\text{故} \quad \varepsilon(T_{m,n}) = \binom{n-k}{2} + (m-1) \binom{k+1}{2}.$$

② 若  $G \cong T_{m,n}$ , 则  $G$  有  $m$  个顶点子集. 设它们的顶点个数分别为  $n_1, n_2, \dots, n_m$ , 必有:

和  $j$  满足  $n_i - n_j > 1$ , 其中  $1 \leq i \leq m$ ,  $1 \leq j \leq m$ ,  $i \neq j$ . 要证  $\varepsilon(G) < \varepsilon(T_{n_1, \dots, n_m})$ , 只要证明顶点子集的顶点个数分别为  $n_1, n_2, \dots, n_{i-1}, \dots, n_{j+1}, \dots, n_m$  的图  $G_1$ , 有比  $G$  更多的边即可, 但

$$\varepsilon(G) = C_n^2 - (C_{n_1}^2 + C_{n_2}^2 + \dots + C_{n_m}^2)$$

$$\varepsilon(G_1) = C_n^2 - (C_{n_1}^2 + \dots + C_{n_{i-1}}^2 + \dots + C_{n_{j+1}}^2 + \dots + C_{n_m}^2)$$

要证  $\varepsilon(G) < \varepsilon(G_1)$ , 只要证明

$C_{n_i}^2 + C_{n_j}^2 > C_{n_{i-1}}^2 + C_{n_{j+1}}^2$  即可, 但由  $n_i - n_j > 1$ , 易验证上式成立.

$\therefore \varepsilon(G) < \varepsilon(T_{n_1, \dots, n_m})$ , 显然当  $G \cong T_{n_1, \dots, n_m}$  时有  $\varepsilon(G) = \varepsilon(T_{n_1, \dots, n_m})$ ,

$\therefore \varepsilon(G) \leq \varepsilon(T_{n_1, \dots, n_m})$ , 并且仅当  $G \cong T_{n_1, \dots, n_m}$  时等号成立.

(45) 证明  $k$ -方体有  $2^k$  个顶点,  $k \cdot 2^{k-1}$  条边且是二分图.

证:  $k$  个分量由 0 和 1 组成的有序数组, 由于每个分量有两种取法, 故不同的数组只有  $2^k$  个, 即  $k$ -方体有  $2^k$  个顶点.

和  $k$ -方体的每个顶点对应的数组, 只有一个分量不同的数组显然有  $k$  个, 于是  $k$ -方体的每个顶点有  $k$  条边和它关联, 故  $k$ -方体的边数为  $\frac{1}{2}(2^k \cdot k) = k \cdot 2^{k-1}$ . 令  $X$  为含有偶数个 0 的数组对应的  $k$ -方体的顶点集, 令  $Y$  为含有奇数个 0 的数组对应的  $k$ -方体的顶点集, 由  $k$ -方体的定义知  $(X, Y)$  是  $k$ -方体的一个二分划, 故  $k$ -方体是二分图.

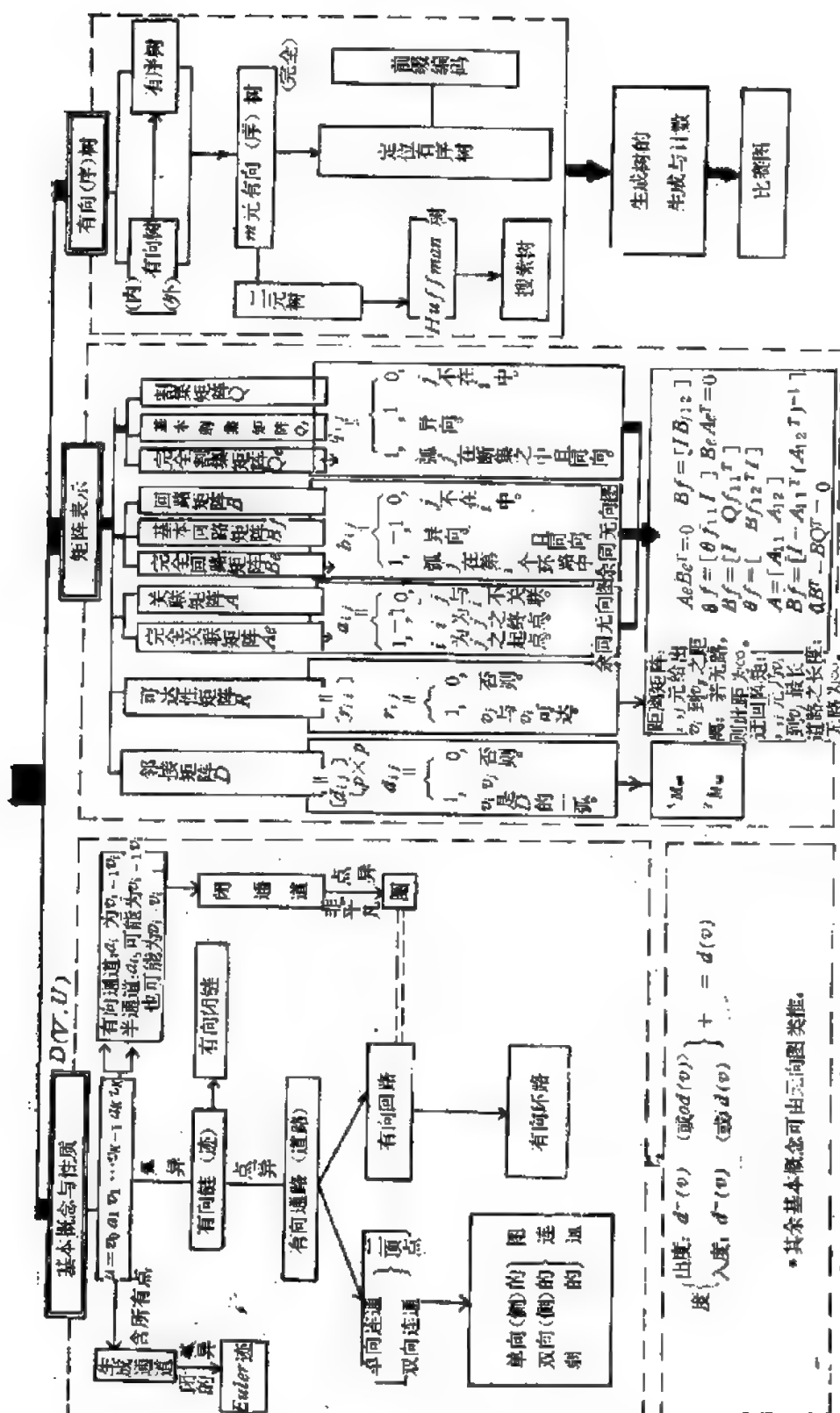
(46) 证明一个无圈图  $G$  含有一个二分支撑子图  $H$ , 使得  $d_H(v) \geq \frac{1}{2}d_G(v)$  对一切  $v \in V$  成立.

证: 设  $V(G) = \{v_1, \dots, v_n\}$ . 设  $G$  是二分图, 显然  $H = G$ , 上面的不等式自然满足, 否则不妨设  $d_G(v_1) \geq d_G(v_2) \geq \dots \geq d_G(v_n)$ . 显然  $G$  含有二分生成子图, 这只要去掉一些边即可得, 只有尽可能多的边的二分生成子图  $H$ , 便有题中所求的性质.

因否则若有  $v \in V$ , 使  $d_H(v) < \frac{1}{2}d_G(v)$ , 则把去掉的与  $v$  联接的边保留. 把保留的  $H$  中与  $v$  关联的边去掉得  $H'$ , 显然  $H'$  仍是  $G$  的二分支撑子图且  $\varepsilon(H') > \varepsilon(H)$  与假设矛盾.

## 五、有向图

### (一) 结 构



## (二) 概 念

### 1. 基本概念和性质

(1) 有向图: 一个有向图  $D$  定义为一个偶对  $D = (V, U)$ , 其中: (1°)  $V$  是一个非空集合, 其元素称为顶点; (2°)  $U$  是有序积  $V \times V$  的一个子集, 其元素称为弧。

(2) 定向: 给定一个图  $G$ , 对于它的每条边, 给它的两个端点指定一个次序 (即给这条边指定一个方向) 后, 便得到一个有向图, 这样的有向图, 称为  $G$  的一个定向 (定向图是唯一的)。

1-图: 当一个有向图里两顶之间按一个方向最多只有一条弧时, 称为 1-图, 记作  $G = (X, F)$ 。

基础图: 反之, 对于一个有向图  $D$ , 可以在相同顶点集合上作一个图  $G$ , 使得对应于  $D$  的各条弧,  $G$  有一条相同端点的边, 这个无向图  $G$  称为  $D$  的基础图 (基础图对应的有方向图不是唯一的)。

(3) 单侧连通: 简单有向图  $G$  中, 任何一对结点间, 至少有一个结点到另一个结点是可达的。

强连通: 简单有向图  $G$  中, 任何一对结点两者之间是相互可达的。

弱连通: 将  $G$  中各弧的方向略去, 将它视为无向图后, 图是连通的。

准强联: 一个有向图  $G = (X, U)$  中, 设在其上任取二顶点  $x$  与  $y$ , 总在图里存在一顶点  $Z(x, y)$ , 自  $Z$  到  $x$  与自  $Z$  到  $y$  均有路。

(4)  $W$  过程: 设  $v$  是有方向图  $D$  的一个顶点, 且  $d^+(v) = 0$  或  $d^-(v) = 0$ , 我们把去掉与  $v$  相关联的所有的弧, 称为去掉  $v$  的  $W$  过程。

(5) 逆有向图:  $D$  的逆有向图  $D'$  与  $D$  的有同样的顶点, 弧  $uv$  在  $D'$  中当且仅当弧  $vu$  在  $D$  中。

(6) 源:  $D$  的一个源是一个顶点, 它可达所有其余的顶点。

汇: 一个汇是它的对偶概念。

(7) 出树: 一个出树是一个有向图, 它有一个源而没有半圈。

入树: 一个入树是出树的对偶。

(8) 函数的有向图: 一个函数的有向图是一个有向图, 其中每一个点的出度等于 1,

逆函数的有向图: 一个逆函数的有向图是前者的对偶。

(9) 点基:  $D$  的一点基是点的一个最小的集合, 由它们可达所有的点。

1-基: 是互相不邻接的点的一个最小的集合  $S$ , 使  $D$  的每一个点或在  $S$  中, 或由  $S$  中的一个点邻接 (每一个有向图有一个点基, 但并不都有 1-基)。

### 2. 矩阵表示

(10)  $M_{od}$ :  $M_{od}$  是在  $D$  中用  $od(v_i)$  来代替第  $i$  个对角线元素得到的矩阵。(  $M_{od}$  对偶地定义 )。

### 3. 有向 (序) 树

(11) 根: 有向图  $D$  中任一顶点都可由某一顶点  $r$  到达, 则称  $r$  为  $D$  的根。

(12) 有向树: (树形图) 若有向图  $D$  有一根  $a$ , 且  $D$  的基础图是一棵树, 则称  $D$  为以  $a$  为根的有向树 (树形图)。

(13) 叶: 在有向树中, 出度为零的顶点称为叶, 其它顶点称为分枝顶点

(14) 层数: 由根到某一顶点  $v$  的通路的长, 称为顶点  $v$  的层数。(图5.1)。

(15) 有序树: 若在有向树中规定了每一层数上的顶点的次序, 这样的有向树称为有序树 (图5.2)。

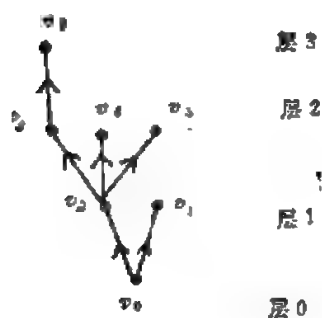


图5.1

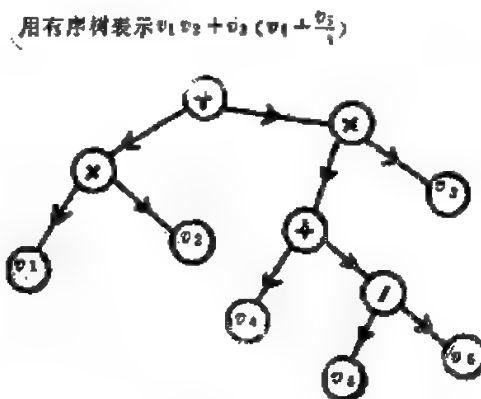


图5.2

(16)  $m$ 元有向树 (或  $m$ 元有序树): 若在有向树 (或有序树) 中, 每个顶点  $v$ , 有  $d^+(v) = m$ , 则称此有向树 (或有序树) 为  $m$ 元有向树 (或  $m$ 元有序树)。

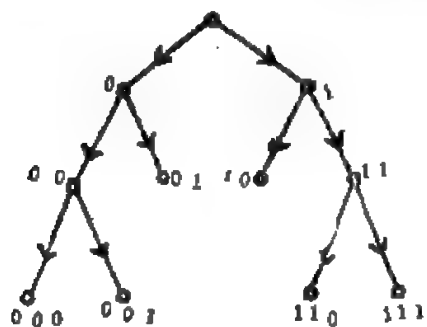
(17) 完全  $m$ 元有向 (序) 树: 若对每个顶点  $v$ , 有  $d^+(v) = m$  或  $d^+(v) = 0$ , 则称此有向 (序) 树为完全  $m$ 元有向 (序) 树。

二叉树: 指完全二元有序树。

(18) 定位有序树: 对于  $m$ 元有序树, 不仅每个顶点可能有  $m$ 个儿子, 而且每个儿子可能排在  $m$ 个不同的位置上, 称这样的有序树为定位有序树。

(19) 前缀编码: 对应于树的叶的编码集组成一个前缀编码 (不同的定位二元有序树对应不同的前缀编码, 这种表示方法是便于计算机的存储方式) (图5.3)。

(20) 距离: 设  $T_1, T_2$  是有向图  $D$  的两棵生成树, 把在  $T_1$  中而不在  $T_2$  中的弧的数目称



前缀编码为 {000, 001, 01, 10, 110, 111}。

图5.3



$$T_1 = \{e, f, g, h\} \xrightarrow{T_1 \oplus \{d, h\}} T_2 = \{d, e, f, g\}.$$

图5.4

为 $T_1$ 和 $T$ 的距离, 记作 $d(T_1, T_2)$ .

(21) 基本树变换: 设 $E_0$ 是由有向图 $D$ 的两条弧组成的弧集, 由 $T_1 \oplus E_0 = T_2$ 所确定的从生成树 $T_1$ 到生成树 $T_2$ 的变换, 称为基本树变换. (图5.4)

(22) 引进符号

①.  $T_2 = \{T_1 \oplus \langle a, p \rangle \mid p \in S_+(T_1), p \neq a\}$ .

②.  $Se(T)$ :  $S$ 是关于生成树 $T$ 的基本割集,  $e$ 是 $S$ 中所包含的 $T$ 中的树枝,  $Se(T)$ 表示这个基本割集,  $Se(T)$ 中不包含 $T$ 中其它树枝.

③  $Ta_1 a_2 \dots a_m = \{T' \oplus \langle a_1, p \rangle \mid p \in S_{a_1}(T') \cap S_{a_2}(T_0), T' \in Ta_1, a_1, \dots, a_m, p \neq a_1\}$ . (其中 $T_0 = \langle a_1, a_2, \dots, a_m \rangle, k \leq m$ ).

(23)  $M$ -序列: 若有序弧集 $\langle a_{i1}, a_{i2}, \dots, a_{ip} \rangle$ 的每个子集 $\langle a_{i1}, a_{i2}, \dots, a_{iq} \rangle (q = 1, 2, \dots, p)$ 均由连通子图的弧集组成, 则称此有序弧集构成 $M$ -序列.

(24) 比赛图: 一个比赛图是一个定向的完全图.

### (三) 定 理

#### 1. 基本概念和性质

(1) 双向连通是有向图 $D$ 的顶点集合 $V(D)$ 的一个等价关系.

(2) 设 $P$ 是有向图 $D$ 的一个子图, 若

1°  $d^+(i) = 1, d^-(i) = 0 \quad i, j \in V(P);$

$d^+(j) = 0, d^-(j) = 1$

2° 对任意的 $v \in V(P)$ , 有 $d^+(v) = d^-(v) = 1$ , 则 $P$ 是一有向 $(i, j)$ 通路.

(3) 设 $C$ 是有向图 $D$ 的一个子图, 若

1° 对任意的 $v \in V(C)$ , 有 $d^+(v) = d^-(v)$ ;

2° 对任意的 $v \in V(C)$ ,  $d(v) = 2$ , 则 $C$ 是一条有向回路.

(4) 设 $D$ 是有向连通图, 对任意的 $v \in V(D)$ ,  $d^+(v) = 1$  (或 $d^-(v) = 1$ )  $\implies D$ 恰有一条有向回路.

(5) 有向图 $D$ 有有向回路 $\iff$ 存在一个所有顶点均满足 $d^+(v) > 0$ 和 $d^-(v) > 0$ 的子图.

(6) 有向图 $D$ 无有向回路 $\iff$ 能通过 $W$ 过程去掉 $D$ 中所有的边.

(7) 一有向图是强连通的 $\iff G$ 中有一个回路, 它至少包含每个结点一次 $\iff$ 它有一条生成闭通道; 它是单侧的 $\iff$ 它有一条生成通道; 它是侧的 $\iff$ 它有一条生成半通道.

(8) 方向对偶原则: 对于每一个关于有向图的定理有一个相应的定理, 它由将每一个概念代以它的逆概念得到.

(9) 一个无圈有向图 $D$ 至少有一个点的出度等于零.

(10) 一个无圈有向图 $D$ 至少有一个点的入度等于零.

(11) 一个有向图 $D$ 的下列性质是等价的:

(1°)  $D$ 是无圈的; (2°)  $D^*$ 同构于 $D$ ; (3°)  $D$ 的每一条通道是一道路; (4°) 可将 $D$ 的点编号, 使邻接矩阵 $D(D)$ 是上三角形的.

(12) 一个弱有向图是一个出(入)树 $\iff$ 恰有一个点的入(出)度等于零, 而其余

点的出(入)度等于1.

(13) 对于一个弱有向图, 下列陈述是等价的:

(1°)  $D$  是函数的; (2°)  $D$  恰有一个圈, 移去此圈的弧产生一个有向图, 其中每一个弱支是一个入树; (3°)  $D$  恰有一个圈  $Z$ , 移去  $Z$  的任何一条弧产生一个入树.

(14) 每一个无圈有向图有唯一的一个点基, 它由所有入度等于0的点组成.

(15) 一个有向图  $D$  的每一个点基由  $D$  的构成  $D^*$  的点基的每个强支中的正好一个点组成.

(16) 每一个没有奇圈或无圈的有向图都有一个1-基.

## 2. 矩阵表示

(17)  $D^n$  的  $i, j$  元  $d_{ij}^{(n)}$  是由  $v_i$  到  $v_j$  的长度等于  $n$  的通道的数目.

(18)  $D$  是一个有向图,  $D_i$  ( $i = 1, \dots, n$ ) 是其线性子图, 且  $D_i$  中有  $c_i$  个偶圈  $\implies ce$

$$D_{(i)} = \sum_{i=1}^n (-1)^{c_i}.$$

(19) 对任何一个标定有向图  $D$ ,  $Mod$  的第  $i$  行中的任何一个元的余因子的值是以  $v_i$  为汇的生成入树的数目.

(20)  $Mod$  的第  $j$  列中任何一个元的余因子的值是以  $v_j$  为源的生成出树的数目.

(21) 在一个 Euler 有向图中, Euler 迹的数目等于

$$C \cdot \prod_{i=1}^d (d_i - 1)!$$

其中,  $d_i = id(v_i)$ ,  $C$  是  $Mod$  的所有余因子的公共值.

(22) 可达性矩阵的元可由  $D$  的幂如下得到:

1° 对所有的  $i$ ,  $r_{ii} = 1$ ;

2°  $r_{ij} = 1 \iff$  对某一个  $n$ ,  $d_{ij}^{(n)} > 0$ .

(23) 令  $v_i$  是有向图  $D$  的一个点,  $D$  的含  $v_i$  的强支由矩阵  $R \times R^T$  中的第  $i$  行 (或列) 中等于1的元所决定.

(24) 距离矩阵的元可由  $D$  的幂如下得到:

1° 对所有的  $i$ ,  $s_{ii} = 0$ ;

2°  $s(v_i, v_j)$  是最小的使  $d_{ij}^{(n)} > 0$  的  $n$  (若这样的  $n$  存在, 否则为  $\infty$ ).

(25)  $A_n$  的铁是  $n - 1$ .

(26)  $n_i$  阶有向连通图  $D$  的关联矩阵  $A$  的一个主子阵, 是非奇异的  $\iff$  此主子阵之列对应  $D$  的一棵生成树的树枝.

(27) 设  $A_1$  是有向图  $D$  的关联矩阵  $A$  的一个非奇异主子阵  $\implies A_1$  的行列式的值为1或-1.

(28)  $B_n$  的铁为  $n - n_i + 1$ .

(29) 有向连通图  $D$  的回路矩阵  $B$  的一个主子阵, 是非奇异的  $\iff$  该主子阵之列对应某生成树的连枝.

(30) 基本回路矩阵  $B_f$  是全单位模矩阵.

(31)  $Q_c$  的铁为  $n - 1$ .



(32) 基本割集矩阵是全单位模矩阵。

(33) 回路矩阵和割集矩阵的所有非奇异的大子阵的行列式, 分别具有相同的值。

### 3. 有向(序)树

(34) 设  $T_1$  和  $T_{k+1}$  是有向图  $D$  的两棵生成树,  $d(T_1, T_{k+1}) = K \implies T_{k+1}$  可从  $T_1$  经  $K$  次基本树变换而得到。

(35) 设  $T_1$  和  $T_2$  是图  $D$  的两棵生成树, 且距离为 1, 若  $T_1 - T_2 = \{a\}$ ,  $T_2 - T_1 = \{b\}$ , 则弧  $b$  在  $Sc(T_1)$  中; 反之, 若弧  $b$  在  $Sc(T_1)$  中, 则  $T \oplus \{a, b\}$  是  $D$  的一棵生成树 (可推广至  $p$  个生成树的情形)。

(36) 设有生成树  $T_0 = \{a_1, a_2, \dots, a_n\} \implies$  每一个和  $T_0$  距离为 1 的生成树恰在下列集合  $Ta_1, Ta_2, \dots, Ta_n$  之一中。

(37) 连通有向图  $D$  的生成树数目是

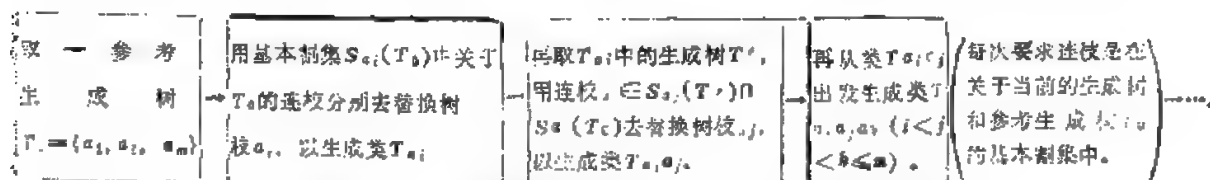
$$\det(AA^T)$$

$A$  为  $D$  之关联矩阵。

(38)  $N$  阶完全图的生成树的个数是  $N^{N-2}$ 。

(39) [附] 生成树的生成过程:

设  $T_0 = \{a_1, a_2, \dots, a_n\}$  是一棵生成树并称之为参考生成树, 且设  $\{a_1, a_2, \dots, a_n\}$  是一个  $M$ -序列。



(40) 每一个比赛图有一条生成道路。

(41) 每一个有  $p$  个点的强比赛图, 对  $n = 3, 4, \dots, p$ , 有一个长度等于  $n$  的圈。

(42) 一个比赛图是强的  $\iff$  它有一个生成圈。

(43) 由一个得分最大的点到其它任何一个点的距离等于 1 或 2。

(44) 一个得分序列  $(S_1, S_2, \dots, S_p)$  的比赛图中可递三元组的数目等于  $\sum S_i(S_i - 1)/2$ 。

(45) 在所有有  $p$  个点的比赛图中, 循环三元组的最多数目等于  $t(p, 3)$

$$= \begin{cases} \frac{p^3 - p}{24} & (p \text{ 为奇数}), \\ \frac{p^3 - 4p}{24} & (p \text{ 为偶数}). \end{cases}$$

(46) 有向图  $G = (X, U)$  是以  $a$  为根的树形图  $\iff$  自顶点  $a$  通向其他各顶点有且仅有一条路。

(47) 有向图  $G = (X, U)$  是树形图且以  $a$  为根  $\iff$  图  $G$  无圈, 且  $d_G^-(a) = 0$   $d_G^-(x) = 1$  ( $x \in X, x \neq a$ )。

(48) 有向图  $G = (X, U)$  有根  $\iff$  图  $G$  是准强联的。

(49) 有向图  $G = (X, U)$  有跨顶树形图  $\iff$  图  $G$  为准强联的。

(50) 已经单纯、无环联接图  $G = (X, E)$ , 设  $x_0 \in X$  是其任一顶点, 总可将  $E$  中的每一

边定向, 使成有向图  $G_1 = (X, U)$ , 在其中有部分图  $H$  是一个以  $x_1$  为根的树形图。

#### 4. 有向图的Hamilton有向圈和通路

(51) 一个无环的有向图  $D$ , 最小出入度为  $K$ , 顶点数为  $p$ 。当  $5 \leq p \leq 2K$  时,  $D$  中有弧不重的一个Hamilton有向圈和一个Hamilton有向通路。

(52) (Ghouila-Houri, [1960]) 设无环图  $G = (X, \Gamma)$  是一个阶  $n \geq 3$  的强联1-图。若在每个顶点上有

$$d_G^+(x) + d_G^-(x) \geq n$$

$\Rightarrow G$  有  $H$ -回路。

(53) (Nash-Williams, [1969]) 设  $G = (X, \Gamma)$  是一个阶  $n \geq 3$ 、无环的1-图, 且

$$d_G^+(x) \geq \frac{n}{2}, \quad d_G^-(x) \geq \frac{n}{2} \quad (x \in X)$$

$\Rightarrow G$  有  $H$ -回路。

(54) 设  $G$  是一个无环、阶  $n \geq 3$  的1-图, 具有性质

$$d_G^+(x) \geq \frac{n+K}{2}, \quad d_G^-(x) \geq \frac{n+K}{2} \quad (x \in X)$$

其中  $K$  是一个整数:  $0 \leq K \leq n-1$

$\Rightarrow G$  中每一个  $K$  长的初级路含在一个  $H$ -回路内。

(55) 设  $G = (X, \Gamma)$  是一个无环的1-图, 具有性质

$$d_G^+(x) + d_G^-(x) \geq n-1 \quad (x \in X)$$

$\Rightarrow G$  有  $H$ -路。

(56) 设  $G = (X, \Gamma)$  是一个完全1-图  $\Rightarrow G$  有  $H$ -路。

(57) 比赛图  $G = (X, \Gamma)$  有  $H$ -路。

(58) 设  $G = (X, \Gamma)$  是一个阶  $n \geq 3$  的无环的强联1-图。在图中任意去掉一顶点所得图仍保持强联, 且

$$d_G^+(x) + d_G^-(x) \geq n+1 \quad (x \in X)$$

$\Rightarrow$  对每一对相异顶点  $a$  与  $b$ , 在  $G$  里存在一条  $H$ -路以  $a, b$  为其端点 (即  $H$ -路自  $a$  到  $b$  或自  $b$  到  $a$ )。

(59) 设图  $G = (X, \Gamma)$  是一个  $n$  阶无环的1-图, 具有性质

$$d_G^+(x) \geq \frac{n+1}{2}, \quad d_G^-(x) \geq \frac{n+1}{2} \quad (x \in X)$$

$\Rightarrow$  每一对顶点  $a$  与  $b$  之间有  $H$ -路相联。

(60) 设有向图  $G = (X, \Gamma)$  是一个完全1-图 (可能有环)。在图上任一点  $x_0$  具有下列性质

$$|\Gamma(x_0) - \{x_0\}| = \max_{x \in X} |\Gamma(x) - \{x\}|$$

$\Rightarrow$  称  $x_0$  是图的中心, 且自这点到图上任一点有路, 其长不超过 2。

(61) (Cannon, [1959]) 设有向图  $G = (X, \Gamma)$  是一个强联的完全1-图  $\Rightarrow G$  有  $H$ -回路。

## (四) 题 解

(1) 证明在有向图  $D = (V, U)$  中,

$$\sum_{v \in V} d^-(v) = \varepsilon = \sum_{v \in V} d^+(v).$$

证: 设  $G$  是  $D$  的基础图, 则有

$$\sum_{v \in V(D)} d^-(v) + \sum_{v \in V(D)} d^+(v) = \sum_{v \in V(G)} d(v) = 2\varepsilon,$$

因  $D$  的每条弧对应且仅对应一个内半次和一个外半次, 故有

$$\sum_{v \in V} d^-(v) = \sum_{v \in V} d^+(v) = \varepsilon.$$

(2) 设  $D$  是没有单向回路的有向图,

① 证明:  $\delta^- = 0$ ;

② 推演: 存在  $V$  的一个有序点列  $v_1, v_2, \dots, v_r$ , 使对于  $1 \leq i \leq r$ , 以  $v_i$  为头的  $D$  的每条弧在  $v_1, v_2, \dots, v_{i-1}$  中都有它的尾.

证: ① 用反证法. 假设  $\delta^- \neq 0$ , 即  $\delta^- \geq 1$ , 亦即  $\forall v \in V$  至少有一条弧指向  $v$ . 设这条弧为  $a_1 = (v_1, v)$ , 且  $v_1 \neq v$  (否则有单向回路).

$$\because d^-(v_1) \geq \delta \geq 1,$$

$\therefore$  存在弧  $a_2 = (v_2, v_1)$  且  $v_2 \neq v, v_2 \neq v_1$  (否则有单向回路).

$$\text{又} \because d^-(v_2) \geq \delta \geq 1,$$

$\therefore$  存在弧  $a_3 = (v_3, v_2)$  且  $v_3 \neq v, v_3 \neq v_1, v_3 \neq v_2$  (否则有单向回路).

.....  
继续做下去, 由于顶点有限, 故必出现一顶点与前面出现的某一顶点相同, 即存在单向回路, 矛盾.

② 对  $v$  归纳证明:

当  $v = 2$  时, 显然结论成立.

假设  $v < n$  时, 结论成立; 欲证  $v = n > 2$  时, 结论也成立.

事实上, 由①得  $\delta^- = 0$ , 同理也有  $\delta^+ = 0$ . 设  $d(v) = \delta^+ = 0$ , 显然  $D - v$  没有单向回路, 于是由归纳假设知  $V(D - v)$  存在一个有序点列  $v_1, v_2, \dots, v_{r-1}$ , 使对于  $1 \leq i \leq r-1$ , 以  $v_i$  为头的每条弧在  $v_1, v_2, \dots, v_{i-1}$  中都有它的尾.

令  $v_r = v$ , 则  $V(D)$  的有序点列  $v_1, v_2, \dots, v_{r-1}, v_r$  也符合要求.

(3) 证明: 当且仅当  $D$  是连通的, 且  $D$  的每一块是双向连通时,  $D$  是双向连通的.

证: “ $\Rightarrow$ ” 设  $D$  是双向连通的, 显然  $D$  连通, 且设  $D[V_i]$  是  $D$  的任一块, 现证  $D[V_i]$  是双向连通的.

$\forall u, v \in V$ , 由  $D$  的双向连通性知: 在  $D$  中存在单向  $(u, v)$ -通路  $P$ . 又由块的定义知:  $P$  不能通过割点, 所以在  $D[V_i]$  中存在单向  $(u, v)$ -通路. 由  $u, v$  的任意性可知  $D[V_i]$  是双向连通的.

“ $\Leftarrow$ ” 对  $D$  的块数归纳证明: 当  $D$  仅有一个块时, 结论显然成立. 假设  $D$  有  $K$  个块时, 结

论成立, 欲证  $D$  有  $K+1$  个块时结论亦成立。

由前面二题解 (20) 得知:  $D$  中存在块  $D_1$  仅有一个割点  $v_1$ , 去掉这个块便得到一个仅有  $K$  个块的连通有向图  $D_2$ , 且每个块都是双向连通的。由归纳假设知  $D_2$  是双向连通的, 又  $D = D_1 \cup D_2$ , 且  $D_1 \cap D_2 = \{v_1\}$ , 以及  $D_1$  是双向连通的。故对于  $\forall u, v \in V(D)$ , 若  $u, v \in V(D_1)$  或  $u, v \in V(D_2)$ , 则由  $D_1$  和  $D_2$  的双向连通性知: 在  $D$  中存在单向  $(u, v)$ -通路。否则不失一般性, 设  $u \in V(D_1)$ ,  $v \in V(D_2)$ , 则在  $D_1$  中存在单向  $(u, v_1)$ -通路  $P_1$ , 在  $D_2$  中存在单向  $(v_1, v)$ -通路  $P_2$ , 于是  $P_1 P_2$  便是  $D$  中一条单向  $(u, v)$ -通路。

因此, 由  $u, v$  的任意性知  $D$  是双向连通的。

(4) 设  $v_1, v_2, \dots, v_r$  是有向图  $D$  的顶点,  $D$  的邻接矩阵是  $r \times r$  矩阵  $A = [a_{ij}]$ , 其中  $a_{ij}$  是以  $v_i$  为尾, 以  $v_j$  为头的  $D$  的弧的数目。

证明:  $A^K$  的  $(i, j)$  元素是  $D$  中长度为  $K$  的单向  $(v_i, v_j)$ -途径的数目。

证: 对  $K$  归纳证明:

当  $K=1$  时, 由  $A$  的定义知结论成立。

假设  $K < n$  时, 结论成立, 欲证  $K=n$  时, 结论成立。

事实上  $A^K = A^{K-1} \cdot A$ , 设  $A^{K-1} = [b_{ij}]$ ,  $A^K = [c_{ij}]$ , 则  $c_{ij} = \sum_{l=1}^r b_{il} a_{lj}$ 。

由归纳假设知:  $b_{il}$  是  $D$  中长度为  $K-1$  的单向  $(v_i, v_l)$ -途径的数目,  $a_{lj}$  是  $D$  中以  $v_l$  为尾,  $v_j$  为头的弧的数目。

于是  $c_{ij} = \sum_{l=1}^r b_{il} a_{lj}$  是  $D$  中长度为  $K$  的单向  $(v_i, v_j)$ -途径的数目。

(5) 设  $D_1, D_2, \dots, D_n$  是  $D$  的双向分支,  $D$  的凝结  $\hat{D}$  是一个具有  $n$  个顶点  $W_1, W_2, \dots, W_n$  的有向图, 当且仅当  $D$  中存在一条尾在  $D_i$  中头在  $D_j$  中的弧时,  $\hat{D}$  中存在一条以  $W_i$  为尾, 以  $W_j$  为头的弧。

试证:  $D$  的凝结  $\hat{D}$  不含单向回路。

证: 用反证法。假设  $\hat{D}$  含有单向回路  $W_{i_1}, W_{i_2}, \dots, W_{i_k}, W_{i_1}$  对应于  $D$  中的双向分支:  $D_{i_1}, D_{i_2}, \dots, D_{i_k}, D_{i_1}$ 。由  $\hat{D}$  的定义知: 存在  $v_1 \in V(D_{i_1}), v_1' \in V(D_{i_2})$ , 使得  $(v_1, v_1') \in A(D)$ ; 存在  $v_2 \in V(D_{i_2}), v_2' \in V(D_{i_3})$ , 使得  $(v_2, v_2') \in A(D), \dots, \dots, \dots$ ; 存在  $v_k \in V(D_{i_k}), v_k' \in V(D_{i_1})$ , 使得  $(v_k, v_k') \in A(D)$ 。

对任意的  $v \in V(D_{i_1}), u \in V(D_{i_2})$ 。设  $D_{i_1}$  中的单向  $(v, v_1)$ -通路为  $P$ ,  $D_{i_2}$  中的单向  $(v_1', u)$ -通路为  $Q$ , 则  $P(v_1, v_1')Q$  为  $D$  中的单向  $(v, u)$ -通路。

再设  $D_{i_2}$  中的单向  $(u, v_2)$ -通路为  $P'$ ,  $D_{i_3}$  中的单向  $(v_2', v_2)$ -通路为  $P_2$ ,  $D_{i_4}$  中的单向  $(v_2', v_2)$ -通路为  $P_2$ ,  $\dots, D_{i_k}$  中的单向  $(v_{k-1}', v_k)$ -通路为  $P_k$ ,  $D_{i_1}$  中的单向  $(v_k', v)$ -通路为  $\theta'$ , 则  $P'(v_2, v_2')P_2(v_2, v_2')P_2 \dots P_k(v_k, v_k')\theta'$  为  $D$  中另一单向  $(u, v)$ -通路。

即  $v, u$  属同一双向分支, 这与  $v, u$  分属不同双向分支  $D_{i_1}$  和  $D_{i_2}$  矛盾。

(6) 有向图  $D$  是单侧的, 是指对于任意两个顶点  $u$  和  $v$ , 或者  $v$  是从  $u$  出发可达到的, 或者  $u$  是从  $v$  出发可达到的, 试证: 当且仅当有一个支撑单向路径时,  $D$  是单侧的。

证: “ $\Rightarrow$ ” 构造有向图  $D'$ ,  $V(D') = V(D)$ ,  $\forall u, v \in V(D')$ ,  $(u, v) \in A(D')$ , 当且仅当  $v$  从  $u$  出发是可达到的。故由  $D$  是单侧的可知:  $D'$  是一个比赛图。由定理可知  $D'$  含有单向

Hamilton通路, 故 $D$ 有一个支撑单向路径。

“ $\Leftarrow$ ” 设 $D$ 有一个支撑单向路径, 则 $D$ 中任意两点均位于一条单向路径上, 于是 $D$ 中任意两点间均有一条单向路径, 因而 $D$ 中任意两点间均有一条单向通路, 即 $D$ 是单侧的。

(7) ① 设 $D$ 是 $X > mn$ 的一个有向图, 而 $f$ 是定义在 $V$ 上的一个实值函数。试证:  $D$ 或者具有一条满足 $f(u_0) \leq f(u_1) \leq \dots \leq f(u_n)$ 的单向通路 $(u_0, u_1, \dots, u_n)$ ; 或者具有一条满足 $f(v_0) > f(v_1) > \dots > f(v_n)$ 的单向通路 $(v_0, v_1, \dots, v_n)$ 。

② 任意 $mn+1$ 个不同整数的序列, 或者包含 $m$ 项的增加子序列, 或者包含 $n$ 项的减少子序列。

证: ① 设 $D_1$ 和 $D_2$ 是 $D$ 的两个支撑子图, 使得 $D_1$ 的弧是 $D$ 中 $f(u) \leq f(v)$ 的那些弧 $(u, v)$ , 而 $D_2$ 的弧是 $D$ 中 $f(u) > f(v)$ 的那些弧 $(u, v)$ 。

i) 证明 $X(D_1) > m$ 或 $X(D_2) > n$ 。

用反证法证之。假设有 $X(D_1) \leq m$ 和 $X(D_2) \leq n$ 。  $\because A(D_1) \cup A(D_2) = A(D)$ ,

$$A(D_1) \cap A(D_2) = \emptyset,$$

$$\therefore X(D) \leq X(D_1) + X(D_2) \leq mn,$$

这与 $X(D) > mn$ 矛盾。

ii) 由定理知: 或者 $D_1$ 含长为 $X(D_1) - 1 > m - 1$ 的单向通路, 或者 $D_2$ 含有长为 $X(D_2) - 1 > n - 1$ 的单向通路, 即 $D$ 或者含有一条满足 $f(u_0) \leq f(u_1) \leq \dots \leq f(u_n)$ 的单向通路 $(u_0, u_1, \dots, u_n)$ , 或者含有一条满足 $f(v_0) > f(v_1) > \dots > f(v_n)$ 的单向通路 $(v_0, v_1, \dots, v_n)$ 。

③ 设 $D$ 为 $mn+1$ 个顶点上的比赛图, 显然

$$\therefore X(D) = mn + 1 > mn.$$

令这 $mn+1$ 个顶点上的实值函数值分别为这 $mn+1$ 个不同的整数。于是由①知 $D$ 或者具有一条满足

$$f(u_0) \leq f(u_1) \leq \dots \leq f(u_n)$$

的单向通路 $(u_0, u_1, \dots, u_n)$ ; 或者具有一条满足

$$f(v_0) > f(v_1) > \dots > f(v_n)$$

的单向通路 $(v_0, v_1, \dots, v_n)$ 。

即这 $mn+1$ 个整数序列中, 或者包含 $m$ 项的增加序列, 或者包含 $n$ 项减少子序列。

(8)  $D$ 的单向Euler环游是一条单向环游, 它经过 $D$ 的每条弧恰好一次。

试证: 当且仅当 $D$ 是连通的, 并且对所有 $v \in V$ 成立 $d^+(v) = d^-(v)$ 时,  $D$ 包含一条单向Euler环游。

证: “ $\Rightarrow$ ” 设 $D$ 含单向Euler环游, 并设 $C$ 是 $D$ 的一条单向Euler环游,  $u$ 是 $C$ 的起点 $C$ 也是 $C$ 的终点, 显然 $D$ 是连通的。

作为 $C$ 的内部顶点 $v$ 每出现一次就有两条弧与之关联; 又 $C$ 包含 $D$ 的所有弧, 故当 $v \neq u$ 时有 $d^+(v) = d^-(v)$ 。另外由于 $C$ 开始并终止于 $u$ , 故 $d^+(u) = d^-(u)$ , 于是对所有的 $v \in V$ 均有 $d^+(v) = d^-(v)$ 。

“ $\Leftarrow$ ” 用反证法证之。假设 $D$ 连通且对任意的 $v \in V$ 均有 $d^+(v) = d^-(v)$ , 而 $D$ 不含单向Euler环游, 并设 $D$ 是满足这样条件且使边数达到最小的有向图。

因 $D$ 连通且对任意的 $v \in V$ 有 $d^+(v) = d^-(v)$ , 故 $\max \delta^+, \delta^- \geq 1$ 。由定理: “若 $D$ 是狭义的, 且 $\max \delta^-, \delta^+ = K > 0$ , 则 $D$ 含有一条长度至少为 $K+1$ 的单向回路”。——得知 $D$ 含有长度至少为2的单向回路, 于是可设 $C$ 是 $D$ 中长度最大的一条单向闭链。

用 $D$ 不含单向Euler环游, 故 $D - E(C)$ 中存在分支 $D'$ , 使 $e(D') > 0$ ; 又因 $C$ 含单向

Euler环游, 故对任意的 $v \in V(C)$ 有

$$d_C^+(v) = d_C^-(v),$$

于是对任意的 $v \in V(D')$ 也有 $d_{D'}^+(v) = d_{D'}^-(v)$ . 因 $\varepsilon(D') < \varepsilon(D)$ , 故由 $D$ 的选择得知 $D'$ 有一条单向Euler环游 $C'$ ; 又因 $D$ 连通, 故 $V(C) \cap V(C') \neq \emptyset$ .

设 $v \in V(C) \cap V(C')$ 并不失一般性设 $v$ 是 $C$ 和 $C'$ 的起点和终点. 于是,  $cc'$ 就是使得 $\varepsilon(c') > \varepsilon(c)$ 的一条单向闭链. 这与 $C$ 的选择矛盾, 据此 $D$ 含有单向Euler环游.

(9) 试证: 包含奇回路的双向连通有向图 $D$ 也包含单向奇回路.

证: 设 $v_1 v_2 \cdots v_{2k+1} v_1$ 是 $D$ 的一条奇回路. 若 $(v_i, v_{i+1}) \in A(D)$ , 则令 $P_i = (v_i, v_{i+1})$ .

若 $(v_i, v_{i+1}) \in A(D)$ , 则令 $P_i =$ 单向 $(v_i, v_{i+1})$ -通路 (因 $D$ 双向连通).

若存在某个 $P_i$ 是偶数长度, 则 $P_i + (v_{i+1}, v_i)$ 是 $D$ 的一条单向奇回路. 否则,  $P_1 P_2 \cdots P_{2k+1}$ 是 $D$ 的一条奇数长度的单向闭链. 因单向闭链可分解为若干个路不重并的单向回路, 于是其中至少有一条单向回路的长度是奇数 (否则单向闭链的长将是偶数, 引出矛盾).

(10) 一个非平凡有向图 $D$ 是 $K$ -弧连通的, 是指对于 $V$ 的每个非空真子集 $S$ , 均有 $| (S, \bar{S}) | \geq K$ . 试证: 一个非平凡有向图是双向连通的充要条件是它为1-弧连通的.

证: “ $\Rightarrow$ ” 设非平凡有向图 $D$ 是双向连通的. 假设 $D$ 不是1-弧连通的, 即存在 $S \subset V$ , 使得 $| (S, \bar{S}) | = 0$ , 因 $S \neq \emptyset$ ,  $\bar{S} \neq \emptyset$ , 故存在 $u \in S$ ,  $v \in \bar{S}$ 且 $u, v$ 间不存在单向 $(u, v)$ -通路, 这与 $D$ 是双向连通的矛盾.

“ $\Leftarrow$ ” 设 $D$ 是1-弧连通的, 即任意给定 $S \subset V$ , 均有 $| (S, \bar{S}) | \geq 1$ . 现证 $D$ 是双向连通的. 用反证法证之. 假设存在两顶点 $u$ 和 $v$ , 使得 $D$ 中不存在单向 $(u, v)$ -通路, 令 $S$ 是 $D$ 中存在单向 $(u, w)$ -通路的所有顶点 $w$ 的集合. 显然,  $v \in \bar{S}$ ,  $(S, \bar{S}) = \emptyset$ , 故 $| (S, \bar{S}) | = 0$ , 这与 $D$ 是1-弧连通的, 即任给 $S \subset V$ , 均有 $| (S, \bar{S}) | \geq 1$ , 矛盾.

(11) 设 $S$ 是 $n$ 个字母的字母表. 试证: 存在一个包含每个字母的 $n^2$ 个拷贝的循环序列, 使由 $S$ 的字母形成的每4个字母所组成的“字”都作为这个序列的一个块而出现.

证: ①构造有向图 $D_1$ : 顶点是 $S$ 中的任意3个字母, 每条弧都具有形式 $(ABC, BCD)$  于是, 每条弧都对应 $S$ 中的四个字母所组成的“字”.

②对于任意的 $v \in V(D_1)$ , 均有 $n$ 条弧指向 $v$ 和 $n$ 条弧离开 $v$ , 故有

$$d^-(v) = d^+(v) = n.$$

于是,  $D_1$ 包含一条单向Euler环游. 又因 $|V(D_1)| = n^3$ , 故 $|A(D_1)| = n \times n^2 = n^3$ ; 所以 $S$ 中每个字母在循环序列中均出现 $n^2$ 次.

(12) 证明树形图的所有顶点都是树根的后代.

证: 设 $v_0 \in V(H)$ ,  $H$ 是一个树形图,  $v_0$ 是 $H$ 的根. 对任一 $v_i \in V(H)$  ( $i \neq 0$ ), 显然由树形图的定义有唯一的一条弧以 $v_i$ 为头, 其尾设为 $v_{i_1}$ . 若 $i_1 = 0$ , 显然有 $v_i$ 是根的后代; 否则必有一弧以 $v_{i_1}$ 为头, 其尾设为 $v_{i_2}$ , 因 $H$ 不含有向回路, 故 $i_2 \neq i$ , 若 $i_2 = 0$ , 显然得证; 否则必有一弧以 $v_{i_2}$ 为头, 其尾设为 $v_{i_3}$ .  $H$ 不含有向回路, 故有 $i_3 \neq i_1$ ,  $i_3 \neq i$ . 若 $i_3 = 0$ , 显然得证; 否则重复上述过程, 因 $H$ 的顶点数是有限的, 必有 $i_k = 0$ . 于是, 有 $v_0$ 到 $v_i$ 的有向通路存在, 故 $v_i$ 是 $v_0$ 的后代.

(13) 说明任意树形图都可以用一个二分树来唯一地表示之.

解: 设 $H$ 是具有 $n$ 个顶点的树形图. 若 $v_0$ 是根, 则将 $v_0$ 的儿子用一水平线连起来, 并将 $v_0$ 与其最左边的儿子用一竖线连起来. 设 $v_0$ 的儿子分别为 $v_{i_1}, v_{i_2}, \dots, v_{i_r}$  (按从左到右的顺

序), 则将  $v_{i_1}, v_{i_2}, \dots, v_{i_n}$  用一水平线连起来, 并将  $v_i$  与最左边的儿子  $v_{i_1}$  用一竖线连起来,  $\dots$ 。每边的定向为水平边自左向右、竖直边自上向下, 然后将所得图以  $v_i$  为心按顺时针方向旋转  $45^\circ$ , 则可得一个具有  $n$  个顶点的顺序二分树。显然这种表示法是一致的 (如图 5.5)。

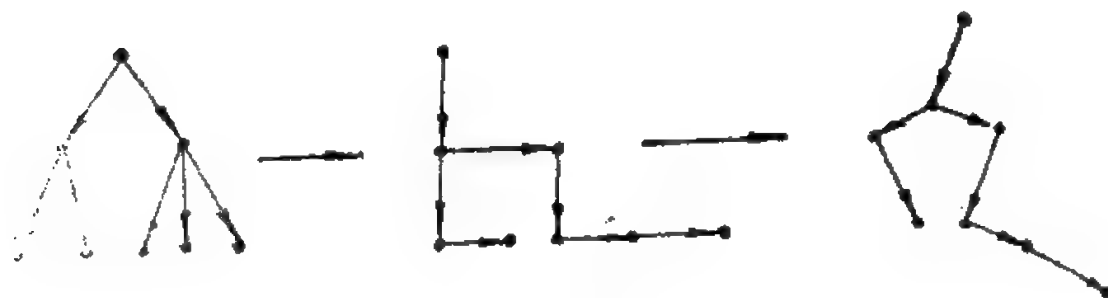


图 5.5

(14) 已知某图书馆共存书 100 万册, 其中属 A 类 50 万册, B 类 20 万册, C 类 5 万册, D 类 10 万册, E 类 15 万册, 试用构造最小二分树的方法, 设计一种方案, 将图书尽快分类。

解: 对权列 50、20、5、10、15 构造一个最小二分树为 (如图 5.6)。

故将图分类的方案应为 (如图 5.7)。

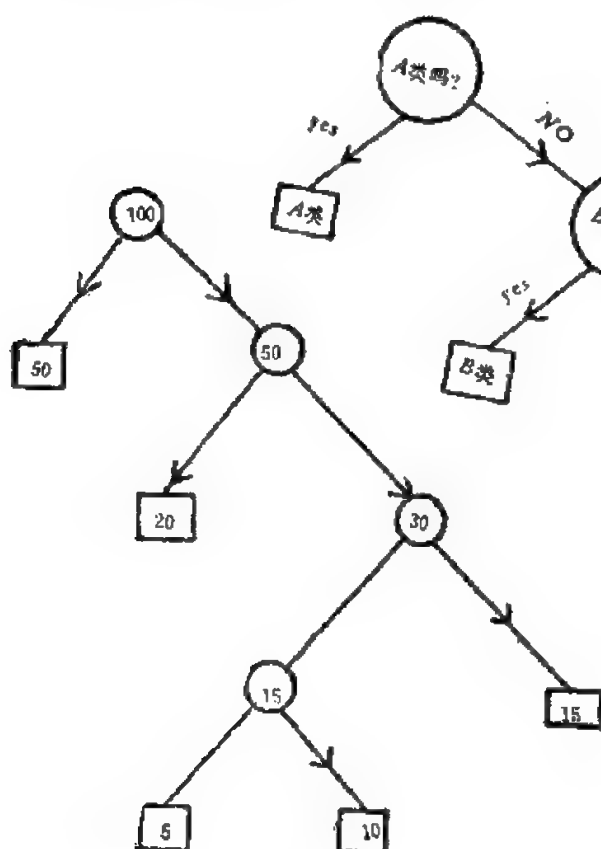


图 5.6

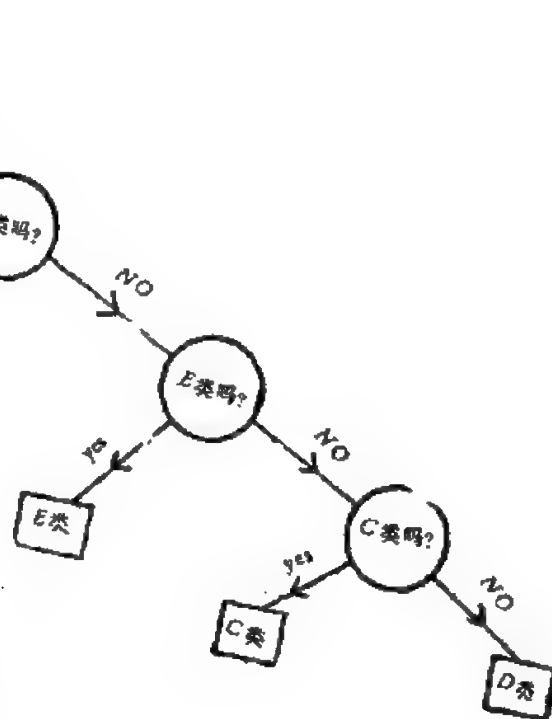
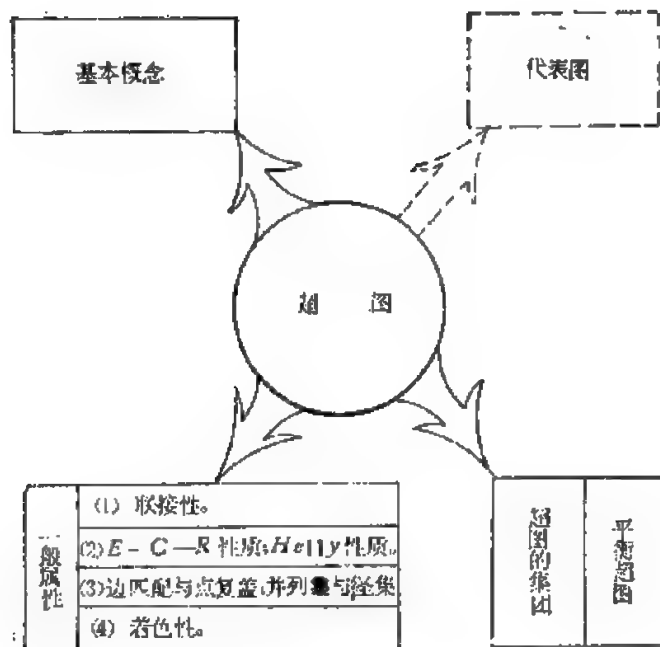


图 5.7

# 六、超图

## (一) 结 构



## (二) 概 念

### 1. 基本概念

(1) 超图: 设  $X = \{x_1, x_2, \dots, x_n\}$  是  $n$  个顶点的有限集。  $X$  的某一子集被称为一条边  $E_i$ 。若  $\bigcup_{i=1}^m E_i = X$ , 则称  $\mathcal{E} = \{E_1, E_2, \dots, E_m\}$  为边集。称图  $H = (X, \mathcal{E})$  为超图。

(2) 相邻: 在超图  $H$  中, 若二顶点共边, 则此二顶点称为相邻; 若二边有公共顶点, 则此二边也称为相邻。

(3) 对偶超图: 若一个超图取原超图  $H$  的顶点为边, 取原超图  $H$  的边为顶点, 而不改变顶边结合关系, 这样的超图称为原超图的对偶超图, 记作  $H^*$ 。

(4) 秩函数: 已经超图  $H = (X, \mathcal{E})$ , 在  $Z$  中任取子集  $S \subset X (S \neq \phi)$ , 函数

$$r(S) = \max_{E_i \in \mathcal{E}} |S \cap E_i| \quad (E_i \in \mathcal{E})$$

称为超图  $H$  的秩函数。



秩：当  $S = X$  时，

$$r(X) = \max_i |X \cap E_i| \quad (E_i \in \mathcal{E})$$

称为超图  $H$  的秩（它是超图  $H$  中边所含顶点的极大个数）。

(5) 部份超图：在  $\mathcal{E}$  中任取子集  $\mathcal{E}' \subset \mathcal{E}$ ，用  $\mathcal{E}'$  做为边集构成超图  $H_{\mathcal{E}'} = (X, \mathcal{E}')$ ，其中  $X_{\mathcal{E}'} = \bigcup_{E_i \in \mathcal{E}'} E_i$ ，则  $H_{\mathcal{E}'}$  称为超图  $H$  的部份超图。

(6)  $k$ -截：超图  $H$  的  $k$ -截定为

$$H_k = (X, \mathcal{E}_k).$$

$H_k$  仍是一个超图，其顶点集仍为  $X$ ，其边集则是原来的每一边上取不超过  $k$  个点的做边。

$k$ -截  $H_k$  的秩函数为：

$$r_k(s) = \min\{K, r(s)\}.$$

(7) 图  $(H)_2$ ：在 2-截  $H_2$  上舍弃每一顶点上的环便得一简单图，其每一边只含 2-顶，这样的图记作  $(H)_2$ 。

(8) 极大边：在超图里一条边  $E$ ，不被其它的边所包含，则称此边为极大的。

(9) 保形的：在  $H$  里有极大边集  $\mathcal{E}_{max}$ ，在  $(H)_2$  里也有极大团集  $\mathcal{E}_{max}$ ，若  $H$  与  $(H)_2$  有关系  $\mathcal{E}_{max} = \mathcal{E}_{max}$ ，则超图  $H$  叫做保形的。

(10) 一致（均匀）超图：每边含有同样多的顶点。（或称每边都满秩）。通常说的简单图是秩-2 的均匀超图。

(11) 度：在  $H(X, \mathcal{E})$  中每一顶点  $x$  所关联的边的数目称为顶点  $x$  的度，记作  $\deg_H(x)$ 。

(12) 正则超图：每一个顶点度均相等的超图称为正则超图。（显然  $r$ -均匀超图的对偶超图必是  $r$  正则图）。

(13) 简单超图：没有多重边的超图。即对任意的  $i, j$ ，只要  $i \neq j$ ，都有  $E_i \neq E_j$ 。

(14) 导出子超图：由  $H = (X, \mathcal{E})$  的顶点集  $X$  的子集  $A$  唯一决定出一个子图  $H_A$ ，它的顶点集为  $A$ ，当  $\mathcal{E}$  中的边完全由  $A$  中顶点所组成时，取为  $H_A$  中的边。

## 2. 超图的链和图

(15) 联接：若超图  $H$  上有链起于顶点  $a$ ，止于顶点  $b$ ，便记作  $a \equiv b$ （可证“ $\equiv$ ”是一个等价关系），此时称  $a$  到  $b$  的联接的。若在超图  $H$  上任取二顶点  $x, y$ ，总有  $x \equiv y$ ，则  $H$  称为是联接的。

(16) 联接的分子图：由于等价关系，便可将任一超图  $H$  分成若干个等价部分，称为超图的联接的分子图。

(17) 链与圈：设在超图  $H = (X, \mathcal{E})$  里存在一个点边序列

$$\mu = (x_1, E_1, x_2, E_2, \dots, E_q, x_{q+1}),$$

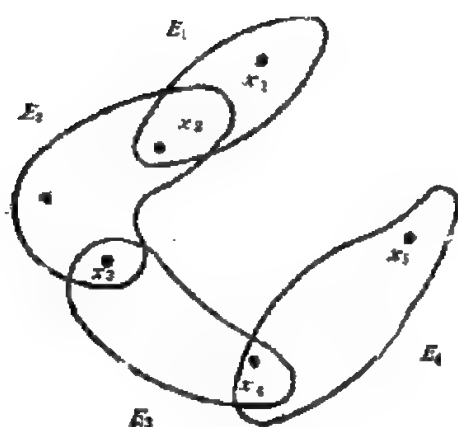
其中  $x_i$  是  $H$  的相异顶点， $E_i$  是  $H$  的相异边，且

$$x_k, x_{k+1} \in E_k \quad (k = 1, 2, \dots, q)$$

序列  $\mu$  中共含  $q$  个相异边，若  $x_{q+1} \neq x_1$ ，序列  $\mu$  是  $H$  的一条（初级）链，其长为  $q$ ；若  $x_{q+1} = x_1$ ，序列  $\mu$  便是  $H$  的一条（初级）圈，其长为  $q$ 。（如图 6.1）

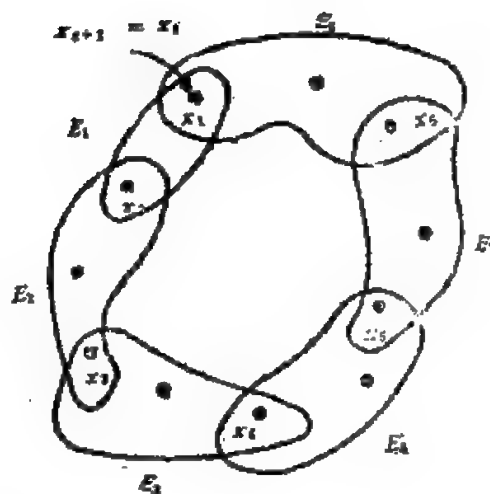
## 3. B-C-R 性质；Helly 性质

(18) 从：若  $H$  有一个部分子超图  $H'$ ，若  $H'$  的任二条边都相邻，则  $H'$  被称为  $H$  的一个从。



图

图6.1



图

(Bundle子图)。

(19) 星：一个丛，若它的全部边都有一个公共点，则这个丛可以称为一个星。

(20) 丛度：超图 $H$ 中存在边数最多的丛，这个边数定义为丛度。记作 $\Delta_0(H)$ 。

(21)  $E \cdot C \cdot R$ 性质：若一个超图的最大丛的边数 $\Delta_0(H)$ 达到最小值，也即等于最大点度，称 $H$ 具有 $E \cdot C \cdot R$ 性质。

(22) Hally性质：超图 $H$ 若其每一个丛都是星，也即任何一个两两相交的边子集均有一个共同的交点，则称 $H$ 具有Hally性质。

(23) 区间超图：顶点集 $X$ 为直线上点集，边为直线上的包含着 $X$ 内若干点的一个连续闭区间，这样的超图称为区间超图。

#### 4. 超图的并列集与径集

(24) 并列集：已给超图 $H = (X, \mathcal{E})$ ，设边的集合 $\mathcal{E}' \subset \mathcal{E}$ ，其中无二边相邻，则这个边集 $\mathcal{E}'$ 称为超图 $H$ 的并列集。

极大并列集：可能有并列集，含最多的边数，称为极大并列集。

(25) 先作一个边的交错序列

$$\sigma = (F_1, E_1, F_2, E_2, \dots, F_i, \dots),$$

其中  $F_i \in \mathcal{F} = \mathcal{E} - \mathcal{E}'$ ,  $E_i \in \mathcal{E}'$ ,

满足下列条件：

i)  $F_1 \in \mathcal{F} = \mathcal{E} - \mathcal{E}'$ ,  $F_1$ 是任选的。

ii) 设已有奇交错序列 $\sigma_i = (F_1, E_1, F_2, E_2, \dots, F_i)$ ，选取 $E_i$ ，使

a)  $E_i \in \mathcal{E}' - \sigma_i$ ,

b)  $E_i \cap \bigcup_{j < i} F_j \neq \emptyset$ .

取此 $E_i$ ，以扩大交错列 $\sigma_i$ 。

iii) 设已有偶交错序列

$$\sigma = (F_1, E_1, F_2, E_2, \dots, F_i, E_i)$$

选 $F_{i+1}$ ，使

a)  $F_{i+1} \in \mathcal{F} - \{F_1, F_2, \dots, F_i\}$ ,

$$b) F_{i+1} \cap \bigcup_{j \leq i} E_j \neq \phi,$$

$$c) F_{i+1} \cap \bigcup_{j \leq i} F_j = \phi.$$

用  $F_{i+1}$  来扩大交错列  $\sigma$ .

视  $\sigma$  里所含元素的个数是奇数或偶数, 分别称这个交错列是奇的或偶的. 设不能再有满足 ii) 或 iii) 的  $E_i$  与  $F_i$  选进  $\sigma$ , 即已不能再按上述规律将  $\sigma$  加以扩大, 则这个交错列称为是极大的.

(26) 径集: 已给超图  $H = (X, \mathcal{E})$ , 取顶点集  $T \subset X$ , 设  $T$  满足条件

$T \cap E_i \neq \phi$  (对一切  $i \in I$  均成立) 则  $T$  称为超图  $H$  的径集.

径集数: 在所有的径集中, 有一个其维极小, 这个极小的数称为超图  $H$  的径集数, 记作

$$\tau(H) = \min |T|.$$

(27) 吸收集: 已给一个简单图  $G = (X, E)$ , 所谓  $G$  的吸收集, 乃其顶点集的一个子集:  $A \subset X$ , 对每一顶点  $x \in A$ , 恒有边  $E$ , 取  $x$  为一个端点, 其另一端点在  $A$  内, 这样的顶点集  $A$  称为图  $G$  的吸收集; 维数极小的称为极小吸收集; 极小数称为图  $G$  的吸收数, 记作  $\beta(G) = \min |A|$ .

(28) 边匹配 (边独立集): 任二边都不交的边子集.

最大匹配数: 最大匹配中边的条数称为最大匹配数, 记作  $\nu(H)$ .

(29) 点复盖 (横贯集·点独立集): 超图顶点集  $X$  的一个子集  $T$ , 且超图的每一条边都至少有一个点落在  $T$  内. 即  $T \cap E_i \neq \phi$  ( $i = 1, \dots, m$ ).

最小复盖数: 点数最少的复盖, 它的基数  $\tau(H)$  称为最小复盖数记为  $\tau(H)$ .

(30) König 性质: 满足  $\nu(H) = \tau(H)$  的超图, 称为具有 König 性质.

(31) 全单模阵: 一个矩阵的所有子方阵行列式只有 0,  $\pm 1$  称为全单模阵.

单模超图: 邻接阵是全单模的超图称为单模超图.

(32)  $\tau$ -临界性: 已知超图  $H = (X; E_1, E_2, \dots, E_m)$ , 设  $H$  满足条件

$$\tau(H - E_i) < \tau(H)$$

对一切  $i = 1, 2, \dots, m$  均成立, 则  $H$  称为是  $\tau$ -临界的.

## 5. 超图的着色

(33) 点着色: 已给超图  $H = (X, \mathcal{E})$ , 用多种颜色将  $H$  的顶点着色, 使同一边  $E_i$  ( $|E_i| > 1$ ) 上的诸点不全是同一种色, 这就是所谓的超图的点着色. (超图  $H$  相邻接的边染不同色, 称正常染色).

(34) 点色数: 如上所用的最少种颜色称为超图  $H$  的点色数. 记作  $\chi(H)$ . (正常染色所需最少的色的种数, 叫做边染色数, 或色指标, 色指数, 记作  $\chi'(H)$ ).

(35) 稳固的: 设在超图  $H$  里取顶点集  $S \subset X$ , 使在  $S$  里不含任何边  $E_i$ , 其中  $|E_i| > 1$ , 则  $S$  称为是稳固的.

稳固数: 极大的稳固集  $S$ , 其维  $|S|$  称为  $H$  的稳固数.

(36)  $H$  是可- $q$ -着色: 将超图  $H$  的顶点作  $q$  个稳固集的划分, 每一稳固集中的点可染以一种颜色, 则  $q$  种颜色便是以涂染  $H$  的顶点, 使同一边上的顶点不同色, 此时称  $H$  为可- $q$ -着色.

## 6. 超图的代表图

(37) 代表图: 已给超图  $H = (E, X_1, X_2, \dots, X_n)$ , 取  $H$  的边做顶点  $x_1, x_2, \dots, x_n$ , 当且仅当两边  $X_i \cap X_j \neq \emptyset$  时, 始将  $x_i$  与  $x_j$  联边, 得图  $G$ , 这个图称为超图  $H$  的代表图, 记作  $G = L(H)$ .

## 7. 超图的集团

(38)  $r$  秩集团: 已给超图  $H = (X, \mathcal{E})$ , 设  $H$  是  $h$  秩的. 取  $r < h$ , 在  $X$  里任取子集  $A \subset X$ , 或者  $|A| < r$ , 或者  $|A| \geq r$ . 在后一情况, 在  $A$  中任取  $r$  个相异元素, 这  $r$  个元素至少恒在  $H$  的一条边内, 则  $A$  称为超图  $H$  的  $r$  秩集团.

(39)  $r$  秩完备的: 设超图  $H$  的顶点集  $X$  本身就是一个  $r$  秩集团 (即在  $H$  里任取  $r$  个点, 恒有边含此  $r$  点), 则  $H$  称为是  $r$  秩完备的.

(40) 集团: 设超图  $H$  是  $h$  秩匀称的一个  $h$  秩集团, 简称为一个集团.

## 8. 平衡超图

(41) 平衡超图: 已给超图  $H = (X, \mathcal{E})$ , 设其每一奇圈

$$\mu = (x_1 E_1 x_2 E_2 \dots x_{2p+1} E_{2p+1} x_1)$$

上总有边, 含圈上的三个顶点, 则这样的超图称为平衡超图.

(42) 强稳固集: 设  $H = (X, \mathcal{E})$  为一超图, 其秩函数为  $r(S)$ , 一个集合  $S$  若具有性质:  $r(S) = 1$ , 即对  $1 \leq i \leq m$  均有,  $|S \cap E_i| \leq 1$  成立, 则称  $S$  为强稳固的.

(43) 强稳固数  $\alpha(H)$ : 强稳固集所可能具有的极大顶点数.

复盖数  $\rho(H)$ : 可复盖  $H$  的所有顶点的最少边数.

(44) 强  $q$ -着色: 超图  $H$  的强  $q$ -着色定义为  $H$  的顶点的一个  $q$ -着色, 它使得含于同一边的任二顶点均有不同的色. (显然, 任一强  $q$ -着色均是其顶点集  $X$  的一个划分为  $q$ -个强稳固集的划分.)

强色数  $\gamma(H)$ : 是使得对  $H$  进行强  $q$ -着色成为可能的最小正整数  $q$ .

## (三) 定 理

### 1. 基本概念

(1) 超图  $H$  是保形的  $\iff$  图  $(H)_1$  的每一集团, 都含在  $H$  的一条边内.

(2) 超图  $H$  是保形的  $\iff$  对于  $H$  的任意三条边  $E_1, E_2, E_3$ , 总能找到  $H$  的另一条边  $E$  使得  $E \supset (E_1 E_2) \cup (E_2 E_3) \cup (E_3 E_1)$ .

### 2. 超图的链和圈

(3) 超图  $H = (X, \mathcal{E})$  含  $n$  顶点、 $m$  条边、 $p$  个联接的分子图  $\implies H$  无圈的充要条件是

$$\sum_{i=1}^m (|E_i| - 1) = n - p$$

(4) 超图  $H$  是联接的  $\implies H$  无圈的充要条件是

$$\sum_{i=1}^m (|E_i| - 1) = n - 1.$$

(5) 设  $H = (X, \mathcal{E})$  是一个超图, 其中

$$\mathcal{S} = \{E_i / i \in I\}$$

$\Rightarrow H$ 不含圈的充要条件是

$$\left| \bigcup_{j \in J} E_j \right| > \sum_{i \in J} (|E_i| - 1) \quad (J \subset I, J \neq \emptyset)$$

对一切  $J \subset I$  均成立.

(6) 超图  $H = (X, \mathcal{S})$  无孤立点, 具  $p$  个联接的分子图, 含  $n$  个顶点和唯一一个圈

$$\Leftrightarrow \sum_{i=1}^n (|E_i| - 1) = n - p + 1.$$

### 3. $E-C-R$ 性质, Helly性质

(7)  $H$ 具有边着色性质  $\Rightarrow H$ 必有  $E-C-R$ 性质.

(8)  $h \leq \frac{n}{2} \Rightarrow h$ -均匀完备超图  $K_n^h$ 具有  $E-C-R$ 性质.

(9) Chavatal猜想: 每一个超图的传递闭包  $H$ 具有  $E-C-R$ 性质. (即最大丛的边数 = 最大度).

(10) Chavatal猜想在如下六个方面得到证实:

①简单图  $G$ 有边着色性  $\Rightarrow$  也有  $E-C-R$ 性质;

②当  $h \leq \frac{n}{2}$  时  $\Rightarrow K_n^h$ 有  $E-C-R$ 性质;

③  $H$ 是星且有边着色性  $\Rightarrow H$ 有  $E-C-R$ 性质;

④sterboul (1977): 当  $H$ 是3均匀超图时  $\Rightarrow H$ 有  $E-C-R$ 性质;

⑤sterboul (1977): 当  $H$ 的边数等于3 (但点数不限)  $\Rightarrow H$ 有  $E-C-R$ 性质;

⑥当  $H$ 的任三条边的交非空时  $\Rightarrow H$ 有  $E-C-R$ 性质.

(11) 一个图有Helly性质  $\Leftrightarrow G$ 不含三角形.

(12) 超图  $H$ 具有Helly性质  $\Leftrightarrow$  对于  $H$ 的任意3个顶点  $x_1, x_2, x_3$ , 至少包含其中二个顶点的边族, 它们的交非空; 或表为式子: 至少有点  $x$  使得

$$e_{xy} \cap e_{yz} \cap e_{zx} \ni x,$$

其中  $e_{xy}$  表示过点  $x, y$  的族的全体.

(13) 区间超图具有Helly性质.

(14) 具有Helly性质的超图  $\Rightarrow$  必具  $E-C-R$ 性质.

(15) 超图  $H$ 具有Helly性质  $\Leftrightarrow H^*$ 具有保形性.

### 4. 超图的并列集与径集

(16) 在超图  $H = (X, \mathcal{S})$  里, 并列集  $\mathcal{S}$  是极大的  $\Leftrightarrow$  不存在关于  $\mathcal{S}$  的极大奇交错列.

(17) 已知  $X = \{x_1, x_2, \dots, x_n\}$ , 设

$$\mathcal{A} = (A_i / i \in I), \quad \mathcal{B} = (B_j / j \in J),$$

其中  $A_i \subset X, B_j \subset X$ .

即  $\mathcal{A}$  与  $\mathcal{B}$  是两个  $X$  的子集的集合, 令

$$\mathcal{A} \vee \mathcal{B} = (A_i \cup B_j / (i, j) \in I \times J)$$

$$\mathcal{A} \wedge \mathcal{B} = (A_i \cap B_j / (i, j) \in I \times J)$$

再取符号

$\dot{\mathcal{A}}$ :  $\mathcal{A}$  的所有径集所成的集合;

$C|\mathcal{A}$ : 至少包含一个  $A_i \in \mathcal{A}$  的一切集的集合;

$\min \mathcal{A}$ :  $\mathcal{A}$  的极小集所成的集合;

$Tr \mathcal{A}$ :  $\dot{\mathcal{A}}$  的极小集所成的集合.

$$\Rightarrow \textcircled{1} Tr \mathcal{A} = \min \dot{\mathcal{A}}, \quad \dot{\mathcal{A}} = C|Tr \mathcal{A};$$

$$\textcircled{2} \dot{\mathcal{A}} = C|\dot{\mathcal{A}} = (C|\dot{\mathcal{A}});$$

$$\textcircled{3} C|\mathcal{A} = C|\min \mathcal{A};$$

$$\textcircled{4} (\dot{\mathcal{A}} \cup \dot{\mathcal{B}}) = \dot{\mathcal{A}} \cap \dot{\mathcal{B}};$$

$$\textcircled{5} \min(C|\mathcal{A} \cap C|\mathcal{B}) = \min(\mathcal{A} \vee \mathcal{B});$$

$$\textcircled{6} Tr(\mathcal{A} \cup \mathcal{B}) = \min(Tr \mathcal{A} \vee Tr \mathcal{B})$$

$$(18) H \text{ 是一个超图} \Rightarrow \nu(H) \leq \tau(H).$$

$$(19) H \text{ 是一个具有秩 } r(X) = h \text{ 的超图} \Rightarrow$$

$$\tau(H) \leq h \nu(H).$$

(20) (Jaeger, Payan[1971]): 设  $H = (X, \mathcal{E})$  是一个  $h$  秩  $\tau$ -临界超图, 其  $\tau(H) = h + 1 \Rightarrow H$  的边数小于或等于  $\binom{h+k}{h}$ ; 对于超图  $(X, \mathcal{E})$ , 其  $|X| = h + k$ ,  $\mathcal{E} = \mathcal{P}_k(X)$ , 则等号成立.

(21) 对于超图  $H$ :

①任一个匹配和任一个复盖都有

$$|H'| = |T|;$$

②  $\nu(H) \leq \tau(H)$ .

(22) 区间超图具有 König 性质.

(23) (Edmonds, 1972): 没有奇回路的超图一定是单模超图, (反之不一定).

(24) 单模超图具有 König 性质.

(25)  $a|b$  时,  $a \times b$  砖装满  $p \times q$  棋盘  $\Leftrightarrow a|p, b|q$ .

若  $a < b, a \nmid b \Rightarrow$  总存在  $p, q$ , 使得  $a, b, p, q$  定义的超图不满足 König 性质.

(26) (Barnitt-kynech, singmastei, 1967) 用  $W_{1b}(pq)$  表示在  $p \times q$  个格的矩形棋盘上, 尽量放  $1 \times b$  骨牌, 最后剩下的面积公式:

$$W_{1b}(pq) = \begin{cases} r \cdot s, & \text{当 } r + s \leq b, \\ (b-r)(b-s), & \text{当 } r + s \geq b. \end{cases}$$

这里  $p \equiv r \pmod{b}, q \equiv s \pmod{b}$ .

(27) (Holt on, Rickard, 1978):  $p \cdot q \geq 3b$

$\Rightarrow$

$$W_{1b}(pq) = \begin{cases} W_{1b}(pq) & , \text{当 } pq - W_{1b} \equiv 1 \pmod{2}, \\ W_{1b}(pq) + b, & \text{当 } pq - W_{1b} \equiv 1 \pmod{1}. \end{cases}$$

## 5. 超图的着色

(28) (Tomescu[1968]) 设  $(s_1, s_2, \dots, s_q)$  是超图  $H$  的一个  $q$ -着色, 并设

$$d_1 = \max_{x \in S} d_H(x)$$

$$\Rightarrow X(H) \leq \max_{k \leq g} \min \{k, d_{k+1}\}.$$

(29) 设  $H$  是一个超图, 其  $X(H) = q + 1$ , 再设在超图  $H$  中去掉顶点  $x$ , 所得超图为  $H_1$ , 其  $X(H_1) = q \Rightarrow d_H(x) \geq q$ .

(30) 设  $H$  是一个超图,  $q$  是一个正整数, 满足条件

$$|\{x | x \in X, d_H(x) \geq q\}| \leq q,$$

即指  $d_H(x) \geq q$  的顶点  $x$  的个数不超过  $q$

$$\Rightarrow X(H) \leq q.$$

(31) 设  $H$  是一个超图, 其顶点的极大次是  $d$ ,

$$\Rightarrow X(x) \leq d_1 + 1.$$

(32) (Motzkin[1968]) 设  $G$  是一个简单图, 其极大次是  $k \Rightarrow$  可用  $\left\lceil \frac{k}{2} \right\rceil + 1$  种颜色, 将其顶点染色, 使没有一个圈里的顶点具有同一种颜色。

(33) 已给简单图  $G = (X, E)$ , 若

$$q = \max_{[a, b] \in E} \min [d_G(a), d_G(b)]$$

$\Rightarrow$  其边可以  $q$ -着色, 使每个圈上的边不具同一种颜色。

$$(34) \text{ (Shannon, 1949) } \rho \leq X'(G) \leq \left\lceil \frac{3}{2} \rho \right\rceil. \quad (X' \text{ 为色指标, } \rho \text{ 为 } G \text{ 的最大度}).$$

$$(35) \text{ (Vizing, 1964) } \rho \leq X'(G) \leq \rho + 1.$$

$$(36) \text{ (Gupka, 1967; Hilton, 1975) 设多重图 } M \text{ 边的最大重复度记作 } \mu \Rightarrow \rho \leq X'(M) \leq \rho + \mu.$$

$$(37) \text{ (Beineke, Wilson, 1973) } G \text{ 有 } n \text{ 个顶点, 最大度为 } \rho \text{ 且 } n > \rho \cdot \left\lceil \frac{1}{2} n \right\rceil \Rightarrow G \text{ 属第 2 类.}$$

(注: 图按边色数分成两大类: 第一类,  $X'(G) = \rho$ ; 第二类,  $X'(G) = \rho + 1$ ).

(38) 推论:

① 点数为奇数的正则图  $\Rightarrow$  是第 2 类的;

② 奇数个顶点  $\rho$  正则图  $H$ , 由  $H$  至多删去  $\frac{1}{2}\rho - 1$  条边而得的子图  $G \Rightarrow G$  属第 2 类.

③ 偶数个顶点  $\rho$  正则图  $H$ , 由  $H$  的任一条边上新加一个点而得到图  $G \Rightarrow G$  属第 2 类.

④ 奇图  $C_{2k+1}$ , 存在若干  $k$  条边的边独立集, 至多加上  $2k - 2$  个  $k$  边的独立集  $\Rightarrow$  得到的图  $G$  也属第 2 类.

⑤  $G$  是含有一个割点的正则图  $\Rightarrow G$  属第 2 类.

(39) 任一简单图的闭包图  $\hat{G}$  属第一类.

(40) 超图中  $X'(H) \leq \rho + 1$  不成立.

(41) (Lucas)  $2p$  个女生, 存在一种配对方案来安排  $2p - 1$  天的散步, 使每个女生恰好与所有其它女生一起散步一次. 即完全图  $K_p$  存在  $2p - 1$  的正常着色.

(42) (Kirkman 女生问题, 1950) 15 名女生散步. 每天一次, 每 3 人一组, 分成 5 组.

问可否在7天之内,使每二个女生在3人组内相遇且恰相遇一次,即对15个顶点的3-均匀超图进行边着色。

(43) (D.R.Raychaudhary, R.M.Wilson, 1971)  $n = 6p + 3$  的  $n$  个点的 3-一致超图, 可以构造出一个 2-截面是完全图的 3-一致完全超图, 且可用  $\frac{n-1}{2}$  种颜色, 每色  $\frac{6p+3}{3} = \frac{n}{3}$  条边, 构成超图的正常边着色。

## 6. 超图的代表图

(44) 设  $G$  是一个简单图, 其顶点集  $X$ , 设  $E_1, E_2, \dots, E_n$  是  $X$  的一个子集族, 具下列性质:

① 每一  $E_i$  是  $G$  的一个集团 (即  $E_i$  中每二点的联线都是  $G$  的边);

②  $G$  的每个顶点和每条边至少被一个  $E_i$  所复盖  $\Rightarrow G$  是超图  $H^* = (X, E_1, E_2, \dots, E_n)$  的对偶图  $H$  的代表图。

反之, 设  $G$  是超图  $H = (E, X_1, X_2, \dots, X_n)$  的代表图, 则  $H$  的对偶图  $H^* = (X, E_1, E_2, \dots, E_n)$  满足特性①和②。

(45) 已给图  $G = (X, E)$ , 其中  $X = x_1, x_2, \dots, x_n$ , 无孤立点, 将图  $G$  的边  $[a, b]$  作为顶点, 当且仅当二边  $[a, b], [x, y]$  的顶点集  $[a, b, x, y]$  在  $G$  里不构成一个集团时, 联此二顶点, 得图  $\bar{G} \Rightarrow$  取  $G$  为代表图的超图, 其极小阶  $\Omega(G) =$  图  $\bar{G}$  的色数  $\gamma(\bar{G})$ 。

(46) 设  $G$  是一个简单图, 无孤立顶点, 也无三角形, 但具  $m$  条边  $\Rightarrow$  以  $G$  为代表图 的超图  $H$ , 其极小阶  $\Omega(G) = m$ 。

## 7. 超图的集团

(47) 设  $H$  是一个简单的  $k$  秩均匀的超图, 再设  $K$  是一个具有  $k$  个顶点的集团,  $k \geq k \Rightarrow K$  的每一顶点, 其次数是

$$d_k = \left[ \frac{k-1}{k-1} \right],$$

且由  $K$  产生的子-超图  $H_k$ , 其着色数

$$\chi(H_k) = d_k + 1.$$

## 8. 平衡超图

(48) 平衡超图具有如下特性:

① 平衡超图的任一部分超图  $H'$  仍是平衡的;

② 平衡超图的任一子超图  $H' \Rightarrow$  是平衡的;

③  $H = (E_i / i \in I)$  是一个平衡超图,  $E_0$  是一个集合  $\Rightarrow$  超图  $(E_i \cup E_0 / i \in I)$  也是平衡的;

④  $H = (E_i / i \in I)$  是平衡的,  $x_i \in \bigcup_{i \in I} E_i \Rightarrow$  超图  $H' = (E_i \cup x_i, E_1, \dots, E_n)$  也是平衡的;

⑤ 超图  $H = (X, \mathcal{E})$  是平衡的,  $x_i \in X$ , 对  $H$  增加一个新点  $x_i'$  如下, 得超图  $H' = (X', \mathcal{E}')$ , 其中  $X' = X \cup x_i'$ ,

$$E' = \begin{cases} E_i & \text{若 } x_i \in E_i \\ E_i \cup x_i' & \text{若 } x_i \in E_i \end{cases}$$

$\Rightarrow H'$  是平衡的;



⑥  $H = (X, \mathcal{F})$  是平衡的  $\Rightarrow$  其对偶图  $H^* = (e_1, \dots, e_n; X_1, \dots, X_n)$  也是平衡的。

⑦ 超图  $H = (E_i / i \in I)$  是平衡的，并设在部分超图  $H' = (E_i / i \in J, J \subset I)$  内，若  $i, j \in J, E_i \cap E_j \neq \emptyset$

$$\Rightarrow \bigcap_{i \in J} E_i \neq \emptyset.$$

⑧ 平衡超图是保形的。

(49) 超图  $H = (X, \mathcal{F})$  是平衡的  $\Leftrightarrow$  对每一  $S \subset X$ ，子超图  $H_S$  是可-2 着色的。

(50) 超图  $H = (E_i / i \in I)$  平衡，并设  $k = \min_{i \in I} |E_i| \Rightarrow$  存在  $k$  个径集分划  $X$ 。

(51) 超图  $H = (X, \mathcal{F})$  是平衡的，设其顶点的最低次是  $k \Rightarrow H$  的边集可做分划  $(F_1, F_2, \dots, F_k)$ ，使每一  $F_i$  都是一个复盖。

(52)  $H = (X, \mathcal{F})$  为一超图，其秩函数为  $r(A) \Rightarrow \alpha(H) \leq \max_{\substack{A \in \mathcal{F} \\ A \in X}} \left[ \frac{|A|}{r(A)} \right]^* \leq$

$\rho(H)$ 。

(53) 超图  $H$  是平衡的  $\Leftrightarrow \gamma(H') = \gamma(H')$  对  $H$  的每一部分子图  $H'$  均成立。

(54)  $H$  是  $h$  秩的平衡图， $k = h_1 + h_2 \Rightarrow$  存在  $X$  的一个分划， $X = (X_1, X_2)$  使

$$r(X_1) = h_1, r(X_2) = h_2.$$

(55) (Berge, Las Vergnas [1970]) 设  $H = (X, \mathcal{F})$  是一个超图，令  $\nu(H)$  是其极大并集集的维， $\tau(H)$  是其极小径集的维  $\Rightarrow H$  是平衡的，当且仅当

$$\nu(H') = \tau(H')$$

对  $H$  的每一部分子超图  $H'$  均成立。

(56)  $H$  是一个平衡超图，秩函数为  $r(A) \Rightarrow \alpha(H) = \rho(H) = \max_{\substack{A \in \mathcal{F} \\ A \in X}} \left[ \frac{|A|}{r(A)} \right]$ 。

(57)  $H$  是一个平衡超图，具  $m$  条边及秩函数  $r(A)$ ，并设  $k \leq m \Rightarrow$  存在一个  $k$  边的复盖，其充要条件是

$$kr(A) - |A| \geq 0 \quad (A \subset X).$$

(58) 设已给简单图  $G = (X, E)$ ，令

$\alpha(G)$  示  $G$  的稳固数 ( $G$  是极大稳固集的维)；

$Q(G)$  示  $G$  里分划  $X$  的集团的极少个数；

$\gamma(G)$  示  $G$  的着色数；

$\omega(G)$  示  $G$  里集团的极大维。

若  $\alpha(G_A) = Q(G_A)$  对一切子集  $A$  均成立 ( $A \subset X$ )  $\Rightarrow$  图  $G$  称为是  $\alpha$ -完备的。

(59) 以下条件等价的：

①  $\alpha(G_A, \mathcal{D}) = 0(G_A, \mathcal{D})$  对每一  $A$  与每一  $\mathcal{D}$  均成立；

②  $\gamma(G_A, \mathcal{D}) = \omega(G_A, \mathcal{D})$  对每一  $A$  与每一  $\mathcal{D}$  均成立；

③ 图  $G$  里每一奇圈，至少含有这样的一边， $G$  里每一极大集团，包含此边的，必含奇圈一个第三点。

#### (四) 题 解

(1) 试证:  $G$  的最大对集中的边数是  $\frac{1}{2}(\gamma - d)$ , 这里  $d = \max_{S \subseteq V} |O(G-S) - |S||$ .

证: ① 设  $G^*$  是  $G$  的极大超图 (即  $G^*$  的最大对集中的边数和  $G$  的最大对集的边数相同, 任意加入一不在  $G^*$  的边都使  $G^*$  的最大对集中的边数增加), 下证对  $G^*$  满足. 显然  $G^*$  的最大对集的边数  $\frac{1}{2} \leq (\gamma - d^*)$ ,  $d^* = \max_{S \subseteq V} |O(G^*-S) - |S||$ .

只需证存在  $S \subseteq V$ , 使  $G^*$  的最大对集的边数  $= \frac{1}{2}(\gamma - d^*)$  即可. 考虑  $G^*$  的所有次数为  $\nu - 1$  的顶点集合  $U$ , 不妨设  $G^*$  不完备 (若完备时, 且当顶点数为偶数时,  $d^* = 0$ , 最大对集边数为  $\frac{1}{2}\nu$ ; 若顶点数为奇数时, 取  $S$  为空集, 则  $d^* = 1$ , 因此, 最大对集的边数为  $\frac{1}{2}(\gamma - 1)$ ), 故  $G^* - U$  不空, 将证明  $G^* - U$  是完备图的不相交的和集. 假设不然,  $G^* - U$  的某一分支不完备, 则在此分支里存在顶点  $x, y$  和  $z$ , 使  $(x, y) \in E(G^*)$ ,  $(yz) \in E(G^*)$ , 但  $(x, z) \notin E(G^*)$ . 此外, 由于  $y \notin U$ , 故在  $G^* - U$  中存在一顶点  $w$ , 使  $(y, w) \in E(G^*)$ , 如图 6.2:

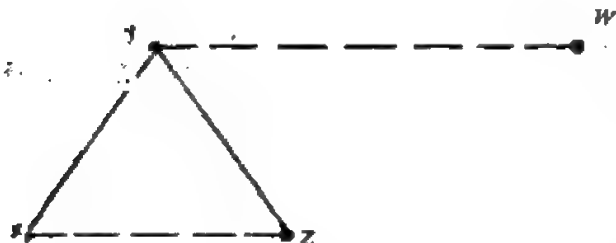


图 6.2

由于  $G^*$  是极大图, 对任一  $e \in E(G^*)$ ,  $G^* + e$  的最大对集边数较  $G^*$  的多 1. 设  $m_1$  和  $m_2$  分别是  $G^* + (xz)$  和  $G^* + (yw)$  的最大对集, 用  $H$  表示由  $M_1 \Delta M_2$  导出的  $G^* \cup (x, z)$ ,  $(y, w)$  的子图, 则  $H$  中每个顶点的次数为 1 或 2, 且  $H$  的每个分支点的通路或回路, 它们都是关于  $M_1$  和  $M_2$  交错的. 现分两种情况讨论:

第一, 若  $xz$  和  $yw$  在  $H$  的不同分支中, 记这两个分支为  $H_{xz}$ 、 $H_{yw}$ .

若  $H_{xz}$  中  $M_1$  的边数不超过  $M_2$  的边数, 我们在  $H_{xz}$  中取  $m_2$  的边连同  $H_{xz}$  外的  $M_1$  的边一起组成  $G^*$  的一个对集, 其边数不少于  $|M_1|$ , 这与  $G^*$  的极大性矛盾, 故  $H_{xz}$  中  $M_1$  的边数大于  $M_2$  的边数, 同理  $H_{yw}$  中  $M_1$  的边数大于  $M_2$  的边数, 如图 6.3: 此时, 如图所示, 在  $(u_1, \dots, z,$

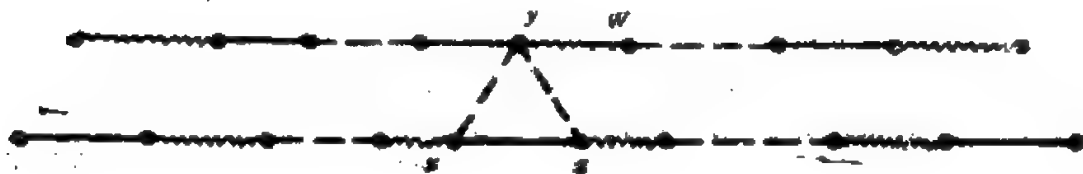


图 6.3

$y, w, \dots, u_s)$  的通路取  $yz$  及  $M_1$  的边连同此通路外  $M_1$  的边一起组成了  $G^*$  的一个对集, 其边数等于  $|M_1|$ , 这又与  $G^*$  的极大性矛盾。故第一种情况不可能。

第二, 若  $xz$  和  $yw$  在  $H$  的同一分支中, 由  $x$  和  $z$  的对称性, 失一般性可设  $y, w, z, x$  依次出现在该分支中, 如图 6.4; 这时, 取  $yz$  和  $yw \dots z$  段中  $M_1$  的边及  $yw \dots z$  段外的  $M_1$  的

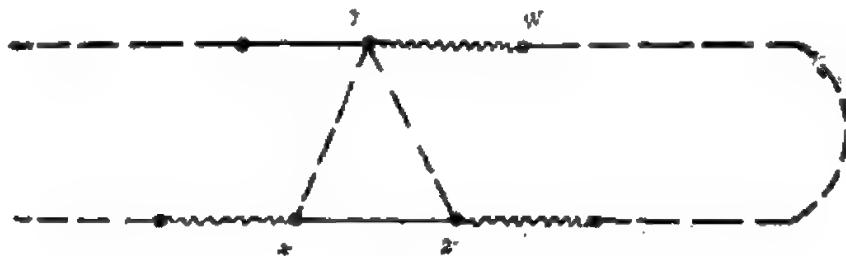


图 6.4

边一起组成了  $G^*$  的一个对集, 其边数等于  $|M_1|$ , 矛盾。当  $z, x, y, w$  依次出现在该分支中时, 取  $yz$  和  $zx \dots y$  段中  $M_1$  的边及  $zx \dots y$  段外的  $M_1$  的边一起组成了  $G^*$  的一个对集, 其边数等于  $|M_1|$ , 矛盾。

由以上矛盾知  $G^*-U$  的分支是完备图。当  $G^*-U$  的每个奇分支与  $U$  中的一个点对应, 则知有  $d^*$  个奇分支无  $U$  中点的对应,  $d^* = O(G^*-U) - |U|$ , 于是可得  $G^*$  的最大对集的边数为  $\frac{1}{2}(v - d^*)$ 。

② 对于  $G$ ,  $G$  的最大对集的边数也为  $\frac{1}{2}(v - d^*)$ , 但是  $d \geq d^*$ , 故  $G$  的最大对集的边数  $\geq \frac{1}{2}(v - d)$ ; 但又显然对任意的  $S$ ,  $G$  的最大对集的边数  $\leq \frac{1}{2}(v - d)$ , 故  $G$  的最大对集的边数为  $\frac{1}{2}(v - d)$ 。

(2) 试证: 若  $G$  是二分图, 则  $G$  有一个  $\Delta$ -正则二分超图;

证: 若  $G$  本身是  $\Delta$ -正则二分图, 则它自己即所求; 若  $G$  不是  $\Delta$ -正则的, 则我们添加一个与  $G$  结构完全相同的二分图  $\bar{G}$ , 构成新二分图  $G_1 = G \cup \bar{G}$ ,  $G_1$  的二分划为  $(x \cup \bar{y}, \bar{y} \cup \bar{x})$ , 虽然可使  $y$  与  $\bar{y}$ ,  $x$  与  $\bar{x}$  中顶点一一对应, 再将  $G$  与  $\bar{G}$  中的次数小于  $\Delta$  的  $y$  与  $\bar{y}$ ,  $x$  与  $\bar{x}$  中顶点两两连接得新图  $G'$ , 如下图 (图 6.5)。

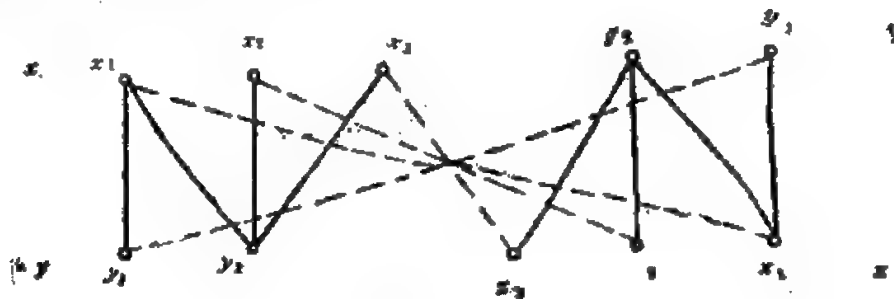


图 6.5

则  $G'$  是  $G$  的二分超图, 且  $\Delta(G') = \Delta(G)$ ,  $\delta(G') = \delta(G) + 1$ . 重复上面的过程便可得到  $G$  的一个  $\Delta$ -正则二分超图.

(3) ①试证: 若  $G$  是无圈图, 则  $G$  有一个  $\Delta$ -正则无圈超图.

②证明: 若  $G$  是无圈图并且  $\Delta$  是偶数, 则  $\chi' \leq 3 \frac{\Delta}{2}$ .

证: ①若在  $G$  中  $\exists u, v \in V$ , 使得  $d(u) < \Delta$ ,  $d(v) < \Delta$ , 则在  $u, v$  之间加边  $uv$ , 直至得到一个  $\Delta$ -正则无圈图或只有一点  $u$  有  $d(u) < \Delta$ , 其余点的次都为  $\Delta$  的图  $G^*$ . 这时再做  $\Delta - d(u)$  个与  $G^*$  同构的图  $G_1^*, G_2^*, \dots, G_{\Delta-d(u)}^*$ . 并且在与  $u$  相对应的那些点之间连边, 于是便得到  $G$  的一个  $\Delta$ -正则无圈超图.

②由于  $G$  有一个  $\Delta$ -正则超图, 由结论: “每个  $2k$ -正则图都是 2-可因子化的.” 知  $G$  可划分为  $\frac{\Delta}{2}$  个 2-因子, 而每个 2-因子都存在一个正常 3-边着色.

于是  $G$  便存在一个正常  $3 \frac{\Delta}{2}$ -边着色, 即

$$\chi' \leq 3 \frac{\Delta}{2}.$$

(4) 证明定理: 设超图  $H = (X, \mathcal{E})$  含  $n$  个顶点,  $m$  条边,  $p$  个联接的分子圈, 则  $H$  无圈的充要条件是

$$\sum_{i=1}^m (|E_i| - 1) = n - p.$$

证: 作二分图  $G(H)$ , 取超图  $H$  的顶点做为二分图  $G(H)$  的一组顶点, 取  $H$  的边做为  $G(H)$  的另一组顶点, 当且仅当顶点  $x_i$  在边  $E_j$  上便联边  $x_i E_j$  作为  $G(H)$  的一边, 这个二分图

$G(H)$  共有  $m + n$  个顶点,  $\sum_{i=1}^m |E_i|$  条边,  $p$  个联接的分子图, 超图  $H$  无圈当且仅当二分图  $G(H)$

无圈, 且若  $H$  有  $p$  个联接的分子图, 则  $G(H)$  也有  $p$  个联接的分子图. 二分图无圈的充要条件是

$$v = \sum_{i=1}^m |E_i| - (m + n) + p = 0,$$

或  $\sum_{i=1}^m (|E_i| - 1) - n + p = 0$ , 即证.

(5) 证明定理: 设  $(S_1, S_2, \dots, S_q)$  是超图  $H$  的一个  $q$ -着色, 并设

$$d_i = \max_{x \in S_2} d_H(x),$$

则  $\chi(H) \leq \max_{1 \leq i \leq q} \min \{R_i, d_{i+1}\}.$

证: ①首先证明存在一个  $r$ -着色  $(S'_1, S'_2, \dots, S'_r)$ , 满足条件

$$\begin{cases} S_i \subset \bigcup_{j=1}^{\min(k, r)} S'_j, \\ S'_i \text{ 是 } X - \bigcup_{j=1}^i S'_j \text{ 中极大稳定集.} \end{cases}$$

设  $S_1$  在  $X$  里不极大, 可以加进若干点, 使其变为极大稳固集  $S'_1$ . 若  $S_2 - S'_1$  在  $X - S'_1$  里不极大, 可以加进顶点, 使其成为极大稳固集  $S'_2$ , 如此等等. 根据归纳法, 可知  $S'_1, S'_2, S'_3, \dots$  等无公共顶点, 且陆续有

$$S_1 \subset S'_1, S_2 \subset \bigcup_{i=1}^2 S'_i, S_1 \cup S_2 \cup S_3 \subset S'_1 \cup S'_2 \cup S'_3, \text{ 最多可如此做到 } g \text{ 次, 故 } r \leq g, \text{ 最后得}$$

$V$  的一个  $r$ -着色.

② 设  $x \in \bigcup_{i=1}^k S'_i$  及  $j \leq k$ , 则因  $S'_j$  的极大性应有边  $E'_j$ , 使

$$E'_j \subset S'_j \cup x, |E'_j| > 1.$$

因  $x \in \bigcup_{i=1}^k S'_i$ , 而  $j \leq k$ , 则  $S'_j$  中必含  $E'_j - x$ ,  $|E'_j| > 1$ , 否则可将  $x$  加进  $S'_j$  以加大  $S'_j$ ,

这与  $S'_j$  的极大性相矛盾.

又因  $S'_i \cap S'_j = \emptyset$  对任二  $i, j$  ( $i \neq j$ ),  $i, j \leq k$  均成立, 故  $(E'_i - x) \cap (E'_j - x) = \emptyset$ .

因  $x \in E'_j$  对一切  $j \leq k$  均成立, 族  $E'_1, E'_2, \dots, E'_k$  满足  $E'_i \cap E'_j = \{x\}$ , ( $i \neq j, i, j \leq k$ ).

故  $d_H(x) \geq k$ .

③ 取  $i(x)$  表示含  $x$  的  $S'_i$  的下标数, 据②有

$$i(x) \geq k + 1 \implies d_H(x) \geq k,$$

取  $k = i(x) - 1$

则  $i(x) \leq d_H(x) + 1, (x \in X)$

设顶点  $a \in S_1$ , 则因  $S_1 \subset \bigcup_{i=1}^{\min(k, r)} S'_i$ , 若  $k < r$ , 在  $S'_1, S'_2, \dots, S'_k$  中将出现  $a$ . 故  $i(a) \leq k$ , 若  $k > r$ ,  $S'_1, S'_2, \dots, S'_r$  中将出现  $a$ , 故  $i(a) \leq r < k$ , 总之有  $i(a) \leq k$ , 且

$$i(a) \leq \max_{x \in S_1} i(x) \leq \max_{x \in S_1} (d_H(x) + 1) = d_1 + 1.$$

综上二者, 有

$$i(a) \leq \min(k, d_1 + 1),$$

故  $\max_{x \in X} i(x) \leq \max_k \min(k, d_1 + 1).$

$\chi(H)$  是可能的着色数中的最小者,  $\max_{x \in X} i(x)$  显然是某一  $r$ -着色中最后一个  $S'$  的下标, 故

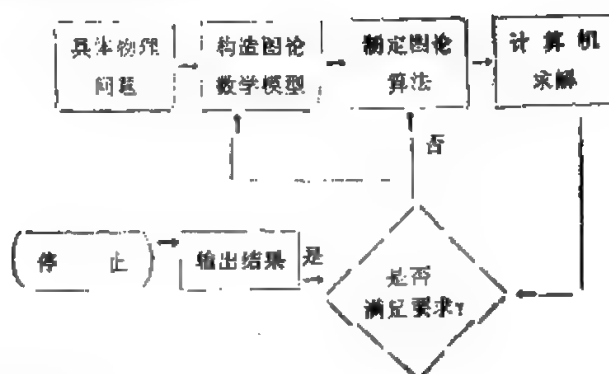
$$\chi(H) \leq \max_{x \in X} i(x),$$

或

$$\chi(H) \leq \max_k \min(k, d_1 + 1).$$

## 七、图的算法

图的算法的应用过程如下图所示：



这里给出的图的算法列下：

- (1) 判定图的连通性的算法；
- (2) 求图  $G$  中连通片的算法；
- (3) 求基本回路的算法；
- (4) 求最短路径的算法；
- (5) 求各顶点对间最短路径的算法；
- (6) 求任意两点间距离的算法；
- (7) 求最短树的算法；
- (8) 生成全部树的算法；
- (9) 关于有向树的算法；
- (10) DFS算法；
- (11) 图的块划分算法；
- (12) 图的强连通块划分算法；
- (13) 求割点的算法；
- (14) 求连通度的算法；
- (15) 判定平面图算法；
- (16) 求最大匹配的匈牙利算法；
- (17) 求最佳匹配的算法；
- (18) 节点电路分析的算法。

对于上列的诸算法，下面分述之。

### 1. 判定图的连通性的算法

设  $G = (V, E)$  为无向图，其中  $V = \{v_1, v_2, \dots, v_n\}$ ， $n = |V|$ ， $E = \{e_1, e_2, \dots, e_m\}$ ， $m = |E|$ ，令  $e_i = \langle v_{i_1}, v_{i_2} \rangle$ ， $i = 1, 2, \dots, m$ 。

- (1) 基本思想：

①  $i \leftarrow 1, f \leftarrow 1$ .

② 若  $v_{i_1}$  与  $v_{i_2}$  同属于一个连通块时, 转⑥; 否则转 (3).

③ 若  $v_{i_1}$  与  $v_{i_2}$  都不属于任何一个连通块, 则边  $e_i = \langle v_{i_1}, v_{i_2} \rangle$  建立一个新的连通块,  $f \leftarrow f + 1$ , 转⑥.

④ 若  $v_{i_1}$  (或  $v_{i_2}$ ) 属于第  $p$  个连通块, 但  $v_{i_2}$  (或  $v_{i_1}$ ) 不属于任何一个连通块, 则边  $e_i = \langle v_{i_1}, v_{i_2} \rangle$  也属于第  $p$  个连通块; 转⑥.

⑤ 若  $v_{i_1}$  与  $v_{i_2}$  分别属于不同的两个连通块, 则边  $e_i = \langle v_{i_1}, v_{i_2} \rangle$  使这个不同的连通块连成一个连通块, 转⑥.

⑥  $i \leftarrow i + 1$ , 若  $i \leq m + 1$ , 转②, 否则结束.

(2) 程序:

```
begin
integer i, j, k, c, d, e, f;
integer array b[1:n, 1:m], p[1:2], q[1:n], l[1:m]; /* b是关联矩阵 */
input b;
c := 1; f := 0;
for i := 1 step 1 until n do q[i] := 0; /* q矩阵用以记录顶点所属的块 */
for j := 1 step 1 until m do /* L矩阵用以记录边所属的块 */
    begin d := 1;
    for i := 1 step 1 until n do
        if b[i, j] = 1 then
            begin
                p[d] := i; d := d + 1; /* p矩阵用以记录  $e_j$  两顶点 */
            end;
            e := q[p[1]]; d := q[p[2]];
            if e = d then
                begin if e = 0 then
                    begin L[j] := q[p[1]] := q[p[2]] := c; /* 情况(3) */
                    f := f + 1; c := c + 1;
                    end else L[j] := e; /* 情况(5) */ end else
                if e = 0 then
                    begin
                        L[j] := q[p[1]] := q[p[2]] /* 情况(4),  $v_i$ 未定 */
                    end else
                        if d = 0 then
                            begin
                                L[j] := q[p[2]] := q[p[1]]; /* 情况(4),  $v_i$ 未定 */
                            end else
                                begin
                                    for k := 1 step 1 until n do /* 情况(2)的处理 */
```

```

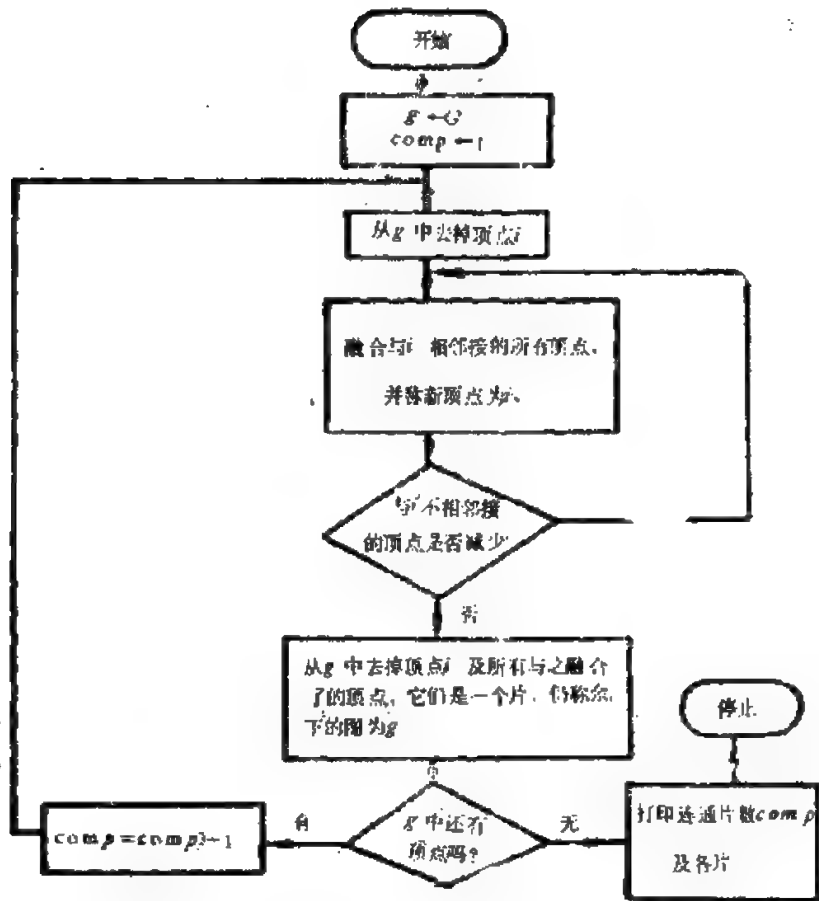
if q[k]=e then q[k]:=d;
for k:=1 step 1 until j do
if L[k]=e then L[k]:=d;
f:=f-1;
ends;
end.b:ends; print f; print L /*打印结果*/.

```

[注：上述程序中数组 $b[1:n, 1:m]$ 是图 $G$ 的关联矩阵；数组 $q[1:n]$ 是用以记录各顶点所属的连通块；整数 $f$ 是记录连通块的数目，数组 $L$ 中，若 $L[i]=L[j]=c$ ，说明 $e_i$ 与 $e_j$ 同属第 $c$ 个连通块。]

## 2. 求图 $G$ 中连通片的算法

### (1) 框图：



(求连通片的算法框图)

(2) 程序：SUBROUTINE CONEKT (D, N, G, COMP)  
 INTEGER COMP, D(N, N), G(N), Q, P, X1, X2  
 DO 5 L=1, N



```

5  G(L) = 0
   COMP = 1
   I = 1
10  G(I) = COMP
   X1 = 0
   DO 20 Q = 1, N
20  X1 = D(Q, I) + X1
   M = I + 1
25  DO 40 P = M, N
   IF(D(I, P). EQ. 0. OR. G(P). NE. 0) GO TO
   G(P) = COMP
   DO 35 L = M, N
   IF(D(L, P). NE. 1) GO TO 35
   D(L, I) = 1
   D(I, L) = 1
35  CONTINUE
40  CONTINUE
   X2 = 0
   DO 45 Q = 1, N
45  X2 = D(Q, I) + X2
   IF(X1 - X2) 50, 55, 55
50  X1 = X2
   GO TO 25
55  DO 60 K = M, N
   IF(G(K). EQ. 0) GO TO 65
60  CONTINUE
   RETURN
65  I = K
   COMP = COMP + 1
   GO TO 10
END.

```

[注：在子程序CONEKT中，用变量COMP记录连通片的个数；输入图G的邻接矩阵D(N, N)，进行融合顶点运算；引入的一维数组G(N)来记录各个连通片的分布情况；在图G中的顶点i若属于第c个连通片，G(i)就置C。在输出结果时，可以打印连通片的个数及分属于每个连通片的顶点。恰当选择开始顶点可改进算法效率。]

### 3. 求基本回路的算法

#### (1) 步骤：

首先将顶点1送入T，即 $T \leftarrow 1$ ， $W = V$ 。顶点1将被看成对应树的根。

①若 $T \cap W = \emptyset$ ，结束运算。

②若 $T \cap W \neq \emptyset$ ，在 $T \cap W$ 中选择一个顶点 $z$ 。

③逐步检验与 $z$ 关联的每一条边，若没有未检验边，从 $W$ 中去掉 $z$ ，转①。

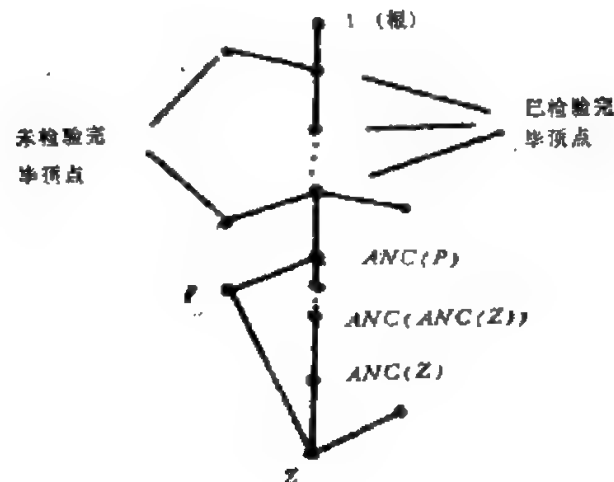
④若有未检验边 $(z, p)$ ，检验 $p$ 是否在 $T$ 中。

⑤若 $p \in T$ ，找出由边 $(z, p)$ 和树中连结顶点 $z$ 到 $p$ 的唯一路径形成的基本回路，从图中去掉边 $(z, p)$ ，转③。

⑥若 $p \notin T$ ，把边 $(z, p)$ 加到树上，顶点 $p$ 加到集合 $T$ ，把边 $(z, p)$ 从图中去掉，转③。

[说明]第⑤步之求法：设一个栈， $TW = T \cap W$ ，存入已在树上但关联边还未检验完的顶点。建立两个一维数组： $L(i)$ 记录从顶点 $i$ 到树的根的距离； $ANC(i)$ 是顶点 $i$ 的前代顶点，它在树上由顶点 $i$ 到根的唯一路径上，是与 $i$ 邻接的顶点。当顶点 $i$ 不在集合 $T$ 中时， $L(i) = -1$ 。运算开始时，仅 $L(1)$ 置0，即令树的根一顶点1在 $T$ 中。而 $L(i)$ 置 $-1$  ( $i = 2, 3, \dots, n$ )。进行到算法的第⑤步时，若边 $(z, p)$ 的另一顶点 $p$ 在集合 $T$ 中，为了得到基本回路，我们从顶点 $z$ 开始，一步步地从 $ANC(z)$ ， $ANC(ANC(z))$ ……一直到 $ANC(p)$ ，即顶点 $p$ 的前一个顶点，顺序追踪，可以得到树上从顶点 $z$ 到 $p$ 的唯一路径。

(2) 生成基本回路集算法的树：



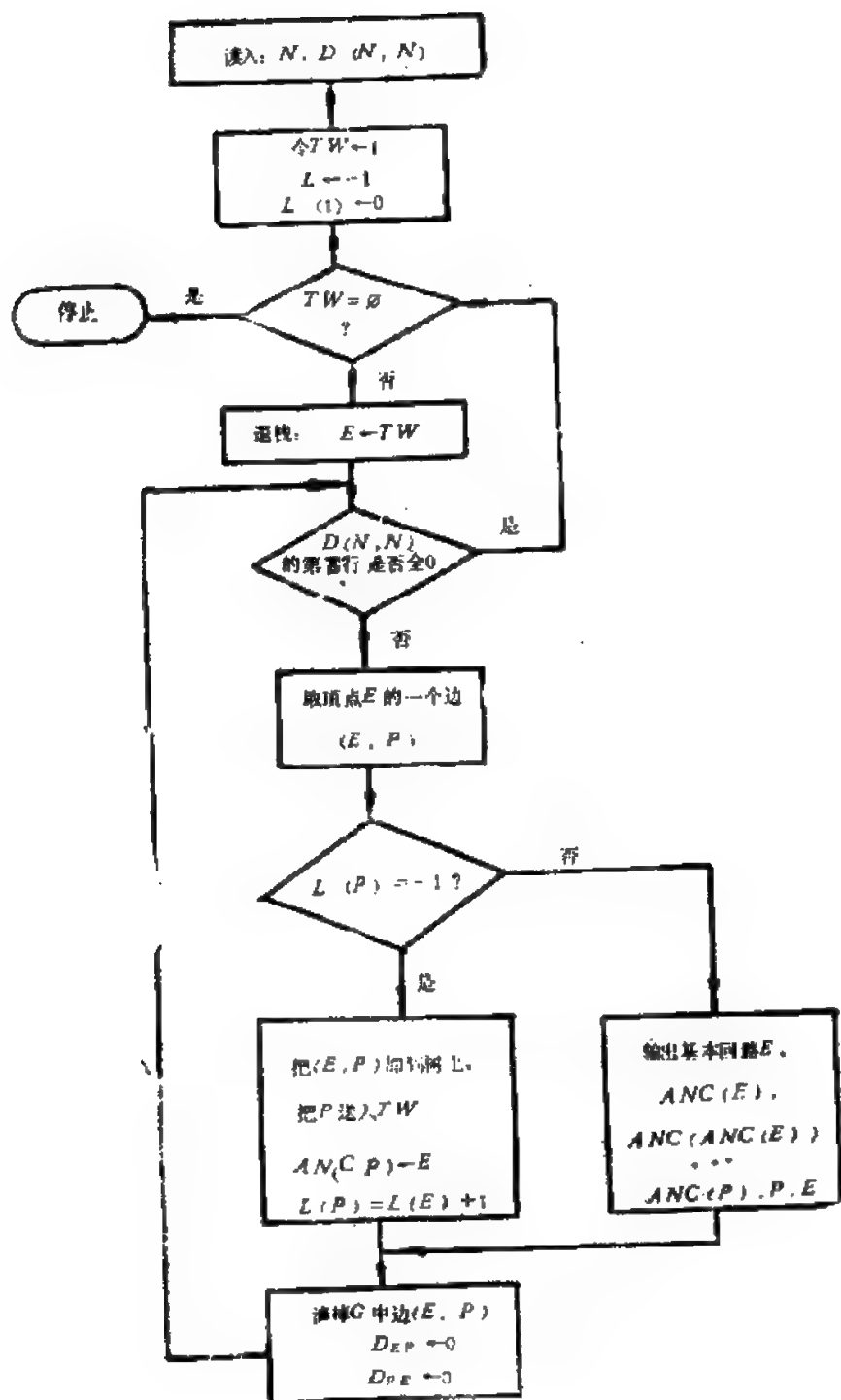
(3) 框图：(见P.151)

(4) 程序：

```

SUBROUTINE FCKTS (D,N,NULTY,L,ANC,TW,1 CIRK IT)
  INTEGER CIRKIT(N), L(N), ANC(N), TW(N),
1  D(N,N), Z, P, ED
  NULTY = 0
  DO 5 K=1, N
5  L(K) = -1
  NGEN = 1
10 ITW = 1
  TW(1) = NGEN
  L(NGEN) = 0

```



(求基本回路的算法框图)

```

15 IF (ITW. EQ. 0) GO TO 50
   Z = TW (ITW)
   LL = L(Z) + 1
   DO 45 P = 1, N
   IF (D(Z, P)) 45, 45, 20
20 IF (L(P) + 1. NE. 0) GO TO 25
   TW(ITW) = P
   ITW = ITW + 1
   ANC (P) = Z
   L(P) = LL
   GO TO 40
25 NULTY = NULTY + 1
   ED = ANC(P)
   M = 1
   CIRKIT(1) = Z
   J = Z
30 J = ANC (J)
   M = M + 1
   CIRKIT (M) = J
   IF (J. NE. ED) GO TO 30
   M = M + 1
   CIRKIT(M) = P
WRITE (6, 50) NULTY, (CIRKIT (J), J = 1, M),
1  CIRKIT(1)
40 D(Z, P) = 0
   D(P, Z) = 0
45 CONTINUE
   ITW = ITW + 1
   GO TO 15
50 DO 55 NGEN = NGEN, N
   IF (L(NGEN). EQ. (-1)) GO TO 10
55 CONTINUE
   RETURN
60 FORMAT (10X, 4HTHE, 14, 22 HFUNDAMENTAL 1 CIRCUIT IS
20 (13, 1X))
   END

```

#### 4. 求最短路径的算法 (Dijkstra) 算法

(1) 步骤:

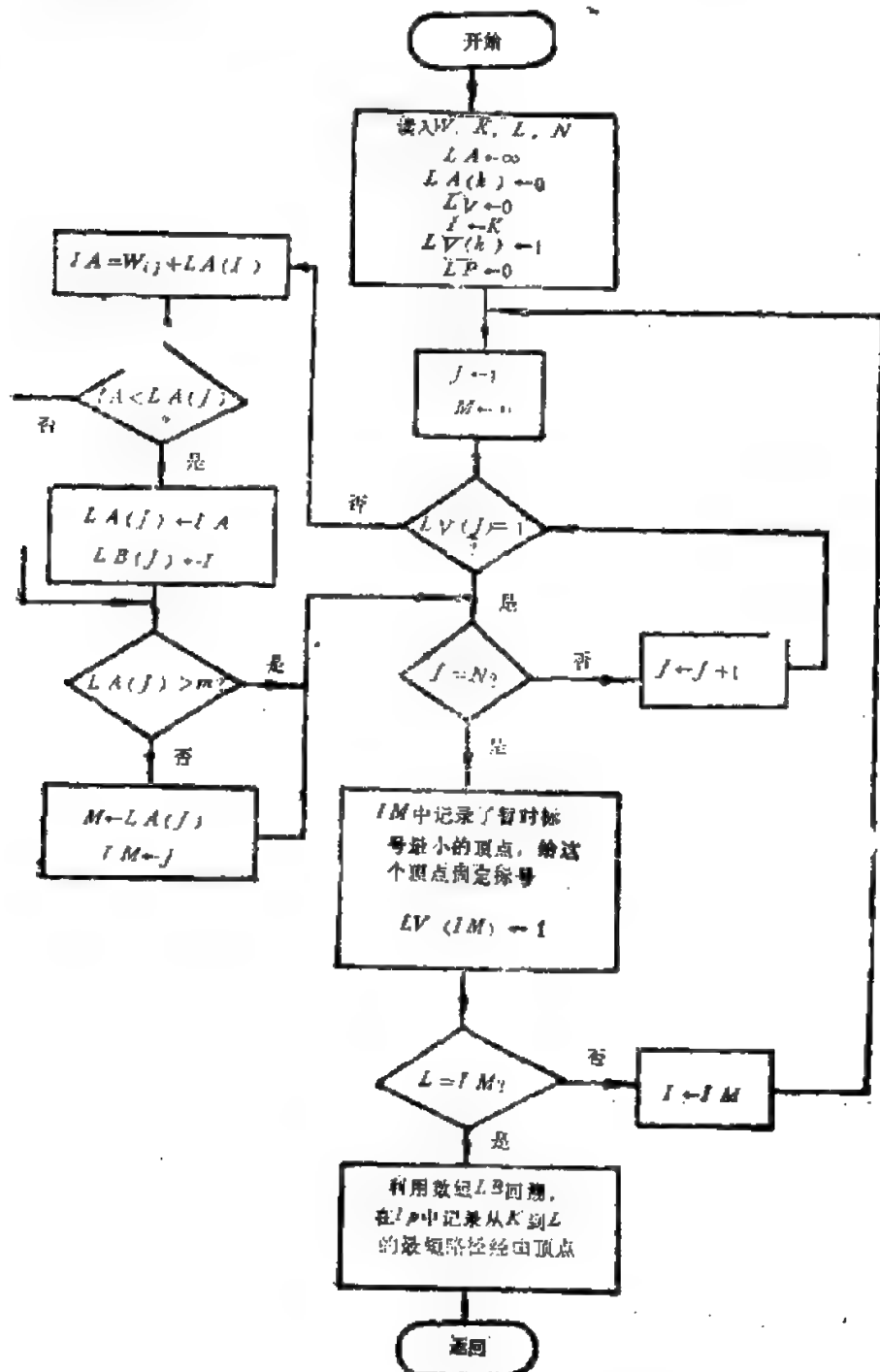
① 起点 $k$ 标号为零, 其它顶点标号为无穷大。

②对未被定标的顶点全部给出暂时标号，其值为 $M \vee [j]$ 的旧标号， $(i \text{ 的旧标号} + \omega_{ij})$ ，这里 $i$ 是前一步刚被标定的顶点， $\omega_{ij}$ 是边 $e_{ij}$ 的权；若顶点 $i$ 和 $j$ 不相邻接， $\omega_{ij} = \infty$ 。

③找出所有暂时标号的最小值，用它作为相应顶点的固定标号。若存在几个有同一最小标号值的顶点，则可任选一个加以定标。

重复进行②、③步，直到指定的终点 $L$ 被定标时为止，用此法可直接得到由起点 $k$ 到其它顶点的最短路径的长度，那就是该顶点的定标数值。

(2) 框图：



(求最短路径的算法框图)

(3) 程序:

C SHORTEST PATH FROM K TO L

SUBROUTINE SDKL (N,JD,LA, LV, K, L, LAL, LP, LB)

DIMENSION JW(N,N), LA(N), LV(N), LP(N), LB

1 (N)

DO 10 I=1, N

LA(I) = 9999999

LP(I) = 0

10 LV(I) = 0

LA(K) = 0

LA(K) = 1

I = K

20 M = 9999999

DO 40 J=1, N

IF(LV(J). EQ. 1) GO TO 40

IA = JW (I, J) + LA(I)

IF(IA. GE. LA(J)) GO TO 30

LA(J) = IA

LB(J) = I

30 IF(LA(J). GT. M) GO TO 40

M = LA(J)

IM = J

40 CONTINUE

LV(IM) = 1

IF (IM. EQ. L) GO TO 50

I = IM

GO TO 20

50 LAL = LA (L)

LP(1) = L

IC = L

DO 60 I=2, N

IF(IC. EQ. K) GO TO 70

LP(I) = LB(IC)

60 IC = LB(IC)

70 RETURN

END.

5. 求各顶点对间最短路径的算法

(1) 步骤:

①写出权矩阵 $W = [w_{ij}]$ . 用 $W$ 的第一列和第一行, 找出所有 $w_{ij} > w_{i0} + w_{0j}$ 的 $W$ 的元

素，将它们用  $W_{ij} + W_{kj}$  取代，如此得到一个新矩阵  $W_1 = [W_{ij}^{(1)}]$ ，这时  $W_1$  中每一元素代表了图中任两顶点间，从一顶点经顶点  $v_k$  到另一顶点的最短距离。

②用  $W_1$  的第二行和第二列，找出所有的  $W_{ij}^{(1)} > W_{ij}^{(1)} + W_{kj}^{(1)}$  的  $W_1$  的元素，将它们用  $W_{ij}^{(1)} + W_{kj}^{(1)}$  取代，得到新的矩阵  $W_2 = [W_{ij}^{(2)}]$ 。这时相当于在任两顶点的路径中嵌入了  $v_k$ 。

③照此一直进行下去，可求出  $W_n = [W_{ij}^{(n)}]$ ， $W_{ij}^{(n)}$  则为顶点  $v_i$  与  $v_j$  间的最短路径之长度。即若  $W_{ij}^{(k-1)} > W_{ik}^{(k-1)} + W_{kj}^{(k-1)}$ ，我们就取经过顶点  $v_k$  的路径。如下式：

$$W_{ij}^{(k)} = \min[W_{ij}^{(k-1)}, (W_{ik}^{(k-1)} + W_{kj}^{(k-1)})]$$

(其中  $k = 1, 2, \dots, n$ ,  $W_{ij}^{(0)} = W_{ij}$ )。

(2) 程序：

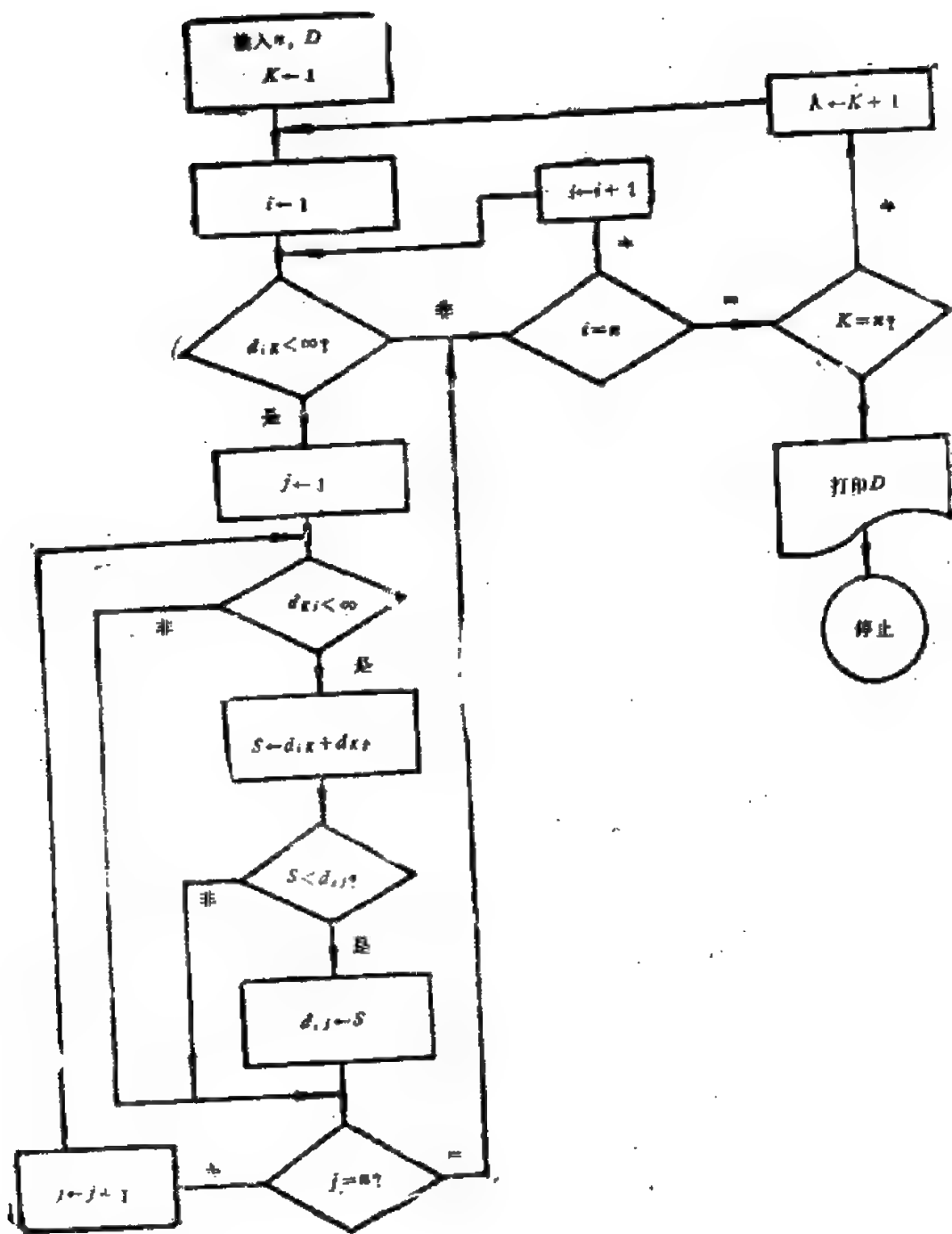
```
SUBROUTINE SPBE (W,X,N)
  INTEGER W(N,N), X(N,N)
  DO 5 I=1, N
    DO 5 J=1, N
      L = W(I, J)
      IF (L. NE. 9999999) X (I, J) = J
5    CONTINUE
    DO 15 K=1, N
      DO 15 I=1, N
        DO 15 J=1, N
          M = W(I, K) + W(K, J)
          IF (M. LT. W(I, J)) GO TO 10
        GO TO 15
10     W(I, J) = M
        X (I, J) = K
15    CONTINUE
      RETURN
    END.
```

## 6. 求任意两点间距离的算法 (Warshall) 算法

(1) 步骤：

- ①输入  $D$  (距离矩阵)。
- ②  $k \leftarrow 1$ 。
- ③  $i \leftarrow 1$ 。
- ④  $d_{ij} = \min(d_{ij}, d_{ik} + d_{kj})$ ,  $j = 1, 2, \dots, n$ 。
- ⑤  $i \leftarrow i + 1$ ; 若  $i \leq n$ , 转④。
- ⑥  $k \leftarrow k + 1$ ; 若  $k \leq n$ , 转③, 否则停止。

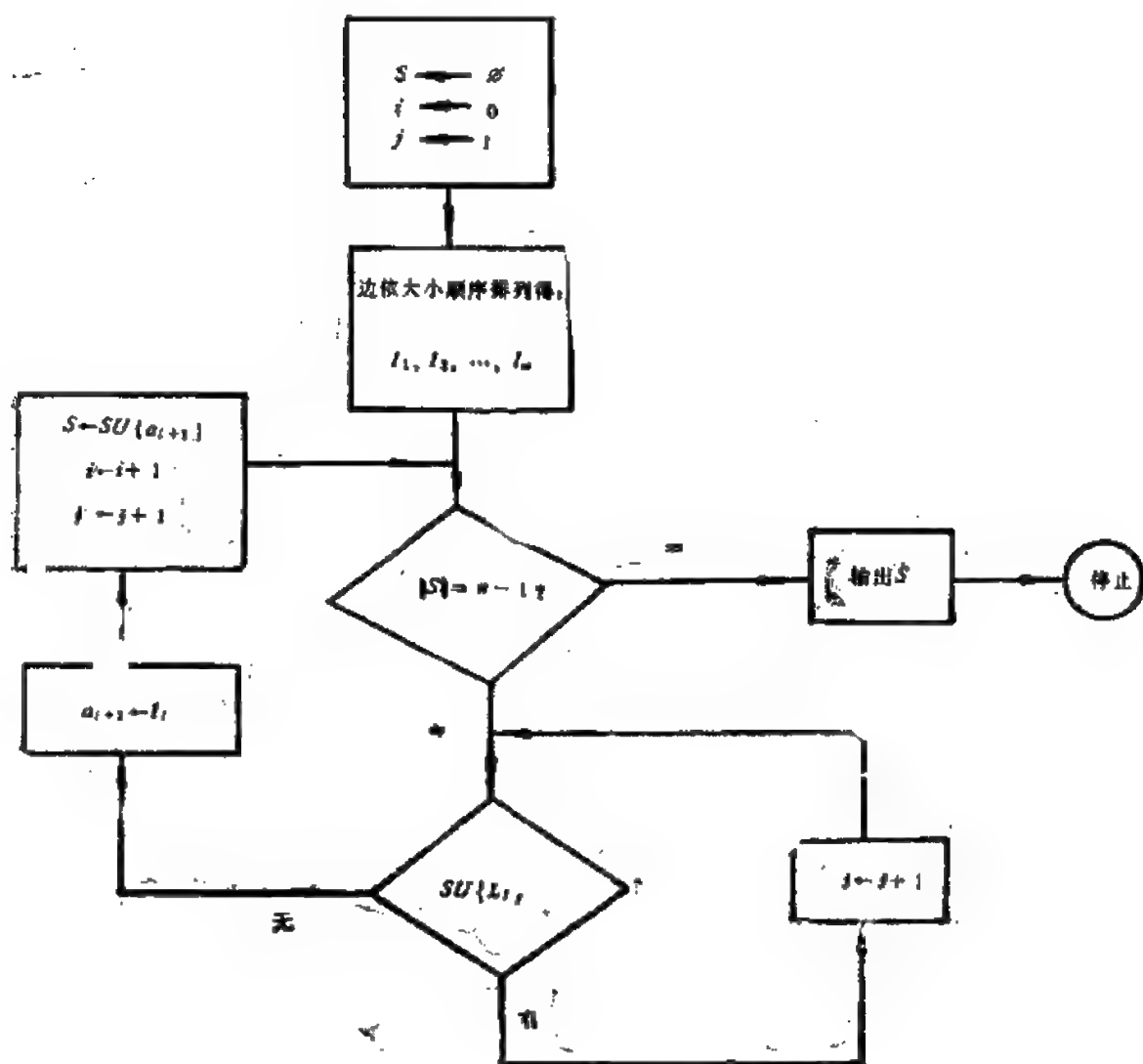
(2) 框图：



(求任意两点间距离的算法框图)



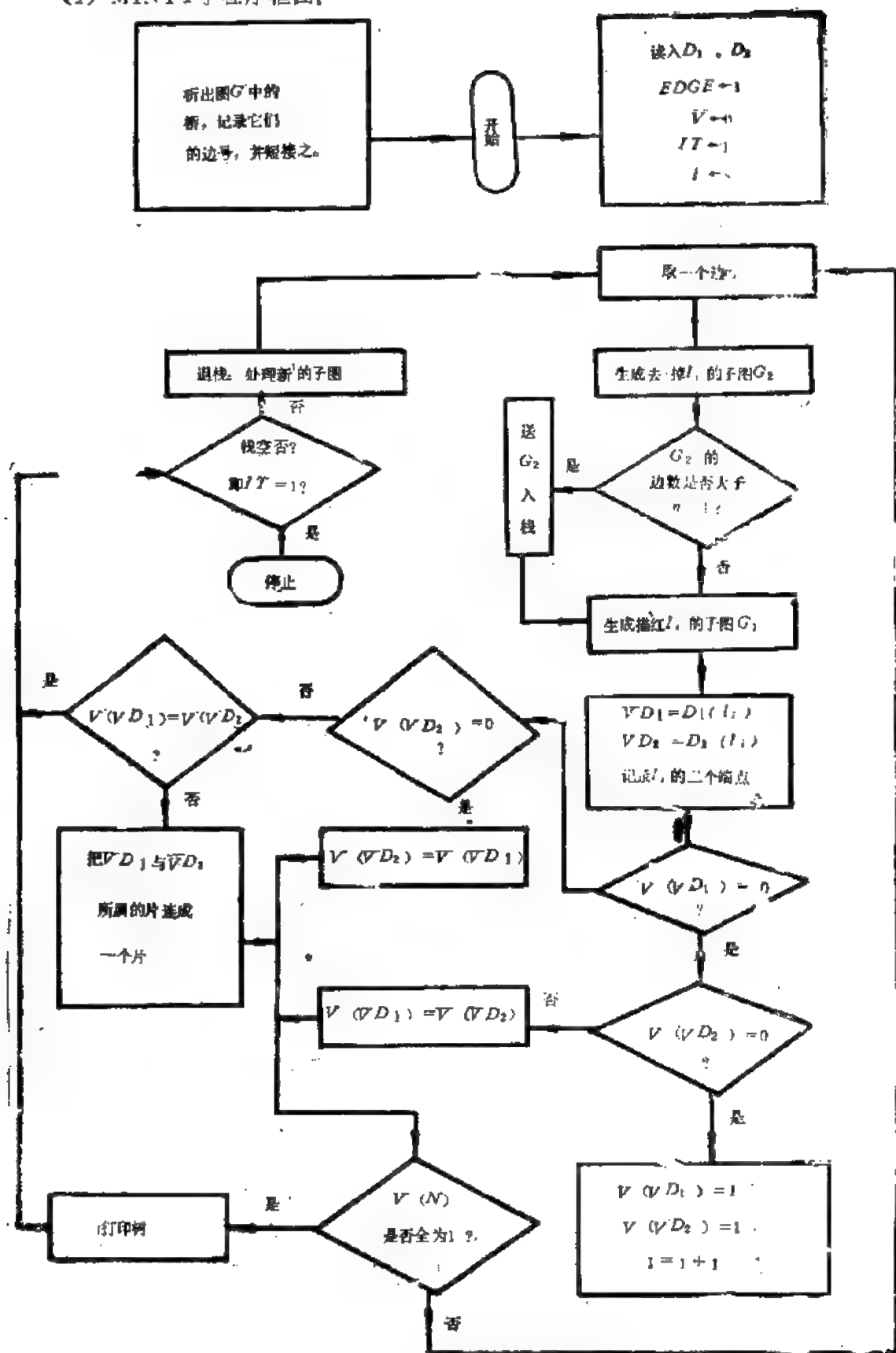
7. 求最短树的算法 (Kruskal算法)  
 框图: (其中 $n$ 为顶点个数,  $m$ 为边数)



(求最短树的算法框图)

## 8. 生成全部树的算法

(1) MINTY子程序框图:



(MINTY子程序框图)

(2) 子程序MINTY:

```
SUBROUTINE MINTY (N,E,R,D1,D2,V,VSTK,ESTK,  
1  EDGE, TREE)  
    INTEGER E,R,D1(E),D2(E),V(N),EDGE(E),VSTK  
    1  (N,N),ESTK(N,E),TREE(R)  
CR = N-1 R IS THE RANK OF THE GRAPH  
    DO 5 K=1, E  
    5  EDGE(K)=1  
    DO 10 K=1, N  
    10  V(K)=0  
    IT=1  
    I = 1  
    NT = 0  
    15  DO 20 K=1,E  
        IF (EDGE(K). EQ. 1) GOTO 40  
    20  CONTINUE  
    25  IF(IT, EQ. 1) RETURN  
        IT=IT-1  
        DO 30 K=1, E  
    30  EDGE(K)=ESTK(IT,K)  
        I = 0  
        DO 35 K=1,N  
        V(K)=VSTK (IT,K)  
        IF (VSTK (IT,K). LT. 1) GOTO 35  
        I=VSTK (IT,K)  
    35  CONTINUE  
        I = I + 1  
        GOTO 15  
    40  L = K  
        EDGE(L) = 0  
        M = 0  
        DO 45 K=1,E  
        IF(EDGE(K). NE. 0) M=M+1  
    45  CONTINUE  
        IF (M.LT.N-1) GOTO 60  
        DO 50 K=1, E  
    50  ESTK (IT,K)=EDGE(K)  
        DO 55 K=1, N  
    55  VSTK (IT,K)=V(K).
```

```

      IT = IT + 1
60  EDGE(L) = -1
      VD1 = D1 (L)
      VD2 = D2 (L)
      IF(V(VD1).EQ.0) GOTO 95
      IF(V(VD2).EQ.0) GOTO 105
      L = V(VD1)
      M = V(VD2)
      IF(L - M) 70, 25, 65
65  LCM = M
      M = L
      L = LCM
70  DO 85 K=1, N
      IF(V(K) - M) 85, 75, 80
75  V(K) = L
      GOTO 85
80  V(K) = V(K) - 1
85  CONTINUE
      I = I - 1
      GOTO 110
95  IF(V(VD2).EQ.0) GOTO 100
      V(VD1) = V(VD2)
      GOTO 110
100 V(VD1) = I
      V(VD2) = I
      I = I + 1
      GOTO 15
105 V(VD2) = V(VD1)
110 DO 115 K=1, N
      IF(V(K).NE.1) GOTO 15
115 CONTINUE
      NT = NT + 1
      L = 1
      DO 125 K=1, E
      IF(EDGE(K).EQ.(-1)) GOTO 120
      GOTO 125
120 TREE(L) = K
      L = L + 1
125 CONTINUE

```

## 9. 关于有向树的算法

```

graph TD
    Start([开始]) --> Read[/读入数据/]
    Read --> GenA[生成A矩阵]
    GenA --> CalcN[计算树  
的数目N]
    CalcN --> I1[I = 1]
    I1 --> IsI1{I ≤ N?}
    IsI1 -- 否 --> End1([结束])
    IsI1 -- 是 --> GenT1[生成第I个树]
    GenT1 --> GenAT1[生成AT(I)矩阵]
    GenAT1 --> CheckDir1{检测有向边}
    CheckDir1 -- 否 --> IsI1
    CheckDir1 -- 是 --> HasDir1{有向树吗?}
    HasDir1 -- 否 --> IsI1
    HasDir1 -- 是 --> CheckLoop1[检测回路]
    CheckLoop1 -- 否 --> IsI1
    CheckLoop1 -- 是 --> HasLoop1{是否有回路?}
    HasLoop1 -- 否 --> PrintT1[/打印2-树  
树支导纳乘积/]
    PrintT1 --> CalcCof1[确定代数  
余子式]
    CalcCof1 --> PrintCof1[/打印代数  
余子式/]
    PrintCof1 --> Iplus1[I = I + 1]
    Iplus1 --> IsI1
    HasLoop1 -- 是 --> IsI1
  
```

### 《关于有向树的算法框图》

(2) 程序:

```
      INTEGER A(10,45), AT(10,9), C(45), PART1(10),  
1  IY(10), DIR, SINK1  
      DIMENSION NT(45), NF(45)  
      READ (2,100) K0, K1  
      WRITE(5,100) K0, K1  
      CALL NETPM(K1, NT, NF)  
      CALL AMTX (K0, K1, NT, NF, A)  
      DO 5 K=1, K1  
5  WRITE(5, 100) K, NT(K), NF(K)  
      DO 6 J=1, K0  
6  WRITE (5,100) (A(I,J), J=1, K1)  
      K2=K0-1  
      CALL NCOMB (K2, K1, NCB)  
      WRITE (5,100) NCB  
      DO 11 K3=1, NCB  
      CALL COMBN (K2, K1, K3, C)  
      CALL ATMTX(K0, K1, NCB, A, C, AT, K2)  
      CALL TSTDOR (K0, K2, AT, DIR)  
      IF (DIR) 10,10,11  
10  CONTINUE  
      CALL TSTLP (K0, K2, NCB, AT, ITST)  
      IF(ITST) 11,11,12  
12  L=1  
      DO 25 J=1, K1  
      IF(C(J)) 25,25,13  
13  IY(L)=J  
      L=L+1  
25  CONTINUE  
      WRITE (5,101) (IY(K), K=1, K2)  
11  CONTINUE  
      K2=K0-2  
      CALL NCOMB (K2, K1, NCB)  
      WRITE (5,100) NCB  
      DO 15 K3=1, NCB  
      CALL COMBN (K2, K1, K3, C)  
      CALL ATMTX (K0, K1, NCB, A, C, AT, K2)  
      CALL TSTDOR (K0, K2, AT, DIR)  
      IF (DIR) 14,14,15
```

```

14 CONTINUE
   CALL TSTLP (K0,K2,NCB,AT,ITST)
   I6 (ITST) 15,15,16
16 CONTINUE
   CALL DCODE (AT,K0,K2,C,SINK1, PART1,LL)
   L = 1
   DO 35 I=1, K1
     IF(C(I)) 35,35,33
33 IY(L)=I
   L = L + 1
25 CONTINUE
   WRITE(5,101) (IY(K),K=1,K2)
   DO 40 I=1,LL
40 WRITE(5,103) SINK 1, PART1 (I)
103 FORMAT (' DELTA(',I2,',',',I2,',')')
15 CONTINUE
100 FORMAT (16 I 5)
101 FORMAT (' Y',I2,10(' Y',I2))
   STOP
   END
   SUBROUTINE NETPM (K1,NT,NF)
   DIMENSION NF(45), NT(45)
   NE = K1
   DO 5 K=1, NE
     READ(2,100) K,NT(K),NF(K)
5 CONTINUE
100 FORMAT (3 I 5)
   RETURN
   END
   SUBROUTINE COMBN (K2,K1,K3,C)
   INTEGER C (45)
   IF (K3-1) 40,9,14
9 DO 10 I=1, K1
10 C(I) = 0
   DO 11 I=1, K2
11 C(I) = 1
   GO TO 40
14 I=K1
   IF(C(I)) 20, 20, 26

```

```

20  I = I - 1
    IF(C(I)) 20, 20, 21
21  C(I) = 0
    I = I + 1
    C(I) = 1
    GO TO 40
26  L = 1
27  I = I - 1
    IF(C(I)) 29, 29, 28
28  L = L + 1
    GO TO 27
29  I = I - 1
    IF(C(I)) 29, 29, 30
30  C(I) = 0
    I = I + 1
    K4 = I + L
    K5 = I + L + 1
    DO 31 K = 1, K4
31  C(K) = 1
    DO 32 I = K5, K1
32  C(I) = 0
    GO TO 40
40  CONTINUE
    RETURN
    END
    SUBROUTINE TSTLP(K0, K2, NCB, AT, ITST)
    INTEGER AT(10, 9)
    CALL TSTRT
    DO 10 I = 1, K0
    DO 10 J = 1, K2
    IF(AT(I, J)) 10, 10, 1
1  N = 1
    L = J
    DO 3 K = 1, K0
    IF(AT(K, L)) 2, 3, 3
3  CONTINUE
2  DO 4 L = 1, K2
    IF(AT(K, L)) 4, 4, 5
4  CONTINUE

```



```

      GO TO 10
5    N = N + 1
      IF(N-K0) 7, 7, 12
7    CONTINUE
      GO TO 6
10   CONTINUE
      ITST = 1
      GO TO 15
12   CONTINUE
      ITST = 0
15   RETURN
      END
      SUBROUTINE NCOMB (K2, K1, NCB)
      PDNA = 1.0 E 00
      PRODN = 1.0 E 00
      K3 = K1 - K2 + 1
      DO 11 I = K3, K1
11    PRODN = PRODN * I
      DO 14 I = 1, K2
14    PDNA = PDNA * I
      NCB = PRODN / PDNA
      RETURN
      END
      SUBROUTINE AMTX(NN, NE, NT, NF, A)
      INTEGER A(10, 45)
      DIMENSION NT(45), NF(45)
      DO 10 J = 1, NN
      DO 10 K = 1, NE
10    A(J, K) = 0
      DO 12 K = 1, NE
      I = NT(K)
      J = NF(K)
      A(I, K) = -1
      A(J, K) = 1
12   CONTINUE
      RETURN
      END
      SUBROUTINE ATMTX (K0, K1, NCB, A, C, AT, K2)
      INTEGER A(10, 45), AT(10, 9), C(45)

```

```

      L = 1
      DO 11 J=1, K1
      IF(C(J)-1) 11, 9, 11
9      DO 10 K=1, K0
10     AT(K,L) = A(K,J)
      L = L + 1
      IF(L-K2) 11, 11, 12
11     CONTINUE
12     CONTINUE
      RETURN
      END
      SUBROUTINE TSTDTR(K0, K2, AT, DIR)
      INTEGER AT(10,9), DIR
      CALL TSTRT
      DO 12 I=1, K0
      L = 0
      DO 10 J=1, K2
      IF(AT(I,J)) 10, 10, 9
9      L = L + 1
      IF(L-2) 10, 11, 11
11     CONTINUE
      DIR = 1
      GO TO 20
10     CONTINUE
12     CONTINUE
      DIR = 0
20     CONTINUE
      RETURN
      END
      SUBROUTINE DCODE (AT,K0,K2,C,SINK1,PART1,
1      LL)
      INTEGER AT(10,9),PART1(10),C(45),SINK1
      DO 2 I=1, K0
      DO 1 J=1, K2
      IF(AT(I,J)) 1, 1, 2
1      CONTINUE
      SINK 1 = 1
      GO TO 8
2      CONTINUE

```

```

8  L = 1
   DO 20 I = 1, K2
     M = I
     IF(AT(SINK1,I)) 3, 20, 20
3   DO 4 J = 1, K0
     IF(AT(J,M)) 4, 4, 5
4   CONTINUE
5   PART1(L) = J
     L = L + 1
     DO 6 M = 1, K2
       IF(AT(J,M)) 3, 6, 6
6   CONTINUE
     GO TO 20
20  CONTINUE
     PART1(L) = SINK1
     LL = L
     RETURN
     END.

```

#### 10. DFS算法

(1) 步骤:

一般按邻接编口法输入图 $G$ 。把开始搜索的顶点标号为1，用 $T$ 和 $B$ 表示图 $G$ 中边的两个互补的子集。其中 $T$ 表示树上的边，以 $k$ 为序号； $B$ 表示不在树上的边。 $v$ 为正在检查顶点， $w$ 为待检查顶点， $Num(i)$ 为给每一个顶点的标号。

① 令 $v \leftarrow 1$ ,  $k \leftarrow 1$ ,  $L \leftarrow 1$ ,  $Num(1) \leftarrow 1$ 。

② 寻找没有检验的关联边。

a) 取 $v$ 中第一个没有检验的边，设为 $(v, w)$ ，经过此边，到达顶点 $w$ ，规定边 $(v, w)$ 的方向为从 $v$ 到 $w$ 。转③；

b) 若没有这样的边，即顶点 $v$ 的每一关联边都已检验过了，转④。

③ a) 若 $w$ 是未被访问过的顶点，即 $Num(w)$ 还没有确定，把边 $(v, w)$ 送入集合 $T$ ，令 $v \leftarrow w$ ,  $k \leftarrow k + 1$ ,  $Num(w) \leftarrow k$ ，转②；

b) 若 $w$ 是已被访问过的顶点，即 $Num(w) \neq 0$ ，把边 $(v, w)$ 送入集合 $B$ ，回到针点 $v$ ， $L \leftarrow L + 1$ ，转②。

④ 确定集合 $T$ 中指向顶点 $v$ 的边 $(u, v)$ 。

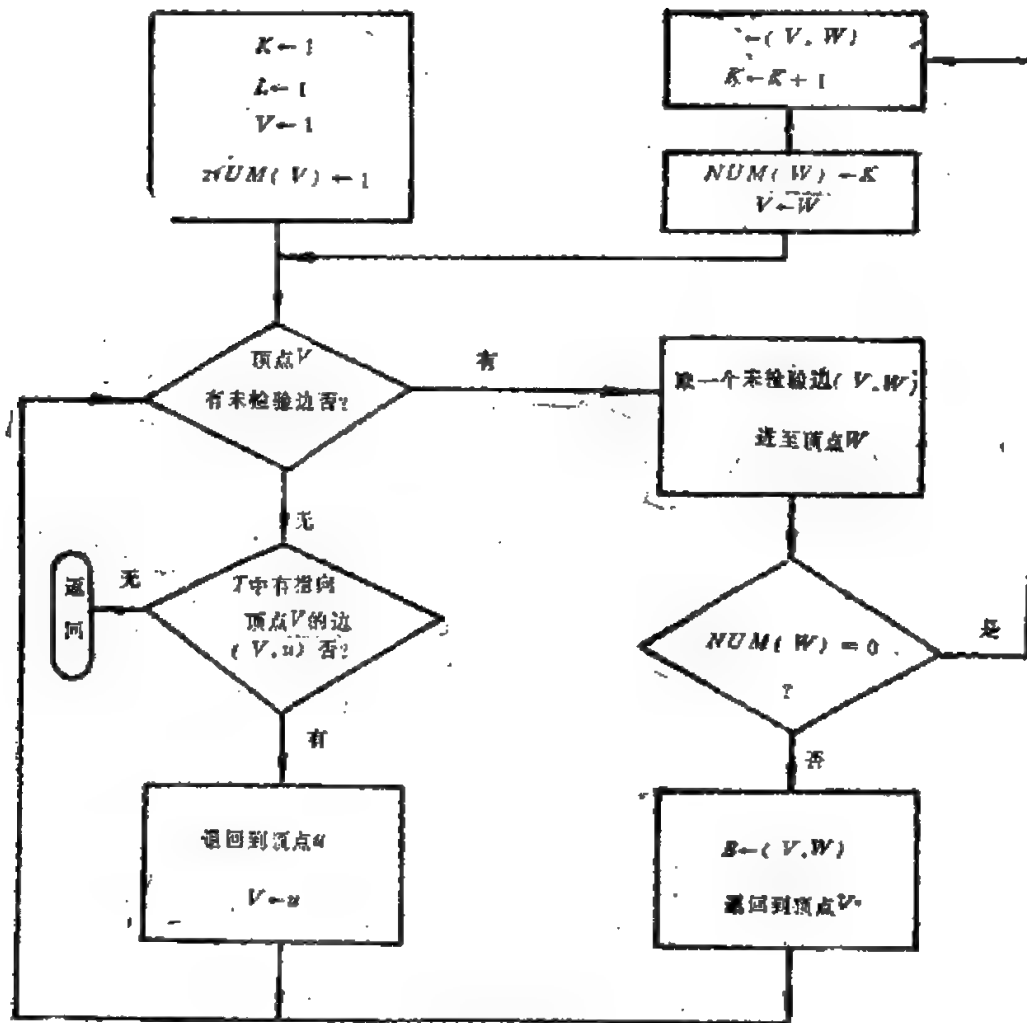
a) 找到该边返回到顶点 $u$ ，令 $v \leftarrow u$ ，转②；

b) 没有边 $(u, v)$ ，停止。

---

\* DFS算法不仅得到了一个树和给顶点标了号，而且给图 $G$ 确定了一个结构，它在多种算法中都会得到应用。

(2) 框图:



(DFS算法框图)

(3) 程序:

```

SUBROUTINE DFS(N, J, R, MU, NADJ, NEAR, T1, T2, B1
1  B2, NUM)
    INTEGER R, E, V, W, J, T1(R), T2(R), B1(MU), B2(MU)
    DIMENSION NADJ(N), NEAR(N, J), NUM(N)
    CR = N - 1 R IS THE RANK OF THE GRAPH
    CMU = E - N + 1 MU IS THE NULTY OF THE GRAPH
    L = 1
    K = 1
    V = 1
    NUM(1) = 1
    DO 5 J = 2, N
5  NUM(J) = 0
    
```

```

6  NK = NADJ(V)
10 DO 15 J=1, NK
    IF(NEAR(V,J). NE. 0) GO TO 25
15 CONTINUE
    IF(NUM(V). EQ. 1) RETURN
    M = NUM(V) - 1
    V = T1(M)
    GO TO 6
25 W = NEAR(V,J)
    NEAR(V,J) = 0
    NA = NADJ(W)
    DO 30 KK=1, NA
        IF(NEAR(W,KK). EQ. V) GO TO 35
30 CONTINUE
35 NEAR(W,KK) = 0
    IF(NUM(W). NE. 0) GO TO 40
    T1(K) = V
    T2(K) = W
    K = K + 1
    NUM(W) = K
    V = W
    GO TO 6
40 B1(L) = V
    B2(L) = W
    L = L + 1
    GO TO 10
END.

```

### 11. 图的块划分算法

(1) 标记: 若  $v$  点的“子孙”为  $D_T(v)$ , 则  $R_T(v) \triangleq D_T(v) \cup \{v_i | (v_j, v_i) \in \tilde{T}, v_j \in D_T(v)\}$ .  
 $low(v_i) \triangleq \min_{v_j \in R_T(v)} \{num(v_j)\}$ .

(2) 流程:

( $S_1$ ): 给初始值:

①  $R(i) = r(v_i)$ ,  $i = 1, 2, \dots, n$ .  $n = |V(G)|$ ;

②  $E \leftarrow \phi$ ;

③  $k \leftarrow 1$ ,  $l \leftarrow 1$ ,  $h \leftarrow 0$ ,  $m \leftarrow 1$ ;

④ 任选一  $v_i \in V(G)$  并给以标号.

( $S_2$ ):

①  $Slack^*(k) \leftarrow v_i$ ,  $num(v_i) \leftarrow m$ ,  $low(v_i) \leftarrow m$ .

\*  $Slack^*(k)$  是以  $k$  为参数的栈.

②  $R(i)$  为空时,  $l \leftarrow l-1$ , 转③.  $R(i)$  非空时, 设  $R(i) = (v_i, v_j), R_1(i)$ :

a)  $v_j$  未给标号时,  $S(l) \leftarrow (v_i, v_j)$ , 给  $v_j$  以标号,  $R(i) \leftarrow R_1(i)$ , 且  $i \leftarrow j, k \leftarrow k+1$ ,

$l \leftarrow l+1, m \leftarrow m+1$ , 转①.

b)  $v_j$  已给标号, 这时  $\text{num}(v_i) > \text{num}(v_j)$ . 若  $v_j \neq \text{Stack}(k-1)$  时作  $\text{low}(v_i) \leftarrow \min\{\text{low}(v_i), \text{num}(v_j)\}$ ,  $S(l) \leftarrow (v_i, v_j)$ ,  $R(i) \leftarrow R_1(i)$ ,  $l \leftarrow l+1$ , 转②; 若  $v_j = \text{Stack}(k-1)$ , 则  $R(i) \leftarrow R_1(i)$ , 转②.

③  $k=1$  时转  $(S_2)$ ,  $k \neq 1$  时做

a) 取  $\text{Stack}(k-1)$  的元素, 设为  $v_d$ ,  $\text{low}(v_i) \geq \text{num}(v_d)$  时转④, 否则转 b).

b)  $\text{low}(v_d) \leftarrow \min\{\text{low}(v_d), \text{low}(v_i)\}$ ,  $i \leftarrow d, k \leftarrow k-1$ , 转②.

④ 栈  $S(l)$  的顶上元素设为  $(v_p, v_q)$ .

a) 当  $p=d$ , 且  $q=i$  时, 转 c), 否则转 b).

b)  $E \leftarrow E \cup \{(v_p, v_q)\}$ ,  $l \leftarrow l-1$ , 转④.

c)  $k \leftarrow k+1, E_k \leftarrow E \cup \{(v_d, v_i)\}, i \leftarrow d, k \leftarrow k-1, E \leftarrow \phi$ , 转②.

$(S_2)$ : 存在有未给标号的顶点时, 任取其一  $v_a$ , 给  $v_a$  以标号,  $i \leftarrow a$ , 且  $k \leftarrow 1, l \leftarrow 1, m \leftarrow m+1, E \leftarrow \phi$ , 转  $(S_1)$ . 若所有的顶点都已给标号, 则结束.

## 12. 图的强连通块划分算法

(1) 标记: 从  $v$  点出发, 通过属于  $T$  的边, 最多通过一条属于  $B$  的边, 所能到达和  $v$  属于同一个强连通块的点的集合, 用  $R(v)$  示之. 令

$$\text{lowlink}(v_i) = \min_{v_j \in R(v_i)} [\text{num}(v_j)].$$

(2) 流程:

$(S_1)$ : 给初值:

①  $R(i) \leftarrow r(v_i), i=1, 2, \dots, n$ .

②  $\text{State}(v_i) \leftarrow 0, i=1, 2, \dots, n$ .

③  $V \leftarrow \phi$ .

④  $k \leftarrow 1, l \leftarrow 1, m \leftarrow 1, h \leftarrow 1$ .

⑤ 任选一顶点  $v_i$ .

$(S_2)$ :

①  $\text{Stack}(k) \leftarrow v_i, \text{num}(v_i) \leftarrow m, \text{lowlink}(v_i) \leftarrow m, \text{State}(v_i) \leftarrow 1$ .

②  $S(l) \leftarrow v_i$ .

③ 若  $R(i)$  为空时, 转④.  $R(i)$  非空时, 设  $R(i) = (v_i, v_j), R_1(i)$ , 做:

a)  $\text{State}(v_j) = 0$  时,  $R(i) \leftarrow R_1(i), i \leftarrow j, k \leftarrow k+1, l \leftarrow l+1, m \leftarrow m+1$ , 转①.

b)  $\text{State}(v_j) \neq 0$  时, 当  $\text{State}(v_j) = 1$ , 且  $\text{num}(v_j) < \text{num}(v_i)$  时, 做

$\text{lowlink}(v_i) \leftarrow \min\{\text{lowlink}(v_i), \text{num}(v_j)\}$ ,  $R(i) \leftarrow R_1(i)$ , 转③. 否则  $R(i) \leftarrow R_1(i)$ , 转③.

④  $\text{lowlink}(v_i) = \text{num}(v_i)$  时, 转  $(S_3)$ . 否则,  $v_d \triangleq \text{Stack}(k-1), \text{lowlink}(v_d) \leftarrow \min\{\text{lowlink}(v_d), \text{lowlink}(v_i)\}$ ,  $i \leftarrow d, k \leftarrow k-1$ , 转③.

$(S_3)$ : 令  $v_s \triangleq S(l)$ , 做

①  $\text{num}(v_s) \leq \text{num}(v_i)$  时, 转②, 否则转③.

②  $V \leftarrow V \cup v_i$ ,  $\text{State}(v_i) \leftarrow 2$ ,  $l \leftarrow l - 1$ , 若  $l = 0$ , 则转③, 否则转①.

③  $V_k \leftarrow V$ ,  $V \leftarrow \phi$ , 转④.

④  $t = 1$  时, 转  $(S_1)$ ,  $k \neq 1$  时,  $k \leftarrow k - 1$ ,  $h \leftarrow h + 1$ , 令  $v_i \triangleq \text{Stack}(h)$ ,  $i \leftarrow p$ , 然后转  $(S_2)$  的③.

$(S_1)$ : 若存在  $\text{State}(v_i) = 0$  的顶点  $v_i$  时,  $i \leftarrow q$ ,  $l \leftarrow 1$ ,  $m \leftarrow m + 1$ ,  $h \leftarrow h + 1$ , 转  $(S_2)$ ; 若不存在  $\text{State}(v_i) = 0$  的顶点, 则结束.

若上述算法给出的结果是  $h = p$ , 则由  $V_k$  ( $k = 1, 2, \dots, p$ ) 的顶点以及两顶点属于  $V_k$  的所有的边组成了强连通块.

### 13. 求割点的算法

(1) 标记:

$$\text{Low}(v) = \min(\{\text{Num}(v)\} \cup \{\text{Num}(w)\})$$

上式表示  $\text{Low}(v)$  取顶点  $v$  或  $w$  的 DFS 标号中的小值. 其中  $w$  是指这样一些顶点, 它们是  $v$  的前代顶点, 而且有从  $v$  的后继顶点  $x$  指向它的返回边  $(x, w)$ . 对于所有这样的  $w$ , 取它们的标号的集合, 记为  $\{\text{Num}(w)\}$ .

(2) 程序:

```

SUBROUTINE CUTND (N,R,MU,T1,T2,B1,B2,NUM,
1  LOW,KN)
  INTEGER R, T1(R), T2(R), B1(MU), B2(MU), KN(N),
1  F, S
  DIMENSION LOW(N) NUM(N)
  DO 5 K=1, N
    KN(K)=0
5  LOW(K)=NUM(K)
  DO 10 K=1, MU
    F=B1(K)
    S=B2(K)
    IF(LOW(F).GE.NUM(S)) LOW(F)=NUM(S)
10 CONTINUE
  DO 15 K=1, R
    M=R-K+1
    F=T1(M)
    S=T2(M)
    IF(LOW(S).LE.LOW(F)) LOW(F)=LOW(S)
15 CONTINUE
  M=0
  DO 20 K=1, R
    F=T1(K)
    S=T2(K)
    IF(F.EQ.1)M=M+1
  
```

```

      IF(LOW(S).GE.NUM(F).AND.F.NE.1)KN(F)=F
20  CONTINUE
      IF(M.GE.2) KN(1)=1
      RETURN
      END.

```

(3) 注: ①在调用子程序CUTND之前, 需先调用子程序DFS, 把边分为两类集合  $T$  和  $B$ , 并求出标号  $Num(N)$ 。CUTND则直接输入这些数组, 进行比较, 得出标号  $LOW(N)$ 。子程序CUTND的输出是一维数组  $KN(N)$  和  $LOW(N)$ 。在  $KN(N)$  中, 若  $KN(i)=i$ , 则表明它是割点; 否则  $KN(i)=0$ 。

②子程序CUTND仅仅给出了图  $G$  中的割点, 但不难通过对它稍加改变, 使之能够给出各个边与顶点分属各个块的情况, 并指出属于桥的边。

#### 14. 求连通度的算法

(1) 标记:

$N$ ——图  $G$  顶点数。

$NC(N, N)$ ——邻接矩阵。

变量  $S$  和  $T$ ——记录图  $G$  中两个顶点。

$V_1, V_2, L_1, L_2, M$ ——对图  $G$  进行标号应用的中间数组, 都是长度为  $N$  的整形一维数组。

变量  $KC$ ——应用程序CONY所求得的顶点  $S$  与  $T$  之间的连通度记于其中。

(2) 程序:

```

      SUBROUTINE CONY(N, NC, S, T, V1, V2, L1, L2, M, KC)
      DIMENSION NC(N, N), L1(N), L2(N), M(N)
      INTEGER V1(N), V2(N), S, T
      LOGICAL J1, J2, J3, J4
      KC = 0
6    I = S
      DO 10 L = 1, N
        L1(L) = 0
        L2(L) = 0
        V1(L) = 0
        V2(L) = 0
10   M(L) = 0
15   J1 = V1(I).GT.0.AND.L1(I).EQ.1
      J2 = V1(I).LT.0.
      J3 = V1(I).GT.0.AND.L1(I).EQ.1
      J4 = .TRUE.
      DO 30 K = 1, N
30   IF(NC(I, K).EQ.1.AND.NC(K, I).EQ.0)J4 = .FALSE
      DO 20 J = 1, N

```



```

      IF(J.EQ.S.OR.V1(J).LT.0.OR.V2(J).LT.
1    0.OR.NC(J,I).EQ.0) GO TO 20
      IF(NC(I,J).EQ.0) GO TO 25
      IF(V1(J).NE.0) GO TO 20
      IF(I.EQ.S.OR.J1.AND.J4.OR.J2) GO TO 35
      IF(J3) GO TO 40
      GO TO 20
25   IF(J1.OR.J2) GO TO 45
      GO TO 50
40   M(J) = 1
35   V1(J) = I
      GO TO 55
50   M(J) = 1
45   IF(V1(J).GT.0.AND.L1(J).EQ.1) GO TO 60
      V1(J) = -1
      GO TO 55
60   V2(J) = -1
55   IF(J.EQ.T) GO TO 65
20   CONTINUE
      L1(I) = 1
      IF(V2(I).LT.0) L2(I) = 1
      DO 70 K=1, N
70   IF(V1(K).NE.0.AND.L1(K).EQ.0.OR.V2(K).NE.0.
1    AND.L2(K).EQ.0) GO TO 75
      RETURN
75   I = K
      GO TO 15
65   KC = KC + 1
      I = T
80   IF(V1(I).LT.0) GO TO 85
      MC = V1(I)
      NC(I,MC) = 0
      GO TO 90
85   MC = -V1(I)
100  NC(MC,I) = 1
90   IF(MC.EQ.S) GO TO 5
      IF(M(I).EQ.0) GO TO 95
      I = MC
      MC = -V2(I)

```

```

GO TO 100
95 I = MC
GO TO 80
END.

```

## 15. 判定平面图的算法

(1) 标记:

$B_{..}$ ——边递增的回路矩阵。

$E$ ——边集矢量 $E$ 是一个 $n$ 维列矢量,  $n$ 是边递增的回路矩阵 $B_{..}$ 的行数。 $E$ 的第 $k$ 个元素对应于 $B_{..}$ 的第 $k$ 行, 其值为第 $k$ 行中“1”的个数。

$C_i$ ——回路组合矢量 $C_i$ 是一个 $n$ 维行向量,  $n$ 是边递增的回路矩阵 $B_{..}$ 的行数, 其中 $e-v+2$ 个元素是1, 其余为0。每个回路组合矢量 $C_i$ 表示一个回路组合,  $C_i$ 中各元素1所对应的序号就是参加该回路组合那些回路的序号。

$B_{..}$ ——完全回路矩阵 $B$ 包含的一个 $e-v+2$ 行、 $e$ 列的子矩阵。

(2) 步骤:

①生成边递增的回路矩阵 $B_{..}$ 。

②由 $B_{..}$ 生成边集矢量 $E$ 。

③产生由 $C_i = [1 \ 1 \cdots 1 \ 0 \cdots 0]$ 开始的回路组合矢量 $C_i$ , 由 $C_i$ 开始检验。  
 $e-v+2$

④得出矩阵乘积 $C_i E = P$ 。

⑤若 $P < 2e$ 转到第③步, 取下一个回路组合矢量。

若 $P = 2e$ , 转到第⑥步。

若 $P > 2e$ , 转到第⑦步。

⑥生成子矩阵 $B_{..}$ , 它的 $e-v+2$ 个行是 $C_i$ 中为1的元素所代表的 $B_{..}$ 的行。若 $B_{..}$ 每列含有且仅含有两个“1”, 则图为平面图, 停止检验, 否则转到第③步, 应用下一个回路组合矢量。

⑦看一下 $C_i$ 是否是本原回路组合矢量。若是, 则图 $G$ 为非平面图, 停止检验。否则, 到第③步, 应用下一个回路组合矢量。

## 16. 求最大匹配的匈牙利算法

框图: (见P.175)

## 17. 求最佳匹配的算法

框图: (见P.176)

## 18. 节点电路分析的算法

节点电路分析程序NODEQ是对RLC-g网络进行正弦稳态分析的程序。

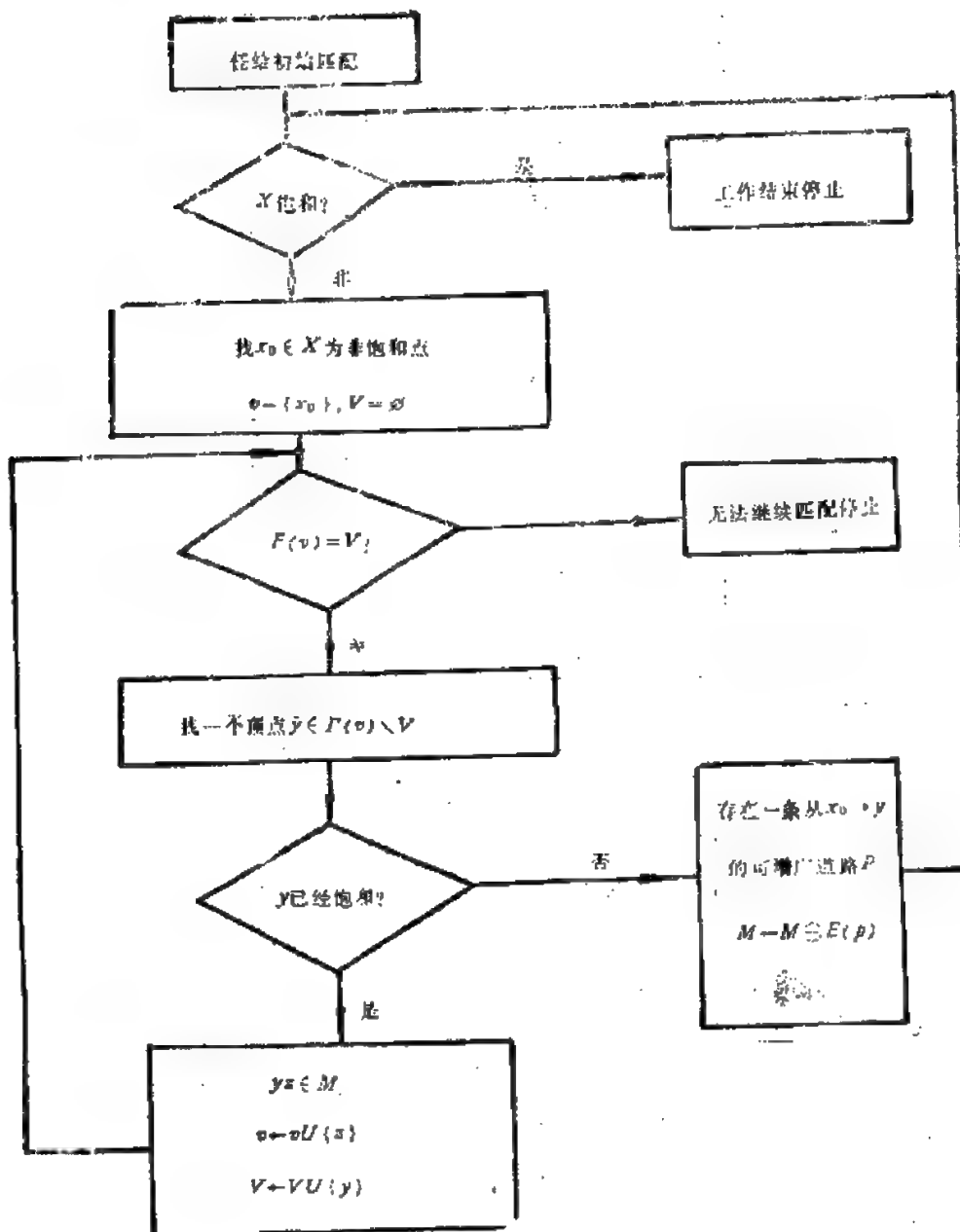
(1) 框图: (见P.177)

(2) 程序:

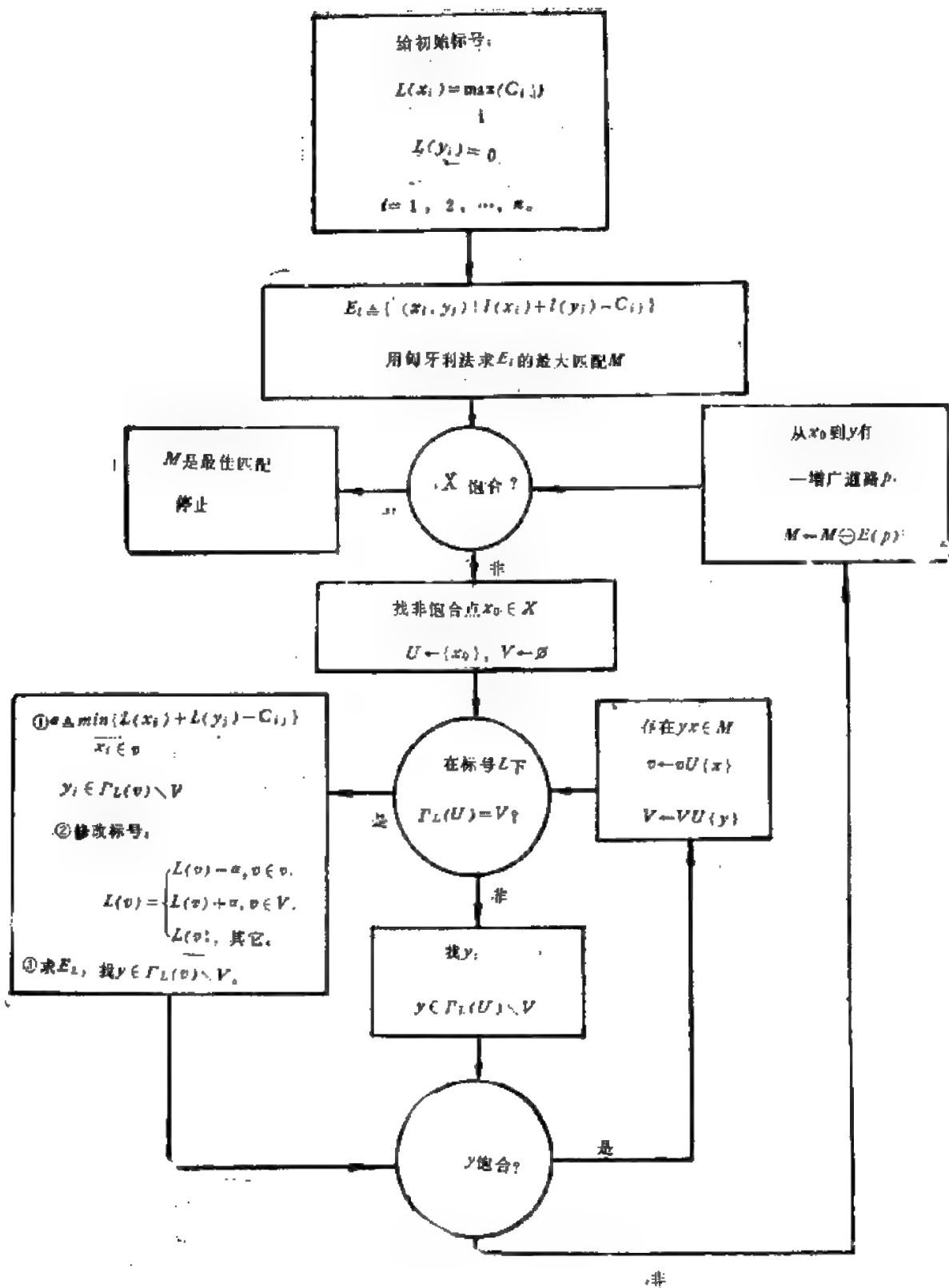
```

C      NODEQ MAINPROGRAM
      DIMENSION LO(50), MO(50), IELEM(50), VALUE(50),
1      E(50,2), C(50,2), VINT(50), CINT(50), LA(10),
2      MA(10), ALP(10), VN(20,2), BE(20,2)      (接P.178)

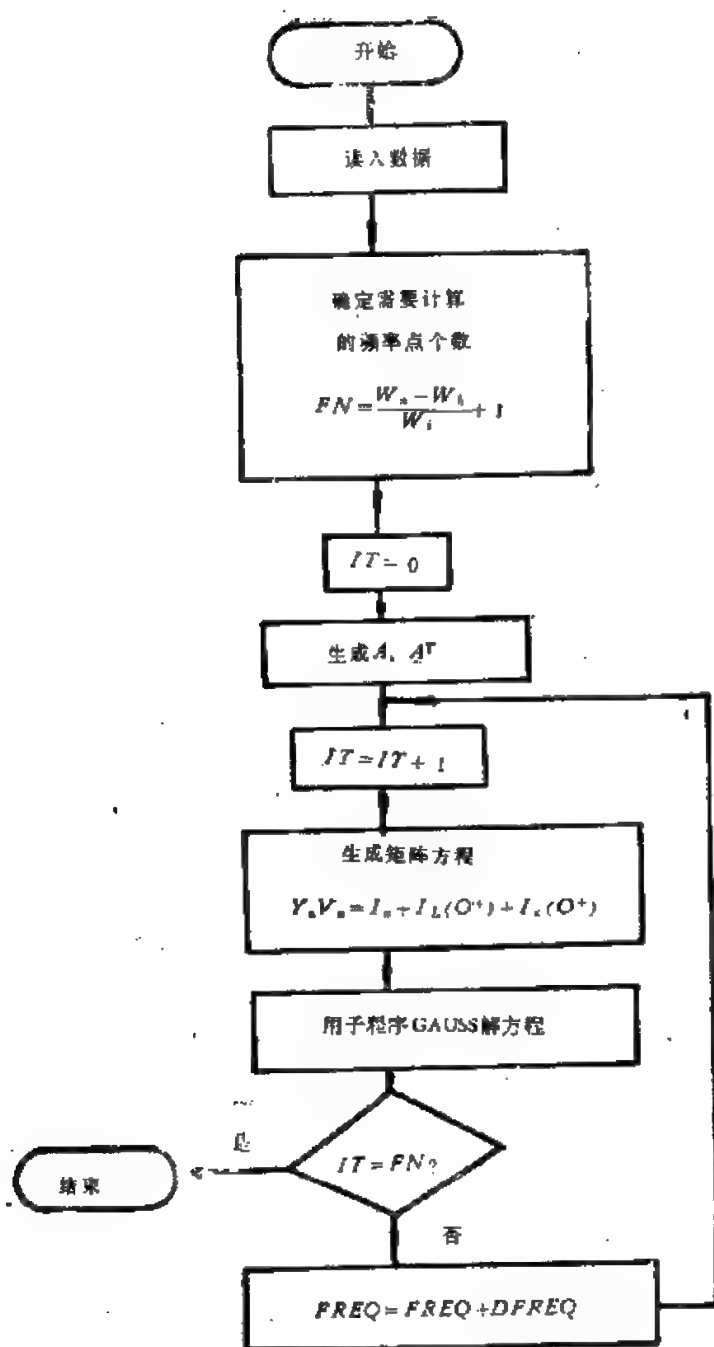
```



(求最大匹配的匈牙利算法框图)



(求最佳匹配的算法图框)



(节点电路分析的算法框图)

```

COMMON A(20,50), T(50,20)/C1/YE(50,50,2)/
1 C2/XL(50,50)/C3/YN(20,20,2)/C4/R(20,50,2)/C5/
2 D(50,2), P(50,2), VL(50)
  READ(5,100) FREQI, FREQF, DFREQ
  READ(3,105)N, MB, MAS
  DO 5 I=1, MB
    READ(5,110)LO(I), MO(I), IELEM(I), VALUE(I),
1 E(I,1), C(I,1), VINT(I), CINT(I)
5 WRITE(6,110) LO(I), MO(I), IELEM(I), VALUE(I),
1 E(I,1), C(I,1), VINT(I), CINT(I)
  DO 10 I=1, MAS
10 READ(5,115) LA(I), MA(I), ALP(I)
  WRITE(6,120) FREQI, FREQF, DFREQ
  WRITE(6,125)N, MB, MAS
  IT=0
  FREQ=FREQI
  IF(FREQF)20, 15, 20
15 IFIN=1
  GO TO 22
20 IFIN=(FREQF-FREQI)/DFREQ+1
22 CALL FORMA (N,MB,LO,MO)
25 IT=IT+1
  CALL FORMYE (MB,MAS,FREQ,IELEM,VALUE,LA,
1 MA,ALP)
  CALL FORMYN (N,MB)
  CALL FORMBE (N,MB,FREQ,C,E,VINT,CINT,BE)
  CALL GAUSS (N,BE,VN)
  FREQ=FREQ+DFREQ
  IF(IT.LT.IFIN) GO TO 25
100 FORMAT (3F10.0)
105 FORMAT (3I5)
110 FORMAT (3X,I2,3X,I2,2X,I3,5F10.1)
115 FORMAT(3X,I2,3X,I2,5X,F10.0)
120 FORMAT (8X,3HLOW,2X,F10.0,2HHZ,5X,4HHIGH,
1 2X,F10.0,2HHZ,5X,4HSTEP,2X,F10.0,2HHZ)
125 FORMAT (8X,4HNODE,2X,I2,5X,6HPRANCH,2X,
1 I2,5X,16 HDEPENDENT SOURCE 2X,I2)
  STOP
  END

```

```

SUBROUTINE FORMA (N, B, LO, MO)
  INTEGER B
  DIMENSION LO(N), MO(N)
  COMMON A(20,50), T(50,20)
  DO 5 I=1, N
    DO 5 J=1, B
      A(I,J)=0.0
5    T(J,I)=0.0
    DO 10 I=1, B
      L=LO(I)
      A(L,I)=1.0
      T(I,L)=1.0
      M=MO(I)
      A(M,I)=-1.0
10    T(I,M)=-1.0
      WRITE(6, 30)
      DO 20 I=1, N
20    WRITE(6,25) (A(I,J),J=1,B)
25    FORMAT(/5X,20F 4.0)
30    FORMAT(//3X,16HINCIDENCE MATRIX)
      RETURN
    END
  SUBROUTINE FORMYE (B,MAS,FREQ,IELEM,VALUE,
1  LA,MA,ALP)
    INTEGER B,R,C
    DIMENSION IELEM(B),VALUE(B),LA(B),MA(B),
1  ALP(B)
    COMMON/C1/YE(50,50,2)/C2/XL(50,50)
    DATA R, C, L/333, 666, 999/
    DO 5 J=1, 50
      DO 5 I=1, 50
        YE(I,J,1)=0.0
        YE(I,J,2)=0.0
5      XL(I,J)=0.0
      DO 50 I=1, B
        IF(IELEM(I)-R) 20, 30, 20
20      IF(IELEM(I)-C) 25, 35, 25
25      IF(IELEM(I)-L) 55, 45, 55
30      YE(I,I,1)=1.0/VALUE(I)

```

```

      GO TO 50
35  YE(I,1,2) = VALUE(I) * FREQ
      GO TO 50
45  YE(I,1,2) = -1.0/(VALUE(I) * FREQ)
      XL(I,1) = VALUE(I)
50  CONTINUE
55  DO 60 I=1, MAS
      LD = LA(I)
      MD = MA(I)
60  YE(MD,LD,1) = ALP(I)
      WRITE(6,65) FREQ
65  FORMAT(////8X,16HTHE FREQUENCY IS,2X,
1  F10.2)
      WRITE(6,70)
70  FORMAT(//8X, 26 HTHE REAL PART OF YE
1  MATRIX)
      WRITE(6,80) ((YE(I,J,1), J=1,B), I=1,B)
      WRITE(6,75)
75  FORMAT(//8X, 31HTHE IMAGINERY PART OF
1  YE MATRIX)
      WRITE(6,80) ((YE(I,J,2), J=1,B), I=1, B)
80  FORMAT (5X,6E 10.2)
      RETURN
      END
      SUBROUTINE FORMBE(N,B,FREQ,C,E,VINT,CINT,
1  BE)
      INTEGER B
      DIMENSION BE(N,2), C(B,2), E(B,2), VINT(B),
1  CINT(B)
      COMMON A(20,50)/C1/YE(50,50,2)/C2/XL(50,50)
1  /C5/D(50,2), P(50,2), VL(50)
      DO 10 I=1, B
      C(I,2) = 0.0
      VL(I) = XL(I,1) * CINT(I)
      E(I,1) = E(I,1) - VL(I),
      E(I,2) = - VINT(I)/FREQ
      D(I,1) = 0.0
      D(I,2) = 0.0
      DO 5 J=1, B

```



```

      CALL CXMPY (YE(I,J,1), YE(I,J,2), E(J,1), E(J,2),
1  P(J,1), P(J,2))
      D(I,1) = D(I,1) + P(J,1)
5  D(I,2) = D(I,2) + P(J,2)
      C(I,1) = C(I,1) + D(I,1)
10. C(I,2) = C(I,2) + D(I,2)
      DO 15 I = 1, N
      BE(I,1) = 0.0
      BE(I,2) = 0.0
      DO 15 J = 1, B
      BE(I,1) = BE(I,1) + A(I,J) * C(J,1)
15 BE(I,2) = BE(I,2) + A(I,J) * C(J,2)
      RETURN
      END
      SUBROUTINE FORMYN(N,B)
      INTEGER B
      COMMON A(20,50), T(50,20)/C1/YE(50,50,2)/C3/
1  YN(20,20,2)/C4/R(20,50,2)
      DO 5 J = 1, B
      DO 5 I = 1, N
      R(I,J,1) = 0.0
      R(I,J,2) = 0.0
      DO 5L = 1, B
      R(I,J,1) = R(I,J,1) + A(I,L) * YE(L,J,1)
5  R(I,J,2) = R(I,J,2) + A(I,L) * YE(L,J,2)
      DO 10 J = 1, N
      DO 10 I = 1, N
      YN(I,J,1) = 0.0
      YN(I,J,2) = 0.0
      DO 10 L = 1, B
      YN(I,J,1) = YN(I,J,1) + R(I,L,1) * T(L,J)
10 YN(I,J,2) = YN(I,J,2) + R(I,L,2) * T(L,J)
      RETURN
      END
      SUBROUTINE GAUSS(N,BE,VN)
      DIMENSION BE(N,2), VN(N,2), CC(2), DD(2), EE(2).
      COMMON/C3/YN(20,20,2)
      NM1 = N - 1
      DO 10 K = 1, NM1

```

```

      CC(1) = YN(K,K,1)
      CC(2) = YN(K,K,2)
      KP1 = K + 1
      CALL CXDIV(1.0,0.0,CC(1),CC(2),CC(1),CC(2)).
      CALL CXMPY (BE(K,1),BE(K,2),CC(1),CC(2),
1  BE(K,1), BE(K,2))
      DO 10 J = KP1,N
      CALL CXMPY(YN(K,J,1),YN(K,J,2),CC(1),CC(2),
1  YN(K,J,1), YN(K,J,2))
      DO 5 I = KP1, N
      CALL CXMPY CYN(I,K,1), YN(I,K,2),YN(K,J,1),
1  YN(K,J,2), DD(1),DD(2))
      YN(I,J,1) = YN(I,J,1) - DD(1)
      5  YN(I,J,2) = YN(I,J,2) - DD(2)
      CALL CXMPY (YN(J,K,1), YN(J,K,2), BE(K,1),
      BE(K,2), EE(1), EE(2))
      EE(J,1) = BE(J,1) - EE(1)
      10 BE(J,2) = BE(J,2) - EE(2)
      CALL CXDIV(BE(N,1),BE(N,2),YN(N,N,1),
1  YN(N,N,2), VN(N,1), VN(N,2))
      DO 20 K = 1, NM1
      I = N - K
      CC(1) = 0.0
      CC(2) = 0.0
      IP1 = I + 1
      DO 15 J = IP1, N
      CALL CXMPY(YN(I,J,1), YN(I,J,2), BE(J,1),
1  BE(J,2), DD(1), DD(2))
      CC(1) = CC(1) + DD(1)
      15 CC(2) = CC(2) + DD(2)
      VN(I,1) = BE(I,1) - CC(1)
      20 VN(I,2) = BE(I,2) - CC(2)
      DO 30 I = 1, N
      30 WRITE (6,130)I, VN(I,1), VN(I,2)
130 FORMAT(/5X,2HV(,I2,2H) -,E10.3, 2H+J, E10.3)
      RETURN
      END
      SUBROUTINE CXMPY(X1,Y1,X2,Y2,X3,Y3)
      X3 = X1*X2 - Y1*Y2

```

$Y3 = X1 * Y2 + X2 * Y1$

RETURN

END

SUBROUTINE CX DIV(X1, Y1, X2, Y2, X3, Y3)

$X3 = (X1 * X2 + Y1 * Y2) / (X2 * X2 + Y2 * Y2)$

$Y3 = (X2 * Y1 - X1 * Y2) / (X2 * X2 + Y2 * Y2)$

RETURN

END.

## 八、图的应用

自然界和人类社会中的大量事物以及事物间的关系，常可用图形来描述。例如，物质结构、电气网络、城市规划、交通运输、信息传送、工作调配、事物关系等均可用点和线连接起来的图模拟。

图论通过点和线的构形来构成模拟各类系统的数学模型，并根据图的性质进行分析，提供研究各种系统的科学的、巧妙的方法。任何一个包含了某种二元关系的系统都可以用图论的方法分析，而且它往往具有形象直观的特点。图论中应用的线形图与几何图不同，每条边均可赋权，从而组成加权图，用之来研究系统特性，进行决策分析，确定最优设计，调整经济管理等等。

由于上述原因，图论的研究具有十分广阔的客观原型，并在许多领域中有着极其广泛的应用。这些领域包括：管理科学、心理学、理论物理学、统计力学、概率论、线性规划、运筹学、拓扑学、经济学、计算机科学、场论、模式识别、生物学、建筑学、语言学、遗传学、法学、化学等等。

在这里，将按几种典型课题简介图论应用的一般原理和方法。这些课题包括：

- (一) 网络上的流及其应用；
- (二) 电路网络；
- (三) 开关网络；
- (四) 运输网络；
- (五) 信号流图；
- (六) 色数问题应用简例；
- (七) 服务点设置问题简例。

### (一) 网络上的流及其应用

#### 1. 概念

(1) 网络：设  $N = (V, U)$  为一有向图。若在  $V$  中有两个不同顶点子集  $X$  和  $Y$  ( $X, Y$  不相交和非空)，而且在弧集  $U$  上定义了一个非负实数值函数  $C$ ，则称  $N$  为一个网络。（常称为运输网络）。

源： $X$  中的顶点称为源。

汇： $Y$  中的顶点称为汇。

中间顶点（中转点）：既非源又非汇的顶点，称为中间顶点（中转点）。

容量函数：函数  $C$  称为  $N$  的容量函数。

容量：容量函数  $C$  在弧  $\sigma$  上的值称为  $\sigma$  的容量，记作  $C(\sigma)$  或  $C(i, j)$ 。

(2) 相容的网络：满足条件：

$$0 \leq f(i, j) \leq C(i, j)$$

的网络  $N$  称为是相容的 (其中  $f(i, j)$  示弧  $(i, j)$  上的流)。

(3) 守恒的网络: 满足条件

$$f(i, V) - f(V, i) = \begin{cases} f_{xy}, & \text{当 } i = x, \\ 0, & \text{当 } i \neq x \neq y, \text{ 对所有的 } i \in V, \\ -f_{xy}, & \text{当 } i = y. \end{cases}$$

的网络  $N$  称为是守恒的。其中

$$f(V_1, V_2) = \sum_{(i, j) \in (V_1, V_2)} f(i, j);$$

$f(i, V)$  表示从顶点  $i$  流出的流的和;

$f(V, i)$  表示流向顶点  $i$  的流的和;

$f_{xy}$  表示从源  $x$  流出的流;

$-f_{xy}$  表示流入  $y$  的流。

(4) 网络  $N$  的流: 网络  $N$  的每一条弧上的流的集合  $\{f(i, j), (i, j) \in U\}$  称为网络  $N$  的流, 记作  $F$ , 即

$$F = \{f(i, j), (i, j) \in U\}$$

(5) 可行流: 若网络  $N$  满足条件:

$$0 \leq f(i, j) \leq C(i, j),$$

$$f(i, V) - f(V, i) = \begin{cases} f_{xy}, & \text{当 } i = x, \\ 0, & \text{当 } i \neq x \neq y, \text{ 对所有的 } i \in V, \\ -f_{xy}, & \text{当 } i = y. \end{cases}$$

则称  $F$  是网络  $N$  上的可行流,  $f_{xy}$  称为流  $F$  的值。

(6) 饱和弧: 若一条弧的流等于该弧的容量, 即  $f(i, j) = C(i, j)$ , 则称弧  $(i, j)$  为饱和弧, 否则就称非饱和弧。

(7) 割 (截集): 设  $N = (V, U)$  是具有单一源  $x$  和单一汇  $y$  的一个运输网络,  $N$  中的割  $K$  是形如  $(V_1, \bar{V})$  的弧的集合, 其中  $x \in V_1, y \in \bar{V}$ , 而  $V_1 \subseteq V$ 。

(8) 网络  $N$  中的路: 设  $N$  为一网络,  $N$  中相异顶点序列  $u_{i_1}, u_{i_2}, \dots, u_{i_n}$  具有下列性质: 对任意的  $r$  ( $r = 1, 2, \dots, n$ ) 或者  $(u_{i_r}, u_{i_{r+1}})$  是一条弧或  $(u_{i_{r+1}}, u_{i_r})$  是一条弧, 两者不能同时出现, 由这样一些弧组成的序列称为  $N$  中由  $u_{i_1}$  到  $u_{i_n}$  的路。

(9) 前 (后) 向弧: 设顶点序列  $v_1, \dots, v_p, v_q, \dots, v_r$  构成网路  $N = (V, U)$  的一条路, 则当  $(v_p, v_q) \in U$  时, 称  $(v_p, v_q)$  为该路上的前向弧, 当  $(v_r, v_p) \in U$  时, 称  $(v_r, v_p)$  为该路上的后向弧。

(10) 可 (不可) 增广路: 逐次增加  $f_{xy}$ , 使  $N$  的自  $x$  到  $y$  的全部路中的任何一条, 其中至少有一条前向弧被饱和, 和一条后向弧的流为零, 具有这种条件的路称为不可增广路; 否则, 称为可增广路。

(11) 环流问题: 设网络  $\mathcal{N}_r = [N, \mathcal{N}]$  上无源 (发点) 与汇 (收点), 而每一点都是中转点, 并且每条弧上的容量均给定两个非负整数  $l$  与  $c$ , 其中

$$0 \leq l \leq c$$

要求其上的流  $f$ , 满足条件:

$$f(x, N) - f(N, x) = 0, \quad x \in N,$$

$$l(x, y) \leq f(x, y) \leq c(x, y), (x, y) \in \mathcal{A},$$

则称此为环流问题。上述网络称为环流网络。

(12) 环流向量：在有向图  $G = (X, U)$  的弧组上，定义整函数  $f(x, y)$ ，使其满足条件：

$$f(X, x) - f(x, X) = 0, x \in X.$$

流  $f$  称为环流  $f$ ，在每个顶点满足平衡条件。设  $G$  共含  $m$  条弧，将每条弧编号，环流便成一个  $m$  维向量，称为环流向量，记为  $\psi = (\psi_1, \dots, \psi_m)$ 。

环流空间：所有上述的环流向量构成一个  $m$  维向量空间，称为环流空间。

(13) 势差：在弧组  $U$  上再定义整函数  $\theta$ ，每个整函数  $\theta$  同样定义一个  $m$  维向量：

$$\theta = (\theta_1, \theta_2, \dots, \theta_m),$$

若向量  $\theta$  满足条件

$$\langle \mu, \theta \rangle = \sum_{i=1}^m \mu_i \theta_i = 0$$

对一切圈  $\mu$  均成立，则  $\theta$  称为势差。其元素构成  $m$  维向量，称为势差向量。同样，所有这样的势差向量构成一个  $m$  维向量空间，称为势差空间。

## 2. 定理

(1) 设运输网络  $N$  的一个自  $x$  到  $y$  的流是  $F$ ，其值为  $f_{x,y}$ ，且令  $(V_1, \bar{V}_1)$  为分离  $x$  和  $y$  的任何一个割  $\Rightarrow$

$$f_{x,y} = f(V_1, \bar{V}_1) - f(\bar{V}_1, V_1).$$

(2) 对于运输网络  $N$  中的任意流  $F$  的值  $f_{x,y}$  和任意割  $(V_1, \bar{V}_1) \Rightarrow$

$$f_{x,y} \leq c(V_1, \bar{V}_1).$$

(3) 最大流值小于或等于最小割容量，即

$$\max[f_{x,y}] \leq \min[c(k)].$$

(4) (最大流最小割定理) 在任何运输网络中，最大流的值等于最小割的容量，即

$$\max[f_{x,y}] = \min[c(k)].$$

[注]推广：

① 多个源  $(v_{x_i})$  和汇  $(v_{y_j})$  的网络  $(i = 1, \dots, r; j = 1, \dots, s)$ ：置入二顶点  $v_x$  和  $v_y$ ， $v_x$  作为新的源， $v_y$  作为新的汇；连接新的弧  $(x, x_1), (x, x_2), \dots, (x, x_r)$  和  $(y_1, y), (y_2, y), \dots, (y_s, y)$ ；同时指定它们的容量均为  $+\infty$ 。这样就化为一个源  $x$  和一个汇  $y$  的网络。在得到最大流后，则通过  $v_{x_i}$  的物资均由  $v_{x_i}$  发送，经由  $v_{y_j}$  的物资均由  $v_{y_j}$  收留。

② 顶点具有容量的网络。将每个顶点  $v_i$  分为二顶点  $v_i'$  和  $v_i''$ ，同时在  $v_i'$  和  $v_i''$  间连一条弧  $(v_i', v_i'')$ ，并规定所有可达  $v_i$  的顶点都改为到达  $v_i'$ ，而把所有的弧  $(v_i, v_j)$  改为  $(v_i', v_j)$  并给弧  $(v_i', v_j)$  以容量  $c(v_i', v_j) = c(v_i)$ ，而将原有各弧均令其容量为  $+\infty$ 。这样即可将顶点也具有容量的网络上的最大流问题化为我们已讨论过的网络上的问题了。

(5) (M. Hall) 任给含  $n$  个元素的集  $Y = \{1, 2, \dots, n\}$  及其  $m$  个子集  $X_1, X_2, \dots, X_m$ ，这些子集有相异代表系  $\Leftrightarrow |S_k| \leq |Y_k|$  ( $k = 1, 2, \dots, m$ )，其中  $S_k$  是  $m$  个子集中任取的  $k$  个子集， $Y_k$  是这  $k$  个子集的合。符号 “ $|$ ” 表示集合所含元素的个数。

(6) 在一网络  $\mathcal{N}_T = [N, \mathcal{A}]$  中 (为解决供求问题)，

$$f(x, N) - f(N, x) \leq a(x) \quad (x \in S)$$

$$f(x, N) - f(N, x) = 0 \quad (x \in R)$$

$$f(N, x) - f(x, N) \geq b(x) \quad (x \in T)$$

$$0 \leq f(x, y) \leq c(x, y) \quad (x, y) \in \mathcal{A}$$

( $S$  示源,  $T$  示汇,  $R$  示中转点集), 以上条件是可行的  $\Leftrightarrow b(T \cap \bar{X}) - a(S \cap \bar{X}) \leq c(X, \bar{X})$ , 对每一  $X \subseteq N$  均成立.

(7) (为解决对称的供求问题) 原网络  $\mathcal{N}_T = [N, \mathcal{A}]$  有可行流  $\Leftrightarrow$  新网络  $\mathcal{N}_T^* = [N^*, \mathcal{A}^*]$  有极大流  $f^*$ , 其值为  $a(S) + b(T)$ .

[注]: 我们可对供求问题提出更高的要求, 即在供应点所能供应的数量在  $a(x)$  与  $a'(x)$  之间, 假定其中  $0 \leq a(x) \leq a'(x)$ ; 而在销售点所希望收到的数量在  $b(x)$  与  $b'(x)$  之间, 假定其中  $0 \leq a(x) \leq a'(x)$ ; 而在销售点所希望收到的数在  $b(x)$  与  $b'(x)$  之间, 其中  $0 \leq b(x) \leq b'(x)$ , 将这样运输系统化成网络  $\mathcal{N}_T = [N, \mathcal{A}]$ , 若能在此网络上给出流  $f$ , 满足一切要求, 这个流  $f$  便应满足以下条件:

$$a(x) \leq f(x, N) - f(N, x) \leq a'(x), \quad x \in S \quad (7.1)$$

$$f(x, N) - f(N, x) = 0, \quad x \in R \quad (7.2)$$

$$b(x) \leq f(N, x) - f(x, N) \leq b'(x), \quad x \in T \quad (7.3)$$

$$0 \leq f(x, y) \leq c(x, y), \quad (x, y) \in \mathcal{A} \quad (7.4)$$

其中  $0 \leq a(x) \leq a'(x)$ ,  $0 \leq b(x) \leq b'(x)$ .

为解决此问题, 先构造一个新网络  $\mathcal{N}_T^* = [N^*, \mathcal{A}^*]$ , 将原问题转化为新网络  $\mathcal{N}_T^*$  上求极大流的问题.

(8) 上述注中的条件 (7.1) - (7.4) 能满足

$$\Leftrightarrow c(X, \bar{X}) \geq b(T \cap \bar{X}) - a'(S \cap \bar{X}),$$

$$c(X, \bar{X}) \geq a(S \cap X) - b'(T \cap X),$$

对一切  $X \subseteq N$  均成立.

(9) (为解决环流问题) 环流网络  $\mathcal{N}_T = [N, \mathcal{A}]$  是可行的  $\Leftrightarrow$  新网络  $\mathcal{N}_T^* = [N^*, \mathcal{A}^*]$  有极大流  $f^*$ , 其值为  $v(f^*) = l[N, N]$ .

[注] 新网络  $\mathcal{N}_T^* = [N^*, \mathcal{A}^*]$  是向原网络加进新发点  $s$  与新收点  $t$ , 自  $s$  到  $N$  的每一点联弧  $(s, x)$ , 自  $N$  的每一点到  $t$  联弧  $(x, t)$  并在新网络的每条弧上给定容量如下,

$$c^*(x, y) = c(x, y) - l(x, y), \quad (x, y) \in \mathcal{N}_T$$

$$c^*(s, x) = l(N, x), \quad x \in N$$

$$c^*(x, t) = l(x, N), \quad x \in N.$$

(10) 环流  $\mathcal{N}_T = (N, \mathcal{A})$  是可行的 (即  $f(x, N) - f(N, x) = 0$  与  $l(x, y) \leq f(x, y) \leq c(x, y)$  同时成立)  $\Leftrightarrow c(X, \bar{X}) \geq l(\bar{X}, X)$ , 对一切  $X \subseteq N$  均成立.

(11) 网络  $\mathcal{N}_T' = [N', \mathcal{A}']$ , 在其弧上给定函数  $l$  与  $c$ ,  $0 \leq l \leq c \leq +\infty$ , 这个网络  $\mathcal{N}_T'$  有流  $f$  满足条件:

$$f(s, N) - f(N, s) = v,$$

$$f(x, N) - f(N, x) = 0, \quad x \in N - \{s, t\}$$

$$f(N, t) - f(t, N) = v,$$

$$l(x, y) \leq f(x, y) \leq c(x, y), \quad (x, y) \in \mathcal{N}_T'$$

$\Leftrightarrow c(X, \bar{X}) \geq l(\bar{X}, X)$ , 对一切  $X \subseteq N$  均成立.

(12) 向量  $\theta = (\theta_1, \theta_2, \dots, \theta_n)$  是一个势差  $\Leftrightarrow$  在顶点集  $X$ , 存在函数  $t(x)$ , 使在  
每个弧  $u_i = (a, b)$  上有  $\theta_i = t(b) - t(a)$ .

(13) 许可势差存在的必要条件是对任一圈  $\mu$  均有:

$$\sum_{i \in \mu^+} l_i - \sum_{j \in \mu^-} c_j \leq 0.$$

(14) 已给有向图  $G = (X, U)$ , 在其每一弧  $i$  上, 给定二数  $l_i$  与  $c_i$ ,

$$-\infty \leq l_i \leq c_i \leq +\infty,$$

存在许可势差  $\theta = (\theta_1, \theta_2, \dots, \theta_n) \Leftrightarrow$  对任一圈  $\mu$ , 有

$$\sum_{i \in \mu^+} c_i - \sum_{j \in \mu^-} l_j \geq 0.$$

(15) 已给有向图  $G = (X, U)$ , 在其每一弧  $i$  上给定二数  $l_i$  与  $c_i$ ,

$$-\infty < l_i \leq c_i < +\infty,$$

且许可势差是存在的  $\Rightarrow$  在某一固定弧 “1” 上, 其极大势差是

$$\max_{i \in u^+} \theta_i = \min_{\substack{\mu \\ (1 \in \mu^+)}} \left( \sum_{i \in \mu^+} c_i - \sum_{j \in \mu^-} l_j \right).$$

### 3. 方法

(1) 用标记法确定网络的最大流.

步骤:

A. 标号过程:

① 给发点以标号  $(+\bar{z}, +\infty)$ .

② 选择一个已给标号的顶点  $x$ , 对于  $x$  的所有未给标号的邻接点  $y$ , 按下列规则处理:

i) 若边  $(y, x) \in E$ ,  $y$  未给标号, 而且  $f_{yx} > 0$  时, 令  $\delta_y = \min[f_{yx}, \delta_x]$ , 则  $y$  给以标号  $(-x, \delta_y)$ .

ii) 若边  $(x, y) \in E$ ,  $y$  未给标号, 而且  $c_{xy} > f_{xy}$  时, 令  $\delta_y = \min[c_{xy} - f_{xy}, \delta_x]$ , 则  $y$  给以标号  $(+x, \delta_y)$ .

③ 重复第②步直到收点  $z$  被标记, 或不再有顶点可以给标记为止. 如若  $z$  点给了标记说明存在一条可增广道路, 故转向增广过程 B. 如若  $z$  点不能获得标志, 而且不存在其它可标记的顶点时, 算法结束, 所得的流便是最大流.

B. 增广过程:

① 令  $U = \bar{z}$ .

② 若  $u$  的标号为  $(+v, \delta)$ , 则

$$f_{uv} \leftarrow f_{uv} + \delta \bar{z}.$$

若  $u$  的标号为  $(-u, \delta)$ , 则

$$f_{vu} \leftarrow f_{vu} - \delta \bar{z}.$$

③ 若  $v = z$ , 则把全部标记去掉, 并转向标号过程 A. 如若不然, 令  $u = v$  并回到增广过程的第②步. 若从  $\bar{z}$  到  $z$  引一条虚拟的有向边  $(\bar{z}, z)$ , 并给  $z$  以标号. 若遇到标号过程第②步的状态 i) 时, 边  $(y, x)$  着以红色; 若遇到状态 ii) 时, 边  $(x, y)$  着以黑色. 其余的边属于向前的饱和边, 或流量为零的后退边时, 着以绿色. 根据 minty 三色引理可知: 或存在包含  $(\bar{z}, z)$  边, 由红、黑色边组成的回路; 或存在包含  $(\bar{z}, z)$  边, 由黑绿色边组成的割切. 前者为存在可增广道路, 后者有最大流.



(2) 实例：设有一个汽车运行线路如下（图8.1）：

在  $a$ 、 $c$ 、 $d$ 、 $e$  各点均有汽车存放。设其存放量分别为  $S_a$ 、 $S_c$ 、 $S_d$  与  $S_e$ ， $b$  点紧需用汽车，须从这些点调运。各条线路上的  $t$  值，表示汽车运行所需单位时间数，即从  $a$  到  $c$  汽车运行需一个单位时间等等。从一点顺线路在每一个单位时间内所能运到另一点的汽车辆数为  $C_{ij}$ ，在本例便是  $C_{a,c}$ 、 $C_{c,d}$ 、 $C_{d,b}$ 、 $C_{c,b}$ 、 $C_{d,e}$  与  $C_{e,b}$ 。再假定在一个单位时间内每个点可以发出的汽车辆数为  $P_i$ ，在本例分别是  $P_a$ 、 $P_c$ 、 $P_d$  与  $P_e$ 。问题是在  $T$  个单位时间后， $b$  处最多能收到多少辆汽车。

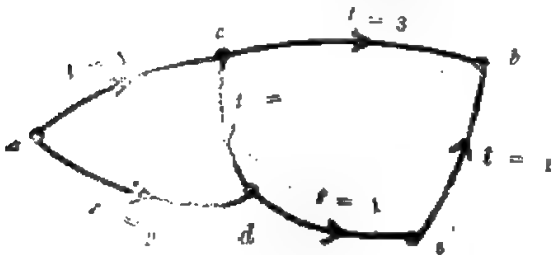


图8.1

譬如  $T = 5$ ，这个运输图，可化成网络如下（图8.2）：

取  $S$  为总发点， $t$  为总收点。在 5 个单位时间内， $t$  点上（亦即在  $b$  处）所能收集到汽车的极大辆数便是这个网络的极大流。图8.2中  $a_2$  到  $d_3$  无弧相联，表示：在两个单位时间以后， $a$  送车到  $d$ ，需两个单位时间，再从  $d$  送到  $b$ ，又需两个单位时间，共需 6 个单位时间，已在时限 5 个单位时间以外。 $a_1$  到  $c_3$  无弧相联，其意义是一样的。

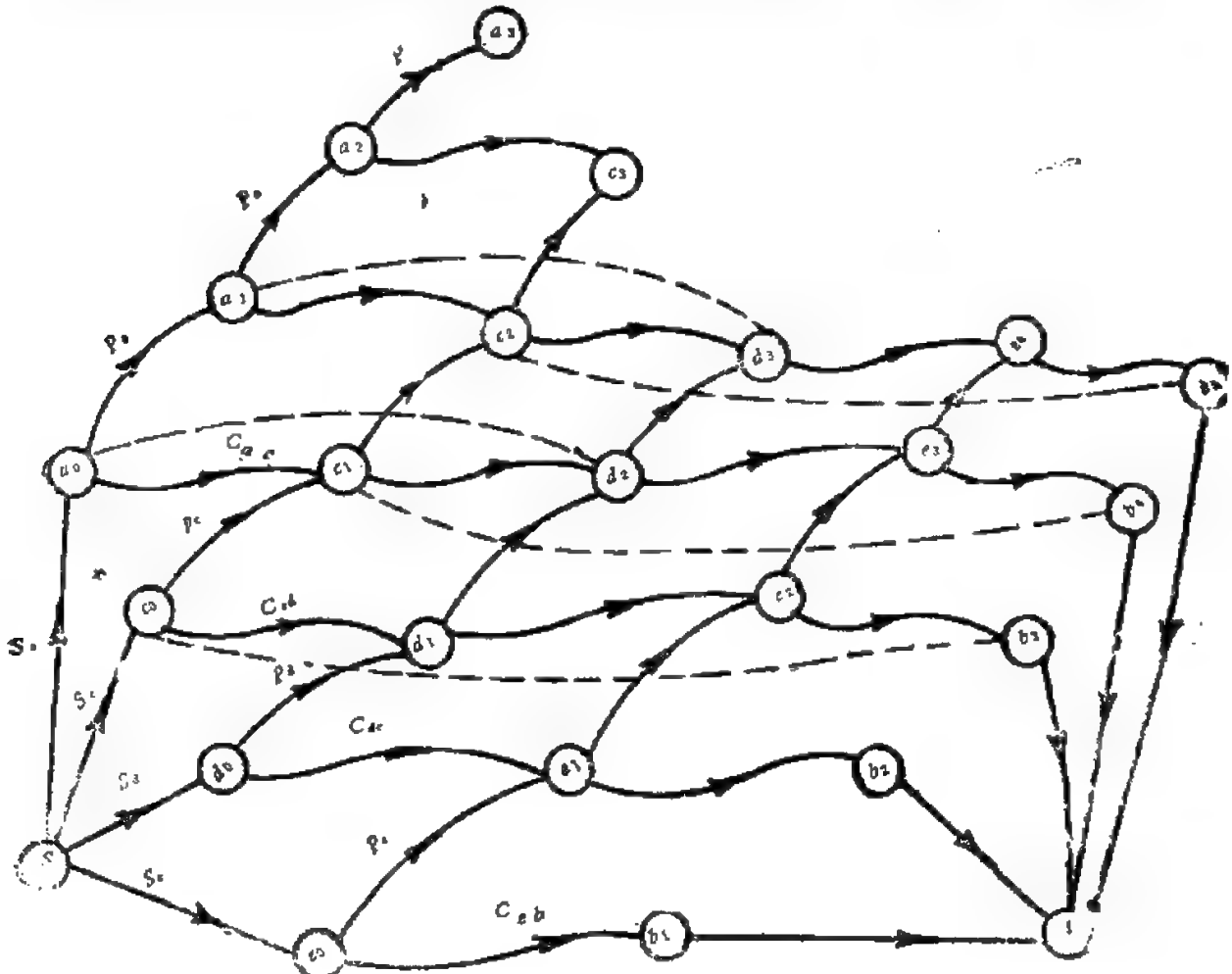


图8.2

网络中横行弧上的容量为  $P_a$ 、 $P_c$ 、 $P_d$ 、 $P_e$  等，下行的弧上的容量为  $C_{a,c}$ 、 $\dots$ ，诸  $b$  到  $t$  的

弧上的容量均取 $\infty$ 。

(3) 网络流理论在图论上应用的几个重要结论:

① 有向图下的蒙格尔定理[1927]见前二(三) - (36)。

② 无向图下的蒙格尔定理, 见前二(三) - (35)。

③ 在有向图  $G = (X, U)$  里, 任取二顶点  $s$  与  $t$ , 设  $s$  到  $t$  无弧  $(s, t)$  直接相通  $\implies s$  到  $t$  的顶点互质 (除  $s, t$  外) 的通路的最大个数等于截断所有自  $s$  到  $t$  的通路的最小顶点数。

④ 在无向图  $G = (X, E)$  里, 任取二非邻点  $s$  与  $t \implies$  自  $s$  到  $t$  的顶点互质的链的最大个数, 等于截断自  $s$  到  $t$  的所有的链的最小顶点数。

⑤ (Gale, [1953]) 在二分运输网络  $\mathcal{N}_T = [N, \mathcal{N}]$  上有许可流, 饱和所有的收入弧  $\iff$   

$$F(B) \geq d(B) \quad (B \subset Y),$$

其中  $F(B)$  是网络上可能送到  $B$  ( $B \subset Y$ ) 的极大流量,  $d(B)$  是  $B$  到收点  $t$  的总容量。

⑥ 已给  $n$  个非负整数对  $(r_1, s_1), (r_2, s_2), \dots, (r_n, s_n)$  且

$$s_1 \geq s_2 \geq \dots \geq s_n,$$

这些数对  $(r_i, s_i)$  恰是一个  $n$  阶  $p$ -图 (两顶点向在同一个方向上至多有  $p$  条弧) 的出、入半次 (即出次, 入次)  $\iff$

$$1^\circ) \sum_{i=1}^n \min\{pk, r_i\} \geq \sum_{j=1}^k s_j, \quad (k = 1, 2, \dots, n-1),$$

$$2^\circ) \sum_{i=1}^n r_i = \sum_{j=1}^n s_j.$$

⑦ 已给  $n$  个非负整数对  $(r_1, s_1), (r_2, s_2), \dots, (r_n, s_n)$ , 其中  $s_1 \geq s_2 \geq \dots$  些对恰是一个  $n$ -阶  $p$ -图的出入半次  $\iff$

$$1^\circ) \sum_{i=1}^{pk} r_i^* \geq \sum_{j=1}^k s_j, \quad (k = 1, 2, \dots, n-1),$$

$$2^\circ) \sum_{i \geq 1} r_i^* = \sum_{j=1}^n s_j.$$

⑧ 已给非负整数列  $(r_1, r_2, \dots, r_n)$ , 存在  $1$ -图, 使  $d_G^+(x_i) = r_i, d_G^-(x_i) = 1 \iff$

$$\sum_{i=1}^n r_i = n.$$

⑨ 任给对称图  $G_0 = (X, U)$ , 在其每一奇圈上总有顶点含一个或多个环, 又任给非负整数列  $r_1, r_2, \dots, r_n$ ,  $G_0$  含有部分图  $H$ , 在各顶点  $x_i$  上度  $d_H^+(x_i) = d_H^-(x_i) = r_i \implies G_0$  必也含有对称的部分图  $G$ , 在各顶点  $x_i$  上的出入次也是  $r_i$ . 即对所有的  $i$  有,

$$d_G^+(x_i) = d_G^-(x_i) = r_i.$$

⑩ 已给非负整数列

$$r_1 \geq r_2 \geq \dots \geq r_n$$

存在对称  $p$ -图  $G$ , 具有性质

$$d_G^+(x_i) = d_G^-(x_i) = r_i \quad (\text{对一切 } i \text{ 均成立})$$

$$\Leftrightarrow \sum_{i=1}^{p-1} r_i \geq \sum_{j=1}^k r_j \quad (k = 1, 2, \dots, n-1).$$

⑪ 已给  $n$  个非负整数对  $(r_1, s_1), (r_2, s_2), \dots, (r_n, s_n)$ , 存在无环  $p$ -图  $H$ , 取这些数对为其半次, 即  $H$  具有性质

$$d_H^+(x_i) = r_i, \quad d_H^-(x_i) = s_i, \quad (i = 1, 2, \dots, n)$$

$$\Leftrightarrow (1^\circ) \sum_{i=1}^n \min\{r_i, p - |A - x_i|\} \geq s(A), \quad (A \subset X),$$

$$(2^\circ) \sum_{i=1}^n r_i = \sum_{j=1}^n s_j.$$

⑫ (Fulkerson, Hoffman, McAndrew[1965]) 设  $G_0 = (X, U)$  是一个  $n$ -阶无环对称图, 其任二顶点互质奇长的初级圈, 总有弧相联. 并设  $\{r_1, r_2, \dots, r_n\}$  是一组非负整数其和为一偶数. 令  $G_0$  有部分图  $H$ , 具有性质  $d_H^+(x_i) = d_H^-(x_i) = r_i$  对一切  $i$  均成立  $\Rightarrow G_0$  必有具此性质的对称部分图  $G$ , 即  $G$  具性质

$$d_G^+(x_i) = d_G^-(x_i) = r_i \quad (i = 1, 2, \dots, n).$$

⑬ 已给  $p \geq 1, r_1 \geq r_2 \geq \dots \geq r_n \geq 1$  且  $\sum_{i=1}^n r_i$  为偶数, 存在无环对称  $p$ -图  $G$ , 使

$$d_G^+(x_i) = d_G^-(x_i) = r_i \quad (\text{对一切 } i \text{ 均成立})$$

$$\Leftrightarrow \sum_{i=1}^n \min\{r_i, p \cdot |A - \{x_i\}|\} \geq \sum_{x_i \in A} r_i \quad (A \subset X).$$

⑭ 已给  $n$  个非负整数  $a_1 \geq a_2 \geq \dots \geq a_n$ , 使  $n$  个球队在一场竞赛中, 每二队均比赛  $C$  次, 比赛结束后,  $a_1, a_2, \dots, a_n$  能成为胜利记录

$$\Leftrightarrow \sum_{i=1}^p a_i \leq C, (2n - p - 1)/2 \quad (p = 1, 2, \dots, n)$$

且上式, 当  $p = n$  时取等号.

⑮ 已给非负整数  $a_1 \geq a_2 \geq \dots \geq a_n$ , 存在竞赛图, 取  $a_1, a_2, \dots, a_n$  为各顶点的外半次

$$\Leftrightarrow \sum_{i=1}^p a_i \leq p(2n - p - 1)/2 \quad (p = 1, 2, \dots, n),$$

且上式, 当  $p = n$  时取等号.

## (二) 电路网络

(1) 克希荷夫定律——电路问题.

假设一电路网络的图有  $n$  个顶点  $m$  条边.

令关联矩阵:  $B = (b_{ij})_{n \times m}$ ,

回路矩阵:  $C = (c_{ij})_{(n-n_0) \times m}$ ,

$$\text{各边电流: } I = \begin{pmatrix} i_1 \\ i_2 \\ \vdots \\ i_m \end{pmatrix}, \quad \text{各边电压: } V = \begin{pmatrix} v_1 \\ v_2 \\ \vdots \\ v_m \end{pmatrix}.$$

①克希荷夫电流定律表述为：对于每一结点，流入该点电流的代数和为零，即

$$\sum_{k=1}^n b_{jk} i_k(t) = 0, \quad j = 1, 2, \dots, n.$$

或简记作

$$\mathbf{B}\mathbf{i} = \mathbf{0}.$$

②克希荷夫回路定律表述为：沿着任一回路  $C$ ，电压降的代数和为零，即

$$\sum_{k=1}^m C_{jk} V_k(t) = 0, \quad j = 1, 2, \dots, m - n + 1.$$

或简记作

$$\mathbf{C}\mathbf{V}_t = \mathbf{0}.$$

③广义欧姆定律：

$$\mathbf{V}_t(\mathbf{P}) = \mathbf{Z}(\mathbf{P})\mathbf{i}(\mathbf{P}) + \mathbf{E}(\mathbf{P}).$$

其中边电流  $i(t)$  的拉氏变换  $\mathbf{i}(\mathbf{P})$  为  $m$  维列向量， $\mathbf{V}_t(\mathbf{P})$  为边电压的拉氏变换，也是  $m$  维列向量。 $\mathbf{Z}(\mathbf{P}) = (Z_{ij}(\mathbf{P}))_{m \times m}$  称为阻抗矩阵。

上述  $\mathbf{B}\mathbf{i} = \mathbf{0}$  有  $n - 1$  个独立方程； $\mathbf{C}\mathbf{V}_t = \mathbf{0}$  有  $m - n + 1$  个独立方程；广义欧姆定律有  $m$  个独立方程，总计有  $2m$  个独立方程。联立解出  $\mathbf{i}(\mathbf{P})$ 、 $\mathbf{V}(\mathbf{P})$ ，作拉氏变换给出电路的解。

(2) 状态变量法（为解决当  $m$  充分大时上述的电路问题）

状态变量法的一般步骤：

先从网络图中找出一棵树，它的树枝包含了所有的电容、电压源和部分电阻，这棵树称之为正常树。它的余树的边包含了所有的电感、电流源和部分电阻。

令  $V_L$ 、 $I_L$  分别表示电感  $L$  边的电压和电流；

$V_{cs}$ 、 $I_{cs}$  分别表示有电流源的边的电压和电流；

$V_R$ 、 $I_R$  分别表示有电阻  $R$  边的电压和电流；

$V_C$ 、 $I_C$  分别表示有电容  $C$  边的电压和电流；

$V_{vs}$ 、 $I_{vs}$  分别表示有电压源边的电压和电流；

$V_G$ 、 $I_G$  分别表示有导纳  $G$  边的电压和电流。

$$\begin{bmatrix} V_L \\ V_{cs} \\ V_R \\ I_C \\ I_{vs} \\ I_G \end{bmatrix} = \begin{bmatrix} 0 & 0 & 0 & K_{11} & K_{12} & K_{13} \\ 0 & 0 & 0 & K_{21} & K_{22} & K_{23} \\ 0 & 0 & 0 & K_{31} & K_{32} & K_{33} \\ -K_{11}^T & -K_{12}^T & -K_{13}^T & 0 & 0 & 0 \\ -K_{21}^T & -K_{22}^T & -K_{23}^T & 0 & 0 & 0 \\ -K_{31}^T & -K_{32}^T & -K_{33}^T & 0 & 0 & 0 \end{bmatrix} \begin{bmatrix} I_L \\ I_{cs} \\ I_R \\ V_C \\ V_{vs} \\ V_G \end{bmatrix}$$

由上可得

$$\begin{cases} V_L = L \frac{dI_L}{dt} = K_{11}V_C + K_{12}V_{vs} + K_{13}V_G, \\ I_C = C \frac{dV_C}{dt} = -K_{11}^T I_L - K_{12}^T I_{cs} - K_{13}^T I_R. \end{cases} \quad \dots\dots (*)$$

$$\begin{cases} V_R = RI_R = K_{31}V_C + K_{32}V_{VS} + K_{33}V_{CS} & \dots\dots(*) \\ I_G = GV_C = -K_{11}^T I_L - K_{12}^T I_{CS} - K_{13}^T I_R, \\ V_{CS} = K_{21}V_L + K_{22}V_{CS} + K_{23}V_C, \\ I_{VS} = -K_{41}^T I_L - K_{42}^T I_{CS} - K_{43}^T I_R. \end{cases} \dots\dots(***)$$

由(\*)得

$$\begin{aligned} \frac{dI_L}{dt} &= L^{-1}K_{11}V_C + L^{-1}K_{12}V_{CS} + L^{-1}K_{13}V_C, \\ \frac{dV_C}{dt} &= -C^{-1}K_{11}^T I_L - C^{-1}K_{12}^T I_{CS} - C^{-1}K_{13}^T I_R \end{aligned}$$

令

$$\begin{aligned} X &= \begin{pmatrix} I_L \\ V_C \end{pmatrix}, \quad U = \begin{pmatrix} I_{CS} \\ V_{VS} \end{pmatrix}, \\ \therefore \frac{dX}{dt} &= \begin{pmatrix} 0 & L^{-1}K_{11} \\ -C^{-1}K_{11}^T & 0 \end{pmatrix} X + \begin{pmatrix} 0 & L^{-1}K_{12} \\ -C^{-1}K_{12}^T & 0 \end{pmatrix} U \\ &\quad + \begin{pmatrix} 0 & L^{-1}K_{13} \\ -C^{-1}K_{13}^T & 0 \end{pmatrix} \begin{pmatrix} I_R \\ V_C \end{pmatrix} \end{aligned}$$

由(\*\*)得

$$\begin{pmatrix} I_R \\ V_C \end{pmatrix} = DX + EU,$$

其中

$$\begin{aligned} D &= \begin{pmatrix} I_{11} & -R^{-1}K_{32} \\ G^{-1}K_{33}^T & I_{22} \end{pmatrix}^{-1} \begin{pmatrix} 0 & R^{-1}K_{31} \\ -G^{-1}K_{23}^T & 0 \end{pmatrix}, \\ E &= \begin{pmatrix} I_{11} & -R^{-1}K_{32} \\ G^{-1}K_{33}^T & I_{22} \end{pmatrix}^{-1} \begin{pmatrix} 0 & R^{-1}K_{32} \\ -G^{-1}K_{23}^T & 0 \end{pmatrix} \end{aligned}$$

$$\therefore \frac{dX}{dt} = MX + NU,$$

其中

$$\begin{aligned} M &= \begin{pmatrix} 0 & L^{-1}K_{11} \\ -C^{-1}K_{11}^T & 0 \end{pmatrix} + \begin{pmatrix} 0 & L^{-1}K_{12} \\ -C^{-1}K_{12}^T & 0 \end{pmatrix} D, \\ N &= \begin{pmatrix} 0 & L^{-1}K_{12} \\ -C^{-1}K_{12}^T & 0 \end{pmatrix} + \begin{pmatrix} 0 & L^{-1}K_{13} \\ -C^{-1}K_{13}^T & 0 \end{pmatrix} E, \end{aligned}$$

另外,

$$\begin{pmatrix} V_{CS} \\ I_{VS} \end{pmatrix} = FX + GU,$$

其中

$$F = \begin{pmatrix} 0 & K_{11} \\ -K_{11}^T & 0 \end{pmatrix} + \begin{pmatrix} 0 & K_{12} \\ -K_{12}^T & 0 \end{pmatrix} D,$$

$$G = \begin{pmatrix} 0 & K_{22} \\ -K_{22}^T & 0 \end{pmatrix} + \begin{pmatrix} 0 & K_{21} \\ -K_{21}^T & 0 \end{pmatrix} E.$$

综上,只要解出 $X$ ,即可通过它而获得电路网络中的其余变量;我们称 $X$ 为状态变量,它可通过解一线性微分方程组而求得。此外,网络系统的稳定性也易由之解决。状态变量法对于利用电子计算机来设计电路起重大的作用。

### (3) 状态方程的编写步骤

①根据给定网络 $N$ 作出线形图 $G$ 。

②从图 $G$ 中选出正规树 $T$ ,以树支电容上电压及连支电感中电流(或电荷与磁链)为状态变量。

③写出支路方程 $VCR$ (支路的电压、电流关系方程),按以下次序排列:

i) 树支电容与连支电感的 $VCR$ 方程;

ii) 其它支路的 $VCR$ 方程。

④按选定正规树 $T$ ,写出基本回路方程与基本割集方程,即 $KVL$ 与 $KCL$ ,并按③次序排列。

⑤从 $VCR$ 方程中消去非状态变量项。

⑥将方程式整理化简,使之呈状态方程的正规形式:

$$\dot{X} = BX + BU.$$

(4) 无源网络的拓扑分析,有源网络的拓扑分析。(从略)。

## (三) 开关网络

### 1. 概念

(1) 开关:开关是一个两端元件,它具有两个状态:短路状态与开路状态。在短路状态,开关两端之间有条通路,使电流能够双向流过;在开路状态,开关两端之间不存在通路(用“1”示短路状态,用“0”示开路状态。)

(2) 开关网络:开关网络是由开关组成的无向网络。

(3) 路径集合:路径集合是一些变量的集合,这些变量属于一个开关网络两端之间的一条路径的各边。

路径乘积:一个路径乘积是属于一个路径集合的变量的乘积。

(4) 开关函数与固有形式:一个开关函数 $F_{ij}$ 是一个开关网络的两个端点 $v_i$ 与 $v_j$ 之间的所有路径乘积的和。凡是表示为变量乘积之和的函数都被称为固有形式的函数。

(5) 冗余项:若 $A$ 和 $AB$ 是一个开关函数的两项,则 $AB$ 称为 $A$ 的冗余项。这里 $A$ 和 $B$ 可以是单个变量,也可以是变量乘积。

(6) 最小化:若以最小数目的开关实现了一个给定的开关函数,则此开关网络是最小化的。

(7) 不可分二端图:当一条边 $x_i$ 被联接到一个二端图的两端,所形成的图是不可分图时,这个二端图被定义为不可分二端图。

(8) 连接矩阵:一个具有 $v$ 个节点的开关网络的连接矩阵是一个 $v \times v$ 阶的矩阵

$$C = [C_{ij}]$$

其中,  $c_{ij} = 1$ , 对所有  $i$ ,

$c_{ij} = 0$ , 若在节点  $i$  与  $j$  之间没有直接连接着一条边,

$c_{ij}$  = 所有直接连接在节点  $i$  与  $j$  之间的边的变量之和。

无向图的连接矩阵是一个对称矩阵。

(9) 连接矩阵  $C$  的  $c_{ij}$  及  $\text{per } C_{ij}$ :  $C_{ij}$  为划去连接矩阵  $C$  中第  $i$  行和第  $j$  行的子矩阵的行列式。展开  $c_{ij}$ , 各项均取正值, 所得之和称为  $\text{per } c_{ij}$ 。

(10)  $G_v$ : 在图  $G$  上把一条有向边连接到节点  $v_i$  与  $v_j$  之间, 假定方向是由  $v_i$  指向  $v_j$ , 这条有向边记作为  $x_i(v_i, v_j)$ , 所得到的图称为  $G_v$ 。  $G_v$  的连接矩阵记作  $C_v$ 。

(11) SC 网络: 在一个开关网络里, 若任何一个开关的状态均与其它开关的状态无关 (互补状态为有关), 则此开关网络称为 SC 网络。

SC 函数: SC 网络的开关函数称为 SC 函数。

(12) 路径矩阵: 一个网络的路径矩阵  $P$  是一个  $m \times e$  阶的矩阵, 这里  $m$  是在端点  $v_i$  与  $v_j$  之间所有路径的个数,  $e$  是网络的边数。路径矩阵为

$$P = [P_{ij}]$$

其中,

$P_{ij} = 1$ , 当第  $j$  条边位于第  $i$  个路径上,

$P_{ij} = 0$ , 当第  $j$  条边不在第  $i$  个路径上。

(13) 基本路径矩阵: 一个基本路径矩阵  $P_b$  是一个  $e - v + 2$  行的矩阵, 它对应于开关网络两端之间的  $e - v + 2$  条独立路径的集合。 ( $P_j$  是  $P$  的一个子阵, 其秩亦为  $e - v + 2$ )。

(14) 奇环和: 设  $S = \{s_1, s_2, \dots, s_n\}$ , 其中  $s_1, s_2, \dots, s_n$  是元素的集合。在  $S$  中的奇数个集合的环和称为奇环和。

偶环和: 在  $S$  中偶数个集合的环和称为偶环和。

(15) 边开路变换: 令  $F$  中所有  $x_i = 0$ , 所得到的函数  $F(x_i = 0)$  定义为  $F$  对于  $x_i$  的边开路变换。

(16) 边短路变换: 令  $F$  中所有  $x_i = 1$ , 然后删去冗余项, 所得到的函数  $F(x_i = 1)$  定义为  $F$  对于  $x_i$  的边短路变换。

(17) 端点变换: 已知一个有  $e$  个变量的 SC 函数  $F$ 。它是一个 SC 网络 (具有  $e$  个边和  $v$  个节点) 的以  $v_i$  与  $v_j$  为端点的开关函数。对  $F$  作下列运算, 得到新函数  $F_0(w_i)$ , 定义为  $F$  对  $x_i$  的两个新端点  $v_i'$  与  $v_j'$  的端点变换,

a) 若在  $v_i'$  与  $v_j'$  两个端点之间没有直接跨接一条边  $x_i$ , 就在这两端点之间连接一条边  $x_i$ , 再找出端点  $v_i'$  与  $v_j'$  之间经过  $x_i$  的一条路径。

b) 在  $F$  中取  $R (= e - v + 2)$  个独立项, 其中包含  $x_i$  的记作  $f_{1i}$  ( $i = 1, 2, \dots$ )。不包含  $x_i$  的记作  $f_{2j}$  ( $j = 1, 2, \dots$ )。若在第 1 步中添加了边  $x_i$ , 则把那个包含  $x_i$  的路径乘积记作  $f_{1i}$ , 而在  $F$  中取  $R$  个独立项作为  $f_{2j}$ 。

c) 作  $f_{1i} = f_{1i} \oplus x_i$  ( $i = 1, 2, \dots$ ), 然后作  $f_{1i} \oplus f_{2j}$  ( $j = 1, 2, \dots$ ) 以及  $f_{2i} \oplus f_{1j}$  ( $i \neq j$ ), 这些环和记作  $f_l$  ( $l = 1, 2, \dots$ )。

d) 在  $f_l$  中作所有可能的奇环和, 与  $f_l$  在合一起, 然后删去去冗余项、余下各项之和加

上 $x_i$  (若是 $\bar{x}_i$ , 则不需要加) 就形成了 $F_i(x_i)$ 。若添加了 $x_i$ , 则记为 $f_i(x_i)$ 。

(18) 奇环和条件: 设一个 $n$ 行的矩阵 $M$ 的秩为 $R$ 。若 $M$ 的任意 $R$ 个独立行的非冗余奇环和连同这 $R$ 行一起构成 $M$ 的 $n$ 个行, 则 $M$ 满足奇环和条件。

(19) SP网络与SP函数: 在一个开关网络中, 若对任一变量 $x$ , 最多有两个边与之对应, 其中一个对应于 $x$ , 另一个对应于 $\bar{x}$ , 则此开关网络称之为SP网络。SP网络的开关函数称之为SP函数。

(20) 0-路径: 一个同时含有某个变量和它的补的路径称为0-路径。

## 2. 定理

(1) 开关网络的连接矩阵的任意一个 $\text{perc}_{ij}$  ( $i \neq j$ ) 是以节点 $v_i$ 和 $v_j$ 为两端的二端开关网络的开关函数。即

$$F_{ij} = \text{perc}_{ij}.$$

(2) 一个具有 $e$ 条边和 $v$ 个节点的不可分二端图 $G$ 的路径矩阵 $P$ 的秩是

$$R = e - v + 2.$$

(3) 任何SC函数 $q$ 边开路变换仍是SC函数。

(4) 任何SC函数的边短路变换仍是SC函数。

(5) 任何SC函数的端点变换仍是SC函数。

(6) 设具有 $e$ 个变量(网络 $N$ 的全部变量)的函数 $F$ 是一个已知SC网络 $N$ 的某两个给定端点的SC函数, 而具有 $e'$ 个变量的 $F_i(x_i)$ 是 $F$ 对 $x_i$ 的端点变换。当且仅当 $e' = e$ 时,  $N$ 是不可分的。

(7) 一个矩阵 $M$ 若是路径矩阵, 它一定满足奇环和条件。

(8) 一个 $(0, 1)$ 矩阵是割集回路矩阵 $\iff$ 该矩阵不包含

$$L = \begin{bmatrix} 1 & 0 & 1 & 1 & 1 & 0 & 0 \\ 1 & 1 & 0 & 1 & 0 & 1 & 0 \\ 1 & 1 & 1 & 0 & 0 & 0 & 1 \end{bmatrix}$$

的矩阵 $L$ 或 $L^T$ 作为子阵, 也不包含Kuratowski图的割集(回路)矩阵作为子阵。

(9) 一个SP函数的非冗余奇环和或是这个SP函数的一项, 或是0-路径。

(10) 一个SP网络的SP函数的变量数等于网络的边数 $\iff$ 该SP网络是最小化的。这里把变量的补看作单独的变量。

## 3. 方法

(1) 边开路变换子程序:

C EDGE OPENING TRANSFORMATION

SUBROUTINE EO (NI, NJ, IA, NC)

DIMENSION IA (NI, NJ)

DO10J = 1, NJ

DO20I = 1, NI

IF (IA(I, J).EQ. NC) GO TO 30

20 CONTINUE

GO TO 10

30 DO 40 I = 1, NI



```

40  IA (1, J) = 0
10  CONTINUE
    RETURN
    END

```

(2) 边短路变换子程序:

```

C  EDGE SHORTING TRANSFORMATION
SUBROUTINE ES (NI, NJ, NK, IA, JR, MA, LA, NC)
DIMENSION IA (NI, NJ), JR(NI, NK), MA(NI), LA(NI)
DO 10 J = 1, NJ
DO 20 I = 1, NI
IF(IA(I, J).NE. NC) GO TO 20
MM = NI - 1
DO 30 K = 1, MM
30  IA (K, J) = IA(K + 1, J)
    IA(NI, J) = 0
20  CONTINUE
10  CONTINUE
    CALL RE (NI, NJ, NK, IA, JR, MA, LA,
    RETURN
    END.

```

(3) 端点变换程序框图: (见P198)

(4) SC网络综合步骤:

- ①作出与 $F$ 相应的 $P$ 矩阵。它的列对应于 $F$ 的变量,行对应 $F$ 的各项。
- ②添加一列1到 $P$ 矩阵上,形成回路矩阵 $B_r$ 。这一列对应的变量为 $x_{n+1}$ 。
- ③用初等变换化回路矩阵 $B_r$ 为基本回路矩阵 $B_f$ ,把它写成标准形式。
- ④形成基本割集矩阵 $Q_f$ 。

$$Q_f = [B_f^T : U]$$

- ⑤形成关联矩阵 $A$ 。

$$A = D \cdot Q_f.$$

这里 $D$ 是非奇异的, $Q_f$ 右乘 $D$ 相当于对 $Q_f$ 作一系列的初等变换以获得一个各列不多于两个1的矩阵 $A$ 。

- ⑥添加最后一行以获得各列恰好只有两个1的矩阵 $A_n$ 。
- ⑦作出 $A_n$ 相应的网络。去掉边 $x_{n+1}$ , $x_n$ 的两端便是这个SC网络的端点。

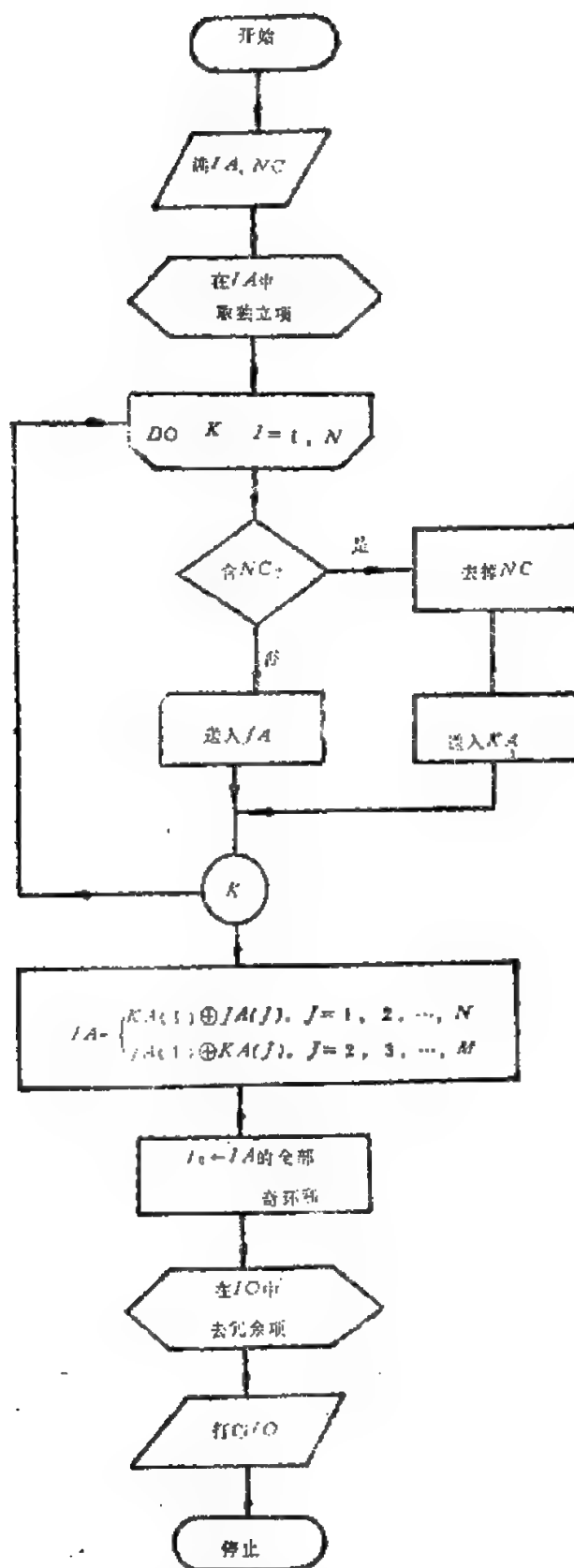
(注意:若没有说明给定的函数是SC函数,则在执行上述综合步骤前,必须验证函数是否符合奇环和条件。)

(5) 最小化的SP网络解例:

例 已知开关函数

$$F_{11} = x_1 x_2 x_3' + x_1 x_2 x_4 x_5 + x_1 x_3 x_5 + x_1' x_4 + x_1' x_5' x_6$$

解: ①先验证奇反和条件。选四个独立项作奇环和,



(端点变换程序框图)

$$f_1 = x_1 x_2 x_3$$

$$f_2 = x_1 x_2 x_4 x_5$$

$$f_3 = x_1 x_3 x_5$$

$$f_4 = x_1' x_2' x_3 x_4$$

作下列运算

$$f_1 \oplus f_2 \oplus f_3 = x_1 x_2 x_3' x_4$$

$$f_1 \oplus f_2 \oplus f_4 = x_1' x_3$$

$$f_1 \oplus f_3 \oplus f_4 = x_1' x_2 x_3 x_4 x_5$$

$$f_2 \oplus f_3 \oplus f_4 = x_1' x_2 x_3 x_5$$

其中  $x_1' x_3$  是  $F_{11}$  中的一项；  $x_1' x_2 x_3 x_4 x_5$  是  $x_1' x_3$  的冗余项；  $x_1 x_2 x_3' x_4$  和  $x_1' x_2 x_3 x_5$  是 0- 路径。于是符合 SP 函数的奇环和条件。

② 使用四个独立项，仿照 SC 网络的综合方法得到

$$B_0 = \begin{matrix} & x_1 & x_1' & x_2 & x_3 & x_3' & x_4 & x_5 & x_5' \\ \begin{bmatrix} 1 & 0 & 1 & 0 & 1 & 0 & 0 & 1 \\ 1 & 0 & 1 & 0 & 0 & 1 & 1 & 1 \\ 1 & 0 & 0 & 1 & 0 & 0 & 1 & 1 \\ 0 & 1 & 0 & 0 & 1 & 1 & 0 & 1 \end{bmatrix} \end{matrix}$$

作初等变换得

$$B_1 = \begin{matrix} x_1 & x_1' & x_2 & x_3 & x_3' & x_4 & x_5 & x_5' \\ \begin{bmatrix} 1 & 0 & 0 & 0 & 1 & 1 & 0 & 1 \\ 0 & 1 & 0 & 0 & 0 & 0 & 1 & 1 \\ 0 & 0 & 1 & 0 & 1 & 0 & 1 & 0 \\ 0 & 0 & 0 & 1 & 1 & 1 & 1 & 0 \end{bmatrix} \end{matrix}$$

而

$$Q_1 = \begin{matrix} x_1 & x_1' & x_2 & x_3 & x_3' & x_4 & x_5 & x_5' \\ \begin{bmatrix} 1 & 0 & 1 & 1 & 1 & 0 & 0 & 0 \\ 1 & 0 & 0 & 1 & 0 & 1 & 0 & 0 \\ 0 & 1 & 1 & 1 & 0 & 0 & 1 & 0 \\ 1 & 1 & 0 & 0 & 0 & 0 & 0 & 1 \end{bmatrix} \end{matrix}$$

将第二行加到第一行上得

$$A = \begin{matrix} x_1 & x_1' & x_2 & x_3 & x_3' & x_4 & x_5 & x_5' \\ \begin{bmatrix} 0 & 0 & 1 & 0 & 1 & 1 & 0 & 0 \\ 1 & 0 & 0 & 1 & 0 & 1 & 0 & 0 \\ 0 & 1 & 1 & 1 & 0 & 0 & 1 & 0 \\ 1 & 1 & 0 & 0 & 0 & 0 & 1 & 0 \end{bmatrix} \end{matrix}$$

A 所对应的图如下 (图 8.3)。

将上图去掉  $x_5$  可得下图 (图 8.4)。

该图即为原式所对应的 SP 网络。

若已知给定的函数是 SP 函数，可省略验证奇环和条件的步骤。显然，如上所得之 SP 网络的边数等于它的 SP 函数的变量数，故它是最小化的。

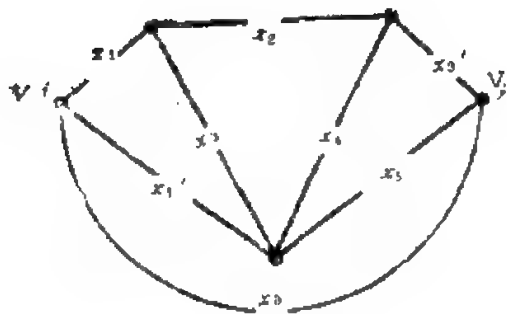


图8.3

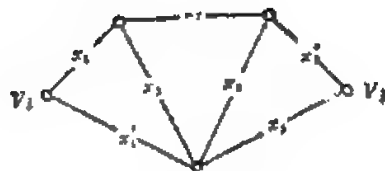


图8.4

#### (四) 运输网络

图可作为管道网络、货物运输等运输网络的数学模型。运输网络的基本理论已在前面(一)中做了讨论,下面仅给出最小费用流的一个解例。

图8.5(a)中给出了一个加权有向图,每个边给出了两个权值,第一个是 $c_{ij}$ ,括号中是 $d_{ij}$ 。试求出该网络的最小费用流。

解:①网络中由源点 $V_1$ 至汇点 $V_4$ 的最小费用路径为 $(V_1, V_2, V_3, V_4)$ ,单位流量费用和为 $d_{12} + d_{23} + d_{34} = 4$ ,取该路径中货物最大可能流通量11,边 $(V_1, V_2)$ 则饱和。

②从上述最小费用路径的每一边的 $c_{ij}$ 中减去11,并令 $d_{11} = \infty$ ,如图8.5(b)所示。

③此时的网络中,最小费用路径为 $(V_1, V_3, V_4)$ ,单位流量费用和为 $d_{13} + d_{34} = 5$ 。取最大可能流量3,则边 $(V_3, V_4)$ 饱和。

④从路径 $V_1, V_3, V_4$ 中各边的 $c_{ij}$ 中减去3并令 $d_{14} = \infty$ ,如图8.5(c)所示。

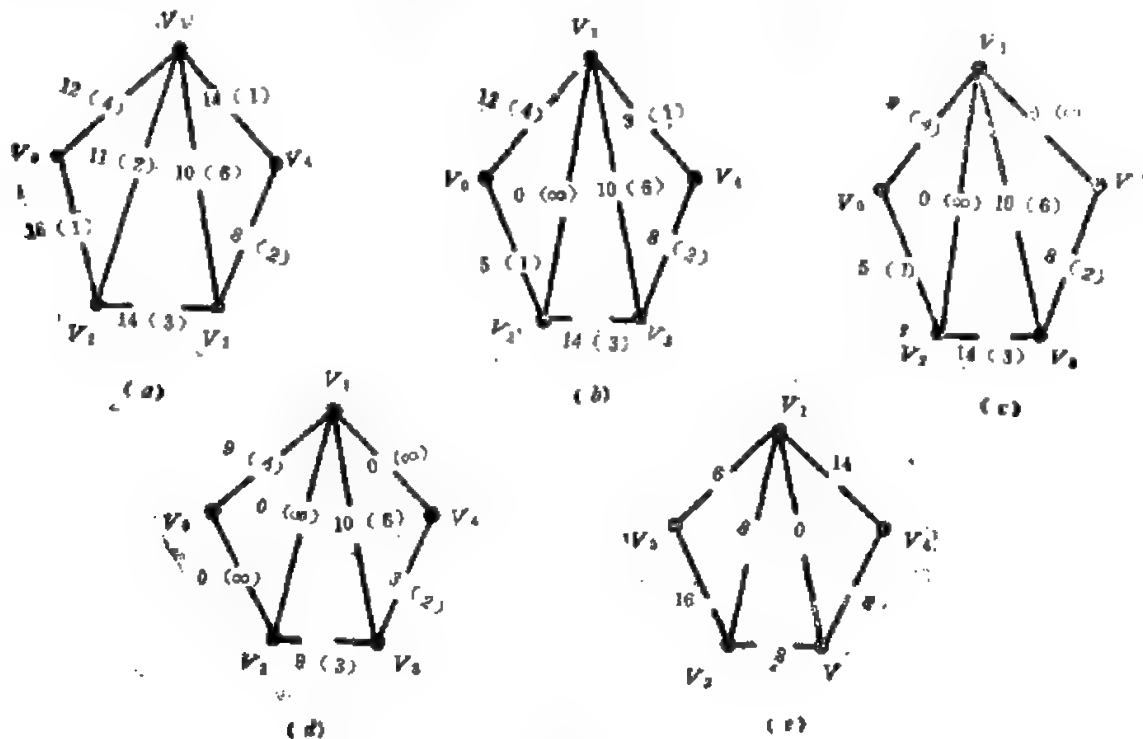


图8.5

⑤这时的最小费用路径为  $V_1, V_2, V_3, V_4$ , 单位流量费用和为  $d_{21} + d_{23} + d_{34} = 6$ . 取最大可能流量 5, 支路  $V_1, V_2$  饱和.

⑥从  $V_1, V_2, V_3, V_4$  各支路的  $c_{ij}$  中减去 5, 并令  $d_{32} = \infty$ , 得到图 8.5(d) 的网络.

⑦这时的最小费用路径为  $V_1, V_4, V_2, V_3, V_4$ , 注意到路径方向与边  $(v_2, v_1)$  相反, 尽管此时  $d_{21} = \infty$ , 我们仍取原来值  $d_{21} = 2$  的负值 (因流向相反). 此时单位流量费用和为  $d_{31} - d_{21} + d_{23} + d_{34} = 7$ . 取最大可能流量 3, 边  $(V_3, V_4)$  饱和, 并且得到了一个饱和割集. 上述过程至此结束.

⑧此时可得到最小费用流为  $11 + 3 + 5 + 3 = 22$ , 即每一条最小费用路径的最大可能流量之和. 相应的最小费用为  $4 \times 11 + 5 \times 3 + 6 \times 5 + 7 \times 3 = 110$ . 其中  $(4, 5, 6, 7)$

为各最小费用路径的单位流量费用和. 即  $\sum_{j=1}^n f_{ij} = 22$ ,  $\min Z = \sum_{i,j} d_{ij} f_{ij} = 110$ . 流的分配情况如图 8.5(e) 所示, 即为网络的最小费用流.

[附注: 图论还可应用于通讯网络. 通过图可以研究通讯网络的结构性质、布线设计、控制方法以及阻塞的可能性等问题. 应特别指出: 连通度是图论用于通讯网络时的一个重要概念, 另外可靠性理论与连通网络的阻塞理论是密切相关的. 有关通讯网络的全部讨论, 在此从略.]

## (五) 信号流图

信号流图求解线性系统问题提供了一个有效工具. 由于方程组的代数变换与图的变换存在着对应关系, 故系统中各变量的因果关系, 通过流图直接显示出来; 同时, 由图的结构又可以直接对系统进行求解.

流图法有时提供了通过观察而获得物理系统解的规则, 而不需要建立更为抽象的数学模型. 而且, 对于系数是用符号 (字母) 表示的物理参数, 也能作出简便的处理. 流图法也存在着一些缺点, 比如对于稀疏方程的求解就不十分有效.

### 1. 概念

(1) 信号流图 (Mason图)  $G_m$ : 线性方程组的信号流图  $G_m$ , 是一个有结合点 (称为节点) 的网络. 节点由直线段 (称为支路) 连接起来. 信号仅沿着图中支路上箭头标定的方向流动. 信号  $x_k$  ( $k$  点的变量) 沿着  $k$  点和  $j$  点 (对应变量为  $x_j$ ) 之间的支路前进, 并被乘上支路增益  $g_{kj}$ ; 因此, 在  $x_j$  端便得到信号  $g_{kj}x_k$ , 则流图如下图 8.6 所示



图 8.6

(可见, 每一条支路, 都有一个支路增益, 它对应着线性方程组中两个变量之间的关系. 图 8.6 正好描述了某一放大电路的输入、放大倍数和输出的工作情况. 可见若设  $x_k$  是输入信号, 是  $x_j$  输出信号, 则增益  $g_{kj}$  就是该放大器的放大倍数了.)

(2) 输入节点 (源节点): 是仅有出支路的节点;

输出节点 (汇节点): 是仅有入支路的节点.

路径: 是连续的单向的支路组合.



(12) 图  $G_{LK}$ :  $G_{LK}$  是  $G_L$  的一个子图, 其中所有从参考节点  $x_1$  流出的支路均除去, 源节点 1 对  $x_1$  点短路。

(13) 2-回路集  $L_2$  及其乘积  $P_2$ : 2-回路集  $L_2$  是  $G_{LK}$  的一个子图, 包含了  $G_{LK}$  所有节点, 每一个节点有一条入支路和一条出支路。  $L_2$  中所有支路的增益乘积, 称为 2-回路集乘积。

(14) chan-Mai 图  $G_S$ : 设有一线性代数方程组:

$$\sum_{j=1}^n a_{ij} x_j = b_i \quad (i = 1, 2, \dots, n)$$

$G_S$  表示此方程组的一个有向图。每一个常数  $b_i$  由常数节点  $b_i$  表示。每一个变量  $x_j$  由变量节点  $x_j$  表示。若  $a_{ij} \neq 0$ , 则必有一具有增益  $a_{ij}$  的有向线段从节点  $x_j$  到节点  $b_i$ 。  $G_S$  中的节点以下列方法排列: 将所有常数节点  $b_1, b_2, \dots, b_n$  排在上行, 所有的变量节点排在下行。因此, 具有相同下标的节点由垂直支路连接。

(15) 图  $G_{S_j}$ : 图  $G_{S_j}$  是从图  $G_S$  获得的, 移去节点  $x_j$  的所有出支路, 然后加进一条入支路, 此支路具有增益  $b_i$  (若  $b_i \neq 0$ ), 方向从节点  $x_j$  到节点  $b_i$ 。 ( $i = 1, 2, \dots, n$ )

(16) 分离  $S$ : 一个给定的图 ( $G_S$  或  $G_{S_j}$ ) 的分离  $S$  是一个子图, 满足下面三个要求:

- a) 包含图 ( $G_S$  或  $G_{S_j}$ ) 的所有节点;
- b) 每个变量节点  $x_j$ , 正好有一条流出的支路;
- c) 每个常数节点  $b_i$  恰好有一个流入的支路分离中的垂直支路和非垂直支路。如图 8.7 所示。

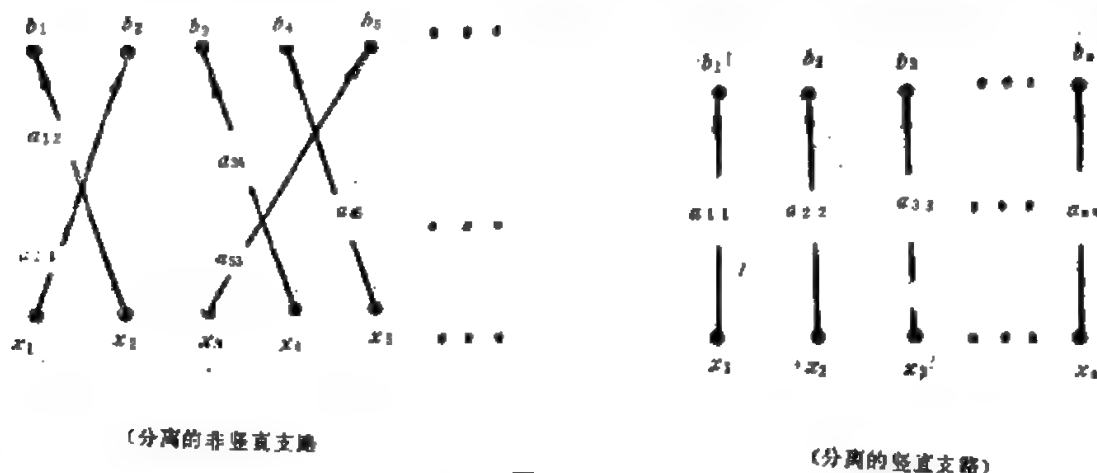


图 8.7

(17) 分离积  $S_p$ : 分离积  $S_p$  是分离  $S$  中所有支路的乘积,  $G_S$  的分离积由  $S_p(G_S)$  表示之。  $G_{S_j}$  的分离积, 则由  $S_p(G_{S_j})$  表示。

(18) 对称对: 对称对是分离  $S$  中的一对支路, 一条是从节点  $x_i$  到节点  $b_j$ , 另一条是从节点  $x_j$  到节点  $b_i$  ( $i \neq j$ )。

(19) 非对称支路: 它是分离  $S$  中非垂直的支路, 不属于  $S$  中的任何对称对。

(20)  $k$  阶回路集合: 一个第  $k$  阶回路集合是  $k$  个不相接触回路的集合。集合内的各个回路是  $k$  阶回路。

(21) Mason 图  $G_m$  的回路矩阵  $L_1$ : Mason 流图  $G_m$  的回路矩阵  $L_1$ , 具有  $e$  列 (每一列对应  $G_m$  的一个边), 它的行将对应于  $G_m$  的各个回路。若第  $j$  条边在第  $i$  个回路内, 则  $L_1$  中的

$(i, j)$  元素是 1, 反之为 0.

(22)  $k$  阶回路矩阵的  $L_k$ :  $k$  阶回路矩阵  $L_k$ , 具有  $c$  列 (每一列对应于  $G_n$  中的一个边), 它的行对应于  $G_n$  的  $k$  阶回路集. 若第  $j$  条边在第  $i$  个回路集内, 则  $L_k$  中的  $(i, j)$  元素是 1, 反之为 0.

(23)  $k$  个回路邻接矩阵:  $k$  个回路邻接矩阵  $\mathcal{L}_k$ , 各个行对应于  $G_n$  的  $k$  阶回路集, 各个列对应于  $G_n$  的一阶回路. 当第  $j$  个一阶回路和第  $i$  个  $k$  阶回路集相接触, 则  $(i, j)$  元素为 1, 反之为 0.

## 2. 定理

(1) 设  $T_k$  是从源节点到汇节点的第  $k$  条正向路径的增益  $\Rightarrow$  流图的增益  $T$

$$T = \frac{1}{\Delta'} \sum_k T_k \Delta_k$$

式中

$$\Delta' = 1 - \sum_m P_{m1} + \sum_m P_{m2} - \sum_m P_{m3} + \cdots + (-1)^j \sum_m P_{mj}$$

$P_{m1}$  为第  $m$  个回路增益 (沿回路各支路增益乘积, 或叫做一阶回路增益);

$P_{m2}$  为第  $m$  组两个不相接触回路 (叫做二阶回路) 增益乘积;

$P_{mj}$  为第  $m$  组  $j$  个不相接触回路 (叫做  $j$  阶回路) 增益乘积.

$\Delta_k$  为除去第  $k$  条路径及与它 (第  $k$  条路径) 相接触的所有回路后所得子图的  $\Delta$  值

$T_k$  为第  $k$  条正向路径的支路增益的乘积.

(2) 方程组

$$x_j = \frac{\sum_{k=1}^n \Delta_{kj} b_k}{\Delta}$$

中行列式  $\Delta$ , 可以根据其流图  $G_c$  的子图  $G_{c0}$  公式求得, 即

$$\Delta = (-1)^n \sum_p (-1)^{L_p} C(G_{c0})_p$$

式中  $L_p$  是第  $p$  组连接的有向回路数;  $C(G_{c0})_p$  是  $G_{c0}$  的第  $p$  组连接的连接增益;  $\sum_p$  是对  $G_{c0}$  中所有的连接求和.

(3) 方程组

$$x = \frac{\sum_{k=1}^n \Delta_{kj} b_k}{\Delta}$$

中的  $\sum_{k=1}^n \Delta_{kj} b_k$  是从方程组

$$\underbrace{\begin{pmatrix} a_{11} & a_{12} & \cdots & a_{1n} \\ a_{21} & a_{22} & \cdots & a_{2n} \\ \cdots & \cdots & \cdots & \cdots \\ a_{n1} & a_{n2} & \cdots & a_{nn} \end{pmatrix}}_A \underbrace{\begin{pmatrix} x_1 \\ x_2 \\ \vdots \\ x_n \end{pmatrix}}_X = \underbrace{\begin{pmatrix} b_1 \\ b_2 \\ \vdots \\ b_n \end{pmatrix}}_B$$

的流图  $G_c$  由下列公式计算:



$$\sum_{k=1}^n \Delta_{kj} b_k = (-1)^n \sum_{\tau} (-1)^{L_{\tau}} C(G_c, 1 \rightarrow x_j) \tau,$$

式中  $C(G_c, 1 \rightarrow x_j)$  是  $G_c$  中从节点 1 到节点  $x_j$  的第  $\tau$  个单连接的单连接增益,  $L_{\tau}$  是第  $\tau$  个单连接中的有向回路数, 对  $\tau$  的求和是对  $G_c$  中所有的单连接进行的。

(4) 具有  $n$  个未知数的线性方程组

$$\sum_{j=1}^n a_{ij} x_j = b_i \quad (i = 1, 2, \dots, n)$$

中,

$$x_j = \frac{\sum_{\tau} (-1)^{L_{\tau}} C(G_c, 1 \rightarrow x_j) \tau}{\sum_p (-1)^{L_p} C(G_c)_p}.$$

式中

$C(G_c, 1 \rightarrow x_j) \tau$  是  $G_c$  的从 1 到  $x_j$  的第  $\tau$  个单连接的增益;

$L_{\tau}$  是第  $\tau$  个单连接中的有向回路数;

$C(G_c)_p$  是第  $p$  个连接的连接增益;

$L_p$  是第  $p$  个连接的有向回路数。

上式是对  $G_c$  (在  $\tau$  上) 的所有单连接和  $G_c$  (在  $p$  上) 的所有连接求和。

(5) 在具有  $n$  个未知数的  $n$  个线性方程组中

$$\sum_{j=1}^n a_{ij} x_j = b_i \quad (i = 1, 2, \dots, n)$$

变量  $x_j$  可由下式给出:

$$x_j = \frac{\sum_{\text{全部 } P_2} (-1)^{N_{L_1} P_2}}{\sum_{\text{全部 } P} (-1)^{N_L P}}$$

式中,

$N_{L_1}$  是 2-回路集  $L_1$  中的回路数;

$N_L$  是回路集中的回路数;

(6) 图  $G_L$  的回路集数等于  $\Delta_1$ , 这里

$$\Delta_1 = \sum_{i=1}^n a_{1j_1} a_{2j_2} a_{nj_n}$$

$\Delta_1$  是这样得来的, 用 1 代换  $\Delta$  中每一个非零元素, 且代换后的行列式的展开中, 每一项的符号均定为 +1。

(7) 在具有  $n$  个未知数的  $n$  个联立的独立代数方程组中,

$$\sum_{k=1}^n a_{kj} x_j = b_i \quad (i = 1, 2, \dots, n)$$

变量  $x_j$  的值可由下式给定:

$$x_j = \frac{\sum_{\tau} (\text{sign } S_{\tau\tau}) S_{\tau\tau}(G_{S_j})}{\sum_p (\text{sign } S_{pp}) S_{pp}(G_S)}$$

式中,

$$\text{sign } S_{\tau\tau} = \begin{cases} (-1)^{n_{\tau\tau} - n_{\tau\tau} + 1} & n_{\tau\tau} \neq 0, \quad k = \tau \text{ 或 } \rho \\ (-1)^{n_{\tau\tau}} & (n_{\tau\tau} = 0) \end{cases}$$

$n_{\tau\tau}$  是  $G_{S_j}$  中  $\tau$  个分离中的“对称对”的数目;

$n_{\tau\tau}$  是  $G_{S_j}$  中第  $\tau$  个分离中的不对称的支路数;

$S_{\tau\tau}(G_{S_j})$  是  $G_{S_j}$  中第  $\tau$  个分离积;

$n_{\rho\rho}$  是  $G_S$  中第  $\rho$  个分离中不对称支路数;

$n_{\rho\rho}$  是  $G_S$  中第  $\rho$  个  $S$  中的对称对数;

$S_{\rho\rho}(G_S)$  是  $G_S$  中第  $\rho$  个  $S$  的分离积。

分离积  $S_{\rho\rho}(G_S)$  和  $S_{\tau\tau}(G_{S_j})$  的求和, 是分别对所有的  $G_S$  或  $G_{S_j}$  进行的。

(8) 一个Mason图  $G_M$  转化为等效的Contes图  $G_L$ , 可按下列步骤进行;

①从每一个自环增益减去1。

②对没有自环的每个节点加进增益为-1的自环。

③用  $-b_k$  去乘第  $k$  个源节点  $b_k$  的支路增益 ( $k = 1, 2, \dots, S$ ; 其中  $S$  是源节点的数目), 然后将所有  $S$  源节点结合成为一个源节点 (由1表示)。

(9) 一个改进的Contes图  $G_L$  转化为Mason图  $G_M$ , 可按下列步骤进行;

①对每一个自环的增益加1。

②除去源节点1以外, 对每个没有自环的节点, 加进具有增益为1的自环。

③将源节点分成  $S$  个源节点, 使  $S$  个新源节点分别为  $b_1, b_2, \dots, b_S$ , 再分别用  $-\frac{1}{b_1}, -\frac{1}{b_2}, \dots, -\frac{1}{b_S}$  乘  $S$  条对应支路的增益; 因此, 这些支路的新增益都为 +1, 保证支路不改变方向。

(10) 具有  $e$  条边和  $v$  个顶点的连通Mason流图  $G_M$ , 回路和路径集合对应的从顶点  $i$  到  $j$  的增益  $G_{i,j}$ , 可以应用下列步骤获得:

①由  $G_M$  的  $j$  到  $i$  加一条边  $e'$ , 得到  $G_M'$ 。

②写出  $G_M'$  的  $A$  和  $B_{ij}$ 。

③应用下述步骤从  $B_{ij}$  求  $L_1$ :

i) 对  $B_{ij}$  的行, 求所有可能的行和, 使各行只能出现同一符号的1 (正或负, 不允许有正有负) 或0, 设这是一个新矩阵  $L_1'$ ;

ii) 移去矩阵中元素前的符号, 得到  $L_1''$ ;

iii) 移去冗余和边不相接的行, 便得  $L_1$ 。

④应用布尔算法, 求得  $\xi = A^T A \cdot L_1^T$ 。

⑤用  $k = 1$ , 计算

$$\mathcal{L}_k = L_1 \xi = [L_{ij}]$$

当  $L_{ij} = 0$ , 使  $L_1$  的第  $i$  行和  $L_1$  的第  $j$  行相加, 同时设这个和是新矩阵  $L_1'$  的一行; 如是做



$$x_n = \frac{1}{a_{nn}} b_n - \frac{a_{n1}}{a_{nn}} x_1 - \frac{a_{n2}}{a_{nn}} x_2 - \dots - \frac{a_{n-1, n-1}}{a_{nn}} x_{n-1}$$

- ② 流图中源节点数等于非零的  $b$  的数, 即每一个源节点对应一个非零  $b_j$ 。
- ③ 每一个汇节点, 联系着一个非独立的变量  $x_1, x_2, \dots, x_n$ 。
- ④ 每一个节点所表示的变量之值, 等于所有输入信号之和。
- ⑤ 每一个节点所表示的变量之值, 传输到所有离开该节点之支路。

(2) 用Mason公式求线性方程组之解。

例. 设线性方程组为

$$a_{11}x_1 + a_{12}x_2 + a_{13}x_3 = b_1$$

$$a_{21}x_1 + a_{22}x_2 = 0$$

$$a_{31}x_1 + a_{32}x_2 = b_3$$

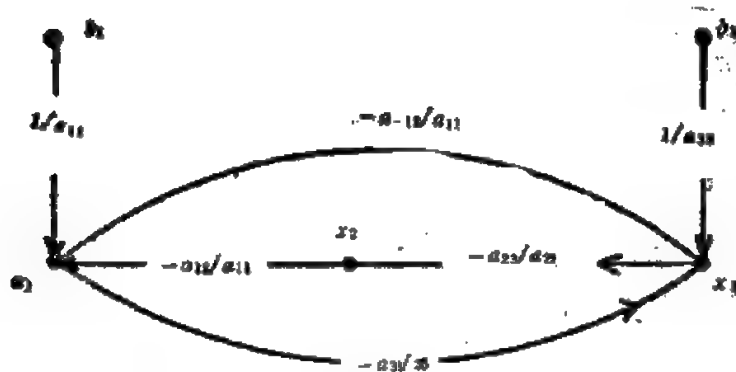


图8.9

试求  $x_1$ 。

解: 原方程组化为

$$x_1 = \frac{b_1}{a_{11}} - \frac{a_{12}}{a_{11}} x_2 - \frac{a_{13}}{a_{11}} x_3$$

$$x_2 = -\frac{a_{21}}{a_{22}} x_1$$

$$x_3 = \frac{b_3}{a_{31}} - \frac{a_{32}}{a_{31}} x_1$$

画出信号流图  $G$ 。(见图8.9)。

可得

$$\begin{aligned} \Sigma P_{n1} &= \left( -\frac{a_{12}}{a_{11}} \right) \left( -\frac{a_{31}}{a_{31}} \right) + \left( -\frac{a_{31}}{a_{31}} \right) \left( -\frac{a_{12}}{a_{11}} \right) \left( -\frac{a_{31}}{a_{31}} \right) \\ &= \frac{a_{12}a_{31}a_{31} - a_{12}a_{31}a_{31}}{a_{11}a_{31}a_{31}} \\ \Delta' &= 1 - \frac{a_{12}a_{31}a_{31} - a_{12}a_{31}a_{31}}{a_{11}a_{31}a_{31}} \end{aligned}$$

由  $b_1$  到  $x_1$  的正向路径, 其增益为

$$T_1 = \left( \frac{1}{a_{11}} \right) \left( -\frac{a_{31}}{a_{31}} \right) \left( -\frac{a_{12}}{a_{22}} \right) = \frac{a_{12}a_{31}}{a_{11}a_{22}a_{31}}$$

同时, 由于与第  $k$  条路径相接触的同路除去后没有子图, 即

$$\Delta_1 = 1 - 0 = 1$$

由  $b_3$  到  $x_1$  的正向路径, 其增益为

$$T_3 = \left( \frac{1}{a_{31}} \right) \left( -\frac{a_{12}}{a_{22}} \right) = -\frac{a_{12}}{a_{22}a_{31}}$$

同理

$$\Delta_3 = 1 - 0 = 1$$

于是, 对于源节点  $b_1$ , 则有

$$(x_2)_{s1} = \frac{1}{\Delta'} T_1 \Delta_1 b_1$$

对于源节点 $b_2$ ，则有

$$(x_2)_{s2} = \frac{1}{\Delta'} T_2 \Delta_2 b_2$$

由迭加原理， $x_2$ 最后表作

$$x_2 = (x_2)_{s1} + (x_2)_{s2} = \frac{a_{22}a_{11}b_1 - a_{11}a_{22}b_2}{a_{11}a_{22}a_{33} - a_{12}a_{22}a_{31} + a_{12}a_{23}a_{31}}$$

(3) 用Coates图求线性方程组之解。

例。设线性方程组为

$$a_{11}x_1 + a_{12}x_2 + a_{13}x_3 = b_1$$

$$a_{22}x_2 + a_{23}x_3 = 0$$

$$a_{31}x_1 + a_{33}x_3 = b_3$$

试求 $x_2$

解：其对应的Coates图 $G_c$ 和 $G_{c0}$ 如图8.10所示：

于是， $G_{c0}$ 中所有的连接如图8.11所示：

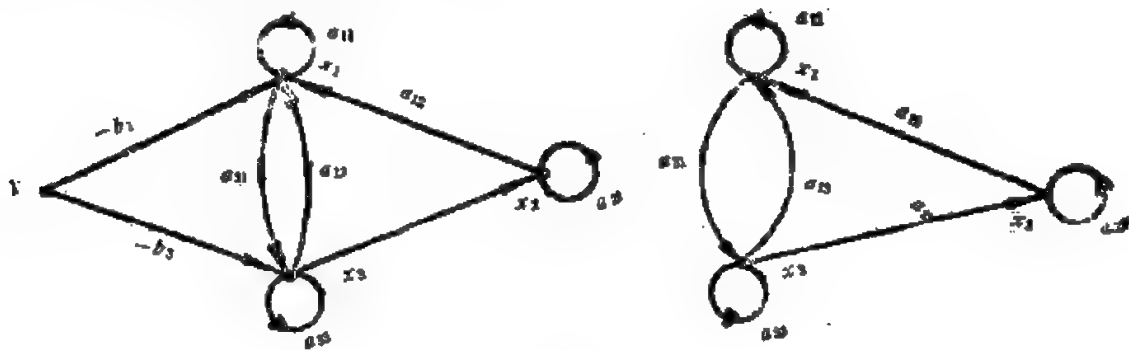


图8.10

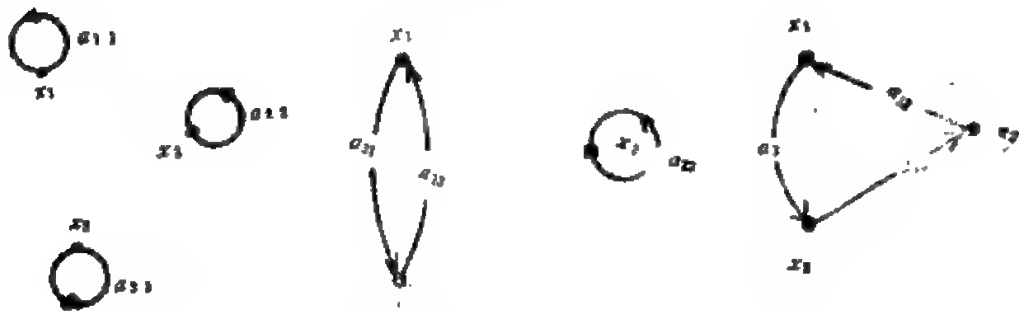


图8.11

$G_c$ 中所有从节点1到 $x_2$ 的单连接如图8.12所示：

由Coates流图的增益公式，设 $j = 2$ ，则得

$$\begin{aligned} x_2 &= \frac{(-1)^0(-b_1)(a_{22}a_{33}) + (-1)^1(-b_3)(a_{21}a_{11})}{-a_{11}a_{22}a_{33} + a_{12}a_{22}a_{31} - a_{12}a_{23}a_{31}} \\ &= \frac{a_{22}a_{33}b_1 - a_{21}a_{11}b_3}{a_{11}a_{22}a_{33} - a_{12}a_{22}a_{31} + a_{12}a_{23}a_{31}} \end{aligned}$$

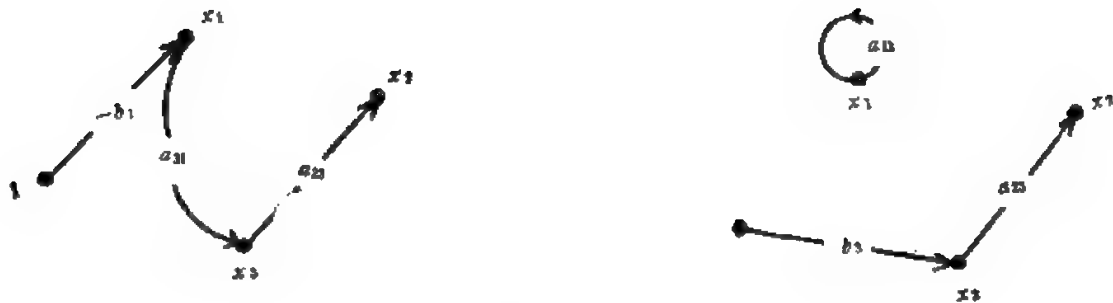


图8.12

(4) 根据chan和Bapna改进的Coates图求线性方程组之解。

例 同前线性方程组, 求  $x_1$ 。

解:  $G_L$ 图 (如图8.13):

$G_L$ 图 (图8.14):

$G_L$ 的所有回路集如图8.15所示:

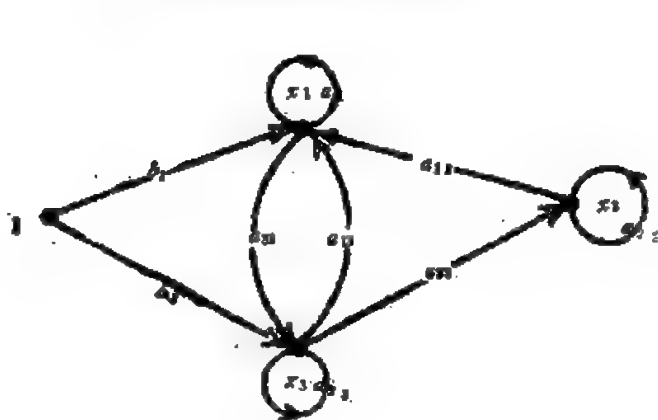


图8.13

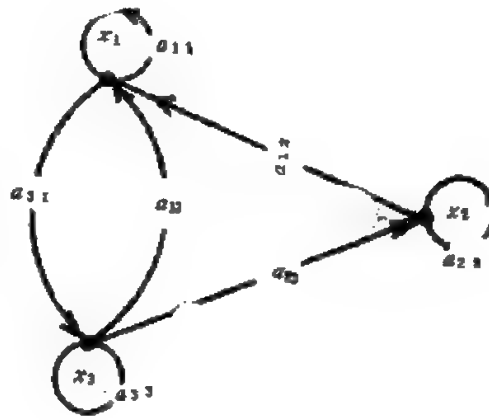


图8.14

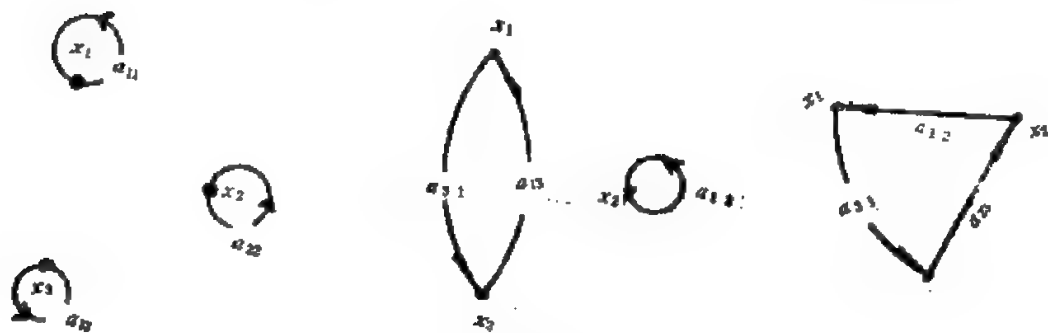


图8.15

对于  $x_1$  的图  $G_{L1}$ , 如图8.16所示:

$G_{L1}$ 的所有2-回路集, 如图8.17所示:

于是可得

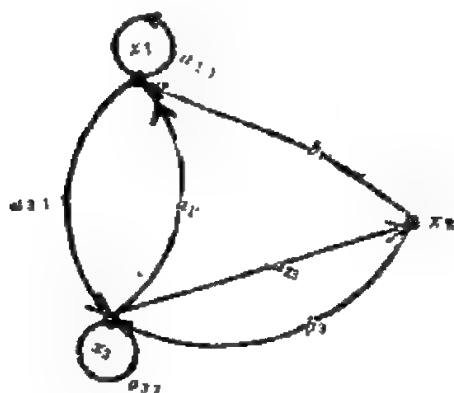


图8.1

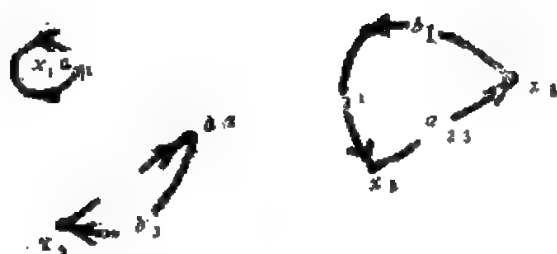


图8.17

$$\kappa_2 = \frac{(-1)^2 a_{11} a_{23} b_3 + (-1)^3 a_{31} a_{23} b_1}{(-1)^3 a_{11} a_{22} a_{33} + (-1)^2 a_{13} a_{31} a_{22} + (-1)^1 a_{13} a_{21} a_{33}}$$

$$= \frac{a_{23} a_{31} b_3 - a_{11} a_{23} b_1}{a_{11} a_{22} a_{33} - a_{13} a_{31} a_{22} + a_{12} a_{23} a_{31}}$$

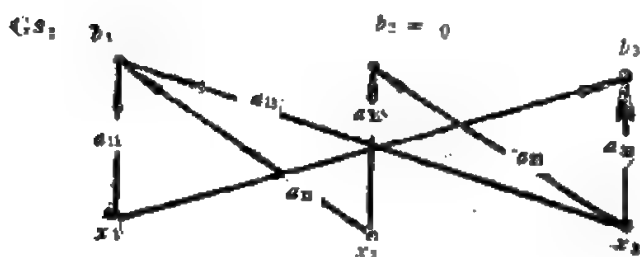


图8.18

(5) 用Chan-Mai图求线性方程组之解。

例 同前线性方程组，求  $x_2$ 。

$G_s$  的所有分离图 (如图8.19所示)。

现在再从  $G_s$  中的  $x_2$  点，移去其所有出支路，然后加进两条支路  $b_1$  和  $b_3$ ，分别从  $x_2 \rightarrow b_1$ ， $x_2 \rightarrow b_3$ ，于是形成图  $G_{s2}$ ，如图

8.20所示：

$G_{s2}$  的所有分离集，如图8.21所示：



图8.19

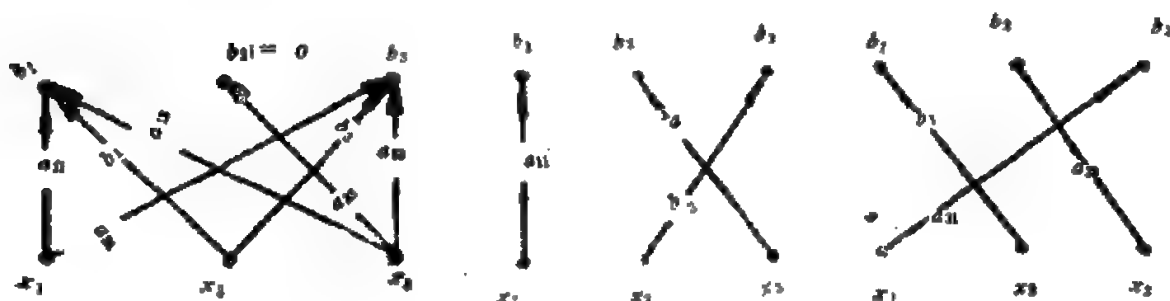


图8.20

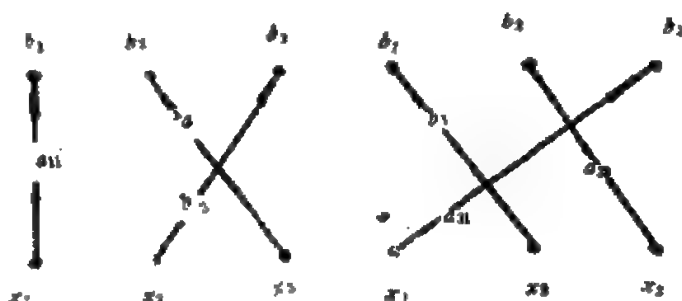


图8.21

据定理可得

$$\begin{aligned} x_2 &= \frac{\Delta_2}{\Delta} \\ &= \frac{(-1)^{1+1-1}a_{11}a_{22}b_2 + (-1)^{2+2-1}a_{22}a_{11}b_1}{(-1)^{2+2-1}a_{11}a_{22}a_{33} + (-1)^{1+1-1}a_{12}a_{23}a_{31} + (-1)^{1+1-1}a_{13}a_{21}a_{31}} \\ &= \frac{a_{22}a_{21}b_1 - a_{11}a_{22}b_2}{a_{11}a_{22}a_{33} + a_{12}a_{23}a_{31} - a_{13}a_{21}a_{31}} \end{aligned}$$

(6) 直接从线性网络获得流图的方法之一——回路分析法。

(A)  $G_s$ 图的获得：从一个给定的线性网络  $N$  获得流图  $G_s$ ，有下列步骤：

① 设定该网络中各回路电流的参考方向（因为顺时针或逆时针），以  $I_1, I_2, \dots, I_n$  ( $n$  是网络  $N$  中独立回路的总数) 表示之。

② 将常量节点  $b_1, b_2, \dots, b_n$  放在上行，变量节点  $I_1, I_2, \dots, I_n$  置于下行， $I_j$  与  $b_j$  垂直对齐。

③ 从节点  $I_j$  到节点  $b_j$  放置有向支路，其支路增益为第  $j$  个回路的阻抗和。

④ 在网络中对于每个位于回路  $i$  和回路  $j$  之间的支路，在  $G_s$  中都有一个对称对位于节点  $i$  与  $j$  之间，对称对中每条支路对应的增益为回路  $i, j$  之间的公共阻抗的负值。

由此可得到  $G_s$  图。

(B)  $G_{s_j}$ 图的获得：从一个给定的线性网络  $N$  出发，用改进的  $G_s$  图获得  $G_{s_j}$  图，有下列步骤：

① 除去  $G_s$  中所有  $I_j$  的出支路。

② 若有一个电压源在网络  $N$  的回路  $i$  中 ( $i = 1, 2, \dots, n$ )，则在  $G_{s_j}$  中将有一个有向支路从节点  $I_j$  到  $b_i$ ，支路增益等于沿  $i$  回路所有电压源的代数和（正（负）号是由沿回路电流的方向上电压源方向与之相同还是相反而定）。

(7) 直接从线性网络获得流图的方法之二——节点分析法。

(A)  $G_s$ 图的获得：从一个给定的线性网络  $N$  获得流图  $G_s$ ，有下列步骤：

① 在网络中选一参考节点，连同其它节点标以  $V_1, V_2, \dots, V_n$ ，节点的总数为  $n+1$ 。

② 把常量节点  $b_1, b_2, \dots, b_n$  放在上面的一行，变量  $V_1, V_2, \dots, V_n$  置于下面的一行，且  $b_j$  和  $V_j$  竖直相对 ( $j = 1, 2, \dots, n$ )。

③ 从节点  $V_j$  到节点  $b_j$ ，置一有向支路，有向支路增益等于  $V_j$  的所有导纳之和。

④ 在网络中， $V_i$  和  $V_j$  ( $i \neq j$ ) 节点间连通的各个支路，必有一付对称对存在于  $G_s$  的节点  $V_i$  和  $V_j$  之间，其支路增益等于网络  $N$  中连接于  $V_i$  和  $V_j$  间的导纳总和之负值。

(B)  $G_{s_j}$ 图的获得：从一个给定的线性网络  $N$  出发，用改进的  $G_s$  图获得  $G_{s_j}$  图，有下列步骤：

① 消去  $G_s$  中在  $V_j$  节点上所有出支路。

② 若有电流源连接到网络  $N$  中的节点  $i$  ( $i = 1, 2, \dots, n$ )，则在  $G_{s_j}$  中从  $V_j$  到  $b_i$  有一条有向支路，其支路增益等于连接到网络  $N$  中的节点  $V_j$  所有电流源之和（正（负）号系由电流源是进入（离开）节点  $V_j$  而定）。

(8) 线性系统的流图分析。

例 设有一简单的宇宙飞行器控制系统，框图如图 8.22 所示，试求转移函数  $C/R$ 。



解：其对应的信号流图如下图（图8.23）所示，

①添加 $e'$ ，图8.23变成图8.24所示的 $G_{n'}$ 。

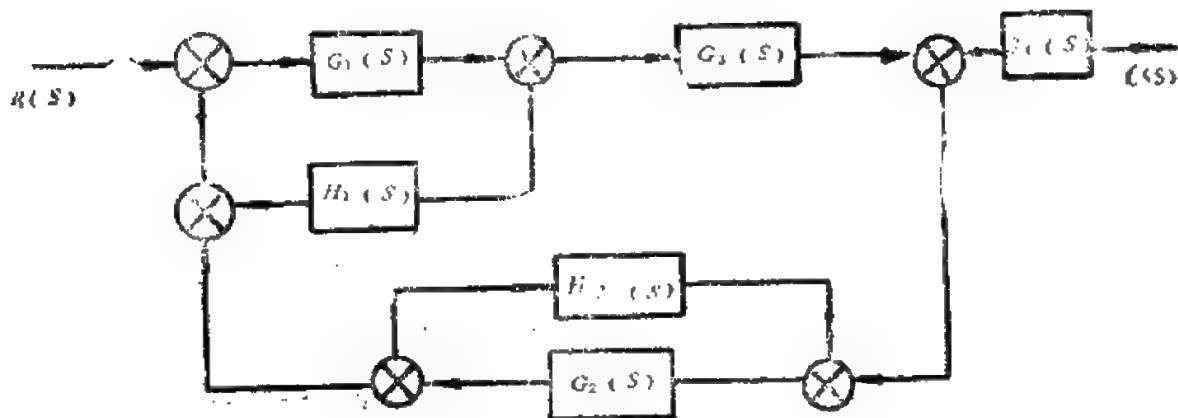


图8.22

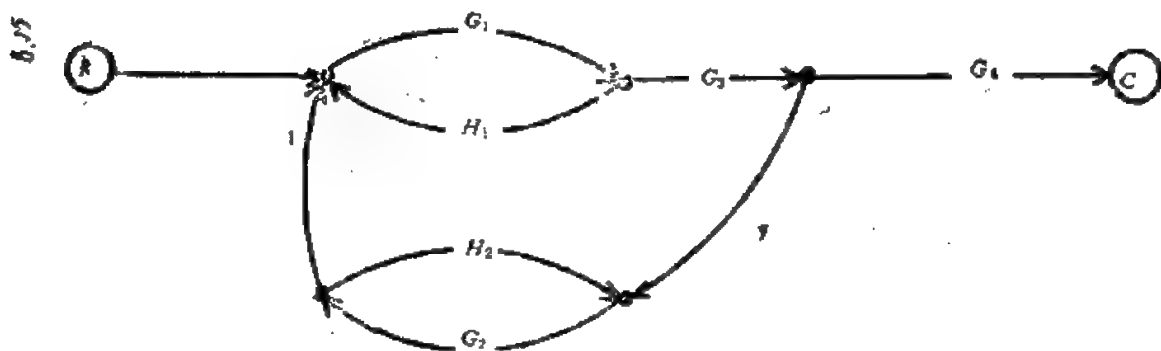
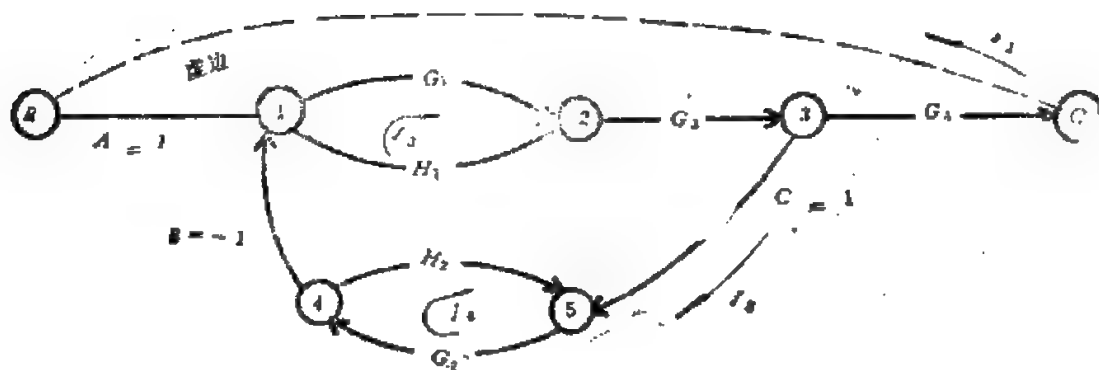


图8.23



42.8图

②构成 $A_{n'}$ 和 $B_{n'}$ 。

$$A = \begin{bmatrix} A & B & C & G_1 & G_2 & G_3 & G_4 & -H_1 & -H_2 & e' \\ 1 & 0 & 0 & 0 & 0 & 0 & 0 & 0 & 0 & 1 \\ 1 & 1 & 0 & 1 & 0 & 0 & 0 & 1 & 0 & 0 \\ 0 & 0 & 0 & 1 & 0 & 1 & 0 & 1 & 0 & 0 \\ 0 & 0 & 1 & 0 & 0 & 1 & 1 & 0 & 0 & 0 \\ 0 & 1 & 0 & 0 & 1 & 0 & 0 & 0 & 1 & 0 \\ 0 & 0 & 1 & 0 & 1 & 0 & 0 & 0 & 1 & 0 \\ 0 & 0 & 0 & 0 & 0 & 0 & 1 & 0 & 0 & 1 \end{bmatrix}$$

$$B_{\text{eff}} = \begin{bmatrix} A & B & C & G_1 & G_2 & G_3 & G_4 & -H_1 & -H_2 & e' \\ 0 & 0 & 0 & +1 & 0 & 0 & 0 & +1 & 0 & 0 \\ 0 & +1 & +1 & 0 & 0 & +1 & 0 & -1 & -1 & 0 \\ 0 & 0 & 0 & 0 & +1 & 0 & 0 & 0 & +1 & 0 \\ +1 & -1 & -1 & 0 & -1 & 0 & -1 & 0 & 0 & +1 \end{bmatrix}$$

③ 构成  $L_1$ .

$$L_1 = \begin{bmatrix} L_1 \\ L_2 \\ L_3 \\ L_4 \end{bmatrix} = \begin{bmatrix} A & B & C & G_1 & G_2 & G_3 & G_4 & -H_1 & -H_2 & e' \\ 1 & 0 & 0 & 1 & 0 & 1 & 1 & 0 & 0 & 1 \\ 0 & 1 & 1 & 1 & 1 & 1 & 0 & 0 & 0 & 0 \\ 0 & 0 & 0 & 1 & 0 & 0 & 0 & 1 & 0 & 0 \\ 0 & 0 & 0 & 0 & 1 & 0 & 0 & 0 & 1 & 0 \end{bmatrix}$$

④ 构成  $\xi$ .

$$\xi = A^T A L_1^T = \begin{bmatrix} 1 & 1 & 1 & 0 \\ 1 & 1 & 1 & 1 \\ 1 & 1 & 0 & 1 \\ 1 & 1 & 1 & 0 \\ 0 & 1 & 0 & 1 \\ 1 & 1 & 1 & 0 \\ 1 & 1 & 0 & 0 \\ 1 & 1 & 1 & 0 \\ 0 & 1 & 0 & 1 \\ 1 & 0 & 0 & 0 \end{bmatrix}$$

⑤ 令  $k = 1$ , 求得  $\mathcal{L}_1$  和  $L_2$ .

$$\mathcal{L}_1 = L_1, \mathcal{L}_2 = L_2$$

$$L_1 = \begin{bmatrix} L_1 & L_2 & L_3 & L_4 \\ 1 & 1 & 1 & 0 \\ 1 & 1 & 1 & 1 \\ 1 & 1 & 1 & 0 \\ 0 & 1 & 0 & 1 \end{bmatrix}$$

$$L_2 = \begin{bmatrix} A & B & C & G_1 & G_2 & G_3 & G_4 & -H_1 & -H_2 & e' \\ 1 & 0 & 0 & 1 & 1 & 1 & 1 & 0 & 1 & 1 \\ 0 & 0 & 0 & 1 & 1 & 0 & 0 & 1 & 1 & 0 \end{bmatrix}$$

$$\mathcal{L}_1 = L_1 \mathcal{L} = L_1 \begin{bmatrix} L_1 & L_2 & L_3 & L_4 \\ 1 & 1 & 1 & 1 \\ L_2' & 1 & 1 & 1 \end{bmatrix}$$

⑥因 $\mathcal{L}_1$ 不含0，处理终止。检查 $L_1$ 和 $L_2$ ，求得转移函数为

$$\frac{C}{R} = \frac{G_1 G_2 G_3 + G_1 G_2 G_3 G_4 H_2}{1 + G_1 G_2 G_3 + G_1 H_1 + G_2 H_2 + G_1 G_4 H_1 H_2}$$

上述算法，已被编写为计算机程序。

## (六) 色数问题应用简例

例 图8.25是一个电路图，要设计一印刷电路板。由于印刷电路板是在绝缘板内嵌入导线，故在同一板内不允许两根导线在接点以外的地方交叉。问该图最少要分成几层印刷电路板。

解：图8.25的边 $e_1, e_2, \dots, e_9$ 分别对应于顶点 $v_1, v_2, \dots, v_9$ ，当 $e_i, e_j$ 两边在接点以

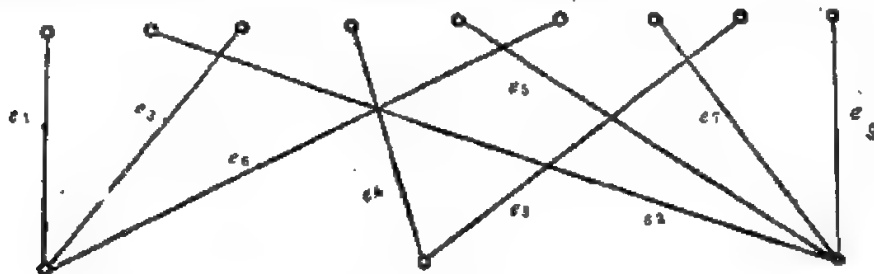


图8.25

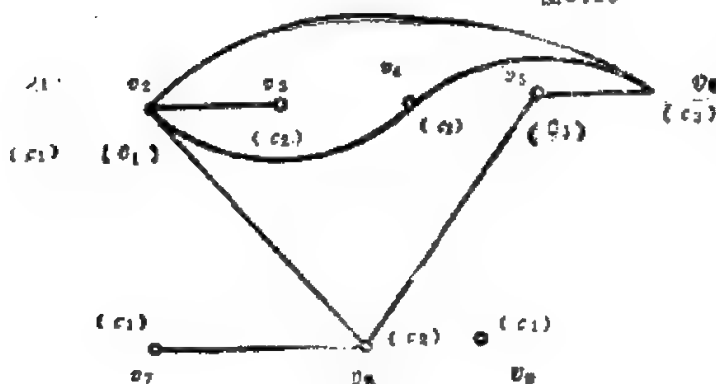


图8.26

外交叉时，则过 $v_i, v_j$ 引一条边。例如 $e_2$ 和 $e_3, e_4, e_5, e_6$ 诸边在接点以外交叉，故从 $v_2$ 到 $v_3, v_4, v_5, v_6$ 分别引边，如此等等，于是得到图8.26。

该图的色数为3。如图8.26所示，可见 $C_1, C_2, C_3$ 三种颜色对其顶点进行着色。

由于 $v_1, v_2, v_3, v_7, v_8$ 着同一色 $C_1$ ；而 $v_4, v_5, v_6$ 同着以 $C_2$ 色；

$v_9$ 点着 $C_3$ 色。故 $e_1, e_2, e_3, e_7, e_8$ 在同一层印刷电路板上，如图8.27(a)所示；而 $e_4, e_5, e_6$ 在另一层印刷电路板上，如图8.27(b)所示； $e_9$ 在第三层印刷电路板上，如图8.27(c)所示。

三层印刷电路板组成图8.25所示的电路，其构成形如下（图8.28）；

## (七) 服务点设置问题简例

服务点设置问题，是一个应用很广的图论中的极值问题。

服务点设置问题的一般提法可：设 $G = (V, E, \cdot)$ 是一个连通的无向图，在它的各个顶

点 $v_i$ 上, 有一些服务对象 (例如病人), 现在要设置一个服务点 (例如卫生院), 问服务点设在 $G$ 的哪一个顶点上最好?

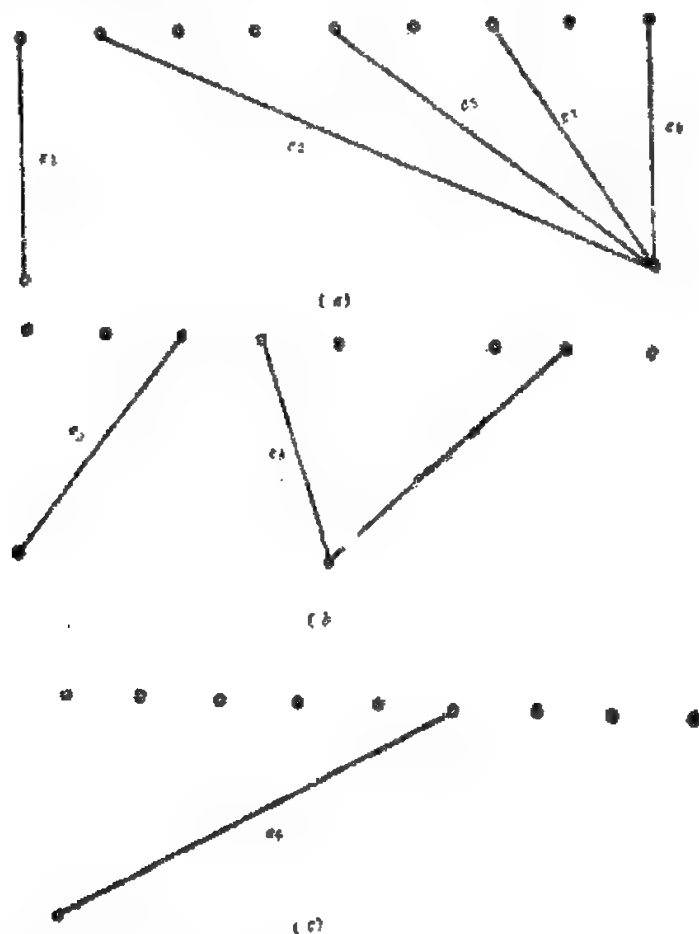


图9.27

根据好坏标准之不同, 讨论以下两种情况.

1. 第一种标准: 使最大服务距离达到最小.

(1) 设 $G=(V, E)$ 是一个连通的无向图, 每一条边 $e_j$ 有一个非负的长度 $L(e_j)$ . 现在任取一个顶点 $v_i$ , 然后考虑 $v_i$ 与 $G$ 的所有顶点之间的距离:

$$d(v_i, v_1), d(v_i, v_2), \dots, d(v_i, v_n).$$

我们称这 $n$ 个距离中的最大数为顶点 $v_i$ 的最大服务距离, 记作 $e(v_i)$ .

使 $e(v_i)$ 达到最小的顶点叫做图 $G$ 的中心.

(2) 求 $G$ 的中心的步骤:

① 作出图 $G$ 的距离表.

② 求出每一个顶点 $v_i$ 的最大服务距离 $e(v_i)$ ,  $e(v_i)$ 等于距离表上与 $v_i$ 对应的行中的最大数.

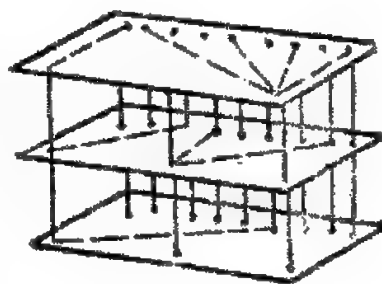


图9.28



[附] 若设置  $p$  个服务点, 就导致  $p$ -中心问题。可以想象,  $p$ -中心问题有很广的用途, 但仍沿用前述的算法来解决, 就不是一个有效的方法了, 其计算复杂性是指数型的。因

扩展距离表

	$v_1$	$v_2$	$v_3$	$v_4$	$v_5$	$v_6$	$v_7$	$g(v)$ (千吨公里)
$v_1$	0	3	5	6.3	9.3	4.5	6	122.3
$v_2$	3	0	2	2.3	6.3	1.5	3	68.3
$v_3$	5	2	0	2	5	2.5	4	64.5
$v_4$	6.3	2.3	2	0	3	1.8	3.3	69.5
$v_5$	9.3	6.3	5	3	0	4.8	6.3	108.5
$v_6$	4.5	1.5	2.5	1.8	4.8	0	1.5	65.8
$v_7$	6	3	4	3.3	6.3	1.5	0	88.3
产量(千吨)	3	2	7	1	5	1	4	

此  $p$ -中心的算法问题还是一个未解决的难题。

## 中英名词索引

### 二 划

二元关系    binary relation  
二数组法    two linear array  
二元域    two element field  
2-回路集  $L_2$     2-loop set  $L_2$   
2-回路乘积  $P_2$     2-Loop set product  $P_2$   
P-集圈    P-set Cycle

### 三 划

大子式    major  
子图    Subgraph  
  生成子图    spanning subgraph  
  导出子图    induced subgraph  
  完全子图    complete subgraph  
  线性子图    linear subgraph  
  偶子图    even subgraph  
  禁用子图    forbidding subgraph  
  稠密子图    dence subgraph  
  真子图    proper subgraph  
  最大连通子图    max-connected subgraph  
  基本非平面子图    basic nonplanar subgraph  
  子比赛图    subtournament  
上边缘    coboundary  
三角形    triangle  
  奇三角形    odd triangle  
  偶三角形    even triangle  
三角剖分    triangulation  
亏格    genus  
(n-)子集    (n-) subset  
三棱形    triangular prism  
子程序    subroutine  
  DFS子程序    Subroutine DFS  
  求基本回路子程序    Subroutine FCKTS  
  minty 求树子程序    Subroutine MINTY  
  连通性判定子程序    Subroutine CONEKT

有向树子程序      Subroutine DITREB  
 初等变换子程序      Subroutine ET  
 端点变换子程序      Subroutine TERMINAL TRANS  
 最短路径子程序      subroutine SDKCL  
 各点间最短路径子程序      Subroutine SPBE  
 求割点子程序      Subroutine CUTND  
 环和子程序      Subroutine RS  
 删除冗余项子程序      Subroutine RE  
 边开路变换子程序      Subroutine EO  
 边短路变换子程序      Subroutine ES  
 节点法求网络解子程序      Subroutine NODEQ  
 连通度子程序      Subroutine CONY  
 广度优先搜索      BFS

#### 四 型

(矩阵的) 元      entry (of a matrix)  
 独立元      independent entries  
 支      component  
     (n-) 支      (n-) component  
 连分支      connected component  
 奇支      odd component  
 单侧支      unilateral component  
 弱支      weak component  
 偶支      even component  
 强支      strong component  
 中心      center  
 公式      formula  
     欧拉多面体公式      Euler polyhedron formula  
     欧拉网孔数公式      Euler mesh formula  
 方向对偶原则      Directional Duality Principle  
 (n-) 方体      (n-) cube  
 分枝      branch  
 分歧      ramification  
 双图      bigraph  
     完全双图      complete bigraph  
 比赛图      tournament  
 计数      enumeration  
 不变量      invariant  
 元素      element



代表元素	representative element
不可比元素	incomparable element
分离 S	Separation S
分离积 SP	Separation Product SP
方程	equation
欧拉-庞加莱方程	Euler-Poincare equation
树的不相似性特征方程	dissimilarity characteristic equation of trees
回路矩阵方程	loop matrix equation
节点矩阵方程	node matrix equation
割集矩阵方程	cut-set matrix equation
网孔矩阵方程	mesh matrix equation
状态方程	state equation
基本方程	primary equation
辅助方程	auxiliary equation
	secondary equation
回路转换矩阵方程	LTEM
节点转换矩阵方程	NTME
割集转换矩阵方程	KTME
网孔转换矩阵方程	MTME
稀疏方程	Sparse system of equation
冗余项	redundancy term
支路	branch
标准支路	standard branch
出支路	out branch
入支路	in branch
非对称支路	asymmetric branch
开关	switching, contact
计算机	computer
计算机辅助分析	CAA
计算机辅助设计	CAD

## 五 划

长度	length
匹配	matching
不可扩张匹配	nonaugmentable matching
极大匹配	maximum matching
边	edge
加上(一条线)	addition (of a line)
边不相接	edge-disjoint

边不相接回路的并集	edge disjoint circuit union
边不相接割集的并集	edge disjoint cut-set union
边目录法	edge listing
边列	edge train
边序列	edge sequence
有源边	active edge
无源边	passive edge
射出边	initial edge
射入边	terminal edge
并行边	parallel edge
布尔代数	Boolean algebra
布尔运算	Boolean operation
布尔和	Boolean sum
布尔积	Boolean product
布尔变量	Boolean variable
可分性	separability
可分图	separable graph
不可分图	nonseparable graph
不可分二端图	nonseparable two terminal graph
可行遍性	traversability
可平面性 (或平面性)	planarity
外可平面性	outerplanarity
可平面图 (或平面图)	planar graph
可靠性	reliability
平面	plane
平面图边数不等式	inequalities of edges in planar graph
平面网络	planar network
半道路	semipath
半通道	semiwalk
半圈	semicycle
对角线	diagonal
母图	supergraph
半径	radius
可递三元组	transitive triple
边缘	boundary
(图的) 半群	semigroup (of a graph)
对偶	dual
对偶性	duality
几何对偶	geometric dual

对偶网络 dual network  
 边-顶点对偶 edge-vertex dual  
 组合对偶 combinatorial dual  
 对偶图 dual graph  
 平方 square  
 平方根 square root  
 节点 node  
   输入节点 input node  
   输出节点 output node  
   起始节点, 起点 initial node  
   终止节点, 终点 terminal node  
   汇节点、汇点 sink node  
   源节, 源点 source node  
   悬挂节点 hanging node  
 区域 region  
   外区域 external region  
   内区域 internal region  
 矢量 vector  
 边矢量 edge vector  
 回路组合矢量 circuit combination vector  
 本原回路组合矢量 primitive circuit combination vector  
 代数余子式 cofactor  
 切割 cut  
 对称差 symmetric difference  
 对称对 symmetric pair

## 六 划

并 union  
 轨 orbit  
 阶 order  
 团 clique  
 权 weight  
   (点的) 权 weight (of a point)  
   (函数的) 权 weight (of a function)  
   (轨的) 权 weight (of an orbit)  
 交 intersection  
 导抗 immittance  
 有源元件 active element  
 回转器 gyrator

回路	circuit, loop	回路 (回路)
回路集合	circuit set	回路集合 (回路集合)
基本回路	fundamental circuit	基本回路 (基本回路)
纯电容回路	all capacitance circuit	纯电容回路 (纯电容回路)
哈密顿回路	Hamiltonian circuit	哈密顿回路 (哈密顿回路)
不相接触回路	disjoint circuit	不相接触回路 (不相接触回路)
回路集L	circuit set L	回路集L (回路集L)
回路集乘积LP	circuit set product LP	回路集乘积LP (回路集乘积LP)
k-阶回路集合	A k th-order circuit set	k-阶回路集合 (k-阶回路集合)
回溯方法	backtracing method	回溯方法 (回溯方法)
同构	isomorphism	同构 (同构)
1-同构	1-isomorphism	1-同构 (1-同构)
2-同构	2-isomorphism	2-同构 (2-同构)
同号式	unisignant	同号式 (同号式)
同胚	homeomorphism	同胚 (同胚)
同胚象	homeomorph	同胚象 (同胚象)
网络	network	网络 (网络)
无源网络	passive network	无源网络 (无源网络)
有源网络	active network	有源网络 (有源网络)
单口网络	one port network	单口网络 (单口网络)
双口网络	two port network	双口网络 (双口网络)
定阻网络	constant resistance network	定阻网络 (定阻网络)
无源无互感网络	passive network without mutual inductance	无源无互感网络 (无源无互感网络)
退化网络	degenerate network	退化网络 (退化网络)
常态网络	proper network	常态网络 (常态网络)
非最小相位网络	nonminimum phase network	非最小相位网络 (非最小相位网络)
抗损网络	damage resistant network	抗损网络 (抗损网络)
共地网络	common ground network	共地网络 (共地网络)
非平衡网络	unbalanced network	非平衡网络 (非平衡网络)
开关网络	switching network	开关网络 (开关网络)
双互补开关网络	SP network	双互补开关网络 (双互补开关网络)
单触点开关网络	SC network	单触点开关网络 (单触点开关网络)
多触点开关网络	MC network	多触点开关网络 (多触点开关网络)
网络流, 流量网络	network flow	网络流, 流量网络 (网络流, 流量网络)
网孔	mesh	网孔 (网孔)
外网孔	outside mesh	外网孔 (外网孔)
全等	congruence	全等 (全等)
列	column	列 (列)
行	row	行 (行)

片, 连通片	component
行列式	determinant
节点导纳行列式	node admittance determinant
回路阻抗行列式	loop impedance determinant
自环, 自回路	self-loop
自由度	degree of freedom
系统的阶	order of system
多项式可归约	polynomial related
因子	factor
(n-) 因子	(n-) factor
因子分解	factorization
(n-) 因子分解	(n-) factorization
划分	partition
图划分	graphical partition
(属于一个图的) 划分	partition (of a graph)
简单的图划分	simple graphical partition
曲面	surface
可定向的曲面	orientable surface
合成	composition
自动机	automata
有向图	oriented graph, directed graph
不连通有向图	disconnected digraph
无圈有向图	acyclic digraph
平凡有向图	trivial digraph
本原有向图	primitive digraph
可迁有向图	transitive digraph
对称有向图	symmetric digraph
自补有向图	self-complement digraph
有源的有向图	digraph with a source
自逆的有向图	self-converse digraph
同谱有向图	cospectral digraph
严格单侧有向图	strictly unilateral bigraph
严格弱有向图	strictly weak digraph
线有向图	line digraph
伴随有向图	associated digraph
加权有向图	weighted digraph
单侧有向图	unilateral digraph
函数有向图	functional digraph
单侧连通有向图	unilateral connected digraph

逆有向图      converse  
 欧拉有向图      Eulerian digraph  
 标定可迁有向图      labeled transitive digraph  
 逆函数有向图      contrafunctional digraph  
 弱有向图      weak digraph  
 弱连通有向图      weakly connected digraph  
 强有向图      strong digraph  
 强连通有向图      strongly connected digraph  
 自同构      automorphism  
 自同态      endomorphism  
     恒等自同态      identity endomorphism  
     初等自同态      elementary homomorphism  
 同态      homomorphism  
      $n$ -阶完全同态      complete homomorphism of order  $n$   
 同态象      homomorphic image  
 色多项式      chromatic polynomial  
 地图      map  
     平面地图      plane map  
     有边根的平面地图      edgerooted plane map  
 补图      complement  
     相对补图      relative complement  
 导图      derivative  
 伪图      pseudograph  
 色组      color class  
 级数      series  
     构形计数级数      configuration counting series  
     图形计数级数      figure counting series  
 多重图      multigraph  
 后继      successor  
 传递的性质      hereditary property  
 关联的      incident  
 收缩      contraction  
     初等收缩      elementary contraction  
 问题      problem  
     匹配问题      matching problem  
     拉姆齐问题      Ramsey problem  
     项链问题      necklace problem  
     哥尼斯堡七桥问题      Königsberg bridges problem  
     推销员问题      traveling salesman problem

NP-完全问题      NP-complete problem  
 标准布尔方程解问题      satisfiability problem  
 胞腔生长问题      cell growth problem

## 七 划

拟图      graphoid  
 拟阵      matroid  
     二部拟阵      bipartite matroid  
     二元拟阵      binary matroid  
     自对偶拟阵      self-dual matroid  
     余图拟阵      cographical matroid  
     余圈拟阵      cocycle matroid  
     图拟阵      graphical matroid  
     圈拟阵      cycle matroid  
     欧拉拟阵      eulerian matroid  
     旋拟阵      whirl  
 块      block  
 杈      twig  
 形心      centroid  
 围长      girth  
 邻元素      neighbors  
 余回路      cocircuit  
 余树      cotree  
 连通度      connectivity  
     局部连通度      local connectivity  
     线连通度      line-connectivity  
     点连通度      point connectivity  
     边连通度      edge connectivity  
     连通度对      connectivity pair  
     节点连通度      node connectivity  
     2-连通      biconnected  
     3-连通      triconnected  
 连通顶点集合      connected vertex set  
 连通性      connectedness  
 连接      connection  
     单-连接      one-connection  
 连支      link, chord  
 状态变量      state variable  
 穷举法      exhaust algorithm

邻域      neighborhood  
 闭邻域      closed neighborhood  
 邻接的      adjacent  
 邻接性      adjacency  
 阻塞      block  
 传输零点      zero of transmission  
 邻接编号法      adjacency vertex listing  
 邻接顺序法      successor listing

## 八 划

图      graph  
 线形图, 线图      linear graph  
 正则图      regular graph  
 连通图      connected graph  
 不连通图      disconnected graph  
 简单图      simple graph  
 有限图      finite graph  
 无限图      infinite graph  
 补图      complement of a subgraph  
 空图      null graph  
 完备图      complete graph  
 二分(部)图      bipartite graph  
 完备二分图      complete bipartite graph  
 流图 $G_c$       flow graph  $G_c$   
     Coates图 $G_c$       Coates graph  $G_c$   
     信号流图 $G_M$       signal flow graph  $G_M$   
     Mason图 $G_M$       Mason graph  $G_M$   
     改进Coates图 $G_L$       improved Coates graph  $G_L$   
     陈-麦图 $G_s$       Chan-Mai graph  $G_s$   
 混合图      composite graph  
 关系图      relationship graph  
 拓计图      topological graph  
 几何图      geometrical graph  
 冷图      cold graph  
 加权图      weighted graph  
 概率图      probability graph  
 欧拉图      Eulerian graph  
 哈密顿图      Hamiltonian graph  
 框图, 流程图      flow chart



(e-) 图	(e-) graph
(p, q) 图	(p, q) graph
( $\theta$ -) 图	theta graph
么图	identity graph
三次图	cubic graph
不可分图	nonseparable graph
点临界图	point-critical graph
线临界图	line critical graph
彼得森图	Petersen graph
单圈图	unicyclic graph
极端图	extremal graph
点对称图	point-symmetric graph
复合图	composite graph
星形图	star graph
标定图	labeled graph
欧拉图	Eulerian graph
哈密顿图	Hamiltonian graph
柏拉图图	Platonic graph
指定符号的图	signed graph
素图	prime graph
可约图	reducible graph
不可约图	irreducible graph
(n-) 可迁图	(n-) transitive graph
(n-) 可因子化图	(n-) factorable graph
可收缩的图	contractible graph
区间图	interval graph
(n-) 可着色图	(n-) colorable graph
对偶图	dual graph
色图	color graph
(n-) 色图	(n-) chromatic graph
最大可平面图	maximal planar graph
最大不可平面图	maximal outerplanar graph
割点图	cutpoint graph
迭线图	iterated line graph
迭置图	superposed graph
戴维图	David graph
覆盖图	covering graph
希伍德图	Heawood graph
块-割点图	block-cutpoint graph

空图	empty graph
定向图	oriented graph
线正则图	line-regular graph
线对称图	line symmetric graph
线有根图	line-rooted graph
定向图	oriented graph
轮形图	wheel
麦克吉图	Möbius graph
双色图	bicolorable graph
元环图	toroidal graph
互素的图	relatively prime graph
双根图	doubly rooted graph
无圈图	acyclic graph
半不可约图	semi-irreducible graph
平面图	plane graph
可平面图	planar graph
外平面图	outerplane graph
外可平面图	outerplanar graph
可(由-点 $v$ )任意行遍的图	arbitrarily traversable graph
细分图	subdivision graph
高度对称图	highly symmetric graph
唯一可着色图	uniquely colorable graph
唯一 $n$ -可着色图	uniquely $n$ -colorable graph
基本图	underlying graph
随意可溯图	randomly traceable graph
随意哈密顿图	randomly Hamiltonian graph
( $\alpha$ -) 置换图	( $\alpha$ -) Permutation graph
勒维图	Levi graph
( $X$ -) 最小图	( $X$ -) minimal graph
交图	intersection graph
全图	total graph
导出图	derived graph
自补图	self-complementary graph
同构图	isomorphic graph
色临界图	color-critical graph
托特图	Tutte graph
交换图	interchange graph
同谱图	cospectral graph
依附图	adjoint graph

直径 diameter  
 林 forest  
 和 sum  
 直接和 direct sum  
 线 line  
 (矩阵的) 线 line (of a matrix)  
 对称线 symmetric line  
 有向线 directed line  
 多重线 multiple lines  
 相似线 similar lines  
 临界线 critical line  
 端线 endline  
 弧 arc  
 多重弧 multiple arcs  
 弦 chord  
 函数 function  
 布尔函数 Boolean function  
 生成函数 generation function  
 权函数 weight function  
 连通度函数 connectivity function  
 拉姆齐函数 Ramsey function  
 开关函数 switching function  
 计算复杂性函数 computational complexity function  
 第动点阻抗函数 driving-point impedance function  
 第动点导纳函数 driving-point admittance function  
 开路阻抗函数 open-circuit impedance function  
 短路导纳函数 short-circuit admittance function  
 组合理论 combinatorial theory  
 环柄 handle  
 顶点 vertex  
 端顶点 endvertex  
 图解 diagram  
 海塞图解 Hasse diagram  
 传真图解 teleprinter diagram  
 周期序列 periodic sequence  
 环 loop  
 补树 cotree  
 变量 variable  
 变换 transformation

端点变换 terminal transformation  
 边开路变换 edge open transformation  
 边短路变换 edge short transformation  
 初等变换 elementary transformation  
 环和 ring sum  
 奇环和 odd ring sum  
 偶环和 even ring sum  
 奇环和条件 odd ringsum condition  
 顶点 Vertex  
 父顶点 father vertex  
 子顶点 son vertex  
 前代顶点 ascendant vertex  
 后继顶点 descendant vertex  
 非奇异 nonsingular  
 非冗余 nonredundant  
 非零大子式 nonvanish major  
 拓扑系 topology  
 拓扑综合 topological synthesis  
 林 forest  
 拟阵 matroid  
 固有频率 natural frequency  
 图灵机 Turing machine  
 非确定性图灵机 nondeterministic Turing machine  
 定理 theorem  
 (BEST) 定理 (BEST) theorem  
 四色定理 four-color theorem  
 五色定理 five-color theorem  
 多面体定理 theorem of polyhedra  
 有向图的“矩阵-树”定理 “matrix-tree” theorem of digraph  
 同态内插定理 homomorphism interpolation theorem  
 希伍德地图着色定理 Heawood map-coloring theorem  
 库拉托夫斯基定理 Kuratowski's theorem  
 波利亚计数定理 Pólya's enumeration theorem  
 明格尔定理 Menger's theorem  
 变元“矩阵-树”定理 variable “matrix-tree” theorem  
 “矩阵-树”定理 “matrix-tree” theorem  
 宾纳-柯西定理 Binet-cauchy theorem  
 “最大流-最小截”定理 “max-flow min-cut” theorem  
 幂群计数定理 Power group enumeration theorem

戴维宁定理 Thevenin theorem

## 九 划

度 degree

出度 out going degree

入度 in coming degree

(线的)度 degree (of a line)

点 point

中心点 central point

不动点 fixed point

(由一点 $v_0$ )可达的点 reachable point (from a point  $v_0$ )

形心点 centroid point

周点 peripheral point

孤立点 isolated point

相似点 similar point

临界点 critical point

端点 endpoint, terminal

迹 trace

可扩张M-迹 augmenting M trace

交替迹 alternating trace

交替M-迹 alternating M-trace

欧拉迹 eulerian trace

树 tree

入树 in-tree

么树 identity tree

么有根树 identity rooted tree

无端标定 endlessly rooted tree

出树 out-tree

平面树 plane tree

有向树 directed tree

有根树 rooted tree

同胚不可约树 homeomorphically irreducible tree

块一割点树 block-cut point tree

定向树 oriented tree

指定符号的树 signed tree

植树 planted tree

着色树 colored tree

树枝 tree branch

常态树 proper tree

正规树 normal tree  
 中心树 centre tree  
 最小树 minimal tree  
 最小连接树 steiner tree  
 DFS树 DFS tree  
 2-树 2-tree  
 k-树 k-tree  
 k-树组 k-tree term  
 星形树 star tree  
 线形树 linear tree  
 树支导纳乘积 tree branch admittance product  
 求树法 tree approach  
 面 face  
   无限面 unbounded face  
   外部面 exterior face  
 核 slack  
 核 core  
   线核 line core  
   点核 point core  
 冠 cornea  
 结合 conjunction  
 测地线 geodesic  
 星多边形 starred polygon  
 树多项式 tree polynomial  
 复形 complex  
   单纯复形 simplicial complex  
 度量 metric  
   度量空间 metric space  
 重构 reconstruction  
 稳定核 stabilizer  
   (1-) 骨架 (1-) skeleton  
 荫度 arboricity  
 厚度 thickness  
 复杂度 order of complexity  
 测地投影 stereographic projection  
 点法 dot method  
 弧 arc  
 映射 mapping  
 恒等式 identity

2-树恒等式 2-tree identity  
指纹模式 fingerprint pattern

十 划

流 flow

极大流 maximum flow

最小费用流 minimum cost flow

桥 bridge

格 lattice

2-格 2-lattice

3-格 3-lattice

积 product

字典式积 lexicographic product

直接积 direct product

张量积 tensor product

按元素的积 elementwise product

笛卡儿积 cartesian product

秩 rank

余圈秩 cocycle rank

圈秩 cycle rank

根 root

离心率 eccentricity

特征多项式 characteristic polynomial

递降阶乘 falling factorial

啄食次序 pecking orders

通道 walk

开通道 open walk

生成通道 spanning walk

闭通道 closed walk

交替Y--通道 alternating Y-walk

(Y-) 缩减通道 (Y-) reduced walk

矩阵 matrix

子矩阵 submatrix matrix

关联矩阵 incidence matrix

关联子矩阵 incidence submatrix

缩减关联矩阵 reduced incidence matrix

回路矩阵 circuit matrix

回路子矩阵 circuit submatrix

基本回路矩阵 fundamental circuit matrix

邻接矩阵 adjacency matrix  
 边递增回路矩阵 edge ordered circuit matrix  
 割集矩阵 cutset matrix  
 割集子矩阵 cutset submatrix  
 基本割集矩阵 fundamental cutset matrix  
 路径矩阵 path matrix  
 连接矩阵 connected matrix  
 距离矩阵 distance matrix  
 标记矩阵 marked matrix  
 权矩阵 weight matrix  
 稀疏矩阵 sparse matrix  
 二元矩阵 binary matrix  
 可达性矩阵 reachability matrix  
 迂回矩阵 detour matrix  
 余圈矩阵 cocycle matrix  
 缩减余圈矩阵 reduced cocycle matrix  
 圈矩阵 cycle matrix  
 缩减圈矩阵 reduced cycle matrix  
 节点导纳矩阵 node admittance matrix  
 不定导纳矩阵 indefinite admittance matrix  
 支路导纳矩阵 branch admittance matrix  
 等代数余子式矩阵 equicofactor matrix  
 有向树矩阵 directed tree matrix  
 端点容量矩阵 terminal capacity matrix  
 支路容量矩阵 branch capacity matrix  
 倒电容 elastance  
 倍压器 doubler circuit

## 十 划

圈 cycle  
 圈向量 cycle vector  
 基 basis  
 (1-) 基 (1-) basis  
 余圈基 cocycle basis  
 点基 point basis  
 圈基 cycle basis  
 (n-) 基 (n-) cage  
 深度优先搜索DFS  
 得分 Score



移去 (一条线, 一个点) removal (of a line, a point)

着色 coloring

着色数 chromatic number

( $n$ -) 着色 ( $n$ -) coloring

(平面地图的) 着色 coloring (of a plane map)

至多 $t$ 色的着色 coloring from  $t$  colors

完全着色 complete coloring

线着色 line coloring

( $n$ -) 线着色 ( $n$ -) line coloring

猜想 Conjecture

四色猜想 four-color conjecture

希伍德猜想 Heawood's conjecture

里德猜想 Read's conjecture

哈德维格尔猜想 Hadwiger's conjecture

乌拉姆猜想 Ulam's conjecture

泰特猜想 Tait's conjecture

普卢默猜想 Plumer's conjecture

维数 dimension

捷径 cutshort

偏斜度 skewness

兽图 animal

## 十二 划

链 chain

单纯链 simple chain

初等链 elementary chain

(0-) 链 (0-) chain

(1-) 链 (1-) chain

(格的) 链 chain (of a lattice)

缘 rim

有辐的缘 spoked rim

联 join

集 set

子集 subset

不变量的完全集 complete set of invariants

(线、点的) 独立集 independent set (of lines, points)

真子集 proper subset

道路 path

不相交道路 disjoint paths

线—不相交道路 line-disjoint paths  
 点—不相交道路 point-disjoint paths  
 割点 cut vertex(node)  
 割线 cut line  
 割集 cutset  
 纯电感割集 all inductance cutset  
 顶点割集 vertex cutset  
 基本割集 fundamental cutset  
 断片 fragment  
 根 root  
 Icosian游戏 Icosian gam  
 最小化 minimality  
 最小相位 minimum phase  
 最小反馈边集合 minimum feedback edge set  
 等价 equivalence  
 嵌入 embedding  
 最大流 maximal flow  
 循环三元组 cyclic triple  
 循环指标 cycle index  
 循环标定 cyclic labeling  
 铺砌 paving  
 距离 distance

### 十三 别

(n-) 路 (n-) route  
 数 number  
 贝蒂数 Betti number  
 交数 intersection number  
 线拉姆齐数 line Ramsey number  
 线独立数 line independence number  
 线覆盖数 line covering number  
 点独立数 point independence number  
 点覆盖数 point covering number  
 消色数 achromatic number  
 叉数 crossing number  
 源 source  
 群 group  
 二面体群 dihedral group  
 对群 Pair group

对称群 symmetric group  
 约化有序对群 reduced ordered pair group  
 交代群 alternating group  
 同构的群 isomorphic groups  
 克莱茵四群 Klein four group  
 线群 line-group  
 构形群 configuration group  
 单位元素群 identity group  
 点群 point-group  
 指数群 exponentiation group  
 恒等的置换群 identical permutation groups  
 循环群 cyclic group  
 幂群 power group  
 置换 permutation  
 源 source  
 零点 zero  
 零度 nullity  
 窗口 window  
 路径 path  
 最短路径 shortest path  
 独立路径集合 independent path set  
 O-路径 O-path  
 路径乘积 path product  
 路径集合 path set  
 环闭路径 closure path  
 正向路径 forward path  
 欧拉路径 Eulerian path  
 哈密顿路径 hamiltonian path

#### 十四 划 以 上

增益 gain  
 增益公式 gain formula  
 支路增益 branch gain  
 路径增益 path gain  
 回路增益 circuit gain  
 单连接增益 one-connection gain  
 连接增益 connection gain  
 概率 probability  
 阻塞概率 block probability

概率流 probability flow  
 算子 operator  
 上边缘算子 coboundary operator  
 边缘算子 boundary operator  
 精度 coarseness  
 (图的) 幂 power (of a graph)  
 凝聚 condensation  
 覆盖 covering  
 外部的极小点覆盖 external minimum point covering  
 极小线覆盖 minimum line covering  
 极小点覆盖 minimum point covering  
 线覆盖 line covering  
 点覆盖 point covering  
 算法 algorithm  
 有效算法 efficient algorithm  
 多项式复杂性算法 polynomial complexity algorithm  
 指数复杂性算法 exponential complexity algorithm  
 找树算法 tree finding algorithm  
 平面性判定算法 planarity testing algorithm  
 Dunn和陈树柏算法 Dunn and chan's algorithm  
 Hopcroft和Tarjan算法 Hopcroft and Tarjan's algorithm  
 Minty算法 Minty algorithm  
 Read的可分性算法 Read algorithm  
 连通性判定算法 connectedness testing algorithm  
 Paton的求基本回路算法 Paton's fundamental circuit finding algorithm  
 DFS算法 DFS algorithm  
 Tarjan算法 Tarjan's algorithm  
 两点间最短路径算法 algorithm of shortest path between two vertices  
 各点间最短路径算法 shortest paths algorithm  
 求最小树算法 min-tree finding algorithm  
 Kruskal算法 Kruskal's algorithm  
 开关网络综合算法 synthesis of switching network algorithm  
 R-树组算法 p-tree term algorithm  
 流图算法 flow graph algorithm  
 生成 $B_n$ ,  $Q_n$ 矩阵算法 generation  $B_n$ ,  $Q_n$  matrices algorithm

## 主要参考书目

- [1] P. Harary, Graph Theory, 1969.
- [2] J.A. Bondy and U.S.R. Murty, Graph Theory With Applications, 1976.
- [3] C. Berge, Graphs and Hypergraphs, 1973.
- [4] W. Mayeda, Graph Theory, 1972
- [5] Y. Alari and D.R. Lick, Theory and Applications of Graphs, 1978.
- [6] D.E. Johnson and J.R. Johnson, Graph Theory With Engineering Applications, 1972
- [7] B. Bollobas, Extremal Graph Theory.
- [8] D. König, Theorie der Endlichen und unendlichen Graphen.
- [9] H.J. Ryser, Combinatorial Mathematics.
- [10] M. Capobianco, J.C. Molluzzo, Examples and Counterexamples in Graph Theory.
- [11] P. Camion, characterization of totally unimodular Matrices, Proc. Ann. Math. soc. 16 (1968) 1068-1073.
- [12] C. 贝尔热著, 李修睦译, 《图论及其应用》, 1963.
- [13] 陈树柏主编, 左培、张良震副主编, 《网络图论及其应用》, 科学出版社, 1982
- [14] 王朝瑞编, 《图论》, 人民教育出版社, 1981.
- [15] 卢开澄著, 《图论及其应用》, 清华大学出版社, 1981.
- [16] 邱关源编, 《网络图论简介》, 人民教育出版社, 1978.
- [17] 李修睦著, 《图论导引》华中工学院出版社, 1982.
- [18] F. 哈拉里著, 李慰萱译, 《图论》, 上海科学技术出版社.